

Uso del Aprendizaje automático en la solución de problemas físicos descritos por ecuaciones diferenciales parciales

Idónea Comunicación de Resultados (ICR) que

Presenta Roberto Carlos Romero Huerta

Maestría en Ciencia Naturales e Ingeniería

Universidad Autónoma Metropolitana Unidad Cuajimalpa

Director Dr. Roberto Bernal Jaquez

Departamento de Matemáticas Aplicadas y Sistemas

Universidad Autónoma Metropolitana Unidad Cuajimalpa

Tutor Dr. Guillermo Chacón Acosta

Departamento de Matemáticas Aplicadas y Sistemas

Universidad Autónoma Metropolitana Unidad Cuajimalpa

Tutor Dr. Alexander Schaum

Institute of Food Science and Biotechnology - Department Process Analytics.

University of Hohenheim





Esta idónea comunicación de resultados fue realizada dentro del Programa de Especialización del **Posgrado en Ciencias Naturales e Ingeniería** de la División de Ciencias Naturales e Ingeniería (DCNI) de la Universidad Autónoma Metropolitana-Unidad Cuajimalpa. El trabajo **teórico matemático y programas de computo** fue realizado de **diciembre 2023** a **noviembre 2025** en **centro de computo, biblioteca y salas de estudio** de la DCNI

DECLARACIÓN DE CESIÓN DE DERECHOS

En la Ciudad de México, D. F. el día 29 del mes octubre del año 2025, el que suscribe Roberto Carlos Romero Huerta alumno del Programa de Maestría en Ciencias Naturales e Ingeniería de la División de Ciencias Naturales e Ingeniería de la Universidad Autónoma Metropolitana-Unidad Cuajimalpa, manifiesta que es autor intelectual de la presente idónea comunicación de resultados intitulada; "Uso del Aprendizaje automático en la solución de problemas físicos descritos por ecuaciones diferenciales parciales" realizada bajo la dirección de Dr. Roberto Bernal Jaquez y cede los derechos de este trabajo a la Universidad Autónoma Metropolitana (UAM) para su difusión con fines académicos y de investigación.

Los usuarios de la información no deben reproducir el contenido textual, gráfico o de datos del trabajo, sin el permiso expreso del director del trabajo como representante de la UAM. Este puede ser obtenido escribiendo a la siguiente dirección: (rbernal@cua.uam.mx)

Si el permiso se otorga, el usuario deberá dar el agradecimiento correspondiente y citar la fuente del mismo.

Romero Huerta Roberto Carlos

Roberto Carlos Romero Huerta

DECLARACIÓN DE ORIGINALIDAD

"El que suscribe, Roberto Carlos Romero Huerta, alumno del Programa de Maestría en Ciencias Naturales e Ingeniería declara que los resultados reportados en esta idónea comunicación de resultados, son producto de mi trabajo con el apoyo permitido de terceros en cuanto a su concepción y análisis. Así mismo, declaro que hasta donde es de mi conocimiento no contiene material previamente publicado o escrito por otras personas excepto donde se reconoce como tal a través de citas y que este fue usado con propósitos exclusivos de ilustración o comparación. En este sentido, afirmo que cualquier información sin citar a un tercero es de mi propia autoría. Declaro, finalmente, que la redacción de este trabajo es producto de mi propia labor con la dirección y apoyo de mi director y de mi comité tutorial, en cuanto a la concepción del proyecto, al estilo de la presentación y a la expresión escrita."

Romero Huerta Roberto Carlos

Roberto Carlos Romero Huerta

DECLARACIÓN DE NO LUCRO:

El que suscribe, **Roberto Carlos Romero Huerta** alumno del Programa de **Maestría** en Ciencias Naturales e Ingeniería, manifiesta su compromiso de no utilizar con fines de difusión, publicación, protección legal por cualquier medio, licenciamiento, venta, cesión de derechos parcial o total o de proporcionar ventajas comerciales o lucrativas a terceros, con respecto a los materiales, datos analíticos o información de toda índole, relacionada con las actividades e intercambios de información derivados de la relación de investigación académica y tecnológica desarrollada entre la Universidad Autónoma Metropolitana (UAM) y **Roberto Carlos Romero Huerta**.

Romero Huerta Roberto Carlos

Roberto Carlos Romero Huerta

Agradecimientos

Agradezco al Consejo Nacional de Humanidades, Ciencias y Tecnologías (CONAHCYT) por el apoyo económico brindado mediante la beca nacional, sin la cual no hubiera sido posible dedicarme de tiempo completo a este proyecto de investigación.

Expreso mi profundo agradecimiento a la Universidad Autónoma Metropolitana, Unidad Cuajimalpa, División de Ciencias Naturales e Ingeniería, por brindarme la oportunidad de formarme académicamente durante la maestría. Este reconocimiento se extiende al personal administrativo, al Dr. Abel Muñoz y al coordinador de posgrado Dr. Abel García Nájera, quienes acompañaron mi proceso de formación con dedicación y profesionalismo.

De manera especial, agradezco al **Dr. Roberto Bernal Jaquez** por su invaluable tutoría, paciencia y el tiempo invertido en mi formación académica. Su exigencia rigurosa y orientación constante fueron fundamentales para la realización de este trabajo.

Mi gratitud se extiende al **Dr. Guillermo Chacón** y al **Dr. Alexander Schaum**, miembros de mi comité tutorial, quienes con sus observaciones críticas, cuestionamientos profundos y acompañamiento continuo contribuyeron significativamente al desarrollo y mejora constante de esta investigación.

Agradezco también al jurado evaluador, conformado por el **Dr. Alejandro García Chung**, el **Dr. Jorge Cervantes Ojeda** y el **Dr. Antonio López Jaimes** cuyos comentarios críticos y correcciones oportunas enriquecieron sustancialmente este trabajo.

Mi reconocimiento a los profesores que conocí durante la maestría, quienes refrendaron su compromiso con la sociedad y mantuvieron un alto nivel académico en su labor docente. Agradezco a la Dra. Alejandra García Franco por sus reflexiones críticas sobre el posgrado en ciencias; al Dr. Félix Salazar por su énfasis en la rigurosidad matemática; y especialmente al **Dr. Juan Manuel Romero San Pedro**, por ser un maestro ejemplar, empático y profundamente comprometido con la dimensión social de la ciencia.

Agradezco a mis compañeros de maestría, en especial a Guillermo, Emiliano y Enrique, cuyo apoyo, comentarios académicos y compañerismo fueron esenciales para resolver oportunamente diversos trámites administrativos y sortear los desafíos de los cursos. Su colaboración y disposición para compartir conocimiento hicieron posible transitar este camino de mejor manera.

Mi gratitud más profunda es para mis padres, sin cuya solidaridad, paciencia y apoyo incondicional nada de esto habría sido posible. Su solidaridad, comprensión y amor acompañaron este proyecto desde el inicio hasta su culminación.

Resumen

El presente trabajo consistió en estudiar y desarrollar modelos de aprendizaje automático (machine learning) [ML] para resolver ecuaciones diferenciales ordinarias [ODE] y parciales [PDE] lineales y no lineales, con relevancia en el campo de la física. El proyecto está basado en el uso del teorema de aproximación universal probado por Cybenko [11] y Hornik [18]. Además de una red neuronal [21] para aproximar la solución de una ODE o una PDE con una precisión arbitraria [34].

Se presentan ejemplos de solución de ODE y PDE con el algoritmo explícito donde se construye la red neuronal para la predicción de la solución, los ejemplos que abordamos van desde ODEs como la ecuación de crecimiento poblacional y el oscilador armónico amortiguado, hasta ejemplos más complejos, PDEs como la ecuación de calor en 1D y la ecuación de Schrödinger no lineal dependiente del tiempo (NLSE).

Explorar y construir dichos algoritmos no supone una sustitución total de los métodos numéricos tradicionales, si no reforzarlos para encontrar mejores soluciones o soluciones más accesibles a ecuaciones complejas.

Prefacio

Abreviaturas y acrónimos

- ML: Machine learning (Aprendizaje automático o de máquina)
- ec.: ecuación
- 1D : Una dimensión
- **ODE**: Ordinary Differential equation (ec. diferencial ordinaria)
- **PDE**: Partial differential equation (ec. diferencial parcial)
- FDM: Finite differential method (Método de diferencias finitas)
- PINN: Physics informed neural network (Red neuronal informada por física)
- SE: [Schrödinger equation] Ecuación de Schrödinger
- NLSE:[Non linear Schrödinger equation] Ecuación de Schrödinger dependiente del tiempo no lineal

Estructura del ICR

Con el fin de realizar una exposición ordenada y coherente organizamos este trabajo en capítulos modulares, en cada uno de ellos se presenta un discusión ordenada, detallada y concreta de los fundamentos matemáticos y computacionales para construir los algoritmos, que solucionan las ODE y PDE propuestas.

Resumen de contenidos:

- En el **capítulo 1**, se expone el estado del arte acerca de la solución de ODE y PDE con algoritmos que usan redes neuronales.
- En el **capítulo 2** se discuten los fundamentos matemáticos necesarios para abordar la solución de ODE y PDE con redes neuronales. Se muestra como se construye el algoritmo y arquitectura de la red neuronal para resolver ejemplos concretos de ODEs y PDEs. Se muestra como funcionan las PINN.

- En el capítulo 3 se resuelven ec. de Calor en 1D y una ec. de Schrödinger no lineal dependiente del tiempo con con PINNs (Redes neuronales informadas por física). Además, se validan los resultados obtenidos comparando con el método de Crank Nicholson y Pseudoespectral respectivamente.
- En el **capítulo 4** se discuten las conclusiones y prospectivas de los algoritmos desarrollados. Se discuten ventajas y desventajas de las PINN, además de posibles aplicaciones didácticas y técnicas en problemas de interés físico, y de cualquier tema que utilice ecuaciones diferenciales para modelar de problemas.

0.1. Repositorio de Código Fuente

Todo el código fuente utilizado para la resolución de ecuaciones diferenciales (EDO y EDP), entrenamientos PINN, visualizaciones científicas y validación numérica se encuentra disponible en el siguiente repositorio público:

https://github.com/mindsliver/00_ICR_2025_ROBERTO_ROMERO

El repositorio incluye notebooks de Google Colab, scripts en Python y archivos de apoyo organizados por tema. Todos los archivos están en modo solo lectura para garantizar su integridad y consulta reproducible.

Ver notebook de gráficas y errores (24/03/2025) en GitHub

Ver notebook de crecimiento poblacional (23/03/2025) en GitHub

Ver notebook de oscilador armónico subamortiguado (24/03/2025) en GitHub

Ver notebook de la ecuación de calor en GitHub

Ver notebook NLSE Solitón (2 sec, 2x) en GitHub

Ver notebook NLSE Solitón (2 sec, x) estilo Raissi en GitHub

Ver notebook Problema inverso de calor en GitHub

Índice general

Agra	decimientos		
Resu	men	II	
Pref a			V /]
Índic	e de figuras	X	V
Índic	e de tablas	XIX	X
Índic	e de algoritmos	XIX	X
1.3	 1.1.1. Contexto histórico y ev 1.1.2. Transición hacia la reso Physics-Informed Neural Netw 1.2.1. El trabajo seminal de l 1.2.2. Aprendizaje automátic Objetivos del proyecto 1.3.1. Objetivo general 1.3.2. Objetivos específicos: J Desafíos metodológicos y cont 1.4.1. Problemática en la con 	ferenciales y aprendizaje automático	1 1 1 3 4 4 5 6 6 8 8
1.5	5. Estructura y objetivos del tral	bajo	8
	 2.1.1. Clasificación y Formula 2.1.1.1. Ecuaciones D 2.1.1.2. Ecuaciones D 2.1.2. Teorema de Existencia 2.1.3. Métodos de Solución T 	Diferenciales 1 ación Matemática 1 iferenciales Ordinarias (ODEs) 1 iferenciales Parciales (PDEs) 1 y Unicidad 1 radicionales 1	l 1 l 2 l 2 l 3

		2.1.3.2. Métodos Numéricos Establecidos	14
	2.1.4.	Limitaciones de Métodos Analíticos Tradicionales	15
	2.1.5.	Formulación de ODE/PDE como Residuo para Machine Learning .	15
		2.1.5.1. Principio General de Formulación	16
		2.1.5.2. Ejemplos de Formulación como Residuo	16
	2.1.6.	Preparación para Métodos Neuronales	16
2.2.	Funda	mentos de Redes Neuronales	17
	2.2.1.	Contexto para Ecuaciones Diferenciales	17
	2.2.2.	Definiciones Matemáticas Formales	17
		2.2.2.1. Nomenclatura Estándar	18
		2.2.2.2. Definición Formal de Red Neuronal	18
	2.2.3.	Funciones de Activación para Ecuaciones Diferenciales	19
		2.2.3.1. Funciones de Activación Estándar	19
		2.2.3.2. Criterios de Selección para Ecuaciones Diferenciales	21
	2.2.4.	Teoremas Fundamentales de Aproximación	21
		2.2.4.1. Teorema de Aproximación Universal	21
		2.2.4.2. Teorema de Consistencia para Métodos Neuronales	22
	2.2.5.	Inicialización de Parámetros	23
		2.2.5.1. Inicialización Xavier (Glorot)	23
	2.2.6.	Diferenciación Automática	23
		2.2.6.1. Fundamentos Teóricos	23
		2.2.6.2. Modos de Diferenciación Automática	24
		2.2.6.3. Implementación en PyTorch	26
		2.2.6.4. Ventajas de la Diferenciación Automática para EDPs	28
		2.2.6.5. Derivadas de Alto Orden	28
		2.2.6.6. Consideraciones Computacionales	29
	2.2.7.	Preparación para Metodologías Específicas	30
	2.2.8.	Physics-Informed Neural Networks (Raissi 2019)	30
		2.2.8.1. El Trabajo Seminal de Raissi et al. (2019)	30
		2.2.8.2. Paradigma Revolucionario de PINNs	31
		2.2.8.3. Diferencias Conceptuales Fundamentales con Lagaris	31
		2.2.8.4. Incorporación Directa de Física en la Función de Pérdida .	32
		2.2.8.5. Ventajas Revolucionarias de PINNs	32
		2.2.8.6. Limitaciones y Desafíos de PINNs	33
		2.2.8.7. Aplicaciones Paradigmáticas	33
		2.2.8.8. Contribuciones a la Sistematización Metodológica	33
		2.2.8.9. Criterios de Aplicabilidad de PINNs	33
	2.2.9.	Funciones de Pérdida Multi-objetivo	34
		2.2.9.1. Formulación General de la Función de Pérdida	34
		2.2.9.2. Componentes Fundamentales de la Función de Pérdida	34
		2.2.9.3. Estrategias de Ponderación y Balanceamiento	35
		2.2.9.4. Incorporación de Restricciones Físicas Avanzadas	36
		2.2.9.5. Validación y Monitoreo de la Función de Pérdida	36
		2.2.9.6. Consideraciones Computacionales	36
		2.2.9.7. Ejemplo Específico: Ecuación de Calor 1D	37

			(NLSE)
			2.2.9.9. Desafíos y Soluciones Comunes
		2.2.10.	Algoritmos de Optimización y Entrenamiento
			2.2.10.1. Fundamentos de Optimización No Convexa
			2.2.10.2. Algoritmo Adam (Adaptive Moment Estimation)
			2.2.10.3. Configuración Específica Implementada
			2.2.10.4. Propiedades Clave de Adam para PINNs
			2.2.10.5. Criterios de Convergencia y Monitoreo
			2.2.10.6. Técnicas de Estabilización del Entrenamiento
			2.2.10.7. Comparación con Métodos Alternativos
			2.2.10.8. Estrategias de Entrenamiento
	2.3.	Métric	as de Validación y Conexión con Implementaciones
	2.0.	2.3.1.	Marco de Evaluación Sistemática
		2.3.2.	Métricas de Precisión Numérica
		2.0.2.	2.3.2.1. Error Cuadrático Medio (MSE)
			2.3.2.2. Error Medio Absoluto (MAE)
			2.3.2.3. Error L2 Relativo
			2.3.2.4. Error Máximo
		2.3.3.	Métricas de Conservación Física
		2.0.0.	2.3.3.1. Conservación de Masa/Norma
			2.3.3.2. Conservación de Energía
			2.3.3.3. Conservación de Momento
		2.3.4.	Criterios de Convergencia Implementados
		2.0.1	2.3.4.1. Criterios para Métodos Tradicionales
			2.3.4.2. Criterios para PINNs
		2.3.5.	Implementación Práctica de Métricas
			2.3.5.1. Evaluación Durante Entrenamiento
			2.3.5.2. Evaluación Post-Entrenamiento
		2.3.6.	Conexión con Implementaciones del Siguiente Capítulo
3 .	Imp	lement	taciones, Metodologías y Análisis de Resultados
	3.1.	Marco	Metodológico Unificado
		3.1.1.	Introducción al Enfoque Integrado
		3.1.2.	Taxonomía de Problemas Implementados
			3.1.2.1. Ecuaciones Diferenciales Ordinarias (ODEs)
			3.1.2.2. Ecuaciones Diferenciales Parciales (PDEs)
		3.1.3.	Arquitectura Estándar de Implementación
			3.1.3.1. Estructura Modular Unificada
			3.1.3.2. Especificaciones Técnicas Estándar
		3.1.4.	Sistema de Métricas y Gráficas de Validación
			3.1.4.1. Métricas de Precisión Primarias
			3.1.4.2. Sistema de Calificación Automática
		3.1.5.	Protocolos de Comparación Sistemática
			3.1.5.1. Marco de Benchmarking Jerárquico

		3.1.5.2. Criterios de Aplicabilidad Metodológica	64
	3.1.6.	Organización del Resto del Capítulo	64
		3.1.6.1. Marco de Evaluación Sistemática	
		3.1.6.2. Filosofía de Complementariedad Metodológica	66
3.2.	Ecuaci	iones Diferenciales Ordinarias: Implementaciones y Validación	66
	3.2.1.	Problema 0: Decaimiento exponencial	66
	3.2.2.	Gráficos de validación	67
	3.2.3.	Problema 1: Crecimiento Poblacional Logístico	71
		3.2.3.1. Formulación Matemática del Problema	71
		3.2.3.2. Implementación con Método de Lagaris	72
		3.2.3.3. Resultados Cuantitativos Obtenidos	72
		3.2.3.4. Análisis Gráfico Completo	73
		3.2.3.5. Interpretación Físico-Matemática	
	3.2.4.	Problema 2: Oscilador Armónico Subamortiguado	75
		3.2.4.1. Formulación Matemática del Problema	
		3.2.4.2. Implementación con PINNs	
		3.2.4.3. Resultados Cuantitativos Obtenidos	
		3.2.4.4. Análisis Gráfico Completo	
		3.2.4.5. Interpretación Crítica de Resultados	
	3.2.5.	Análisis Comparativo de Metodologías para ODEs	
		3.2.5.1. Síntesis de Resultados Obtenidos	
		3.2.5.2. Criterios de Aplicabilidad Refinados	
		3.2.5.3. Recomendaciones Metodológicas	
	3.2.6.	Conexión con Implementaciones del Repositorio	
	3.2.7.	Aportaciones Específicas a la Literatura	
		3.2.7.1. Caracterización Cuantitativa de Limitaciones	
		3.2.7.2. Marco de Comparación Sistemática	
		3.2.7.3. Transparencia en Implementación	
	3.2.8.	Proyección hacia Ecuaciones Diferenciales Parciales	
		3.2.8.1. Lecciones Transferibles	
		3.2.8.2. Estrategias de Escalamiento	
3.3.		ión de Calor 1D: Análisis Comparativo Exhaustivo	
	3.3.1.	Formulación Matemática y Física del Problema	
		3.3.1.1. Planteamiento del Problema	85
		3.3.1.2. Solución Analítica Exacta	85
		3.3.1.3. Análisis Gráfico de la Solución Analítica	86
	3.3.2.	Método de Crank-Nicolson: Benchmark Numérico	88
		3.3.2.1. Fundamentos del Método	88
		3.3.2.2. Resultados del Método Crank-Nicolson	88
	2.2.2	3.3.2.3. Análisis Gráfico del Método Crank-Nicolson	89
	3.3.3.	Physics-Informed Neural Networks (PINNs): método Neuronal	
		3.3.3.1. Evolución Conceptual: de Lagaris a PINNs	92
	0.0.4	3.3.3.2. Arquitectura y Configuración PINN	93
	3.3.4.	Implementación en código	
	3.3.5.	Configuración de Parámetros PINN Específicos	94

		3.3.5.1. Arquitectura PINN Implementada	. 95
	3.3.6.	Diferenciación Automática para Derivadas Exactas	. 97
		3.3.6.1. Cálculo de Derivadas mediante Backpropagation	. 97
		3.3.6.2. Ventajas de la Diferenciación Automática	. 98
	3.3.7.	Función de Pérdida Multi-Objetivo para la Ecuación de Calor	. 98
		3.3.7.1. Estructura de la Función de Pérdida Implementada	
		3.3.7.2. Análisis de Componentes de Pérdida	. 99
	3.3.8.	Generación de Puntos de Entrenamiento	
		3.3.8.1. Estrategia de Muestreo Implementada	
	3.3.9.	Algoritmo de Entrenamiento PINN	
		3.3.9.1. Implementación de la Función de Entrenamiento	
	3.3.10.	Evaluación del Modelo Entrenado	
		3.3.10.1. Función de Evaluación en Malla Regular	
		3.3.10.2. Cálculo de Métricas de Error	
	3.3.11.	Implementación Principal del PINN según 03_ecuación_CALOR.ipyr	
		3.3.11.1. Sección Principal de Entrenamiento y Evaluación	
		3.3.11.2. Ventajas y Consideraciones de PINNs	
		3.3.11.3. Resultados de PINNs	
		3.3.11.4. Análisis Gráfico Completo de PINNs	
	3.3.12.	Análisis Comparativo Sistemático	
		3.3.12.1. Síntesis Cuantitativa de Métodos	
		3.3.12.2. Análisis de Rangos de Aplicabilidad	
		3.3.12.3. Insights Metodológicos Fundamentales	
	3.3.13.	Contribuciones Específicas al Estado del Arte	
		3.3.13.1. Validación Sistemática Triple	
		3.3.13.2. Marco de Evaluación Cuantitativa	
		3.3.13.3. Transparencia en Limitaciones	
	3.3.14.	Conexión con Implementación del Repositorio	
3.4.		ica cuántica y ecuación de Shrödinger	
	3.4.1.		
	3.4.2.	Ecuación de Schrödinger dependiente del tiempo no lineal - NLSE .	
		3.4.2.1. Aplicaciones de la NLSE y No Linealidad en Sistemas Físico	
3.5.	Solucio	ones de la NLSE	
	3.5.1.	Solución de la forma de Solitones y Ondas No Lineales	119
	3.5.2.	Caso específico de NLSE	
	3.5.3.	Metodologías para NLSE	. 121
	3.5.4.	Solución analítica	
		3.5.4.1. Formulación Matemática del Solitón	121
		3.5.4.2. Análisis Gráfico de la Solución Solitónica	124
	3.5.5.	Pseudoespectral vs PINN para NLSE en 1D	
		3.5.5.1. Integración Temporal: Runge-Kutta de Cuarto Orden	
	3.5.6.	Algoritmo Pseudoespectral Completo y RK4	
	3.5.7.	PINN para NLSE	
		3.5.7.1. Arquitectura de red neuronal	132
		3.5.7.2. Función de Pérdida o Costo	

			3.5.7.3. Análisis de Convergencia y Estabilidad
		3.5.8.	Ventajas y Limitaciones de PINNs
			3.5.8.1. Ventajas Principales
			3.5.8.2. Limitaciones y Desafíos
			3.5.8.3. Criterios de Aplicabilidad
		3.5.9.	Algoritmo PINN Completo
		3.5.10.	. Gráficas y métricas para 2sech(2x)
			Gráficas y métricas para 2sec(x)
	3.6.		para problema inverso en ecuación de calor
			Errores reportados para problema inverso
	3.7.		usiones
		3.7.1.	Recomendaciones de Uso
			3.7.1.1. Conclusiones de la Implementación
		3.7.2.	Interpretación Física de Resultados
			3.7.2.1. Calidad de la Aproximación Neuronal
			3.7.2.2. Limitaciones Identificadas
			3.7.2.3. Criterios de Aplicabilidad Práctica
		3.7.3.	Análisis de Sensibilidad y Robustez
			3.7.3.1. Sensibilidad a Hiperparámetros
			3.7.3.2. Robustez de la Implementación
		3.7.4.	Conclusiones respecto al problema inverso
		3.7.5.	Síntesis y Conexión con Marco Metodológico
			3.7.5.1. Validación del Protocolo Estandarizado 169
			3.7.5.2. Contribución a la Literatura
4	C	-1	una a Dunau a Mar
4.			nes y Prospectiva 173
	4.1.		buciones Metodológicas Específicas
	4.9		Transparencia en Implementación y Reproducibilidad 173
	4.2.		is Crítico de Resultados por Problema
		4.2.1.	Ecuaciones Diferenciales Ordinarias: Éxitos y Limitaciones Documentadas
		499	
		4.2.2.	Aportaciones del Problema Inverso de Transferencia de Calor 173
			4.2.2.1. Capacidades de Identificación Paramétrica
	1.9	Canada	4.2.2.2. Ventajas Metodológicas sobre Enfoques Tradicionales 174
	4.3.		terización Sistemática de Ventajas y Limitaciones de PINNs 17
		4.5.1.	Ventajas Identificadas y Validadas
			4.3.1.1. Flexibilidad Geométrica y Física
		122	4.3.1.2. Capacidades Diferenciadas
		4.3.2.	Limitaciones y Desafíos Cuantificados
			4.3.2.1. Limitaciones Computacionales
	1 1	Critor	8
	4.4.	4.4.1.	ios de Aplicabilidad y Recomendaciones Metodológicas
		4.4.1.	1
			4.4.1.2. Preferir métodos tradicionales cuando:

	4.4.2.	Protocolo de Implementación Recomendado	176
		4.4.2.1. Fase de Preparación	176
		4.4.2.2. Fase de Entrenamiento	176
		4.4.2.3. Fase de Validación	176
	4.4.3.	Contribuciones a la Sistematización de la Literatura	176
	4.4.4.	Limitaciones del Trabajo Actual	177
		4.4.4.1. Limitaciones Metodológicas	177
		4.4.4.2. Limitaciones Técnicas	
4.5.	Prospe	ectiva y Trabajo Futuro	177
	4.5.1.	Problemas Inversos y Caracterización	177
		4.5.1.1. Aplicaciones en Desarrollo	178
	4.5.2.	Impacto Educativo y Didáctico	
		4.5.2.1. Recursos Pedagógicos Desarrollados	
		4.5.2.2. Aplicaciones Didácticas	
4.6.	Conclu	isiones Finales	
	4.6.1.	Reflexión Final sobre el Paradigma Emergente	
	4.6.2.	Impacto en la Comunidad Científica	179
	4.6.3.	Reflexión Final: Hacia una Computación Científica Integrada	179
Apéndi	ices		181
		as y Pósters	181
A.1.	Consta	ancia VI Simposio DCNI - UAM - C	181
A.2.	Consta	ancia SIAM	182
		Simposio DCNI	
A.4.	Póster	Congreso Nacional de Física 2025	184
Bibliog	rafía		185

Índice de figuras

3.1.	Comparación de Solución $u(x,t)$ predicha vs. Solución Exacta/Referencia	67
3.2.	Gráfica de error absoluto vs Tiempo de ODE	68
3.3.	Mapa de Error absoluto vs Tiempo de la ec. de Burgers	68
3.4.	Gráfica de Convergencia de error vs Épocas de entrenamiento	69
3.5.	Error en ec. de decaimiento, MAE y MSE vs Épocas de entrenamiento	70
3.6.	Loss VS Épocas en decaimiento	71
3.7.	Solución predicha vs solución exacta para ODE de crecimiento poblacional.	
	La red neuronal aproxima con alta precisión la curva sigmoidal característica	
	del crecimiento logístico.	73
3.8.	Evolución de MAE y MSE vs Épocas durante el entrenamiento. Se observa	
	convergencia exponencial hacia valores de alta precisión.	74
3.9.	Pérdida (loss) vs Épocas para ODE de crecimiento poblacional. La función	
	de pérdida muestra convergencia estable sin oscilaciones	74
3.10.	Error absoluto vs Tiempo para ODE de crecimiento poblacional. El error se	
	mantiene uniformemente bajo a lo largo de todo el dominio temporal	75
3.11.	Solución exacta vs solución predicha en oscilador armónico subamortiguado.	
	Se observa una aproximación cualitativa del comportamiento oscilatorio,	
	pero con desviaciones cuantitativas significativas	78
3.12.	Evolución de MAE y MSE vs Épocas en oscilador armónico subamortiguado.	
	Se observa convergencia inicial seguida de estancamiento en valores elevados.	78
3.13.	Pérdida vs Épocas en oscilador armónico subamortiguado. La función de	
	pérdida muestra reducción inicial pero no alcanza convergencia completa	7 9
3.14.	Error absoluto vs Tiempo en oscilador armónico subamortiguado. El error	
	muestra variaciones significativas a lo largo del dominio temporal, indicando	
	dificultades en la aproximación.	79
3.15.	Histograma de errores en oscilador armónico subamortiguado. La distribución	
	de errores muestra una dispersión considerable, con una cola hacia errores	
	mayores	80
3.16.	Perfiles múltiples de la solución analítica	86
3.17.	Mapa de calor en 2D de la solución analítica	87
3.18.	Perfil 3D de Calor	87
3.19.	Perfil de temperatura: Crank-Nicolson vs solución analítica. La superposición	
	casi perfecta demuestra la alta precisión del método numérico	89

3.20.	Mapa de calor de solución Crank-Nicolson. La evolución temporal muestra el característico decaimiento exponencial de la distribución sinusoidal inicial.	89
3.21.	Error absoluto Crank-Nicolson respecto a solución analítica. Los errores se mantienen en niveles de 10^{-5} , demostrando la alta precisión del método.	90
3 22	Evolución del error L2 vs tiempo para Crank-Nicolson. El error se mantiene	90
0.22.	estable y bajo a lo largo de toda la simulación	90
3.23.	Distribución de error absoluto espacial para diferentes tiempos. El error se	
	distribuye uniformemente sin acumulación en regiones específicas	91
3.24.	Superficie 3D de la solución Crank-Nicolson. La representación tridimensional	
	muestra claramente el decaimiento exponencial temporal y la conservación	
0.05	del perfil espacial sinusoidal.	91
3.25.	Convergencia del entrenamiento PINN: Evolución de la pérdida total vs	
	épocas. La curva muestra convergencia estable hacia valores bajos, indicando aprendizaje exitoso de la física del problema	109
3.26.	Análisis detallado de convergencia: Descomposición de pérdidas por	100
0.20.	componentes (PDE, IC, BC) mostrando el balance entre diferentes objetivos	
	físicos durante el entrenamiento	110
3.27.	Perfiles de temperatura: PINN vs solución analítica. La comparación muestra	
	buena concordancia cualitativa con desviaciones cuantitativas menores	
9.00		110
3.28.	Mapa de calor de solución PINN. La representación espaciotemporal captura correctamente la física del problema: decaimiento exponencial temporal y	
		111
3.29.	Superficie 3D de solución PINN. La visualización tridimensional confirma	
	que la red neuronal ha aprendido correctamente la evolución temporal del	
	1	111
	1 1 (/ //	125
	1	125
3.32.	Se muestra el perfil en 3d del solitón que será comparado con las soluciones numéricas	126
3 33		$\frac{120}{147}$
	El mapa de calor de la PINN reproduce la física representada por la solución	
		148
3.35.	El mapa de error absoluto muestra las áreas de oportunidad de mejorar la	
		148
	1	149
	1 1	$\frac{149}{150}$
		$150 \\ 150$
		153
	•	154
3.42.	Mapa de error absoluto	
	Comparación de perfiles 3D	
	Perfil 3D de error absoluto	
3 / 15	Convergencia de error, escala lineal	156

3.46.	Convergencia de error, escala logarítmica
3.47.	Representación gráfica de datos sintéticos
3.48.	Gráficas de entrenamiento
3.49.	Perfil temporal de $u(x,t)$
3.50.	Mapas de calor de solución exacta vs PINN
3.51.	Gráfica de error absoluto en comparación de soluciones

Índice de tablas

2.1.	Comparación conceptual entre métodos de Lagaris y PINNs
3.1.	Especificaciones técnicas estándar para arquitectura neuronal 62
3.2.	Parámetros estándar de entrenamiento implementados
3.3.	Sistema de calificación automática para precisión de resultados 63
3.4.	Condiciones técnicas para crecimiento poblacional
3.5.	Informe de resultados para crecimiento poblacional
3.6.	Métricas de error finales
3.7.	Evaluación según criterios de aceptación
3.8.	Análisis de convergencia numérica durante entrenamiento 73
3.9.	Condiciones técnicas para oscilador armónico
3.10.	. Informe de resultados para oscilador armónico
3.11.	. Métricas de error finales
3.12.	Evaluación según criterios de aceptación
3.13.	Análisis de convergencia numérica durante entrenamiento 77
3.14.	. Comparación sistemática de resultados para ODEs 81
3.15.	. Comparación cuantitativa completa: Ecuación de Calor 1D 112
3.16.	. Identificación de coeficiente $lpha$
3.17.	. Precisión de la solución
3.18.	. Análisis de sensibilidad de hiperparámetros para NLSE con PINNs 168

Índice de Algoritmos

2.1.	Ejemplo básico de diferenciación automática en PyTorch	26
2.2.	Cálculo de derivadas para EDPs usando diferenciación automática	26
2.3.	Cálculo de derivadas de alto orden	28
2.4.	Generación de puntos aleatorios uniformes (03_ecuación_CALOR.ipynb) .	44
2.5.	Muestreo adaptativo para regiones críticas	45
2.6.	Implementación de secuencias de baja discrepancia	46
2.7.	Inicialización Xavier utilizada en todas las implementaciones	47
2.8.	Inicialización especializada para NLSE	48
2.9.	Sistema de monitoreo implementado	48
2.10.	Métricas de validación completas	50
2.11.	Evaluación de métricas durante entrenamiento PINN	56
2.12.	Análisis completo de métricas finales	56
3.1.	Estructura PINN en 03_ecuación_CALOR.ipynb	93
3.2.	Parámetros PINN específicos en 03_ecuación_CALOR.ipynb	94
3.3.	Clase HeatPINN implementada en vf_calor_20_07_2025.py	95
3.4.	Diferenciación automática implementada en 03_ecuación_CALOR.ipynb .	97
3.5.	Función de pérdida completa en 03_ecuación_CALOR.ipynb	98
3.6.	Generación de puntos en 03_ecuación_CALOR.ipynb	99
3.7.	Función de entrenamiento en 03_ecuación_CALOR.ipynb	102
3.8.	Evaluación del modelo en 03_ecuación_CALOR.ipynb	104
3.9.	Métricas de error PINN en 03_ecuación_CALOR.ipynb	106
3.10.	Sección principal PINN en 03_ecuación_CALOR.ipynb	106
3.11.	Configuración para pseudoespectral	127
	±	129
3.13.	Arquitectura PINN para Python	132
3.14.	Configuración arquitectónica	132
	Configuración de puntos para entrenamiento PINN	
	Residuo y diferenciación automática	135
3.17.	Condición inicial	137
3.18.	Condiciones periódicas	138
	Función de pérdida	139
	Configuración de optimizador y entrenamiento	141
3.21.	Bucle de entrenamiento	141
3.22.	Evaluación de métricas	142

Capítulo 1

Introducción

1.1. Estado del arte: Ecuaciones diferenciales y aprendizaje automático

Hoy en día las redes neuronales son algoritmos que acompañan nuestra vida cotidiana, al estar tanto en el pensamiento abstracto de desarrollo computacional como en un sin fin de aplicaciones digitales y dispositivos tecnológicos, que sin duda facilitan muchas tareas, desde el ámbito educativo-tecnológico hasta el administrativo. Si bien hoy en día estos algoritmos han alcanzado hitos significativos como la construcción de vehículos autónomos o el desarrollo de modelos de lenguaje natural capaces de responder con precisión preguntas de conocimiento general —como ChatGPT, Claude o DeepSeek—, es fundamental comprender que, para entender y desarrollar estas aplicaciones de manera efectiva, resulta imprescindible estudiar las matemáticas que fundamentan dichos modelos. Este conocimiento no solo permite mejorarlos, sino también hacerlos más accesibles, contribuyendo así a la continua generación de conocimiento científico.

1.1.1. Contexto histórico y evolución de la inteligencia artificial

A continuación se presenta una cronología que aborda de manera cualitativa los conceptos, artículos y autores clave que han permitido construir el horizonte de la inteligencia artificial y su crecimiento permanente.

La historia de los algoritmos de inteligencia artificial tales como las redes neuronales surgen de la idea de tratar de entender como aprendemos, dichos algoritmos tratan de modelar como funcionan los elementos básicos de nuestro sistema general encargados de dicha función, a saber las neuronas y el sistema nervioso, para aprender y realizar diferentes actividades. En el caso de actividades básicas se consideran centrales la solución de problemas de aproximación o estimación, así como problemas de clasificación, dichas actividades engloban problemas generales a los que nos vemos enfrentados los humanos.

Esta historia comienza con el primer modelo matemático de una neurona artificial, el cual fue publicado en 1943 por Warren McCulloch y Walter Pitts. En "A logical Calculus of ideas Inmanent in Nervous Activity" mostraron que con el uso de lógica booleana y teoría de grafos, una red neuronal podía realizar cálculos que pudieran representarse con funciones lógicas. Cabe resaltar que la base matemática de este artículo se halla en la teoría

de las funciones booleanas, en los conceptos de circuitos combinacionales de Shannon y en grafos dirigidos para modelar conexiones neuronales. Shannon propone en "A mathematical Theory of Communication" la entropía como medida central, para tratar la cuantificación del contenido de información, además se establecen conceptos fundamentales como los canales de comunicación y la capacidad de información.

Respecto a la conexión entre neuronas en 1949, Hebb publica su libro "The organization of behavior" en donde formula que si una neurona x contribuye consistentemente al disparo de una neurona z la conexión entre ellas se refuerza, esto se conoce como el principio fundamental del aprendizaje sináptico, en estos modelos se comienza a aplicar estadística para modelar la correlación entre disparos neuronales.

En 1958 Frank Rosenblat pública "The Perceptron: A Probabilistic Model for Information Storage and Organization in the Brain", donde diseña un perceptrón, es decir un modelo de red neuronal de capa única que aprende a clasificar patrones ajustando pesos mediante reglas simples de aprendizaje. Sin embargo el primer perceptrón aún no era capaz de resolver problemas no lineales, como el problema de XOR, tal como en 1969 mostraron Marvin Minsky y Seymour Pernet en su libro "Perceptrons".

Cabe señalar que el desarrollo de modelos matemáticos de neuronas requiere de álgebra lineal y análisis, por esta razón es importante incorporar los conceptos matemáticos más importantes presentes en los algoritmos de redes neuronales. Comenzamos con el de descenso del gradiente, que tiene que ver con la optimización de funciones y la operación conocida como "backpropagation", esto en el fondo se relaciona con el cálculo de derivadas y la aplicación de la regla de la cadena. En 1960 Henry Kelley en "Gradient Theory of Optimal Flight Paths" orientado a teoría del control, propone dicho algoritmo de optimización que sería fundamental para el entrenamiento de redes neuronales. EN 1962 Stuart Dreyfus en "The numerical solution of variational problems" propone un modelo de backpropagation que utiliza la regla de la cadena en lugar de usar programación dinámica.

En 1965 se da el hito fundacional de lo que hoy se conoce como "deep learning" o aprendizaje profundo, se construye la primer red neuronal multicapa o perceptrón multicapa, con funciones de activación polinómicas y entrenadas con el "Group Method of Data Handing", dicho modelo fue propuesto por Valentin Grigoryevich Lapa y ALexander Grigoryevic, quienes son considerados los padres del deep learning.

Hasta este momento en la historia del DL, no se había incorporado el backpropagation, fue hasta que se desarrolló código en FORTRAN, el método general de diferenciación automática, en un artículo de 1970 "The representation of the cumulative rounding error of an algorithm as a Taylor expansion of the local rounding errors" de Seppo Linnainmaa, en el cual se darían los primeros pasos para poder implementarse en la década siguiente. Pero sería Paul Werbos quien en su tesis de PhD usa el backpropagation para propagar errores durante el entrenamiento de una red neuronal. En 1980 Kunihiko Fukushima crea el Neocognitron, que sería la primera red neuronal convolucional y que serviría para el reconocimiento de patrones de caracteres escritos. Para 1982 aparece en escena el hoy premio nobel John Hopfield con su artículo "Neural networks and physical systems with emergent collective computational abilities", donde construye una red neuronal recurrente que será la base de los modelos que surgirán en el futuro. Para 1985 David H. Ackley, Geoffrey Hinton y Terrence Sejnowski construyen la máquina de Boltzmann en su artículo "A learning algorithm for boltzmann machines", y para 1986 David E. Rumelhart, Geoffrey

E. Hinton, Ronald J. Williams aplican con éxito el backpropagation a una red neuronal para el entrenamiento, en dicha publicación los pesos son ajustados con relación al error calculado en la salida, como avance se propone el descenso del gradiente estocástico (SGD).

Para 1989 aparece en escena Yann LeCun, escribe el artículo "Backpropagation applied to handwritten zip code recognition", dicho artículo es importante porque utiliza el algoritmo de "backpropagation" en la construcción de una red neuronal convolucional para identificar dígitos escritos manualmente.

1.1.2. Transición hacia la resolución de ecuaciones diferenciales

En este trabajo abordamos cómo los modelos de redes neuronales pueden utilizarse para resolver problemas matemáticos complejos, específicamente ecuaciones diferenciales ordinarias y parciales. Dado que estas ecuaciones frecuentemente carecen de solución analítica, es necesario recurrir a métodos numéricos como las diferencias finitas. En este contexto, el aprendizaje automático se presenta como una alternativa complementaria—no como un sustituto— a los métodos tradicionales, partiendo del principio de que la combinación de diferentes enfoques numéricos conduce a soluciones de mayor calidad.

Los problemas que se modelan con una ec. diferencial y encontrar la solución de dicha ec., requieren de fundamentos matemáticos rigurosos para poder acercarse a una solución viable. En el desarrollo teórico del aprendizaje automático y las redes neuronales profundas, el artículo seminal de Cybenko [11] escrito a finales de los 80, es de vital importancia porque introduce el teorema de aproximación universal, el cual establece que la salida de una red neuronal de una sola capa puede aproximar una función continua, este resultado es fundamental porque permite modelar funciones que sean solución a las ecuaciones diferenciales propuestas.

Hornik [18] extiende el teorema para el caso de las redes multi capa, mientras que Funahashi [13] añade rigor matemático, al estudio de aproximación de funciones continuas y sus derivadas. Con el teorema de aproximación se pueden abordar problemas no lineales como lo hace Poggio [31] o estudiar la eficiencia de las redes neuronales como lo hace Barron [3].

Durante la década de los años 90 se proponen ejemplos concretos de solución de ecuaciones diferenciales ordinarias como lo propone Meade [26], en su artículo replica soluciones de ecuaciones diferenciales ordinarias que son analíticas. A la par Dissanayake [12] propone explícitamente el uso de redes neuronales para minimizar residuos de ecuaciones diferenciales parciales lineales, mientras que de los primeros operadores no lineales se ocupa Chen [9].

El trabajo de Lagaris et al. [21] representó un avance significativo al proponer un marco sistemático para resolver tanto ecuaciones diferenciales ordinarias como parciales usando redes neuronales. Su metodología de construcción de soluciones tentativas que satisfacen automáticamente las condiciones iniciales y de frontera se convirtió en una base fundamental para desarrollos posteriores.

1.2. Physics-Informed Neural Networks: El paradigma moderno

Durante la década de los 2000, se avanza en la solución de ODEs y PDEs en trabajos como el de Lagaris [22] para abordar problemas con discontinuidades. Con la posibilidad de resolver problemas con coste computacional alto, se comienzan a generar algoritmos que proponen resolver el problema de encontrar el modelo matemático o ec. diferencial a partir de los datos, esto se conoce como el problema inverso, este tema es abordado por Psichogios [32] donde realiza modelos inversos y directos de sistemas dinámicos con redes neuronales.

Desde 2010 se han refinado los algoritmos que permiten resolver ecuaciones diferenciales con redes neuronales, incorporando en la función de costo la información física o condiciones del problema a resolver.

1.2.1. El trabajo seminal de Raissi et al. (2019)

El artículo "Physics-informed neural networks: A deep learning framework for solving forward and inverse problems involving nonlinear partial differential equations" de Raissi, Perdikaris y Karniadakis [34] estableció un nuevo paradigma al introducir las Physics-Informed Neural Networks (PINNs). Este trabajo seminal representa un punto de inflexión en la aplicación del aprendizaje automático a ecuaciones diferenciales.

Contribuciones principales del trabajo de Raissi et al.:

 Formulación matemática rigurosa: Definición de la función de pérdida compuesta que combina el residuo de la ecuación diferencial con las condiciones de frontera e iniciales:

$$\mathcal{L}_{\mathrm{total}} = \lambda_{1}\mathcal{L}_{\mathrm{PDE}} + \lambda_{2}\mathcal{L}_{\mathrm{IC}} + \lambda_{3}\mathcal{L}_{\mathrm{BC}}$$

- 2. **Diferenciación automática**: Utilización de backpropagation para calcular derivadas de la red neuronal con respecto a las variables de entrada, eliminando la necesidad de discretización espacial.
- 3. Validación en problemas paradigmáticos: Demostración de efectividad en ecuaciones como Burgers, Schrödinger no lineal, y Allen-Cahn, estableciendo benchmarks para comparaciones futuras.
- 4. **Tratamiento de problemas inversos**: Extensión natural del marco teórico para identificar parámetros desconocidos en ecuaciones diferenciales.

El problema de alta dimensionalidad en modelos de ecuaciones diferenciales es abordado por Han [17] donde resuelve problemas asociados a ecuaciones diferenciales parabólicas y por Sirignano [35] donde usa el método de Galerkin profundo. Además se han incluido enfoques probabilísticos para encontrar soluciones basadas en datos, como lo ha trabajado Zhu [46].

La capacidad de cómputo adquirida en años recientes, ha permitido abordar problemas de modelación fluidos y solución de las ecuaciones de Navier-Stokes, algunos ejemplos acerca

de la solución de estos problemas los aborda Tartakovsky [39], donde resuelve ecuaciones diferenciales estocásticas en flujos subsuperficiales.

Aunque se muestra la metodología en varias referencias, generar código para implementarlo en Python, Julia u otro lenguaje de programación conlleva retos, ya que casi todos los programas se parecen a cajas negras, donde es difícil ver la composición algorítmica para abordar la solución y modelación. Un ejemplo de esto es el desarrollo de bibliotecas como DeepXDE una biblioteca creada por Lu [24] para resolver ecuaciones diferenciales con redes neuronales, dicha biblioteca tiene la ventaja de hacer más accesible el ingreso de la información física al programa, pero con la gran desventaja de no conocer las entrañas algorítmicas.

Aunque existen bibliotecas consolidadas para resolver ecuaciones diferenciales con redes neuronales, este trabajo opta por la implementación desde los fundamentos matemáticos. Esta decisión responde a que únicamente mediante el conocimiento riguroso de las bases teóricas y la estructura algorítmica es posible desarrollar soluciones verdaderamente innovadoras, adaptar los métodos a casos específicos y avanzar hacia problemas de mayor complejidad matemática.

1.2.2. Aprendizaje automático en problemas científicos y tecnológicos

En las últimas décadas, el aprendizaje automático ha emergido como una herramienta poderosa para abordar problemas científicos complejos. Las redes neuronales, en particular, han demostrado ser capaces de resolver ecuaciones diferenciales, permitiendo aproximaciones eficientes y precisas en situaciones donde los métodos numéricos tradicionales pueden enfrentar limitaciones, especialmente en problemas de alta dimensionalidad o con condiciones de contorno complejas.

El uso de redes neuronales para resolver ecuaciones diferenciales ha generado aplicaciones innovadoras en varias áreas:

- Física: modelado de sistemas dinámicos, simulaciones en mecánica cuántica y dinámica de fluidos [34], [23].
- Ingeniería: diseño y optimización de estructuras, análisis en sistemas de control y simulación de procesos termofluidos [8], [35].
- Biología y Medicina: modelos de crecimiento celular, difusión de enfermedades y simulación de procesos fisiológicos [41], [27].
- Ciencias de la Tierra: predicción de fenómenos climáticos, modelado de procesos geológicos y estudios en hidrología [45], [14].

Estas aplicaciones demuestran cómo la integración de la inteligencia artificial con métodos tradicionales permite abordar problemas complejos de manera más eficiente y con una mayor capacidad de generalización.

1.3. Objetivos del proyecto

1.3.1. Objetivo general

Desarrollar modelos de aprendizaje automático que resuelven ecuaciones diferenciales ordinarias y parciales relevantes para la física.

Además podremos, usando ML y a partir de los datos que arrojan los sistemas físicos complejos inferir una (muy probable) ley física correspondiente, algo totalmente novedoso que aporta el ML a la computación científica.

1.3.2. Objetivos específicos: Justificación de casos escogidos

1. Construir modelos de ML (redes neuronales) que permitan resolver ecuaciones diferenciales parciales lineales con soluciones analíticas.

Problema: Ec. de calor con condiciones iniciales y solución analítica:

$$u_t = k u_{xx},$$

$$u(x,0) = f(x), \quad u(0,t) = 0, \quad u(L,t) = 0.$$

representa un paradigma de las ecuaciones diferenciales parciales parabólicas, con aplicaciones fundamentales en ingeniería térmica, ciencia de materiales y física aplicada.

Solución analítica clásica: La solución analítica mediante separación de variables (Fourier, 1822) proporciona, para condiciones específicas, la expresión:

$$u(x,t) = \sin\left(\frac{\pi x}{L}\right) \exp\left(-\alpha \left(\frac{\pi}{L}\right)^2 t\right).$$

Esta solución exacta sirve como referencia fundamental para validar aproximaciones numéricas y establecer criterios de precisión en este trabajo.

Método de Crank-Nicolson: Desarrollado por Crank y Nicolson [10], este esquema implícito ofrece estabilidad incondicional, precisión de segundo orden $O(\Delta t^2 + \Delta x^2)$, y conservación de propiedades físicas. El método representa el estado del arte en diferencias finitas para problemas parabólicos y proporciona una referencia numérica robusta para comparaciones en este estudio.

PINNs para la ecuación de calor: La aplicación de PINNs a la ecuación de calor ha sido estudiada por varios autores, incluyendo trabajos de Chen et al. [7] en análisis de convergencia y Yang y Perdikaris [42] en mejoras de precisión mediante técnicas de regularización.

2. Construir modelos de ML (redes neuronales) que permitan resolver ecuaciones diferenciales parciales no lineales.

Problema: La ecuación de Schrödinger no lineal (NLSE) con potencial cúbico:

$$iu_t = -\frac{1}{2}u_{xx} + \kappa |u|^2 u,$$

representa una clase fundamental de ecuaciones diferenciales parciales no lineales con aplicaciones en óptica no lineal [20], física de condensados de Bose-Einstein [30], y teoría de ondas solitarias. Las condiciones iniciales y de frontera que se aplican a cada problema se abordan en detalle en su sección correspondiente.

Importancia física de los solitones: Los solitones son ondas solitarias que mantienen su forma durante la propagación debido al balance exacto entre efectos dispersivos y no lineales. La teoría de solitones, desarrollada por Zakharov y Shabat [44], establece que la NLSE admite soluciones solitónicas de la forma:

$$u(x,t) = A \operatorname{sech}[B(x - x_0 - vt)] \exp\{i[\phi_0 + vt + \kappa x]\},\$$

donde los parámetros satisfacen relaciones de compatibilidad específicas derivadas de la teoría de dispersión inversa [28].

Métodos pseudoespectrales: Los métodos pseudoespectrales, desarrollados por Gottlieb y Orszag [15] y aplicados a la NLSE por Taha y Ablowitz [38], ofrecen precisión espectral (convergencia exponencial), conservación exacta de invariantes físicos, y eficiencia computacional $O(N \log N)$ mediante FFT.

La implementación típica utiliza splitting spectral con integración temporal de Runge-Kutta [16], tratando la parte lineal exactamente en el espacio de Fourier y evaluando la no linealidad en el espacio físico.

PINNs para NLSE: La aplicación de PINNs a la NLSE presenta desafíos únicos en el manejo de funciones complejas, conservación de invariantes físicos, y implementación de condiciones periódicas. Trabajos relevantes incluyen contribuciones de Pang et al. [29] en conservación de masa y energía, y Cai et al. [6] en análisis de precisión.

El problema específico de Raissi: El benchmark establecido por Raissi et al. [34] constituye una referencia fundamental:

$$\begin{cases} i\frac{\partial u}{\partial t} + 0.5\frac{\partial^2 u}{\partial x^2} + |u|^2 u = 0, & x \in [-5, 5], \ t \in [0, \pi/2], \\ u(0, x) = 2\operatorname{sech}(x), & \\ u(t, -5) = u(t, 5), & \frac{\partial u}{\partial x}(t, -5) = \frac{\partial u}{\partial x}(t, 5). \end{cases}$$

$$(1.1)$$

Es importante notar que este problema no posee solución analítica exacta conocida, requiriendo procedimientos numéricos tanto para PINNs como para métodos pseudoespectrales para establecer comparaciones válidas.

1.4. Desafíos metodológicos y contribuciones del presente trabajo

1.4.1. Problemática en la comparación sistemática

Como se observa frecuentemente en la literatura especializada, dentro del campo de métodos numéricos y modelación siempre se hallan elementos que muchas veces nublan el terreno de la comparación de resultados. Es decir, dentro de la literatura no hay como tal una metodología general aceptada para hacer comparaciones sistemáticas que evalúen precisión, conservación y eficiencia.

Este problema es particularmente relevante en el contexto de PINNs porque la metodología numérica se adecúa al problema específico a resolver, y diferentes trabajos utilizan arquitecturas, hiperparámetros y métricas distintas, resultando en ausencia de benchmarks unificados para comparación rigurosa.

1.4.2. Contribuciones metodológicas

Para contribuir a la sistematización de dichas comparaciones, este trabajo establece claramente los parámetros usados en la solución de los problemas abordados, proporcionando una base para juzgar fortalezas y debilidades relativas de los enfoques utilizados.

Implementación transparente y reproducible: La mayor parte de los artículos seminales acerca del uso de redes neuronales para resolver ecuaciones no son claros en la construcción del algoritmo a programar, y por tanto es complejo reproducir los resultados que llegan a ofrecer bibliotecas como DeepXDE [25] u otros códigos hallados en diversas fuentes científicas.

En este trabajo se ofrece un código ordenado y claro que aborda problemas desde la solución de ecuaciones diferenciales ordinarias hasta ecuaciones diferenciales parciales no lineales, con implementaciones completamente reproducibles disponibles en repositorio público.

Marco de evaluación sistemática: Se establecen métricas estandarizadas de precisión (MSE, MAE, error L2 relativo), criterios de conservación física rigurosos, y evaluación de eficiencia computacional, proporcionando una base objetiva para comparaciones.

Explorar y construir dichos algoritmos no supone una sustitución total de los métodos numéricos tradicionales, sino reforzarlos para encontrar mejores soluciones o soluciones más accesibles a ecuaciones complejas.

1.5. Estructura y objetivos del trabajo

Con base en el análisis del estado del arte, este trabajo se propone:

- 1. **Desarrollar e implementar** metodologías robustas para aplicar PINNs a ecuaciones diferenciales paradigmáticas.
- 2. Realizar comparaciones sistemáticas entre PINNs y métodos numéricos tradicionales establecidos.

- 3. **Evaluar críticamente** ventajas, limitaciones y rangos de aplicabilidad de cada método.
- 4. **Contribuir al avance** del campo mediante implementaciones reproducibles y análisis riguroso.

Capítulo 2

Fundamentos Matemáticos y Metodológicos

En el capítulo anterior establecimos la importancia histórica y el estado del arte de las redes neuronales aplicadas a ecuaciones diferenciales. Este capítulo proporciona una base completa y rigurosa que integra los fundamentos matemáticos, las metodologías computacionales y las herramientas prácticas necesarias para comprender e implementar algoritmos que permiten resolver ODEs y PDEs mediante técnicas de aprendizaje automático.

La transición desde métodos numéricos tradicionales hacia enfoques basados en redes neuronales requiere dominar múltiples aspectos: (1) la teoría matemática de ecuaciones diferenciales y su clasificación, (2) los fundamentos teóricos de redes neuronales respaldados por teoremas de aproximación universal, (3) las metodologías específicas como Lagaris y PINNs, (4) la diferenciación automática como herramienta computacional clave, y (5) las implementaciones prácticas en frameworks modernos como PyTorch.

Este capítulo está estructurado para proporcionar una progresión lógica e integral que va desde los conceptos matemáticos fundamentales hasta las implementaciones prácticas completas, preparando el terreno para los algoritmos específicos y casos de estudio que se desarrollarán en los capítulos posteriores.

2.1. Fundamentos de Ecuaciones Diferenciales

Las ecuaciones diferenciales constituyen el lenguaje matemático fundamental para describir fenómenos dinámicos en ciencia e ingeniería. En este capítulo estudiaremos la clasificación y definición de ecuaciones diferenciales ordinarias (ODEs) y parciales (PDEs), métodos analíticos y numéricos, haciendo énfasis en las limitaciones de los métodos tradicionales para encontrar soluciones analíticas y generales, y el uso de redes neuronales, basadas en el Teorema de Aproximación Universal [11], para aproximar soluciones de problemas diferenciales.

2.1.1. Clasificación y Formulación Matemática

Su correcta clasificación y formulación es esencial para seleccionar métodos de solución apropiados y comprender las propiedades fundamentales de las soluciones.

2.1.1.1. Ecuaciones Diferenciales Ordinarias (ODEs)

Una ODE de orden n se expresa en forma general como:

$$F\left(x, y, \frac{dy}{dx}, \dots, \frac{d^n y}{dx^n}\right) = 0.$$

Definir la ecuación diferencial como un residuo o expresión donde se tiene una igualdad a cero, será de vital importancia en la comprensión del algoritmo para resolver ecuaciones con redes neuronales, por lo cual todas las ecuaciones sugeridas en este trabajo se expresarán de esta manera, además de que las condiciones iniciales y de frontera deben ser siempre claras.

Formulación para algoritmos neuronales: Para implementaciones con redes neuronales, expresamos siempre la ecuación en forma de residuo. Esta formulación será fundamental para la construcción de funciones de pérdida en algoritmos neuronales.

Ejemplo 2.1.1 (Ecuación logística - Formulación dual). Como ejemplo de la estructura sugerida podemos expresar la ecuación logística de forma tradicional como sigue:

$$\frac{du}{dt} = ru\left(1 - \frac{u}{K}\right), \quad u(0) = u_0.$$

Para algoritmos neuronales, la reformulamos como residuo:

$$R(u,t) = \frac{du}{dt} - ru\left(1 - \frac{u}{K}\right) = 0, \quad u(0) = u_0.$$

Clasificación por orden y linealidad:

- Orden: Determinado por la derivada de mayor orden presente.
- Linealidad: Una ODE es lineal si es de la forma:

$$a_n(x)\frac{d^n y}{dx^n} + a_{n-1}(x)\frac{d^{n-1} y}{dx^{n-1}} + \dots + a_1(x)\frac{dy}{dx} + a_0(x)y = f(x).$$

2.1.1.2. Ecuaciones Diferenciales Parciales (PDEs)

Las PDEs involucran funciones de múltiples variables independientes y sus derivadas parciales. Su clasificación fundamental incluye:

Ecuaciones Parabólicas (como la ecuación de calor):

$$\frac{\partial u}{\partial t} = \alpha \frac{\partial^2 u}{\partial x^2},\tag{2.1}$$

donde $\alpha > 0$ es la difusividad térmica.

Ecuaciones Hiperbólicas (como la ecuación de onda):

$$\frac{\partial^2 u}{\partial t^2} = c^2 \frac{\partial^2 u}{\partial x^2},$$

donde c es la velocidad de propagación.

Ecuaciones de Schrödinger No Lineales (NLSE):

$$i\frac{\partial u}{\partial t} + \frac{1}{2}\frac{\partial^2 u}{\partial x^2} + |u|^2 u = 0, (2.2)$$

donde u(x,t) es una función compleja que describe la amplitud de onda.

Condiciones auxiliares: Toda PDE bien planteada requiere condiciones iniciales y/o de frontera:

- Condiciones iniciales: $u(x,0) = u_0(x)$.
- Condiciones de frontera de Dirichlet: $u(x_0, t) = g(t)$.
- Condiciones de frontera de Neumann: $\frac{\partial u}{\partial x}(x_0, t) = h(t)$.
- Condiciones periódicas: u(x,t) = u(x+L,t).

2.1.2. Teorema de Existencia y Unicidad

El fundamento teórico para la búsqueda de soluciones se establece mediante el siguiente teorema. Todo esto no sería posible si no existiera el siguiente teorema de existencia y unicidad de soluciones para una ecuación diferencial.

Teorema 2.1.1 (Existencia y Unicidad - Picard-Lindelöf). Si f(x,y) y $\partial f/\partial y$ son continuas en un rectángulo R, entonces existe una única solución para el problema de valor inicial y' = f(x,y), $y(x_0) = y_0$.

Más formalmente: Sea f(x,y) continua en una región $R = \{(x,y) : |x-x_0| \le a, |y-y_0| \le b\}$ y supongamos que $\frac{\partial f}{\partial y}$ existe y es continua en R. Entonces existe un intervalo $I = (x_0 - h, x_0 + h)$ donde $h = \min(a, b/M)$ y $M = \max_{(x,y) \in R} |f(x,y)|$, tal que el problema de valor inicial

$$\frac{dy}{dx} = f(x, y), \quad y(x_0) = y_0,$$

tiene una única solución y(x) en I.

Observación 2.1.1 (Implicaciones para algoritmos neuronales). Este teorema garantiza que:

- 1. Los problemas bien formulados tienen solución única.
- 2. La búsqueda de aproximaciones mediante redes neuronales está justificada.
- 3. Las condiciones de Lipschitz aseguran estabilidad numérica.
- 4. Los algoritmos de optimización convergerán a la solución correcta bajo condiciones apropiadas.

2.1.3. Métodos de Solución Tradicionales

Una vez establecida la viabilidad de buscar una solución, los métodos de solución para ODEs/PDEs se dividen en analíticos y numéricos.

2.1.3.1. Métodos Analíticos Clásicos

Los métodos analíticos tradicionales para resolver ODEs/PDEs son:

- Separación de variables: Para PDEs con geometrías regulares y condiciones homogéneas.
- Factor integrante: Para ODEs lineales de primer orden.
- Series de potencia: Soluciones en torno a puntos regulares.
- Transformadas integrales: Laplace, Fourier para problemas lineales.
- Funciones de Green: Para problemas con condiciones no homogéneas.

2.1.3.2. Métodos Numéricos Establecidos

Los métodos numéricos tradicionales para ODEs/PDEs incluyen:

Diferencias finitas:

- Discretización del dominio en rejilla regular.
- Aproximación de derivadas mediante expansiones de Taylor.
- Ventajas: Simplicidad conceptual, implementación directa.
- Limitaciones: Geometrías complejas, orden de precisión limitado.

Elementos finitos:

- Aproximación mediante funciones de base locales.
- Formulación variacional débil.
- Ventajas: Geometrías irregulares, convergencia teórica.
- Limitaciones: Complejidad de implementación, costo computacional.

Volúmenes finitos:

- Conservación en celdas de control.
- Ideal para leves de conservación.
- Ventajas: Conservación automática, estabilidad física.
- Limitaciones: Precisión en derivadas de alto orden.

Limitaciones fundamentales de métodos tradicionales:

- Maldición de dimensionalidad: Costo exponencial en problemas de alta dimensión
 escalabilidad limitada en alta dimensión.
- Geometrías complejas: Dificultad con dominios irregulares o variables.
- Condiciones de contorno no estándar: Restricciones en condiciones mixtas o evolutivas - limitaciones en condiciones de frontera irregulares.
- Problemas inversos: Dificultad para identificar parámetros desconocidos.
- Incorporación de datos: Rígida separación entre datos experimentales y modelo costo computacional en problemas no lineales.

2.1.4. Limitaciones de Métodos Analíticos Tradicionales

La mayoría de ecuaciones diferenciales de interés práctico no poseen soluciones analíticas cerradas. Esto motiva el desarrollo de métodos numéricos y, más recientemente, enfoques basados en redes neuronales.

Desafíos principales en la resolución analítica:

- 1. **Geometrías complejas**: Dominios irregulares donde la separación de variables no es aplicable.
- 2. Condiciones de frontera no estándar: Especificaciones que no encajan en métodos clásicos.
- 3. Sistemas acoplados no lineales: Interacciones entre múltiples ecuaciones.
- 4. Dominios de alta dimensionalidad: Problemas con múltiples variables espaciales.
- 5. Coeficientes variables: Parámetros que dependen de las variables independientes.

Métodos numéricos tradicionales: Los métodos establecidos como diferencias finitas [36], elementos finitos [19] y métodos espectrales [40] ofrecen aproximaciones numéricas, pero presentan limitaciones:

- Requieren discretización espacial y temporal.
- Sensibilidad a la elección de malla.
- Dificultades con geometrías complejas.
- Escalabilidad limitada en alta dimensionalidad.

2.1.5. Formulación de ODE/PDE como Residuo para Machine Learning

Definir la ecuación diferencial como un residuo o expresión donde se tiene una igualdad a cero, será de vital importancia en la comprensión del algoritmo para resolver ecuaciones con redes neuronales, por lo cual todas las ecuaciones sugeridas en este trabajo se expresarán de esta manera, además de que las condiciones iniciales y de frontera deben ser siempre claras.

2.1.5.1. Principio General de Formulación

Para una ecuación diferencial general:

$$\mathcal{N}[u(\mathbf{x})] = f(\mathbf{x}),$$

donde \mathcal{N} es un operador diferencial y \mathbf{x} representa las variables independientes, la formulación como residuo es:

$$R(u, \mathbf{x}) = \mathcal{N}[u(\mathbf{x})] - f(\mathbf{x}) = 0.$$

Ventajas de la formulación como residuo:

- 1. Construcción natural de funciones de pérdida: El residuo se convierte directamente en el término de pérdida de la ecuación diferencial.
- 2. Incorporación sistemática de condiciones auxiliares: Cada condición genera un término adicional en la función de pérdida.
- 3. Evaluación de cumplimiento de leyes físicas: El residuo mide qué tan bien se satisface la ecuación.
- 4. **Flexibilidad en la implementación**: Permite manejar diferentes tipos de ecuaciones de manera unificada.

2.1.5.2. Ejemplos de Formulación como Residuo

Para la ecuación de calor (2.1):

$$R_{\text{calor}}(u, x, t) = \frac{\partial u}{\partial t} - \alpha \frac{\partial^2 u}{\partial x^2} = 0.$$

Para la NLSE (3.6):

$$R_{\text{NLSE}}(u, x, t) = i \frac{\partial u}{\partial t} + \frac{1}{2} \frac{\partial^2 u}{\partial x^2} + |u|^2 u = 0.$$

Esta formulación directa permite la construcción sistemática de algoritmos de machine learning para resolver ecuaciones diferenciales, como veremos en las siguientes secciones.

2.1.6. Preparación para Métodos Neuronales

Los fundamentos establecidos en esta sección proporcionan la base matemática necesaria para comprender cómo las redes neuronales pueden aproximar soluciones de ecuaciones diferenciales. En particular:

- La formulación como residuo será directamente implementada en las funciones de pérdida.
- La clasificación de ecuaciones determinará las arquitecturas de red apropiadas

- Las **condiciones auxiliares** se incorporarán como términos adicionales en el entrenamiento.
- Las limitaciones de métodos tradicionales motivarán las ventajas de los enfoques neuronales.

En la siguiente sección examinaremos los fundamentos teóricos de redes neuronales que permiten esta aproximación, estableciendo el marco conceptual para las metodologías de Lagaris y PINNs que desarrollaremos posteriormente.

2.2. Fundamentos de Redes Neuronales

2.2.1. Contexto para Ecuaciones Diferenciales

La aplicación de redes neuronales a ecuaciones diferenciales representa la convergencia de dos campos matemáticos fundamentales: la teoría de aproximación de funciones y la resolución numérica de ecuaciones diferenciales. Este enfoque se basa en la capacidad de las redes neuronales para aproximar funciones y sus derivadas simultáneamente, aprovechando las propiedades establecidas por los teoremas de aproximación universal.

La transición desde métodos numéricos tradicionales hacia enfoques basados en redes neuronales se fundamenta en tres pilares teóricos clave:

- 1. Capacidad de aproximación universal: Los teoremas de Cybenko [11] y Hornik [18] demuestran que las redes neuronales pueden aproximar cualquier función continua con precisión arbitraria. Si bien esta propiedad es teórica, en la práctica las redes proporcionan aproximaciones de alta calidad que resultan suficientes para la mayoría de aplicaciones.
- 2. Diferenciación automática: Algoritmo computacional que calcula derivadas exactas de funciones complejas mediante la aplicación sistemática de la regla de la cadena. Esta técnica, implementada en frameworks modernos como TensorFlow y PyTorch, permite evaluar gradientes de manera eficiente incluso en arquitecturas profundas, siendo fundamental para el entrenamiento por retropropagación.
- 3. Optimización no convexa: Los algoritmos de descenso por gradiente estocástico y sus variantes permiten navegar espacios de parámetros de alta dimensión. Aunque no garantizan convergencia al mínimo global excepto bajo condiciones restrictivas, en la práctica encuentran mínimos locales de calidad suficiente para obtener soluciones competitivas.

2.2.2. Definiciones Matemáticas Formales

Para comenzar empezamos con las definiciones formales matemáticas acerca de las redes neuronales, ya que se suele omitir la matemática y muchas veces se le considera a estos elementos de álgebra lineal una caja negra, lo cual levanta un mito que hace parecer casi místicos estos algoritmos. Una definición clara puede ayudar a entender los grandes

avances matemáticos y computacionales, que permiten tener algoritmos y modelos tan complejos como ChatGPT o DeepSeek.

2.2.2.1. Nomenclatura Estándar

Para mantener rigor y consistencia en el desarrollo matemático, establecemos la siguiente nomenclatura:

- \mathbb{R}^n : espacio euclidiano n-dimensional.
- $\mathbf{x} \in \mathbb{R}^{d_0}$: vector de entrada (dimensión d_0).
- $\mathbf{y} \in \mathbb{R}^{d_L}$: vector de salida (dimensión d_L).
- $L \in \mathbb{N}$: número de capas ocultas.
- $\mathbf{W}_i \in \mathbb{R}^{d_i \times d_{i-1}}$: Matriz de pesos de la capa i.
- $\mathbf{b}_i \in \mathbb{R}^{d_i}$: Vector de sesgo de la capa i.
- $\mathbf{d_i}$: número de nodos de la capa i = 1, ..., n.
- $\sigma_i : \mathbb{R} \to \mathbb{R}$: Función de activación de la capa i.
- $\mathcal{L}: \mathbb{R}^m \times \mathbb{R}^m \to \mathbb{R}^+$: función de pérdida.
- $\theta = \{\mathbf{W}_i, \mathbf{b}_i\}_{i=1}^L$: conjunto completo de parámetros de la red.
- ∇_{θ} : gradiente respecto a los parámetros θ .
- \odot : producto de Hadamard (element-wise).
- $\eta_t > 0$: tasa de aprendizaje en iteración t.

2.2.2.2. Definición Formal de Red Neuronal

Los elementos básicos que conforman una red neuronal aplicada a ecuaciones diferenciales son:

- Arquitectura de red: diseño de capas y conexiones.
- Funciones de activación: introducción de no linealidades.
- Función de pérdida: incorporación de física y condiciones.
- Algoritmo de optimización: retropropagación y actualización de pesos.
- Procedimiento de entrenamiento: estrategia de minimización de pérdida.

Definición 2.2.1 (Red neuronal feedforward profunda). Una red neuronal feedforward de L capas se define como una función compuesta $\mathcal{N}: \mathbb{R}^{d_0} \to \mathbb{R}^{d_L}$ construida recursivamente:

$$\mathbf{z}_1 = \mathbf{W}_1 \mathbf{x} + \mathbf{b}_1$$
 (Capa de entrada), (2.3)

$$\mathbf{a}_1 = \sigma_1(\mathbf{z}_1),\tag{2.4}$$

$$\mathbf{z}_l = \mathbf{W}_l \mathbf{a}_{l-1} + \mathbf{b}_l \quad para \ 2 \le l \le L, \tag{2.5}$$

$$\mathbf{a}_l = \sigma_l(\mathbf{z}_l) \quad para \ 2 \le l \le L - 1,$$
 (2.6)

$$\mathbf{y} = \mathbf{a}_L = \sigma_L(\mathbf{z}_L)$$
 (Salida final), (2.7)

donde $\theta = \{\mathbf{W}_i, \mathbf{b}_i\}_{i=1}^L$ son los parámetros entrenables y cada σ_i es una función de activación.

2.2.3. Funciones de Activación para Ecuaciones Diferenciales

Las funciones de activación son críticas en redes neuronales para resolver ecuaciones diferenciales (EDs), ya que introducen no linealidades que permiten aproximar soluciones complejas. En métodos como el de Lagaris et al. (redes tradicionales) y Physics-Informed Neural Networks (PINNs), la elección de la función de activación influye en la precisión, estabilidad y velocidad de entrenamiento. A continuación se presenta una definición formal de la función de activación que le da rigor matemático a la construcción de la red neuronal.

Definición 2.2.2 (Función de activación). Una función de activación $\sigma : \mathbb{R} \to \mathbb{R}$ debe satisfacer:

- 1. No linealidad: $\nexists a, b \in \mathbb{R}$ tal que $\sigma(z) = az + b$ para todo $z \in \mathbb{R}$.
- 2. **Diferenciabilidad:** $\sigma \in C^k(\mathbb{R} \setminus N)$ donde N tiene medida cero y $k \geq 1$.
- 3. Crecimiento controlado: $|\sigma(z)| \leq C(1+|z|^{\alpha})$ para constantes C > 0, $\alpha \geq 0$.
- 4. Propiedades de saturación apropiadas: Para estabilidad numérica.

2.2.3.1. Funciones de Activación Estándar

Función Tangente Hiperbólica:

$$\tanh(x) = \frac{e^x - e^{-x}}{e^x + e^{-x}} = \frac{2}{1 + e^{-2x}} - 1.$$
 (2.8)

Propiedades para ecuaciones diferenciales:

- Diferenciable infinitamente: $\frac{d}{dx} \tanh(x) = 1 \tanh^2(x)$.
- Acotada: $tanh(x) \in (-1, 1)$.
- Simétrica (impar): tanh(-x) = -tanh(x).
- Estabilidad numérica en diferenciación automática.

Función ReLU (Rectified Linear Unit):

$$ReLU(x) = máx(0, x) = \begin{cases} x & \text{si } x > 0 \\ 0 & \text{si } x \le 0 \end{cases}$$
 (2.9)

Propiedades para ecuaciones diferenciales:

- Derivada simple: $\frac{d}{dx} \text{ReLU}(x) = \begin{cases} 1 & \text{si } x > 0 \\ 0 & \text{si } x < 0 \end{cases}$ (no definida en x = 0).
- No acotada superiormente: $ReLU(x) \in [0, \infty)$.
- No saturación para valores positivos: evita el problema de gradientes desvanecientes.
- Computacionalmente eficiente: solo requiere comparación y operación umbral.

Función Sigmoide:

$$\sigma(x) = \frac{1}{1 + e^{-x}}. (2.10)$$

Propiedades para ecuaciones diferenciales:

- Diferenciable infinitamente: $\frac{d}{dx}\sigma(x) = \sigma(x)(1 \sigma(x))$.
- Acotada: $\sigma(x) \in (0,1)$, interpretable como probabilidad.
- Simétrica respecto al punto (0, 1/2): $\sigma(-x) = 1 \sigma(x)$.
- Saturación en extremos: gradientes tienden a cero cuando $|x| \to \infty$.

Función GELU (Gaussian Error Linear Unit):

GELU(x) =
$$x\Phi(x) \approx 0.5x \left(1 + \tanh \left[\sqrt{\frac{2}{\pi}} \left(x + 0.044715x^3 \right) \right] \right),$$
 (2.11)

donde $\Phi(x) = \frac{1}{2} \left[1 + \operatorname{erf} \left(\frac{x}{\sqrt{2}} \right) \right]$ es la función de distribución acumulada normal estándar. Propiedades para ecuaciones diferenciales:

- Diferenciable infinitamente: $\frac{d}{dx}$ GELU $(x) = \Phi(x) + x\phi(x)$, donde $\phi(x) = \frac{1}{\sqrt{2\pi}}e^{-x^2/2}$.
- Suave y no monótona: presenta comportamiento similar a ReLU pero con transición suave.
- No acotada: permite valores negativos pequeños, mejorando el flujo de gradientes.
- Ampliamente usada en arquitecturas transformer modernas (BERT, GPT).

2.2.3.2. Criterios de Selección para Ecuaciones Diferenciales

Para resolver ecuaciones diferenciales, las funciones de activación deben satisfacer:

- 1. **Diferenciabilidad:** múltiples derivadas bien definidas.
- 2. Estabilidad numérica: gradientes que no exploten o desaparezcan.
- 3. Capacidad representacional: aproximación de funciones complejas.
- 4. Eficiencia computacional: cálculo rápido de derivadas.

2.2.4. Teoremas Fundamentales de Aproximación

2.2.4.1. Teorema de Aproximación Universal

Teorema 2.2.1 (Cybenko 1989). Sea σ una función de activación continua, acotada y no constante. Para cualquier función continua $f:[0,1]^n \to \mathbb{R}$ y cualquier $\epsilon > 0$, existe una red neuronal de una capa oculta

$$N(x;\theta) = \sum_{j=1}^{m} w_j \sigma \left(\sum_{i=1}^{n} v_{ji} x_i + b_j \right) + c,$$
 (2.12)

tal que:

$$\sup_{x \in [0,1]^n} |f(x) - N(x;\theta)| < \epsilon. \tag{2.13}$$

Extensiones fundamentales:

Hornik [18] extiende el teorema para el caso de las redes multicapa, mientras que Funahashi [13] añade rigor matemático al estudio de aproximación de funciones continuas y sus derivadas.

Teorema 2.2.2 (Hornik 1989). El teorema de aproximación universal se extiende a redes multicapa: cualquier función medible puede ser aproximada uniformemente en conjuntos compactos por redes neuronales feedforward con cualquier función de activación no polinomial.

Teorema 2.2.3 (Funahashi 1989 - Aproximación de derivadas). Si $f \in C^k(K)$ donde K es un conjunto compacto, entonces tanto f como sus derivadas parciales hasta orden k pueden ser aproximadas uniformemente por una red neuronal y sus derivadas correspondientes.

Implicaciones para ecuaciones diferenciales:

- 1. Las redes neuronales tienen la capacidad teórica de aproximar tanto soluciones como sus derivadas con precisión arbitraria.
- 2. La capacidad de aproximación justifica teóricamente su uso para problemas diferenciales, aunque la realización práctica depende del proceso de optimización.

- 3. No existe limitación teórica en la complejidad de las soluciones representables, siempre que existan parámetros adecuados (cuya existencia está garantizada pero no su localización computacional).
- 4. La precisión práctica está limitada por tres factores: (i) el tamaño de la red, (ii) la calidad del entrenamiento, y (iii) la capacidad del optimizador para navegar el paisaje de pérdida no convexo.

Observación 2.2.1 (Brecha teoría-práctica). El teorema de aproximación universal es un resultado de existencia: garantiza que para cualquier función objetivo y tolerancia $\varepsilon > 0$, existen parámetros de red tales que el error de aproximación es menor que ε . Sin embargo, este resultado no proporciona un algoritmo constructivo para encontrar dichos parámetros. En la práctica, los métodos de optimización basados en gradiente (SGD, Adam, etc.) convergen a mínimos locales del paisaje de pérdida, que pueden diferir significativamente del mínimo global. Esta distinción es fundamental para entender tanto las capacidades como las limitaciones de las redes neuronales en la resolución de ecuaciones diferenciales.

Con el teorema de aproximación se pueden abordar problemas no lineales como lo hace Poggio [31] o estudiar la eficiencia de las redes neuronales como lo hace Barron [4].

2.2.4.2. Teorema de Consistencia para Métodos Neuronales

Teorema 2.2.4 (Consistencia). Sea u^* la solución exacta del problema diferencial y $u_{NN}(\cdot;\theta)$ la solución aproximada construida mediante redes neuronales. Si:

- 1. La red neuronal $N(x;\theta)$ es un aproximador universal.
- 2. El conjunto de entrenamiento $\{x_i\}_{i=1}^n$ es denso en el dominio Ω .
- 3. La función de pérdida $\mathcal{L}(\theta)$ incorpora apropiadamente la ecuación diferencial y condiciones.
- 4. El proceso de optimización converge al mínimo global: $\lim_{k\to\infty} \mathcal{L}(\theta_k) = \inf_{\theta} \mathcal{L}(\theta)$.

Entonces:

$$\lim_{\theta \to \theta^*} \|u_{NN}(\cdot; \theta) - u^*(\cdot)\|_{H^k(\Omega)} = 0, \tag{2.14}$$

para un espacio de Sobolev $H^k(\Omega)$ apropiado.

Sketch de la demostración. La demostración se basa en tres elementos clave:

- 1. Capacidad de aproximación: el teorema de aproximación universal garantiza que existe θ^* tal que $u_{NN}(\cdot; \theta^*)$ aproxima u^* arbitrariamente bien.
- 2. Consistencia de la discretización: la densidad del conjunto de entrenamiento asegura que minimizar la pérdida discreta es equivalente a minimizar la pérdida continua.
- 3. Convergencia del optimizador: bajo condiciones apropiadas, algoritmos como Adam o L-BFGS convergen al minimizador de la función de pérdida.

2.2.5. Inicialización de Parámetros

La Inicialización apropiada de los pesos es fundamental para la convergencia estable del entrenamiento. Para redes que resuelven ecuaciones diferenciales, se utilizan esquemas que preservan la varianza de las activaciones a través de las capas.

2.2.5.1. Inicialización Xavier (Glorot)

Principio: Mantener la varianza de las activaciones constante a través de las capas. La pre-activación $z_j = \sum_{i=1}^{n_{in}} W_{ji} x_i$ tiene:

$$\mathbb{E}[z_i] = 0, \tag{2.15}$$

$$\operatorname{Var}(z_j) = \mathbb{E}\left[\left(\sum_{i=1}^{n_{in}} W_{ji} x_i\right)^2\right],\tag{2.16}$$

$$= \sum_{i=1}^{n_{in}} \mathbb{E}[W_{ji}^2] \mathbb{E}[x_i^2] = n_{in} \sigma^2.$$
 (2.17)

Para mantener $Var(z_j) = 1$, se requiere $\sigma = 1/\sqrt{n_{\rm in}}$. Considerando también la propagación hacia atrás se obtiene:

$$\sigma = \sqrt{\frac{2}{n_{\rm in} + n_{\rm out}}}. (2.18)$$

Implementación práctica: Los pesos se inicializan desde una distribución uniforme:

$$W_{ij} \sim \mathcal{U}\left(-\sqrt{\frac{6}{n_{\rm in} + n_{\rm out}}}, \sqrt{\frac{6}{n_{\rm in} + n_{\rm out}}}\right).$$
 (2.19)

2.2.6. Diferenciación Automática

La diferenciación automática (Automatic Differentiation, AD) constituye el pilar fundamental que permite a las redes neuronales resolver ecuaciones diferenciales con precisión matemática exacta. A diferencia de la diferenciación numérica tradicional, que introduce errores de truncamiento, o la diferenciación simbólica, que resulta computacionalmente prohibitiva para funciones complejas, la diferenciación automática aprovecha la estructura composicional de las funciones implementadas en código para calcular derivadas exactas.

2.2.6.1. Fundamentos Teóricos

El principio básico de AD reside en la descomposición de cualquier función compleja f en una secuencia de operaciones elementales ϕ_i :

$$f(x) = \phi_n \circ \phi_{n-1} \circ \dots \circ \phi_2 \circ \phi_1(x). \tag{2.20}$$

 ϕ_i es una operación elemental: suma, multiplicación, funciones trigonométricas o cualquier otra función cuya derivada se conoce analíticamente.

Regla de la Cadena Computacional:

Para una función compuesta f(g(x)), la regla de la cadena establece:

$$\frac{df}{dx} = \frac{df}{dq} \cdot \frac{dg}{dx}. (2.21)$$

AD aplica esta regla sistemáticamente a través del grafo computacional:

$$\frac{\partial f}{\partial x} = \sum_{i} \frac{\partial f}{\partial v_i} \cdot \frac{\partial v_i}{\partial x},\tag{2.22}$$

donde v_i son las variables intermedias en el cálculo.

2.2.6.2. Modos de Diferenciación Automática

Forward Mode: Calcula derivadas propagando variaciones desde las entradas hacia las salidas:

$$\dot{v}_i = \frac{\partial v_i}{\partial x},\tag{2.23}$$

$$\dot{f} = \frac{\partial f}{\partial x}.\tag{2.24}$$

Modo Directo (Forward Mode):

En el modo directo, las derivadas se calculan simultáneamente con la evaluación de la función, propagando las derivadas **hacia adelante** a través del grafo computacional.

Algoritmo Forward Mode:

- 1. Inicializar: $\dot{x} = 1$ (semilla).
- 2. Para cada operación elemental $v_i = \phi_i(v_{i-1})$:
 - Calcular valor: $v_i = \phi_i(v_{i-1})$.
 - Calcular derivada: $\dot{v_i} = \phi'_i(v_{i-1}) \cdot \dot{v_{i-1}}$.

Ejemplo 2.2.1 (Forward Mode: Función Simple). Función: $f(x) = x^2 + 2x + 1$ evaluada en x = 3.

Operación	Valor primal	Derivada tangente	$Regla\ aplicada$
$v_1 = x$	$v_1 = 3$	$\dot{v_1} = 1$	Inicialización
$v_2 = v_1^2$	$v_2 = 9$	$\dot{v_2} = 2v_1 \cdot \dot{v_1} = 6$	Regla de la potencia
$v_3 = 2v_1$	$v_3 = 6$	$\dot{v_3} = 2 \cdot \dot{v_1} = 2$	Regla del producto
$v_4 = v_2 + v_3$	$v_4 = 15$	$\dot{v_4} = \dot{v_2} + \dot{v_3} = 8$	Regla de la suma
$f = v_4 + 1$	f = 16	$\dot{f} = \dot{v_4} = 8$	Regla de la suma

Verificación analítica: f'(x) = 2x + 2 = 2(3) + 2 = 8.

Reverse Mode (Backpropagation): Calcula derivadas propagando adjuntos desde las salidas hacia las entradas:

$$\bar{v}_i = \frac{\partial f}{\partial v_i},\tag{2.25}$$

$$\bar{x} = \frac{\partial f}{\partial x}.\tag{2.26}$$

Modo Inverso (Reverse Mode):

En el modo inverso, primero se evalúa la función completa, luego se calculan las derivadas hacia atrás desde la salida hacia las entradas.

Algoritmo 1 Algoritmo Reverse Mode

- 1: Forward pass: Evaluar f(x) y guardar valores intermedios
- 2: Backward pass: Propagar adjoints $\bar{v}_i = \frac{\partial f}{\partial v_i}$
- 3: Inicializar: $\bar{f} \leftarrow 1$
- 4: for cada variable v_i en orden reverso do
- 5: $\bar{v}_i \leftarrow \sum_j \bar{v}_j \cdot \frac{\partial v_j}{\partial v_i}$ 6: **end for**

Ejemplo 2.2.2 (Reverse Mode: Misma función). Función: $f(x) = x^2 + 2x + 1$ evaluada en x = 3.

Forward pass (igual que antes):

$$v_1 = x = 3, (2.27)$$

$$v_2 = v_1^2 = 9, (2.28)$$

$$v_3 = 2v_1 = 6, (2.29)$$

$$v_4 = v_2 + v_3 = 15, (2.30)$$

$$f = v_4 + 1 = 16. (2.31)$$

Backward pass:

Variable		$C\'alculo$
\overline{f}	1	(semilla)
$\bar{v_4}$	1	$\bar{f} \cdot \frac{\partial f}{\partial v_4} = 1 \cdot 1 = 1$
$\bar{v_3}$	1	$\bar{v_4} \cdot \frac{\partial v_4}{\partial v_3} = 1 \cdot 1 = 1$
$\bar{v_2}$	1	$\bar{v_4} \cdot \frac{\partial v_4}{\partial v_2} = 1 \cdot 1 = 1$
$ar{v_1}$	8	$\bar{v_2} \cdot 2v_1 + \bar{v_3} \cdot 2 = 1 \cdot 6 + 1 \cdot 2 = 8$

Por tanto: $\frac{\partial f}{\partial x} = \bar{v_1} = 8 \checkmark$

Consideraciones computacionales:

- Forward mode: O(n) memoria adicional.
- Reverse mode: O(profundidad del grafo) memoria adicional.

■ Para n entradas y m salidas: forward mode es eficiente si $n \ll m$, reverse mode si $m \ll n$.

Regla práctica de selección:

- Si $n \gg m$ (muchas entradas, pocas salidas): usar **reverse mode**.
- Si $m \gg n$ (pocas entradas, muchas salidas): usar forward mode.

Aplicación a Redes Neuronales:

En redes neuronales típicamente tenemos:

- $n \sim 10^6$ parámetros.
- m=1 función de pérdida escalar.

Por tanto: reverse mode es óptimo ⇒ backpropagation

2.2.6.3. Implementación en PyTorch

La implementación práctica de diferenciación automática en PyTorch utiliza el módulo torch.autograd, que implementa reverse mode AD de manera eficiente.

```
import torch

# Definir variable con gradientes habilitados
x = torch.tensor(3.0, requires_grad=True)

# Definir función compuesta
y = x**2 + 2*x + 1

# Calcular derivada automáticamente
y.backward() # Ejecuta reverse mode AD

# Obtener resultado
print(f"f({x.item()}) = {y.item()}")
print(f"f'({x.item()}) = {x.grad.item()}")
# Salida: f(3.0) = 16.0, f'(3.0) = 8.0
```

Algoritmo 2.1: Ejemplo básico de diferenciación automática en PyTorch

Aplicación a Ecuaciones Diferenciales:

Para resolver ecuaciones diferenciales, necesitamos calcular derivadas de la salida de la red neuronal respecto a las coordenadas de entrada:

```
import torch
import torch.nn as nn

def calcular_derivadas_edp(modelo, x, t):
    """

Calcula derivadas parciales de u(x,t) usando diferenciación automática
```

```
Parámetros:
8
       _____
       modelo : nn.Module
            Red neuronal que aproxima u(x,t)
11
       x, t : torch.Tensor
            Coordenadas espaciales y temporales
13
14
       Retorna:
15
       _____
       dict : Derivadas \partial u/\partial t, \partial u/\partial x, \partial^2 u/\partial x^2
17
18
19
       # Habilitar cálculo de gradientes
20
       x.requires_grad_(True)
21
       t.requires_grad_(True)
22
23
       # Evaluar red neuronal: u(x,t)
24
       u = modelo(x, t)
25
26
       # Primera derivada temporal: \partial u/\partial t
27
       u_t = torch.autograd.grad(
2.8
            outputs=u, inputs=t,
2.9
            grad_outputs=torch.ones_like(u),
30
            create_graph=True, retain_graph=True
31
       [0]
32
33
       # Primera derivada espacial: \partial u/\partial x
34
       u_x = torch.autograd.grad(
35
            outputs=u, inputs=x,
36
            grad_outputs=torch.ones_like(u),
37
            create_graph=True, retain_graph=True
38
       [0]
40
       # Segunda derivada espacial: \partial^2 \mathbf{u}/\partial \mathbf{x}^2
41
       u_xx = torch.autograd.grad(
42
            outputs=u_x, inputs=x,
43
            grad_outputs=torch.ones_like(u_x),
44
            create_graph=True, retain_graph=True
45
       [0]
46
47
       return {
48
            'u': u,
49
            'u_t': u_t,
50
            'u_x': u_x,
51
            'u_xx': u_xx
52
       }
53
```

```
# Ejemplo de uso para la ecuación de calor: \partial u/\partial t = \alpha \ \partial^2 u/\partial x^2

def residuo_ecuacion_calor(modelo, x, t, alpha=0.1):

"""

Calcula el residuo de la ecuación de calor

"""

derivadas = calcular_derivadas_edp(modelo, x, t)

# Residuo: R = \partial u/\partial t - \alpha \ \partial^2 u/\partial x^2

residuo = derivadas['u_t'] - alpha * derivadas['u_xx']

return residuo
```

Algoritmo 2.2: Cálculo de derivadas para EDPs usando diferenciación automática

2.2.6.4. Ventajas de la Diferenciación Automática para EDPs

Comparación con métodos tradicionales:

Aspecto	Dif. Finitas	Dif. Simbólica	Dif. Automática
Precisión	Error $O(h)$ o $O(h^2)$	Exacta	Exacta (p. máquina)
Estabilidad	Cancelación catastrófica	Estable	Estable
Eficiencia	O(n) evaluaciones	Explosión simbólica	O(1) evaluaciones
Flexibilidad	Limitada	Limitada	Funciones arbitrarias

Ventajas específicas para PINNs:

- 1. Precisión exacta: no hay errores de truncamiento numérico.
- 2. Eficiencia computacional: costo constante por derivada.
- 3. Estabilidad numérica: evita cancelación catastrófica.
- 4. Flexibilidad: maneja composiciones arbitrariamente complejas.
- 5. Integración natural: compatible con optimización de redes neuronales.

2.2.6.5. Derivadas de Alto Orden

Para ecuaciones que requieren derivadas de alto orden, AD permite cálculos anidados:

```
def derivadas_alto_orden(modelo, x, t):
    """

Calcula derivadas hasta cuarto orden para ecuaciones complejas
    """

x.requires_grad_(True)
    t.requires_grad_(True)

u = modelo(x, t)
```

```
# Derivadas de primer orden
      u_x = torch.autograd.grad(u, x, create_graph=True, retain_graph
11
     =True)[0]
      u_t = torch.autograd.grad(u, t, create_graph=True, retain_graph
12
     =True)[0]
13
      # Derivadas de segundo orden
14
      u_xx = torch.autograd.grad(u_x, x, create_graph=True,
     retain_graph=True)[0]
      u_tt = torch.autograd.grad(u_t, t, create_graph=True,
     retain_graph=True)[0]
      u_xt = torch.autograd.grad(u_x, t, create_graph=True,
17
     retain_graph=True)[0]
18
      # Derivadas de tercer orden
19
      u_xxx = torch.autograd.grad(u_xx, x, create_graph=True,
20
     retain_graph=True)[0]
21
      # Derivadas de cuarto orden
      u_xxxx = torch.autograd.grad(u_xxx, x, create_graph=True,
23
     retain_graph=True)[0]
      return {
25
          'u': u, 'u_x': u_x, 'u_t': u_t,
26
          'u_xx': u_xx, 'u_tt': u_tt, 'u_xt': u_xt,
27
          'u_xxx': u_xxx, 'u_xxxx': u_xxxx
```

Algoritmo 2.3: Cálculo de derivadas de alto orden

Esta capacidad es crucial para resolver ecuaciones como la de Korteweg-de Vries $(u_t + uu_x + u_{xxx} = 0)$ o la ecuación de beam $(u_{tt} + u_{xxxx} = 0)$.

2.2.6.6. Consideraciones Computacionales

Uso de memoria:

- Forward mode: O(n) memoria adicional.
- Reverse mode: O(profundidad del grafo) memoria adicional.

Optimizaciones en PyTorch:

- create_graph=True: permite derivadas de derivadas.
- retain_graph=True: mantiene el grafo para múltiples backward passes.
- only_inputs=True: optimiza cálculo limitando a variables de interés.

La diferenciación automática transforma fundamentalmente la manera en que resolvemos ecuaciones diferenciales con redes neuronales, proporcionando la base matemática rigurosa necesaria para que las PINNs funcionen de manera efectiva y precisa.

2.2.7. Preparación para Metodologías Específicas

Los fundamentos establecidos en esta sección proporcionan las herramientas matemáticas necesarias para comprender los métodos específicos de resolución de ecuaciones diferenciales con redes neuronales:

- Teoremas de aproximación justifican la capacidad representacional.
- Diferenciación automática permite el cálculo exacto de residuos.
- Arquitecturas feedforward proporcionan el marco computacional.
- Inicialización apropiada asegura convergencia estable

En la siguiente sección examinaremos la evolución metodológica desde el enfoque pionero de Lagaris hasta las modernas Physics-Informed Neural Networks, mostrando cómo estos fundamentos teóricos se aplican en la práctica para resolver ecuaciones diferenciales específicas.

2.2.8. Physics-Informed Neural Networks (Raissi 2019)

Durante la década de los 2000s, se avanza en la solución de ODEs y PDEs en trabajos como el de Lagaris [22] para abordar problemas con discontinuidades. Con la posibilidad de resolver problemas con coste computacional alto, se comienzan a generar algoritmos que proponen resolver el problema de encontrar el modelo matemático o ecuación diferencial a partir de los datos, esto se conoce como el problema inverso, este tema es abordado por Psichogios [32] donde realiza modelos inversos y directos de sistemas dinámicos con redes neuronales.

Desde 2010 se han refinado los algoritmos que permiten resolver ecuaciones diferenciales con redes neuronales, incorporando en la función de costo la información física o condiciones del problema a resolver.

2.2.8.1. El Trabajo Seminal de Raissi et al. (2019)

El artículo "Physics-informed neural networks: A deep learning framework for solving forward and inverse problems involving nonlinear partial differential equations" de Raissi, Perdikaris y Karniadakis [34] estableció un nuevo paradigma al introducir las Physics-Informed Neural Networks (PINNs). Este trabajo seminal representa un punto de inflexión en la aplicación del aprendizaje automático a ecuaciones diferenciales.

Contribuciones principales del trabajo de Raissi et al.:

 Formulación matemática rigurosa: Definición de la función de pérdida compuesta que combina el residuo de la ecuación diferencial con las condiciones de frontera e iniciales:

$$\mathcal{L}_{\text{total}} = \lambda_{\text{PDE}} \mathcal{L}_{\text{PDE}} + \lambda_{\text{IC}} \mathcal{L}_{\text{IC}} + \lambda_{\text{BC}} \mathcal{L}_{\text{BC}}. \tag{2.32}$$

- 2. **Diferenciación automática**: utilización de backpropagation para calcular derivadas de la red neuronal con respecto a las variables de entrada, eliminando la necesidad de discretización espacial.
- 3. Validación en problemas paradigmáticos: demostración de efectividad en ecuaciones como Burgers, Schrödinger no lineal, y Allen-Cahn, estableciendo benchmarks para comparaciones futuras.
- 4. Tratamiento de problemas inversos: extensión natural del marco teórico para identificar parámetros desconocidos en ecuaciones diferenciales.

2.2.8.2. Paradigma Revolucionario de PINNs

Las Physics-Informed Neural Networks (PINNs) representan una revolución metodológica en la resolución de ecuaciones diferenciales parciales, donde la red neuronal aprende directamente la física subyacente del problema sin necesidad de discretización espacial tradicional. Para la ecuación de calor, este enfoque incorpora las leyes de difusión térmica directamente en la función de pérdida, creando un framework unificado que combina aproximación universal de funciones con restricciones físicas rigurosas.

Formulación Fundamental:

Una PINN aproxima la solución mediante una red neuronal profunda:

$$u(x,t) \approx \mathcal{N}(x,t;\boldsymbol{\theta}),$$

donde \mathcal{N} denota la red neuronal y $\boldsymbol{\theta} = \{W^{(l)}, b^{(l)}\}_{l=1}^{L}$ representa todos los parámetros entrenables (pesos y sesgos) de las L capas.

2.2.8.3. Diferencias Conceptuales Fundamentales con Lagaris

Enfoque de Lagaris vs. PINNs:

Aspecto	Lagaris	PINNs
Construcción de solución	Soluciones tentativas	Aproximación directa
Condiciones auxiliares	Satisfacción exacta	Incorporación en pérdida
Función de pérdida	Solo residuo de EDP	Multi-objetivo ponderada
Flexibilidad	Limitada por construcción	Completamente flexible
Datos experimentales	No incorpora naturalmente	Integración directa
Problemas inversos	Requiere modificación	Extensión natural

Tabla 2.1: Comparación conceptual entre métodos de Lagaris y PINNs

Evolución Conceptual Ilustrativa:

Para la ecuación de calor con condiciones u(0,t) = u(L,t) = 0:

Lagaris propone:

$$A(x,t) = 0$$
 (condiciones homogéneas), (2.33)

$$\Phi(x,t) = x(L-x) \quad \text{(se anula en } x = 0, L), \tag{2.34}$$

$$u_{\text{Lagaris}}(x,t) = x(L-x) \cdot \mathcal{N}(x,t;\theta). \tag{2.35}$$

La función de costo contiene únicamente el residuo de la PDE:

$$\mathcal{L}_{\text{Lagaris}}(\theta) = \frac{1}{N} \sum_{i=1}^{N} \left| \frac{\partial u_{\text{NN}}}{\partial t} - \alpha \frac{\partial^{2} u_{\text{NN}}}{\partial x^{2}} \right|_{(x_{i}, t_{i})}^{2}.$$
 (2.36)

PINNs propone:

$$u_{\text{PINN}}(x,t) = \mathcal{N}(x,t;\boldsymbol{\theta}),$$
 (2.37)

Las condiciones del problema se incorporan en una función de pérdida multi-objetivo:

$$\mathcal{L}_{PINN}(\theta) = \lambda_{IC} \mathcal{L}_{IC} + \lambda_{BC} \mathcal{L}_{BC} + \lambda_{PDE} \mathcal{L}_{PDE}. \tag{2.38}$$

2.2.8.4. Incorporación Directa de Física en la Función de Pérdida

Estructura Detallada de la Función de Pérdida Multi-Objetivo:

$$\mathcal{L}_{IC} = \frac{1}{N_{IC}} \sum_{i=1}^{N_{IC}} |\mathcal{N}(x_i, 0; \boldsymbol{\theta}) - u_0(x_i)|^2, \qquad (2.39)$$

$$\mathcal{L}_{BC} = \frac{1}{N_{BC}} \sum_{j=1}^{N_{BC}} \left[|\mathcal{N}(0, t_j; \boldsymbol{\theta}) - g_0(t_j)|^2 + |\mathcal{N}(L, t_j; \boldsymbol{\theta}) - g_L(t_j)|^2 \right], \tag{2.40}$$

$$\mathcal{L}_{\text{PDE}} = \frac{1}{N_{\text{PDE}}} \sum_{k=1}^{N_{\text{PDE}}} \left| \frac{\partial \mathcal{N}}{\partial t} - \alpha \frac{\partial^2 \mathcal{N}}{\partial x^2} \right|_{(x_k, t_k)}^2, \tag{2.41}$$

donde las derivadas se calculan mediante diferenciación automática.

Diferenciación Automática como Herramienta Clave:

El cálculo exacto de derivadas mediante backpropagation elimina los errores de discretización espacial:

$$\frac{\partial \mathcal{N}(x,t;\boldsymbol{\theta})}{\partial x} = \lim_{\epsilon \to 0} \frac{\mathcal{N}(x+\epsilon,t;\boldsymbol{\theta}) - \mathcal{N}(x,t;\boldsymbol{\theta})}{\epsilon}.$$
 (2.42)

En la práctica, AD calcula esta derivada exactamente aplicando la regla de la cadena a través del grafo computacional de la red neuronal.

2.2.8.5. Ventajas Revolucionarias de PINNs

- 1. **Flexibilidad geométrica**: capacidad para manejar geometrías complejas sin discretización de malla.
- 2. Integración de datos: incorporación natural de mediciones experimentales parciales.
- 3. Problemas inversos: identificación simultánea de parámetros desconocidos.
- 4. Cuantificación de incertidumbre: framework bayesiano para propagación de errores.
- 5. Multifísica: acoplamiento natural de diferentes fenómenos físicos.
- 6. Representación continua: soluciones diferenciables en todo el dominio.

2.2.8.6. Limitaciones y Desafíos de PINNs

- 1. Convergencia no garantizada: el entrenamiento puede fallar o converger a mínimos locales.
- 2. Balance de pérdidas: dificultad en el peso relativo de términos de pérdida competitivos.
- 3. Costo computacional: requiere miles de épocas para convergencia.
- 4. Sensibilidad a hiperparámetros: arquitectura y pesos de pérdida críticos.
- 5. Escalabilidad: problemas multidimensionales complejos siguen siendo desafiantes.
- 6. **Precisión variable**: generalmente menor que métodos espectrales para problemas suaves.

2.2.8.7. Aplicaciones Paradigmáticas

Problemas específicos abordados por Raissi et al.:

El benchmark establecido por Raissi et al. [34] constituye una referencia fundamental:

$$\begin{cases} i\frac{\partial u}{\partial t} + 0.5\frac{\partial^2 u}{\partial x^2} + |u|^2 u = 0, & x \in [-5, 5], \ t \in [0, \pi/2], \\ u(0, x) = 2\operatorname{sech}(x), & \\ u(t, -5) = u(t, 5), \quad \frac{\partial u}{\partial x}(t, -5) = \frac{\partial u}{\partial x}(t, 5). \end{cases}$$

$$(2.43)$$

Es importante notar que este problema no posee una solución analítica exacta conocida, por lo que se requieren procedimientos numéricos, tanto en PINNs como en métodos pseudoespectrales, para establecer comparaciones válidas.

2.2.8.8. Contribuciones a la Sistematización Metodológica

Problemática en la comparación sistemática:

Como se observa frecuentemente en la literatura especializada, dentro del campo de métodos numéricos y modelación siempre se hallan elementos que muchas veces nublan el terreno de la comparación de resultados. Es decir, dentro de la literatura no hay como tal una metodología general aceptada para hacer comparaciones sistemáticas que evalúen precisión, conservación y eficiencia.

Este problema es particularmente relevante en el contexto de PINNs porque la metodología numérica se adecúa al problema específico a resolver, y diferentes trabajos utilizan arquitecturas, hiperparámetros y métricas distintas, resultando en ausencia de benchmarks unificados para comparación rigurosa.

2.2.8.9. Criterios de Aplicabilidad de PINNs

PINNs son más apropiados cuando:

Geometría compleja: dominios irregulares o con fronteras móviles.

- Datos experimentales: disponibilidad de mediciones para entrenamiento.
- Problemas inversos: necesidad de identificar parámetros desconocidos.
- Condiciones de frontera complejas: especificaciones no estándar.
- Multifísica: acoplamiento de diferentes fenómenos físicos.
- Incertidumbre: cuantificación de errores y propagación de incertidumbre.

El trabajo de Raissi et al. estableció PINNs como una metodología transformadora que complementa y, en ciertos contextos, supera las limitaciones de enfoques tradicionales como el método de Lagaris, proporcionando un framework unificado para la resolución de ecuaciones diferenciales complejas mediante aprendizaje automático.

2.2.9. Funciones de Pérdida Multi-objetivo

La construcción de funciones de pérdida efectivas constituye el núcleo conceptual que distingue las metodologías neuronales para resolver ecuaciones diferenciales de los enfoques puramente basados en datos. Esta subsección desarrolla los principios fundamentales para diseñar funciones de pérdida que incorporen simultáneamente múltiples restricciones físicas, condiciones de frontera y precisión numérica.

2.2.9.1. Formulación General de la Función de Pérdida

Para una ecuación diferencial general de la forma:

$$\mathcal{D}[u(\mathbf{x})] = f(\mathbf{x}), \quad \mathbf{x} \in \Omega \subset \mathbb{R}^d, \tag{2.44}$$

con condiciones de frontera e iniciales:

$$\mathcal{B}_i[u(\mathbf{x})] = g_i(\mathbf{x}), \quad \mathbf{x} \in \partial\Omega_i, \quad i = 1, \dots, K,$$
 (2.45)

$$\mathcal{I}_j[u(\mathbf{x})] = h_j(\mathbf{x}), \quad \mathbf{x} \in \Gamma_j, \quad j = 1, \dots, M.$$
 (2.46)

la función de pérdida total se estructura como:

$$\mathcal{L}_{\text{total}}(\theta) = \sum_{k} \lambda_k \mathcal{L}_k(\theta), \qquad (2.47)$$

donde cada \mathcal{L}_k representa un componente específico y $\lambda_k > 0$ son pesos de ponderación.

2.2.9.2. Componentes Fundamentales de la Función de Pérdida

1. Pérdida del Residuo de la Ecuación Diferencial (\mathcal{L}_{PDE}):

Esta componente mide qué tan bien la red neuronal satisface la ecuación diferencial en el interior del dominio:

$$\mathcal{L}_{\text{PDE}}(\theta) = \frac{1}{N_{\text{col}}} \sum_{i=1}^{N_{\text{col}}} \|\mathcal{D}[u_{\mathcal{N}}(\mathbf{x}_i; \theta)] - f(\mathbf{x}_i)\|^2, \qquad (2.48)$$

donde $\{\mathbf{x}_i\}_{i=1}^{N_{\mathrm{col}}}$ son puntos de colocación distribuidos en Ω . Consideraciones para la distribución de puntos:

- Muestreo uniforme: adecuado para dominios regulares.
- Muestreo adaptativo: concentrar puntos en regiones de alta variación.
- Muestreo cuasi-aleatorio: secuencias de baja discrepancia (Sobol, Halton).

2. Pérdida de Condiciones Iniciales (\mathcal{L}_{IC}):

Para problemas evolutivos, asegura que la solución respete las condiciones iniciales:

$$\mathcal{L}_{IC}(\theta) = \frac{1}{N_{IC}} \sum_{j=1}^{N_{IC}} \left\| u_{\mathcal{N}}(\mathbf{x}_j, t_0; \theta) - u_0(\mathbf{x}_j) \right\|^2.$$

$$(2.49)$$

3. Pérdida de Condiciones de Frontera (\mathcal{L}_{BC}):

Incorpora las condiciones de frontera espaciales:

$$\mathcal{L}_{BC}(\theta) = \frac{1}{N_{BC}} \sum_{k=1}^{N_{BC}} \|\mathcal{B}[u_{\mathcal{N}}(\mathbf{x}_k; \theta)] - g(\mathbf{x}_k)\|^2.$$
 (2.50)

4. Pérdida de Datos Experimentales (\mathcal{L}_{data}):

Cuando hay mediciones disponibles:

$$\mathcal{L}_{\text{data}}(\theta) = \frac{1}{N_{\text{data}}} \sum_{l=1}^{N_{\text{data}}} \|u_{\mathcal{N}}(\mathbf{x}_l; \theta) - u_{\text{obs}}(\mathbf{x}_l)\|^2.$$
 (2.51)

2.2.9.3. Estrategias de Ponderación y Balanceamiento

El balanceamiento efectivo de los diferentes términos de pérdida es crucial para el entrenamiento exitoso de PINNs. Las estrategias principales incluyen:

1. Ponderación Estática:

Pesos fijos determinados mediante análisis de escalas:

$$\lambda_k = \frac{1}{\mathbb{E}[\mathcal{L}_k(\theta_0)]},\tag{2.52}$$

donde θ_0 son los parámetros iniciales.

2. Ponderación Adaptativa por Gradiente:

Ajuste dinámico basado en la magnitud de gradientes:

$$\lambda_k^{(t)} = \frac{\max_j \|\nabla_{\theta} \mathcal{L}_j(\theta^{(t)})\|}{\|\nabla_{\theta} \mathcal{L}_k(\theta^{(t)})\|}.$$
 (2.53)

3. Annealing Temporal:

Modificación progresiva de pesos durante entrenamiento:

$$\lambda_{\rm IC}^{(t)} = \lambda_{\rm IC}^{(0)} \cdot e^{-\alpha t},\tag{2.54}$$

$$\lambda_{\text{PDE}}^{(t)} = \lambda_{\text{PDE}}^{(0)} \cdot (1 - e^{-\beta t}).$$
 (2.55)

2.2.9.4. Incorporación de Restricciones Físicas Avanzadas

Conservación de masa/energía:

Para ecuaciones que conservan cantidades físicas:

$$\mathcal{L}_{\text{conservation}} = \left| \int_{\Omega} \rho(u_{\mathcal{N}}(\mathbf{x}, t; \theta)) d\mathbf{x} - \int_{\Omega} \rho(u_0(\mathbf{x})) d\mathbf{x} \right|^2.$$
 (2.56)

Simetría y periodicidad:

Para problemas con simetrías conocidas:

$$\mathcal{L}_{\text{symmetry}} = \frac{1}{N_{\text{sym}}} \sum_{i=1}^{N_{\text{sym}}} \|u_{\mathcal{N}}(\mathbf{x}_i; \theta) - u_{\mathcal{N}}(T(\mathbf{x}_i); \theta)\|^2.$$
 (2.57)

donde T es la transformación de simetría.

Restricciones de positividad:

Para soluciones que deben mantenerse positivas:

$$\mathcal{L}_{\text{positivity}} = \frac{1}{N_{\text{pos}}} \sum_{i=1}^{N_{\text{pos}}} \text{máx}(0, -u_{\mathcal{N}}(\mathbf{x}_i; \theta))^2.$$
 (2.58)

2.2.9.5. Validación y Monitoreo de la Función de Pérdida

Métricas de diagnóstico:

- 1. Razón de contribución: $r_k = \frac{\lambda_k \mathcal{L}_k}{\mathcal{L}_{\text{total}}}$
- 2. Estacionariedad de gradientes: $\|\nabla_{\theta}\mathcal{L}_k\|$ para cada componente
- 3. Correlación entre términos: correlación cruzada entre \mathcal{L}_i y \mathcal{L}_j

Indicadores de balance apropiado:

- \blacksquare Ningún término debe dominar excesivamente $(r_k < 0.9$ para todo k)
- Convergencia simultánea de todos los componentes
- Estabilidad en la razón de contribuciones durante entrenamiento
- Gradientes de magnitud comparable entre términos

2.2.9.6. Consideraciones Computacionales

Eficiencia en el cálculo de derivadas:

- Reutilizar grafos computacionales cuando sea posible
- Utilizar create_graph=True solo cuando se necesiten derivadas de alto orden
- Implementar checkpointing para problemas con memoria limitada

Estabilidad numérica:

- Normalizar coordenadas de entrada al rango [-1, 1]
- Usar precisión doble para derivadas de alto orden
- Implementar gradient clipping para prevenir explosión de gradientes

2.2.9.7. Ejemplo Específico: Ecuación de Calor 1D

Para ilustrar la aplicación práctica, consideremos la ecuación de calor:

$$\frac{\partial u}{\partial t} = \alpha \frac{\partial^2 u}{\partial x^2}, \quad (x, t) \in [0, L] \times [0, T], \tag{2.59}$$

con condiciones:

$$u(x,0) = \sin\left(\frac{\pi x}{L}\right)$$
 (condición inicial), (2.60)

$$u(0,t) = u(L,t) = 0$$
 (condiciones de frontera). (2.61)

Función de pérdida específica:

$$\mathcal{L}_{\text{PDE}} = \frac{1}{N_{\text{PDE}}} \sum_{i=1}^{N_{\text{PDE}}} \left| \frac{\partial u_{\mathcal{N}}}{\partial t} (x_i, t_i) - \alpha \frac{\partial^2 u_{\mathcal{N}}}{\partial x^2} (x_i, t_i) \right|^2, \tag{2.62}$$

$$\mathcal{L}_{IC} = \frac{1}{N_{IC}} \sum_{j=1}^{N_{IC}} \left| u_{\mathcal{N}}(x_j, 0) - \sin\left(\frac{\pi x_j}{L}\right) \right|^2, \tag{2.63}$$

$$\mathcal{L}_{BC} = \frac{1}{N_{BC}} \sum_{k=1}^{N_{BC}} \left[|u_{\mathcal{N}}(0, t_k)|^2 + |u_{\mathcal{N}}(L, t_k)|^2 \right].$$
 (2.64)

Configuración de pesos típica:

$$\lambda_{\text{PDE}} = 1.0 \quad \text{(peso base para residuo PDE)},$$
 (2.65)

$$\lambda_{\rm IC} = 10.0$$
 (énfasis en condición inicial), (2.66)

$$\lambda_{\rm BC} = 10.0$$
 (importancia condiciones frontera). (2.67)

2.2.9.8. Ejemplo Específico: Ecuación de Schrödinger No Lineal (NLSE)

Para ilustrar la aplicación a problemas más complejos con números complejos y condiciones periódicas, consideremos la ecuación de Schrödinger no lineal:

$$i\frac{\partial u}{\partial t} + \frac{1}{2}\frac{\partial^2 u}{\partial x^2} + |u|^2 u = 0, \quad (x,t) \in [-5,5] \times [0,\pi/2],$$
 (2.68)

con condiciones:

$$u(x,0) = 2\operatorname{sech}(2x)$$
 (condición inicial solitónica), (2.69)

$$u(t, -5) = u(t, 5)$$
 (periodicidad de función), (2.70)

$$\frac{\partial u}{\partial x}(t, -5) = \frac{\partial u}{\partial x}(t, 5) \quad \text{(periodicidad de derivada)}. \tag{2.71}$$

Desafíos específicos de la NLSE:

- 1. Función compleja: red neuronal con 2 salidas $[u_r, u_i]$.
- 2. No linealidad cúbica: término $|u|^2u = (u_r^2 + u_i^2)(u_r + iu_i)$.
- 3. Condiciones periódicas: no pueden satisfacerse con soluciones tentativas simples.
- 4. Conservación física: preservación de masa y energía.

Función de pérdida específica para NLSE:

Separando la ecuación compleja en partes real e imaginaria:

Parte real:
$$\frac{\partial u_r}{\partial t} + \frac{1}{2} \frac{\partial^2 u_i}{\partial x^2} + (u_r^2 + u_i^2) u_i = 0, \qquad (2.72)$$

Parte real:
$$\frac{\partial u_r}{\partial t} + \frac{1}{2} \frac{\partial^2 u_i}{\partial x^2} + (u_r^2 + u_i^2) u_i = 0, \qquad (2.72)$$
Parte imaginaria:
$$\frac{\partial u_i}{\partial t} - \frac{1}{2} \frac{\partial^2 u_r}{\partial x^2} - (u_r^2 + u_i^2) u_r = 0. \qquad (2.73)$$

Componentes de pérdida implementados:

$$\mathcal{L}_{PDE} = \frac{1}{N_{col}} \sum_{i=1}^{N_{col}} \left[R_r^2(x_i, t_i) + R_i^2(x_i, t_i) \right], \qquad (2.74)$$

$$\mathcal{L}_{IC} = \frac{1}{N_{IC}} \sum_{j=1}^{N_{IC}} \left[|u_r(x_j, 0) - 2\operatorname{sech}(2x_j)|^2 + |u_i(x_j, 0)|^2 \right], \tag{2.75}$$

$$\mathcal{L}_{BC} = \mathcal{L}_{periodic} = \frac{1}{N_{BC}} \sum_{k=1}^{N_{BC}} \left[|u(-5, t_k) - u(5, t_k)|^2 + |u_x(-5, t_k) - u_x(5, t_k)|^2 \right], \quad (2.76)$$

donde R_r y R_i son los residuos de las partes real e imaginaria respectivamente.

Configuración de pesos específica implementada:

$$\lambda_{\text{PDE}} = 1.0 \quad \text{(peso base para residuo PDE)},$$
 (2.77)

$$\lambda_{\rm IC} = 10.0$$
 (énfasis crítico en condición inicial), (2.78)

$$\lambda_{\rm BC} = 5.0$$
 (peso intermedio para condiciones periódicas). (2.79)

Parámetros de implementación específicos:

Arquitectura: [2, 50, 50, 50, 2] (entrada: (x, t), salida: $[u_r, u_i]$).

- Puntos de colocación: 51,200 distribuidos uniformemente en $[-5,5] \times [0,\pi/2]$.
- Activación: tanh (infinitamente diferenciable).
- Optimizador: Adam con $lr = 10^{-3}$.
- Épocas: 50,000 (mayor complejidad que ecuación de calor).

Este ejemplo demuestra la versatilidad de las funciones de pérdida multi-objetivo para manejar problemas físicos complejos con múltiples restricciones y conservación de invariantes físicos.

2.2.9.9. Desafíos y Soluciones Comunes

Problemas frecuentes:

- 1. Dominancia de un término: un componente de pérdida domina excesivamente.
- 2. Convergencia lenta: múltiples objetivos conflictivos ralentizan entrenamiento.
- 3. Inestabilidad: oscilaciones en la función de pérdida total.
- 4. Mínimos locales: atrapamiento en soluciones subóptimas.

Estrategias de mitigación:

- 1. Ponderación adaptativa: ajuste dinámico de pesos según progreso.
- 2. Curriculum learning: introducción gradual de complejidad.
- 3. Regularización: términos adicionales para estabilidad.
- 4. **Múltiples inicializaciones**: exploración del espacio de parámetros.

La construcción sistemática de funciones de pérdida multi-objetivo representa un aspecto fundamental que determina el éxito de las metodologías neuronales para resolver ecuaciones diferenciales, requiriendo un balance cuidadoso entre múltiples objetivos físicos y matemáticos.

2.2.10. Algoritmos de Optimización y Entrenamiento

La resolución efectiva de ecuaciones diferenciales mediante redes neuronales depende críticamente de algoritmos de optimización robustos capaces de minimizar funciones de pérdida complejas y multi-objetivo. Esta subsección examina los algoritmos fundamentales utilizados en el entrenamiento de PINNs, con énfasis en sus propiedades matemáticas y consideraciones prácticas de implementación basadas en los códigos desarrollados.

2.2.10.1. Fundamentos de Optimización No Convexa

El entrenamiento de redes neuronales para resolver ecuaciones diferenciales plantea un problema de optimización no convexa de la forma:

$$\theta^* = \arg\min_{\theta \in \Theta} \mathcal{L}(\theta), \tag{2.80}$$

donde $\Theta \subset \mathbb{R}^p$ es el espacio de parámetros de dimensión $p \ y \ \mathcal{L} : \Theta \to \mathbb{R}^+$ es una función de pérdida escalar que agrega múltiples objetivos mediante suma ponderada:

$$\mathcal{L}(\theta) = \lambda_{\text{PDE}} \mathcal{L}_{\text{PDE}}(\theta) + \lambda_{\text{IC}} \mathcal{L}_{\text{IC}}(\theta) + \lambda_{\text{BC}} \mathcal{L}_{\text{BC}}(\theta), \tag{2.81}$$

donde \mathcal{L}_{PDE} , \mathcal{L}_{IC} y \mathcal{L}_{BC} representan las pérdidas asociadas a la ecuación diferencial, condiciones iniciales y condiciones de frontera, respectivamente, y $\lambda_i > 0$ son pesos que balancean los diferentes términos.

Características del paisaje de optimización:

- No convexidad: múltiples mínimos locales y puntos de silla.
- Alta dimensionalidad: $p \sim 10^4 10^6$ parámetros típicamente.
- Gradientes ruidosos: estimación estocástica en puntos de colocación.
- Escalas diferentes: componentes de pérdida con magnitudes variadas.
- Condicionamiento variable: número de condición puede cambiar durante entrenamiento.

2.2.10.2. Algoritmo Adam (Adaptive Moment Estimation)

Adam [2] combina las ventajas del momento y la normalización adaptativa de gradientes para lograr convergencia robusta en problemas de alta dimensión. En las implementaciones desarrolladas, Adam es el optimizador utilizado para todos los problemas de ecuaciones diferenciales resueltos.

Derivación matemática completa:

El algoritmo mantiene estimaciones del primer y segundo momento del gradiente:

$$m_t = \beta_1 m_{t-1} + (1 - \beta_1) g_t, \tag{2.82}$$

$$v_t = \beta_2 v_{t-1} + (1 - \beta_2) q_t^2, \tag{2.83}$$

donde $g_t = \nabla_{\theta} \mathcal{L}(\theta_t)$ y $\beta_1, \beta_2 \in (0, 1)$ son factores de decaimiento.

Corrección de sesgo: Como $m_0 = v_0 = 0$, los momentos están sesgados hacia cero, especialmente en iteraciones tempranas:

$$\hat{m}_t = \frac{m_t}{1 - \beta_1^t},\tag{2.84}$$

$$\hat{v}_t = \frac{v_t}{1 - \beta_2^t}. (2.85)$$

Actualización de parámetros:

$$\theta_{t+1} = \theta_t - \eta \frac{\hat{m}_t}{\sqrt{\hat{v}_t} + \epsilon}.$$
 (2.86)

donde $\epsilon \approx 10^{-8}$ previene división por cero.

2.2.10.3. Configuración Específica Implementada

Basándose en las implementaciones del repositorio, la configuración estándar de Adam utilizada es:

Hiperparámetros para ecuaciones diferenciales:

- $\eta = 10^{-3}$ (tasa de aprendizaje)
- $\beta_1 = 0.9$ (momento del primer orden)
- $\beta_2 = 0.999$ (momento del segundo orden)
- $\epsilon = 10^{-8}$ (estabilidad numérica)
- weight decay = 0.0 (sin regularización L2 adicional)

Algoritmo 2 Algoritmo Adam Implementado para PINNs

```
1: Entrada: Tasa de aprendizaje \eta=10^{-3}, parámetros \beta_1=0.9, \beta_2=0.999, \epsilon=10^{-8}
 2: Inicializar: \theta_0, m_0 \leftarrow 0, v_0 \leftarrow 0, t \leftarrow 0
 3: while t < \text{épocas máximas and no hay convergencia do}
          t \leftarrow t + 1
          // Generar puntos de colocación
 5:
         \{(x_i, t_i)\}_{i=1}^{N_{col}} \leftarrow \text{muestreo aleatorio en dominio}
 6:
         // Calcular función de pérdida total
 7:
          \mathcal{L}_t \leftarrow \lambda_{PDE} \mathcal{L}_{PDE} + \lambda_{IC} \mathcal{L}_{IC} + \lambda_{BC} \mathcal{L}_{BC}
         // Calcular gradiente vía diferenciación automática
 9:
10:
         g_t \leftarrow \nabla_{\theta} \mathcal{L}_t(\theta_{t-1})
         // Actualizar momentos
11:
         m_t \leftarrow \beta_1 m_{t-1} + (1 - \beta_1) g_t
12:
         v_t \leftarrow \beta_2 v_{t-1} + (1 - \beta_2) g_t^2
13:
         // Corrección de sesgo
14:
         \hat{m}_t \leftarrow m_t/(1-\beta_1^t)
15:
         \hat{v}_t \leftarrow v_t/(1-\beta_2^t)
16:
         // Actualizar parámetros
17:
         \theta_t \leftarrow \theta_{t-1} - \eta \cdot \hat{m}_t / (\sqrt{\hat{v}_t} + \epsilon)
18:
         // Monitoreo (cada 1000 épocas)
19:
         if t \mod 1000 = 0 then
20:
              Imprimir métricas de convergencia
21:
              Evaluar criterios de parada
22:
23:
         end if
24: end while
25: return \theta_t
```

2.2.10.4. Propiedades Clave de Adam para PINNs

Ventajas específicas para ecuaciones diferenciales:

- 1. Adaptabilidad por parámetro: tasas de aprendizaje específicas por peso, crucial para balancear múltiples componentes de pérdida.
- 2. Robustez ante gradientes ruidosos: efectivo con muestreo estocástico de puntos de colocación.
- 3. Eficiencia de memoria: O(p) memoria adicional, escalable a redes grandes.
- 4. Convergencia estable: menos sensible a hiperparámetros que SGD.
- 5. Manejo de escalas diversas: adapta automáticamente a magnitudes diferentes en \mathcal{L}_{PDE} , \mathcal{L}_{IC} , \mathcal{L}_{BC} .

Consideraciones para funciones multi-objetivo:

Adam es particularmente efectivo para PINNs porque:

- Maneja naturalmente gradientes de diferentes escalas sin ajuste manual.
- La normalización adaptativa compensa el desbalance inicial entre términos de pérdida.
- La memoria de momento ayuda a escapar de mínimos locales poco profundos.
- La corrección de sesgo es crítica en las primeras épocas cuando las condiciones dominan.

2.2.10.5. Criterios de Convergencia y Monitoreo

Criterios de parada múltiples implementados:

- 1. Criterio de gradiente: $\|\nabla_{\theta} \mathcal{L}(\theta_t)\| < \tau_g = 10^{-6}$.
- 2. Criterio de función: $|\mathcal{L}(\theta_t) \mathcal{L}(\theta_{t-k})| < \tau_f = 10^{-8}$ para k = 100.
- 3. Criterio de parámetros: $\|\theta_t \theta_{t-k}\|_2 < \tau_\theta = 10^{-6}$ para k = 100.
- 4. Máximo de iteraciones: $t > T_{\text{máx}}$ (10,000 para calor, 50,000 para NLSE).

Métricas de monitoreo durante entrenamiento:

- Pérdida total y componentes individuales (\mathcal{L}_{PDE} , \mathcal{L}_{IC} , \mathcal{L}_{BC}).
- Norma del gradiente global: $\|\nabla_{\theta}\mathcal{L}\|_{2}$.
- Error relativo vs solución de referencia (cuando disponible).
- Tiempo de computación por época.
- Métricas físicas (conservación de masa/energía para NLSE).

2.2.10.6. Técnicas de Estabilización del Entrenamiento

Gradient Clipping: Para prevenir explosión de gradientes en problemas complejos:

$$g_t^{\text{clipped}} = \begin{cases} g_t & \text{si } ||g_t|| \le \tau_{clip} \\ \frac{\tau_{clip}}{||g_t||} g_t & \text{si } ||g_t|| > \tau_{clip} \end{cases}, \tag{2.87}$$

con $\tau_{clip}=1.0$ utilizado en implementaciones complejas.

Learning Rate Scheduling: Aunque las implementaciones utilizan tasa fija, se pueden aplicar esquemas adaptativos:

Exponential decay:
$$\eta_t = \eta_0 \cdot \gamma^{t/T_{decay}},$$
 (2.88)

Cosine annealing:
$$\eta_t = \eta_{min} + \frac{1}{2}(\eta_0 - \eta_{min})(1 + \cos(\pi t/T_{max})).$$
 (2.89)

Warm-up de condiciones: Estrategia para problemas con condiciones dominantes:

$$\lambda_{IC}^{(t)} = \lambda_{IC}^{(0)} \cdot \min(1, t/T_{warmup}), \qquad (2.90)$$

$$\lambda_{BC}^{(t)} = \lambda_{BC}^{(0)} \cdot \min(1, t/T_{warmup}). \tag{2.91}$$

2.2.10.7. Comparación con Métodos Alternativos

Ventajas de Adam vs SGD:

- Convergencia más rápida en funciones de pérdida multi-objetivo.
- Menor sensibilidad a la inicialización de pesos.
- Mejor manejo de regiones con curvatura variable.
- Adaptación automática a escalas de gradiente.

Justificación de no usar L-BFGS: Aunque L-BFGS tiene convergencia teóricamente superior, en las implementaciones desarrolladas se prefiere Adam porque:

- 1. **Escalabilidad**: mejor para redes grandes ($> 10^4$ parámetros).
- 2. Robustez: menos sensible a ruido en gradientes estocásticos.
- 3. **Memoria**: requerimientos O(p) vs O(mp) de L-BFGS.
- 4. Implementación: soporte nativo robusto en PyTorch.
- 5. Flexibilidad: mejor para problemas con múltiples componentes de pérdida.

Adam constituye el algoritmo de optimización fundamental que permite a las redes neuronales aprender representaciones efectivas de soluciones a ecuaciones diferenciales, siendo la elección y configuración apropiada crucial para el éxito de los métodos implementados.

2.2.10.8. Estrategias de Entrenamiento

El entrenamiento exitoso de redes neuronales para resolver ecuaciones diferenciales requiere estrategias específicas que van más allá de las técnicas estándar de *machine learning*. Esta subsección examina las metodologías implementadas en los códigos desarrollados, con énfasis en la generación de puntos de colocación, técnicas de muestreo, inicialización de pesos y procedimientos de validación.

Generación de Puntos de Colocación

La selección estratégica de puntos de entrenamiento constituye uno de los aspectos más críticos para la convergencia efectiva de PINNs. Las implementaciones desarrolladas utilizan múltiples estrategias de muestreo según el tipo de ecuación y dominio.

Estrategias de Muestreo Implementadas:

1. Muestreo Aleatorio Uniforme (Implementación Estándar):

Para problemas en dominios regulares como la ecuación de calor:

```
def generar_puntos_entrenamiento(N_pde, N_ic, N_bc, L, T_final):

"""

Genera puntos de entrenamiento con distribución uniforme

Implementación utilizada en todos los ejemplos desarrollados

"""
```

```
# Puntos para la PDE (interior del dominio)
      x_pde = torch.rand(N_pde, 1) * L
                                                       # [0, L]
      t_pde = torch.rand(N_pde, 1) * T_final
                                                       # [O, T]
      # Puntos para condición inicial (t = 0)
11
      x_{ic} = torch.rand(N_{ic}, 1) * L
12
      t_ic = torch.zeros(N_ic, 1)
13
      u_ic = torch.sin(np.pi * x_ic / L)
                                                       # Condición espec
14
     ífica
15
      # Puntos para condiciones de frontera
16
      # Frontera izquierda (x = 0)
17
      t_bc_left = torch.rand(N_bc//2, 1) * T_final
18
      x_bc_left = torch.zeros(N_bc//2, 1)
19
      u_bc_left = torch.zeros(N_bc//2, 1)
20
21
      # Frontera derecha (x = L)
      t_bc_right = torch.rand(N_bc//2, 1) * T_final
23
      x_bc_right = torch.ones(N_bc//2, 1) * L
24
      u_bc_right = torch.zeros(N_bc//2, 1)
25
26
      # Combinar condiciones de frontera
27
      x_bc = torch.cat([x_bc_left, x_bc_right], dim=0)
28
      t_bc = torch.cat([t_bc_left, t_bc_right], dim=0)
29
      u_bc = torch.cat([u_bc_left, u_bc_right], dim=0)
30
31
32
      return {
          'x_pde': x_pde, 't_pde': t_pde,
33
          'x_ic': x_ic, 't_ic': t_ic, 'u_ic': u_ic,
34
          'x_bc': x_bc, 't_bc': t_bc, 'u_bc': u_bc
35
```

Algoritmo 2.4: Generación de puntos aleatorios uniformes (03_ecuación_CALOR.ipynb)

Configuración de Puntos Utilizada en las Implementaciones:

Problema	N_{PDE}	N_{IC}	N_{BC}
Ecuación de Calor 1D	2,000	100	100
NLSE Solitón	5,000	200	200
ODE Crecimiento Poblacional	1,000	1	-
ODE Oscilador Armónico	1,500	2	-

2. Muestreo Adaptativo (Para Problemas Complejos):

Para ecuaciones con soluciones que varían rápidamente, como el NLSE:

```
Genera puntos con mayor densidad en regiones críticas
      Utilizado para NLSE y problemas con soluciones localizadas
      N_{uniform} = int((1 - alpha) * N_{total})
      N_adaptive = N_total - N_uniform
9
      # Puntos uniformes base
11
      x_uniform = torch.rand(N_uniform, 1) * (x_range[1] - x_range
     [0]) + x_range [0]
      t_uniform = torch.rand(N_uniform, 1) * (t_range[1] - t_range
13
     [0]) + t_range[0]
14
      # Puntos adaptativos en regiones críticas
      if critical_regions is not None:
16
          x_adaptive = []
17
          t_adaptive = []
          for region in critical_regions:
20
              n_region = N_adaptive // len(critical_regions)
21
              x_reg = torch.rand(n_region, 1) * region['x_width'] +
22
     region['x_center']
              t_reg = torch.rand(n_region, 1) * region['t_width'] +
23
     region['t_center']
              x_adaptive.append(x_reg)
24
              t_adaptive.append(t_reg)
26
          x_adaptive = torch.cat(x_adaptive, dim=0)
2.7
          t_adaptive = torch.cat(t_adaptive, dim=0)
28
      else:
29
          x_{adaptive} = torch.empty(0, 1)
30
          t_adaptive = torch.empty(0, 1)
31
      # Combinar puntos
33
      x_total = torch.cat([x_uniform, x_adaptive], dim=0)
34
      t_total = torch.cat([t_uniform, t_adaptive], dim=0)
35
36
      return x_total, t_total
37
```

Algoritmo 2.5: Muestreo adaptativo para regiones críticas

3. Muestreo Cuasi-Aleatorio (Para Mejor Cobertura):

```
def generar_puntos_sobol(N_points, dimension, bounds):
"""

Genera puntos usando secuencias de Sobol para mejor cobertura
del dominio

Implementación experimental para mejorar convergencia
"""

try:
```

```
from scipy.stats import qmc
          # Generar secuencia de Sobol
          sampler = qmc.Sobol(d=dimension, scramble=True)
          points = sampler.random(N_points)
12
          # Escalar a los límites del dominio
13
          scaled_points = []
          for i, (lower, upper) in enumerate(bounds):
              scaled_points.append(points[:, i:i+1] * (upper - lower)
      + lower)
17
          return [torch.tensor(p, dtype=torch.float32) for p in
18
     scaled_points]
19
      except ImportError:
20
          print(" SciPy no disponible, usando muestreo aleatorio
21
     uniforme")
          return generar_puntos_uniformes(N_points, bounds)
22
```

Algoritmo 2.6: Implementación de secuencias de baja discrepancia

Estrategias de Inicialización de Pesos

La inicialización apropiada de pesos neuronales es crucial para la convergencia en problemas de ecuaciones diferenciales. Las implementaciones utilizan técnicas específicas adaptadas al dominio del problema.

Inicialización Xavier/Glorot (Implementación Estándar):

```
class HeatPINN(nn.Module):
      def __init__(self, layers):
          super(HeatPINN, self).__init__()
          self.layers = nn.ModuleList()
          # Construir capas
6
          for i in range(len(layers) - 1):
               self.layers.append(nn.Linear(layers[i], layers[i+1]))
          # Inicialización Xavier para todas las capas
          self.init_weights()
11
          # Función de activación
13
          self.activation = nn.Tanh()
14
      def init_weights(self):
16
17
          Inicialización Xavier/Glorot normal
18
          Óptima para funciones de activación tanh
19
          \Pi_{-}\Pi_{-}\Pi
20
          for layer in self.layers:
```

```
nn.init.xavier_normal_(layer.weight)
               nn.init.zeros_(layer.bias)
23
24
      def forward(self, x, t):
25
          # Concatenar entradas
26
          inputs = torch.cat([x, t], dim=1)
27
2.8
          # Propagación a través de las capas
29
          for i, layer in enumerate(self.layers[:-1]):
30
               inputs = self.activation(layer(inputs))
32
          # Capa de salida (sin activación)
33
          u = self.layers[-1](inputs)
34
35
          return u
36
```

Algoritmo 2.7: Inicialización Xavier utilizada en todas las implementaciones

Justificación Matemática de Xavier:

Para una capa con n_{in} entradas y n_{out} salidas:

$$W_{ij} \sim \mathcal{N}\left(0, \frac{2}{n_{in} + n_{out}}\right) \tag{2.92}$$

Esta inicialización mantiene la varianza constante a través de la red:

$$Var(output) \approx Var(input)$$
 (2.93)

Inicialización Alternativa para Problemas Específicos:

```
def init_weights_nlse(model, scale_factor=0.1):
    """
    Inicialización específica para ecuaciones no lineales complejas
    Utiliza escalado reducido para evitar saturación temprana
    """
    for layer in model.layers:
        if isinstance(layer, nn.Linear):
            # Inicialización uniforme con rango reducido
            nn.init.uniform_(layer.weight, -scale_factor,
            scale_factor)
            nn.init.uniform_(layer.bias, -scale_factor/10,
            scale_factor/10)
```

Algoritmo 2.8: Inicialización especializada para NLSE

Procedimientos de Validación y Diagnóstico

Las implementaciones incorporan múltiples niveles de validación para monitorear la calidad de la solución durante y después del entrenamiento.

1. Monitoreo Durante Entrenamiento:

```
def entrenar_con_validacion(modelo, puntos, config):
```

```
Bucle de entrenamiento con monitoreo integral
      Implementado en todos los ejemplos desarrollados
      optimizer = torch.optim.Adam(modelo.parameters(), lr=config['lr
     ,])
      # Listas para almacenar historia
9
      historia = {
10
          'loss_total': [],
11
          'loss_pde': [],
          'loss_ic': [],
13
          'loss_bc': [],
14
          'grad_norm': [],
          'error_12': []
16
      }
17
18
      mejor_loss = float('inf')
19
      paciencia_contador = 0
20
21
      for epoca in range(config['max_epochs']):
22
          optimizer.zero_grad()
23
          # Calcular componentes de pérdida
25
          loss_components = calcular_perdida_completa(modelo, puntos,
26
      config)
          loss_total = loss_components['total']
27
28
          # Retropropagación
          loss_total.backward()
30
          # Monitorear gradiente
32
          grad_norm = calcular_norma_gradiente(modelo)
34
          # Gradient clipping (opcional)
35
          if config.get('clip_grad', False):
36
               torch.nn.utils.clip_grad_norm_(modelo.parameters(),
37
     max_norm=1.0)
38
          optimizer.step()
39
          # Almacenar historia cada 100 épocas
41
          if epoca % 100 == 0:
42
               historia['loss_total'].append(loss_total.item())
43
               historia['loss_pde'].append(loss_components['pde'].item
44
     ())
               historia['loss_ic'].append(loss_components['ic'].item()
```

```
historia['loss_bc'].append(loss_components['bc'].item()
     )
               historia['grad_norm'].append(grad_norm)
48
               # Calcular error vs solución analítica (si disponible)
               if config.get('solucion_analitica', None):
50
                   error_12 = calcular_error_12(modelo, config['
51
     solucion_analitica'])
                   historia['error_12'].append(error_12)
52
                   print(f"Época {epoca:5d}: Loss={loss_total:.6f}, "
                         f"Error L2={error_12:.6f}, Grad={grad_norm:.6
     f } " )
               else:
56
                   print(f"Época {epoca:5d}: Loss={loss_total:.6f},
57
     Grad={grad_norm:.6f}")
          # Early stopping
          if loss_total < mejor_loss:</pre>
               mejor_loss = loss_total
61
               paciencia_contador = 0
62
               # Guardar mejor modelo
63
               torch.save(modelo.state_dict(), 'mejor_modelo.pth')
64
          else:
               paciencia_contador += 1
          if paciencia_contador > config.get('paciencia', 1000):
68
               print(f"Early stopping en época {epoca}")
69
               break
70
71
      return historia
72
73
  def calcular_norma_gradiente(modelo):
      """Calcula la norma L2 del gradiente total"""
75
      total_norm = 0.0
76
      for p in modelo.parameters():
          if p.grad is not None:
78
               param_norm = p.grad.data.norm(2)
79
               total_norm += param_norm.item() ** 2
80
      return total_norm ** 0.5
```

Algoritmo 2.9: Sistema de monitoreo implementado

2. Validación Post-Entrenamiento:

```
def validacion_completa(modelo, dominio, solucion_referencia=None):

"""

Validación exhaustiva de la solución obtenida

"""
```

```
metricas = {}
      # Generar malla de evaluación
      x_{eval} = torch.linspace(dominio['x'][0], dominio['x'][1], 100)
      t_eval = torch.linspace(dominio['t'][0], dominio['t'][1], 50)
      X_eval, T_eval = torch.meshgrid(x_eval, t_eval, indexing='ij')
      # Predicción del modelo
13
      u_pred = modelo(X_eval.flatten().unsqueeze(1),
14
                      T_eval.flatten().unsqueeze(1))
      u_pred = u_pred.reshape(X_eval.shape)
      if solucion_referencia is not None:
18
          # Calcular solución de referencia
19
          u_ref = solucion_referencia(X_eval, T_eval)
20
21
          # Métricas de error
          error_abs = torch.abs(u_pred - u_ref)
          metricas['mae'] = torch.mean(error_abs).item()
24
          metricas['mse'] = torch.mean((u_pred - u_ref)**2).item()
25
          metricas['rmse'] = torch.sqrt(torch.mean((u_pred - u_ref)
26
     **2)).item()
2.7
          # Error relativo L2
          metricas['error_12_rel'] = (torch.norm(u_pred - u_ref) /
                                       torch.norm(u_ref)).item()
31
          # Error máximo
32
          metricas['error_max'] = torch.max(error_abs).item()
33
34
          # Correlación
35
          u_pred_flat = u_pred.flatten()
36
          u_ref_flat = u_ref.flatten()
          correlacion = torch.corrcoef(torch.stack([u_pred_flat,
38
     u_ref_flat]))[0,1]
          metricas['correlacion'] = correlacion.item()
39
40
      # Verificación de ecuación diferencial
41
      residuo = verificar_residuo_edp(modelo, dominio)
42
      metricas['residuo_pde_max'] = torch.max(torch.abs(residuo)).
43
      metricas['residuo_pde_mean'] = torch.mean(torch.abs(residuo)).
     item()
45
      return metricas, u_pred
46
47
 def verificar_residuo_edp(modelo, dominio, N_test=1000):
```

```
Verifica qué tan bien se satisface la ecuación diferencial
51
      # Generar puntos de prueba aleatorios
53
      x_test = (torch.rand(N_test, 1) *
                  (dominio['x'][1] - dominio['x'][0]) + dominio['x']
     ][0])
      t_test = (torch.rand(N_test, 1) *
56
                  (dominio['t'][1] - dominio['t'][0]) + dominio['t'
57
     ][0])
58
      x_test.requires_grad_(True)
      t_test.requires_grad_(True)
60
61
      # Calcular residuo de la ecuación
62
      derivadas = calcular_derivadas_pinn(modelo, x_test, t_test)
63
      # Para ecuación de calor: \partial u/\partial t - \alpha \partial^2 u/\partial x^2 = 0
      alpha = 0.1 # Coeficiente de difusión
      residuo = derivadas['u_t'] - alpha * derivadas['u_xx']
67
68
      return residuo.detach()
69
```

Algoritmo 2.10: Métricas de validación completas

Criterios de Convergencia Implementados:

- 1. Criterio de pérdida: $\mathcal{L}_{total} < 10^{-6}$.
- 2. Criterio de gradiente: $\|\nabla_{\theta}\mathcal{L}\|_{2} < 10^{-6}$.
- 3. Criterio de estabilidad: sin mejora por 1000 épocas consecutivas.
- 4. Criterio de residuo: máx | residuo EDP | $< 10^{-4}$.

Las estrategias de entrenamiento desarrolladas han demostrado ser efectivas para una amplia gama de problemas de ecuaciones diferenciales, desde ODEs simples hasta PDEs no lineales complejas como la ecuación de Schrödinger no lineal, proporcionando un marco robusto y adaptable para futuras implementaciones.

2.3. Métricas de Validación y Conexión con Implementaciones

Una vez establecidos los fundamentos teóricos de ecuaciones diferenciales, redes neuronales y diferenciación automática, es esencial definir un marco robusto de métricas de validación que permita evaluar objetivamente la calidad de las soluciones obtenidas mediante métodos neuronales. Esta sección establece las métricas específicas implementadas en este trabajo y prepara la transición hacia las implementaciones prácticas que se desarrollarán en el siguiente capítulo.

2.3.1. Marco de Evaluación Sistemática

Como se estableció en la introducción, uno de los desafíos principales en el campo es la ausencia de una metodología general aceptada para hacer comparaciones sistemáticas que evalúen precisión, conservación y eficiencia. Para contribuir a la sistematización de dichas comparaciones, se establecen métricas estandarizadas de precisión (MSE, MAE, error L2 relativo), criterios de conservación física rigurosos, y evaluación de eficiencia computacional, proporcionando una base objetiva para comparaciones.

Las implementaciones desarrolladas en este trabajo utilizan múltiples categorías de métricas, cada una diseñada para evaluar aspectos específicos de la calidad de la solución.

2.3.2. Métricas de Precisión Numérica

2.3.2.1. Error Cuadrático Medio (MSE)

El Error Cuadrático Medio constituye la métrica fundamental utilizada en la mayoría de implementaciones de este trabajo:

$$MSE = \frac{1}{N} \sum_{i=1}^{N} (u_{pred}(x_i, t_i) - u_{ref}(x_i, t_i))^2.$$
 (2.94)

Justificación para uso en PINNs: El MSE es fundamental en redes neuronales porque:

- Es utilizado directamente en la función de pérdida para el entrenamiento.
- Permite penalizar errores grandes, crucial en ecuaciones diferenciales no lineales.
- Es diferenciable y facilita la optimización por descenso de gradiente.
- Permite comparación directa con métodos numéricos tradicionales.

2.3.2.2. Error Medio Absoluto (MAE)

El Error Medio Absoluto proporciona una interpretación más directa del error promedio:

MAE =
$$\frac{1}{N} \sum_{i=1}^{N} |u_{\text{pred}}(x_i, t_i) - u_{\text{ref}}(x_i, t_i)|.$$
 (2.95)

Aplicaciones específicas:

- Problemas con ruido o discontinuidades.
- Interpretación del error promedio en unidades físicas.
- Métrica complementaria al MSE en aplicaciones de control.
- Evaluación robusta ante valores atípicos.

2.3.2.3. Error L2 Relativo

Para evaluar la precisión de manera independiente de la escala del problema:

Error L2 Relativo =
$$\frac{\|u_{\text{pred}} - u_{\text{ref}}\|_{L2}}{\|u_{\text{ref}}\|_{L2}} = \frac{\sqrt{\sum_{i=1}^{N} (u_{\text{pred}}(x_i, t_i) - u_{\text{ref}}(x_i, t_i))^2}}{\sqrt{\sum_{i=1}^{N} u_{\text{ref}}(x_i, t_i)^2}}.$$
 (2.96)

Esta métrica es particularmente útil para:

- Comparar precisión entre problemas de diferentes escalas.
- Establecer criterios de convergencia independientes de magnitud.
- Evaluar performance relativa entre métodos.

2.3.2.4. Error Máximo

Para identificar los errores más grandes (Error ∞) en el dominio:

$$\operatorname{Error}_{\infty} = \max_{i} |u_{\operatorname{pred}}(x_{i}, t_{i}) - u_{\operatorname{ref}}(x_{i}, t_{i})|. \tag{2.97}$$

2.3.3. Métricas de Conservación Física

Para ecuaciones que conservan cantidades físicas, se implementan métricas específicas de conservación, especialmente importantes en la ecuación de Schrödinger no lineal.

2.3.3.1. Conservación de Masa/Norma

Para la ecuación de Schrödinger no lineal, la conservación de la norma (masa) es fundamental:

$$M(t) = \int_{\Omega} |u(x,t)|^2 dx = \text{constante.}$$
 (2.98)

Métrica de error de conservación:

$$\epsilon_{\text{masa}} = \frac{|M(t) - M(0)|}{M(0)}.$$
(2.99)

2.3.3.2. Conservación de Energía

La energía total del sistema debe conservarse:

$$E(t) = \int_{\Omega} \left(\frac{1}{2} |\nabla u|^2 + \frac{1}{2} |u|^4 \right) dx = \text{constante.}$$
 (2.100)

Implementación numérica:

$$\epsilon_{\text{energía}} = \frac{|E(t) - E(0)|}{E(0)}.$$
(2.101)

2.3.3.3. Conservación de Momento

Para sistemas con simetrías traslacionales:

$$P(t) = \int_{\Omega} \text{Im}(u^* \nabla u) dx = \text{constante.}$$
 (2.102)

2.3.4. Criterios de Convergencia Implementados

Las implementaciones utilizan criterios múltiples para determinar convergencia exitosa:

2.3.4.1. Criterios para Métodos Tradicionales

Crank-Nicolson (Ecuación de Calor):

- Error L2 normalizado: $< 10^{-4}$.
- Error máximo: $< 10^{-4}$.
- Estabilidad incondicional garantizada.
- Conservación de propiedades físicas.

Método Pseudoespectral (NLSE):

- Precisión de máquina: $\sim 10^{-12}$.
- Conservación exacta de invariantes.
- Convergencia exponencial para soluciones suaves.

2.3.4.2. Criterios para PINNs

Criterios de pérdida:

- 1. Pérdida total: $\mathcal{L}_{total} < 10^{-6}$.
- 2. Componentes individuales:

$$\mathcal{L}_{\text{PDE}} < 10^{-5},$$
 (2.103)

$$\mathcal{L}_{\rm IC} < 10^{-6},$$
 (2.104)

$$\mathcal{L}_{BC} < 10^{-6}.$$
 (2.105)

3. Norma del gradiente: $\|\nabla_{\theta}\mathcal{L}\|_{2} < 10^{-6}$.

Criterios de precisión física:

- 1. Error L2 relativo: $< 10^{-2}$ (aceptable), $< 10^{-3}$ (bueno).
- 2. Conservación de masa: $\epsilon_{\rm masa} < 10^{-3}$.
- 3. Conservación de energía: $\epsilon_{\rm energía} < 10^{-2}$.
- 4. Estabilidad temporal: sin crecimiento exponencial no físico.

2.3.5. Implementación Práctica de Métricas

2.3.5.1. Evaluación Durante Entrenamiento

Las implementaciones incluyen monitoreo en tiempo real:

```
def evaluar_metricas_entrenamiento(modelo, epoca, eval_every=100):
      Evalúa métricas cada eval_every épocas durante entrenamiento
      Implementado en 03_ecuación_CALOR.ipynb y soliton.py
      if epoca % eval_every == 0 or epoca == epochs - 1:
          # Calcular métricas de precisión
          mae_current = mean_absolute_error(u_ref, u_pred)
9
          mse_current = mean_squared_error(u_ref, u_pred)
10
          12_current = np.linalg.norm(u_pred - u_ref) / np.linalg.
11
    norm(u_ref)
12
          # Almacenar en listas de seguimiento
          mae_epochs.append(mae_current)
14
          mse_epochs.append(mse_current)
          12_epochs.append(12_current)
          epochs_evaluated.append(epoca)
18
          # Imprimir progreso
19
          print(f"Época {epoca:5d}: MAE={mae_current:.6e}, "
20
                f "MSE={mse_current:.6e}, L2={12_current:.6e}")
```

Algoritmo 2.11: Evaluación de métricas durante entrenamiento PINN

2.3.5.2. Evaluación Post-Entrenamiento

Análisis completo al finalizar entrenamiento:

```
def analisis_metricas_finales(u_pred, u_ref, metodo="PINN"):
    """

Análisis exhaustivo de todas las métricas implementadas
Usado en validación final de todos los métodos
    """

# Métricas de precisión
mae_final = mean_absolute_error(u_ref.flatten(), u_pred.flatten())
mse_final = mean_squared_error(u_ref.flatten(), u_pred.flatten())
error_max = np.max(np.abs(u_pred - u_ref))
error_rms = np.sqrt(mse_final)
error_l2_rel = np.linalg.norm(u_pred - u_ref) / np.linalg.norm(u_ref)
```

```
# Métricas específicas según el problema
14
      if problema_tipo == "NLSE":
          # Conservación para NLSE
          masa_inicial = np.trapz(np.abs(u_ref[0, :])**2, x)
17
          masa_final = np.trapz(np.abs(u_pred[-1, :])**2, x)
18
          error_conservacion_masa = abs(masa_final - masa_inicial) /
19
     masa_inicial
20
      # Compilar resultados
21
      metricas = {
           'MAE': mae_final,
23
           'MSE': mse_final,
2.4
           'Error_Max': error_max,
           'Error_RMS': error_rms,
26
           'Error_L2_Relativo': error_12_rel
27
      }
28
      return metricas
30
```

Algoritmo 2.12: Análisis completo de métricas finales

2.3.6. Conexión con Implementaciones del Siguiente Capítulo

Las métricas establecidas en esta sección constituyen la base para el análisis sistemático que se desarrollará en el Capítulo 3. Específicamente:

- 1. Implementaciones de ODEs: utilizarán MSE y MAE como métricas principales, con análisis de convergencia temporal.
- 2. Ecuación de Calor 1D: comparación cuantitativa entre solución analítica, Crank-Nicolson y PINNs usando todas las métricas definidas.
- 3. Ecuación de Schrödinger No Lineal: análisis completo de conservación física junto con métricas de precisión, comparando método pseudoespectral con PINNs.

Marco de comparación unificado: todas las implementaciones del siguiente capítulo utilizarán el marco de métricas aquí establecido, permitiendo comparaciones objetivas y reproducibles entre métodos tradicionales y neuronales.

Este enfoque sistemático contribuye a la estandarización de evaluaciones en el campo de redes neuronales aplicadas a ecuaciones diferenciales, proporcionando una base sólida para juzgar fortalezas y debilidades relativas de cada método implementado.

La progresión natural hacia el Capítulo 3 permitirá ver estas métricas en acción, aplicadas a problemas concretos con implementaciones completamente reproducibles disponibles en el repositorio del proyecto, estableciendo un puente directo entre la teoría desarrollada y la práctica computacional.

Capítulo 3

Implementaciones, Metodologías y Análisis de Resultados

Este capítulo representa la convergencia entre la teoría desarrollada en el Capítulo 2 y la aplicación práctica a problemas específicos de ecuaciones diferenciales. A diferencia de enfoques que separan metodología de resultados, adoptamos una perspectiva integrada donde cada implementación sirve tanto para demostrar principios metodológicos como para generar análisis riguroso de resultados.

La filosofía del capítulo se basa en proporcionar implementaciones completamente reproducibles disponibles en el repositorio público del proyecto, estableciendo un puente directo entre la teoría matemática rigurosa y la práctica computacional efectiva mediante el uso de redes neuronales informadas por física (PINNs) y metodologías relacionadas.

3.1. Marco Metodológico Unificado

3.1.1. Introducción al Enfoque Integrado

El Capítulo 2 estableció los fundamentos matemáticos completos: teoría de ecuaciones diferenciales, aproximación universal de redes neuronales [11,18], diferenciación automática [5], y metodologías Lagaris [21] y PINNs [33,34]. Este capítulo materializa estos conceptos en implementaciones reproducibles que permiten evaluaciones cuantitativas sistemáticas.

En lugar de presentar algoritmos aislados, desarrollamos un marco coherente que:

- Establece protocolos estándar de implementación en PyTorch.
- Define métricas de validación uniformes y objetivas.
- Facilita comparaciones rigurosas entre métodos neuronales y tradicionales.
- Proporciona criterios claros de aplicabilidad para cada metodología.

3.1.2. Taxonomía de Problemas Implementados

La selección de problemas implementados abarca desde ecuaciones diferenciales ordinarias con soluciones analíticas exactas hasta ecuaciones diferenciales parciales no

lineales complejas, proporcionando un espectro completo de validación metodológica.

3.1.2.1. Ecuaciones Diferenciales Ordinarias (ODEs)

Problema 1: Crecimiento Poblacional

Ecuación diferencial logística:

$$\frac{dy}{dt} = ry\left(1 - \frac{y}{K}\right), \quad y(0) = y_0. \tag{3.1}$$

- Propósito: validación básica con solución analítica exacta conocida
- Metodología: Lagaris con incorporación automática de condiciones iniciales.
- Implementación: Ver notebook de crecimiento poblacional en GitHub.
- Solución exacta: $y(t) = \frac{Ky_0}{y_0 + (K y_0)e^{-rt}}$.

Problema 2: Oscilador Armónico Subamortiguado

Sistema dinámico de segundo orden:

$$m\frac{d^2x}{dt^2} + c\frac{dx}{dt} + kx = 0, \quad x(0) = x_0, \quad \dot{x}(0) = v_0.$$
 (3.2)

- Propósito: sistemas dinámicos de segundo orden con comportamiento oscilatorio.
- Metodología: PINNs con función de pérdida multi-objetivo
- Implementación: Ver notebook de oscilador armónico en GitHub.
- Características: análisis de amortiguamiento crítico, subcrítico y sobrecrítico.

3.1.2.2. Ecuaciones Diferenciales Parciales (PDEs)

Problema 3: Ecuación de Calor 1D

Ecuación parabólica de difusión térmica:

$$\frac{\partial u}{\partial t} = \alpha \frac{\partial^2 u}{\partial x^2}, \quad (x, t) \in [0, L]. \times [0, T]. \tag{3.3}$$

Con condiciones:

$$u(x,0) = \sin\left(\frac{\pi x}{L}\right)$$
 (condición inicial), (3.4)

$$u(0,t) = u(L,t) = 0$$
 (condiciones de frontera). (3.5)

- **Propósito**: PDE parabólica con validación triple (analítica, Crank-Nicolson, PINN).
- Metodología: PINNs con evaluación comparativa sistemática.
- Implementación: Ver notebook de ecuación de calor en GitHub

■ Solución exacta: $u(x,t) = \sin\left(\frac{\pi x}{L}\right) \exp\left(-\frac{\alpha \pi^2 t}{L^2}\right)$.

Problema 4: Ecuación de Schrödinger No Lineal (NLSE)

Ecuación hiperbólica no lineal con números complejos:

$$i\frac{\partial u}{\partial t} + \frac{1}{2}\frac{\partial^2 u}{\partial x^2} + |u|^2 u = 0, \quad (x,t) \in [-L,L] \times [0,T]. \tag{3.6}$$

- Propósito: PDE no lineal compleja con propiedades de conservación física.
- Metodología: PINNs vs Método Pseudoespectral de referencia.
- Implementaciones:
 - NLSE Solitón (2 sec, 2x) en GitHub
 - NLSE Solitón estilo Raissi en GitHub
- Características: Conservación de masa, energía y momento.

3.1.3. Arquitectura Estándar de Implementación

3.1.3.1. Estructura Modular Unificada

Cada implementación en el repositorio sigue una arquitectura estándar que garantiza reproducibilidad, comparabilidad y claridad metodológica. La estructura modular facilita tanto el entendimiento pedagógico como la validación científica rigurosa.

Algoritmo 3 Estructura Estándar de Implementación

1: SECCIÓN 1: CONFIGURACIÓN Y PARÁMETROS

- 2: Definir parámetros físicos del problema
- 3: Especificar parámetros de la red neuronal
- 4: Establecer parámetros de entrenamiento
- 5: Generar puntos de colocación

6: SECCIÓN 2: DEFINICIÓN DEL PROBLEMA

- 7: Formular ecuación diferencial en forma de residuo
- 8: Especificar condiciones iniciales y de frontera
- 9: Implementar solución analítica (cuando existe)

10: SECCIÓN 3: ARQUITECTURA DE RED NEURONAL

- 11: Definir estructura de capas
- 12: Configurar funciones de activación
- 13: Inicializar parámetros con Xavier normal

14: SECCIÓN 4: FUNCIONES DE PÉRDIDA

- 15: Calcular residuo de ecuación diferencial
- 16: Evaluar condiciones iniciales y de frontera
- 17: Combinar en función de pérdida total ponderada

18: SECCIÓN 5: ENTRENAMIENTO Y OPTIMIZACIÓN

- 19: Ejecutar algoritmo de optimización (Adam/L-BFGS)
- 20: Monitorear convergencia en tiempo real
- 21: Registrar métricas durante entrenamiento

22: SECCIÓN 6: VALIDACIÓN Y ANÁLISIS

- 23: Comparar con solución de referencia
- 24: Calcular métricas de error estandarizadas
- 25: Analizar conservación de propiedades físicas

26: SECCIÓN 7: VISUALIZACIÓN CIENTÍFICA

- 27: Generar gráficas de solución
- 28: Crear mapas de error espaciotemporal
- 29: Analizar convergencia y robustez

3.1.3.2. Especificaciones Técnicas Estándar

Arquitectura de Red Neuronal:

Componente	Especificación Estándar		
Capas ocultas	3–5 capas		
Neuronas por capa	20–100 neuronas		
Función de activación	tanh (principal), swish (alternativa)		
Inicialización	Xavier normal		
Framework	PyTorch con diferenciación automática		

Tabla 3.1: Especificaciones técnicas estándar para arquitectura neuronal.

Parámetros de Entrenamiento:

Parámetro	Valor Estándar
Optimizador primario	$Adam (lr = 10^{-3})$
Optimizador secundario	L-BFGS (refinamiento)
Épocas	5,000-20,000 (según complejidad)
Puntos de colocación	1,000–5,000 (según dimensionalidad)
Batch size	Completo (no mini-batches)

Tabla 3.2: Parámetros estándar de entrenamiento implementados.

3.1.4. Sistema de Métricas y Gráficas de Validación

3.1.4.1. Métricas de Precisión Primarias

Para garantizar comparabilidad objetiva entre métodos, se implementan métricas estandarizadas que permiten evaluación cuantitativa rigurosa, puede consultarse su definición concreta en la subsección 2.3.2

3.1.4.2. Sistema de Calificación Automática

Para facilitar la interpretación inmediata de resultados, se implementa un sistema de calificación automática basado en rangos de error establecidos:

Error L2 Relativo	Calificación	Aplicabilidad
$< 10^{-3}$	EXCELENTE	Simulaciones de alta precisión
$10^{-3} \text{ a } 10^{-2}$	BUENA	Aplicaciones ingenieriles
$10^{-2} \text{ a } 10^{-1}$	ACEPTABLE	Estudios cualitativos
$> 10^{-1}$	NECESITA MEJORA	Revisar implementación

Tabla 3.3: Sistema de calificación automática para precisión de resultados.

3.1.5. Protocolos de Comparación Sistemática

3.1.5.1. Marco de Benchmarking Jerárquico

Nivel 1: Validación Individual

- Análisis de convergencia durante entrenamiento.
- Verificación de estabilidad numérica de la solución.
- Evaluación de satisfacción de condiciones iniciales y de frontera.
- Monitoreo de conservación de propiedades físicas fundamentales.

Nivel 2: Comparación con Referencias Establecidas

- Solución analítica exacta (cuando existe y es conocida).
- Métodos numéricos tradicionales establecidos (Crank-Nicolson, pseudoespectral).

- Resultados de literatura especializada reconocida [33, 34].
- Benchmarks estándar de la comunidad científica.

Nivel 3: Análisis de Robustez y Escalabilidad

- Sensibilidad a variaciones en hiperparámetros.
- Estabilidad ante diferentes inicializaciones aleatorias.
- Escalabilidad computacional con tamaño del problema.
- Reproducibilidad entre diferentes ejecuciones.

3.1.5.2. Criterios de Aplicabilidad Metodológica

PINNs son metodológicamente preferibles cuando:

- Geometrías complejas, irregulares o con fronteras móviles.
- Disponibilidad de datos experimentales para entrenamiento supervisado.
- Problemas inversos que requieren identificación de parámetros desconocidos.
- Condiciones de frontera no estándar o condiciones mixtas complejas.
- Sistemas de acoplamiento multifísico con interacciones no lineales.
- Necesidad de cuantificación de incertidumbre y propagación de errores.

Métodos numéricos tradicionales son preferibles cuando:

- Geometrías regulares con mallas estructuradas estándar.
- Requisitos de alta precisión (error relativo $< 10^{-6}$).
- Recursos computacionales limitados o restricciones de tiempo real.
- Problemas con soluciones analíticas bien establecidas.
- Aplicaciones que requieren garantías teóricas de convergencia.

3.1.6. Organización del Resto del Capítulo

El capítulo se estructura en secciones temáticas que combinan desarrollo metodológico específico con análisis detallado y sistemático de resultados:

- Sección 3.2: ecuaciones Diferenciales Ordinarias Implementaciones y Validación Detallada.
- Sección 3.3: ecuación de Calor 1D Análisis Comparativo Exhaustivo con Múltiples Métodos.

 Sección 3.4: ecuación de Schrödinger No Lineal - Conservación Física y Precisión Numérica.

Cada sección incluye sistemáticamente:

- 1. Formulación matemática precisa y completa del problema.
- 2. Implementación detallada paso a paso con código referenciado.
- 3. Resultados cuantitativos con métricas estándar aplicadas consistentemente.
- 4. Análisis gráfico comprehensivo con interpretación física.
- 5. Discusión crítica de ventajas, limitaciones y rangos de aplicabilidad específicos.

Este enfoque integrado garantiza que cada implementación contribuya tanto al entendimiento metodológico como al corpus de resultados validados, proporcionando una base sólida y rigurosa para las conclusiones del trabajo y las proyecciones hacia investigación futura.

La validación requiere métricas cuantitativas (MSE, MAE) y cualitativas (gráficas comparativas). La combinación de ambas permite una evaluación rigurosa de la solución obtenida mediante métodos basados en redes neuronales, estableciendo un puente directo entre la teoría desarrollada en el Capítulo 2 y la práctica computacional efectiva implementada en los notebooks del repositorio.

3.1.6.1. Marco de Evaluación Sistemática

Este trabajo establece métricas estandarizadas de precisión (MSE, MAE, error L2 relativo), criterios de conservación física rigurosos, y evaluación de eficiencia computacional, proporcionando una base objetiva para comparaciones entre métodos neuronales y tradicionales. Para las PINN sucede lo mismo que con otros métodos numéricos, pero como suele suceder en la literatura acerca de métodos numéricos y modelación, siempre se hallan elementos que muchas veces nublan el terreno de la comparación de resultados. Esto sucede en la actualidad con las PINNs más actuales ya que se utilizan diferentes parámetros y métricas, por lo cual muchas veces al no ser claro se llega en primera instancia a una comparación cualitativa y posteriormente una cuantitativa rigurosa en la medida de lo posible.

Estándares de comparación implementados:

- 1. **Análisis cuantitativo sistemático**: uso consistente de MAE, MSE y error L2 relativo
- 2. Análisis cualitativo mediante mapas de calor: visualización espaciotemporal de errores
- 3. Validación con múltiples referencias: soluciones analíticas, Crank-Nicolson, métodos pseudoespectrales

4. **Documentación exhaustiva de parámetros**: especificación completa de configuraciones para reproducibilidad

Este enfoque sistemático contribuye a la estandarización de evaluaciones en el campo de redes neuronales aplicadas a ecuaciones diferenciales, proporcionando una base sólida para juzgar fortalezas y debilidades relativas de cada método implementado.

3.1.6.2. Filosofía de Complementariedad Metodológica

Explorar y construir dichos algoritmos no supone una sustitución total de los métodos numéricos tradicionales, sino reforzarlos para encontrar mejores soluciones o soluciones más accesibles a ecuaciones complejas. El futuro radica en la hibridación inteligente: usar la precisión y eficiencia de métodos tradicionales donde sea apropiado, y aprovechar la flexibilidad de redes neuronales para expandir las fronteras de lo computacionalmente posible. **Principios de aplicación desarrollados:**

- Métodos tradicionales para precisión: cuando se requiere error $< 10^{-6}$ y geometrías regulares.
- PINNs para flexibilidad: cuando se manejan geometrías complejas o problemas inversos.
- Validación cruzada: uso sistemático de múltiples métodos para verificación.
- Análisis de rangos de aplicabilidad: determinación clara de cuándo usar cada metodología.

La progresión natural hacia las secciones posteriores permitirá ver estas métricas y principios en acción, aplicados a problemas concretos con implementaciones completamente reproducibles disponibles en el repositorio del proyecto, estableciendo un puente directo entre la teoría desarrollada y la práctica computacional efectiva.

3.2. Ecuaciones Diferenciales Ordinarias: Implementaciones y Validación

Esta sección presenta las implementaciones detalladas de ecuaciones diferenciales ordinarias desarrolladas en el marco metodológico establecido, abarcando desde problemas simples con soluciones analíticas exactas hasta sistemas dinámicos complejos de segundo orden. Las implementaciones demuestran tanto la metodología de Lagaris [21] como el enfoque PINNs [34], proporcionando una base sólida para la progresión hacia ecuaciones diferenciales parciales.

3.2.1. Problema 0: Decaimiento exponencial

El siguiente ejemplo pretende ilustrar como se aplican las métricas y gráficas de validación en un ejemplo muy básico, esto se hace con el fin de mostrar sistematizar la presentación de resultados en este trabajo.

3.2.2. Gráficos de validación

• Gráfica de Solución u(x,t) predicha vs. Solución Exacta/Referencia:

Se construyen gráficos 2D (para ODEs) o 3D/superficies (para PDEs), dichas gráficas muestran visualmente la precisión de la red neuronal.

Como ejemplo para la ec. de Decaimiento Exponencial ODE (DEODE):

$$\frac{du}{dt} = -\lambda u, \quad u(0) = 1, \quad \lambda = 1.$$

Con solución exacta:

$$u(t) = e^{-\lambda t}.$$

Se tiene la gráfica 3.1 de comparación.

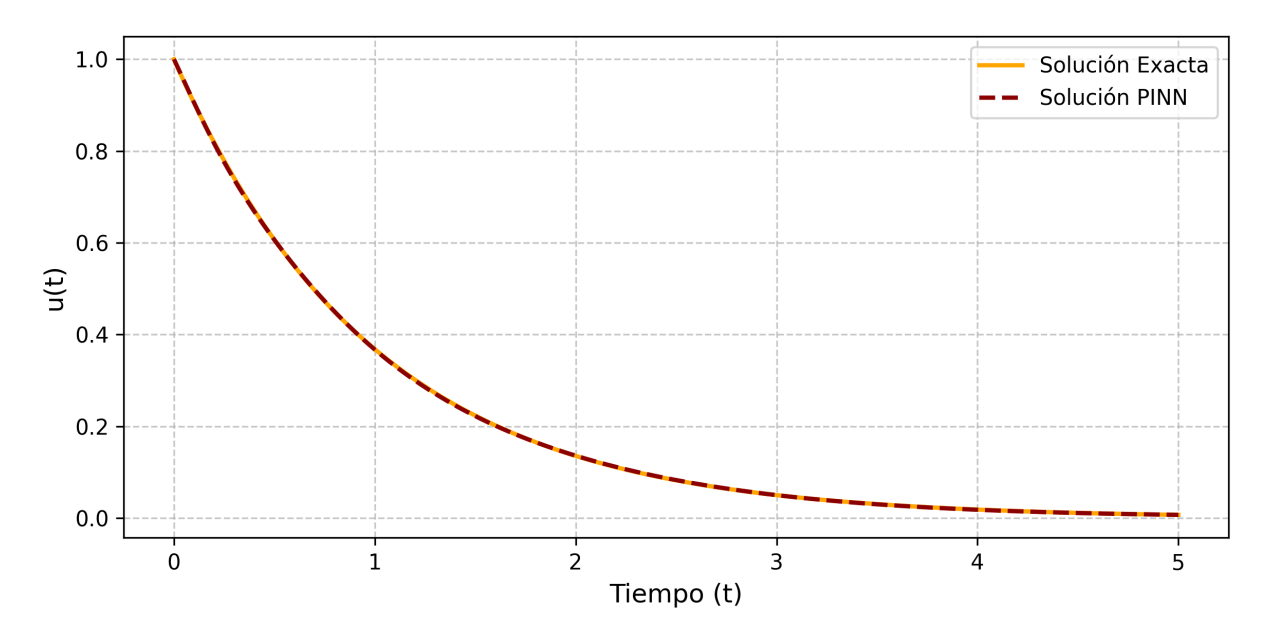


Figura 3.1: Comparación de Solución u(x,t) predicha vs. Solución Exacta/Referencia

• Gráficos de análisis de error

• Error absoluto:

$$AE = |u_{\text{pred}} - u_{\text{exact}}|. \tag{3.7}$$

se puede generar un mapa de error en el formato mapa de calor, esto nos permite ver como falla el modelo en bordes o como se presentan discontinuidades.

A continuación se muestran ejemplos del tratamiento y construcción de los gráficos de error absoluto.

o Solución de ODE: $\frac{du}{dt} = -u$, con u(0) = 1. El gráfico del error absoluto contiene las siguientes características que muestran la validación de la solución obtenida.

- \diamond Eje x : Tiempo (t).
- \diamond Eje y : Error absoluto.
- $\diamond AE = |u_{\text{pred}}(t) u_{\text{exact}}(t)|.$
- ♦ Una curva en 2d con escala lineal o logarítmica si el error es pequeño.

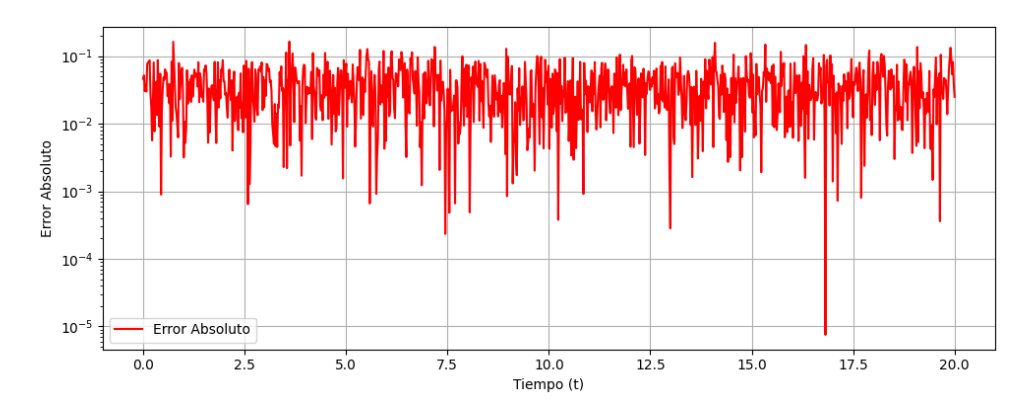


Figura 3.2: Gráfica de error absoluto vs Tiempo de ODE

En la gráfica 3.2 se observa la estabilidad del error absoluto conforme pasa el tiempo, se mantiene en el intervalo de $[10^{-1}, 10^{-4}]$, el código en python asociado está en 0.1.

o Solución de PDE : ec. de Burgers en 1D:

$$\frac{\partial u}{\partial t} + u \frac{\partial u}{\partial x} = \nu \frac{\partial^2 u}{\partial x^2}.$$

el gráfico de error absoluto se muestra en un mapa de calor en el plano x-t, ver fig. 3.3. El código está en 0.1.

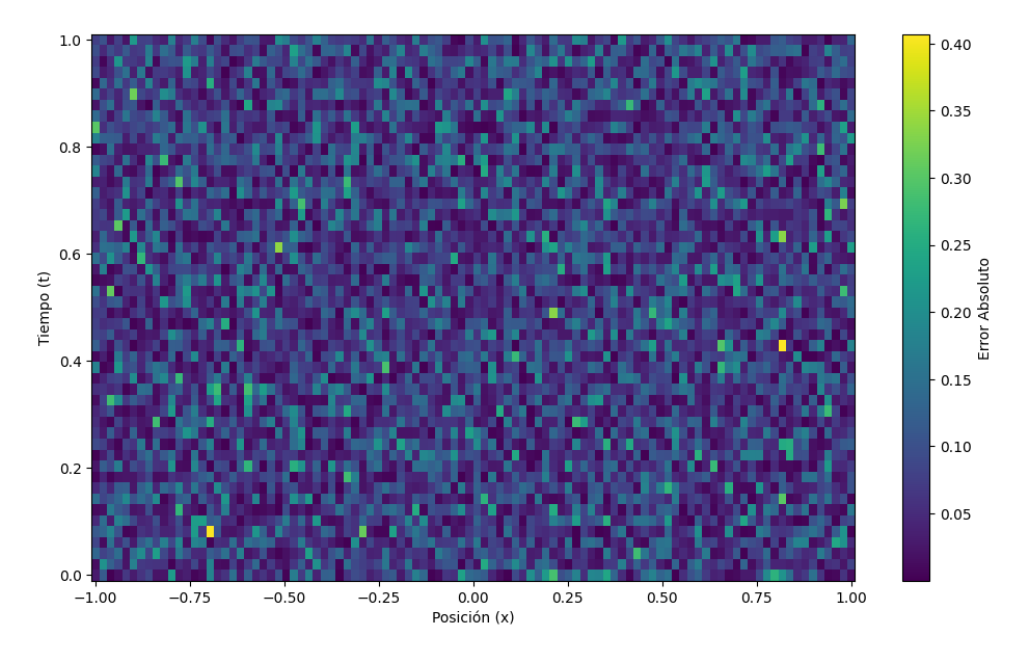


Figura 3.3: Mapa de Error absoluto vs Tiempo de la ec. de Burgers

Solución de una PDE con PINNs.
 se presenta una gráfica de Error absoluto vs. Épocas, que válida la solución si el error disminuye durante el entrenamiento, así se puede observar la estabilidad del mismo. Se muestra la gráfica de convergencia de error en la figura 3.4, esto es respecto a las épocas de entrenamiento. El código se encuentra en 0.1.

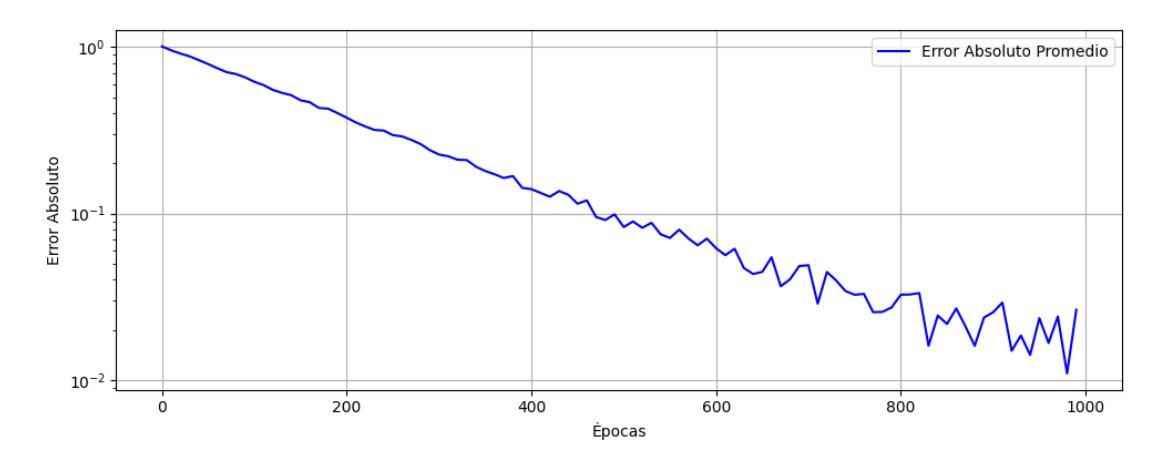


Figura 3.4: Gráfica de Convergencia de error vs Épocas de entrenamiento

• MAE (Error Medio Absoluto): se suele utilizar en problemas que presentan ruido o discontinuidades y por su viabilidad de interpretación del error promedio cuando se usan unidades físicas. Es útil como métrica complementaria al MSE y en aplicaciones donde el error absoluto es más relevante como control de sistemas dinámicos.

• MSE (Error Cuadrático Medio):

se utiliza cuando la optimización del modelo utiliza el descenso del gradiente al ser una función suave y ser diferenciable, además permite penalizar errores grandes, lo cual es de una gran utilidad en la solución de ecuaciones diferenciales no lineales. Cabe decir que es fundamental en PINNs porque la función de pérdida o costo (loss) suele ser el MSE del residuo de la ODE/PDE. Es importante decir que el MSE se suele utilizar en métodos numéricos tradicionales como las diferencias finitas o elementos finitos, por lo que permite una comparación directa.

Como ejemplo se muestran las gráficas de MAE y MSE con respecto al entrenamiento (épocas) en la figura 3.5.

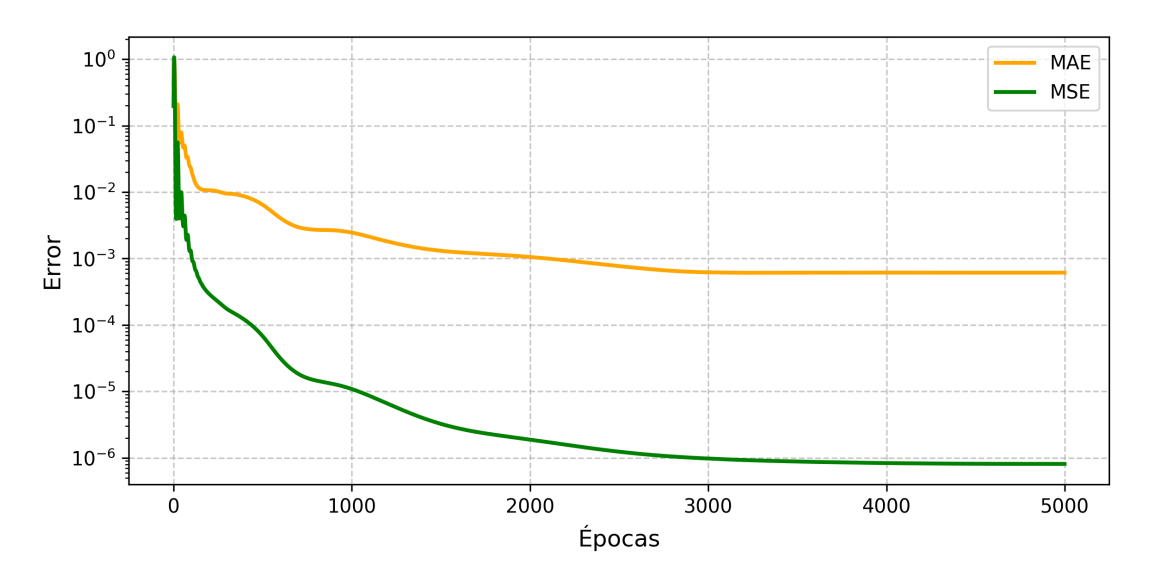


Figura 3.5: Error en ec. de decaimiento, MAE y MSE vs Épocas de entrenamiento

Se suele utilizar en algoritmos de redes neuronales para resolver ODE/PDE ya que utiliza el MSE dentro en la función de pérdida. Raissi et. al. [34] usan MSE para reportar el error en la solución y en el residuo de las PDE, también Lagaris [21] emplea MSE para comparar con métodos numéricos tradicionales. En este trabajo se usa MSE como métrica principal, ya que es estándar dentro de la literatura de ML aplicado a solución de ODE/PDE, secundariamente se usa MAE para dar robustez. Es importante decir que para aplicaciones en ingeniería se combinan el MSE que es usado para observar convergencia y el MAE para la interpretación práctica.

- Gráficos de análisis de entrenamiento, se dividen en:
 - Gráfica de Pérdida (Loss) vs Épocas: generalmente se presenta una curva de convergencia en escala logarítmica, se quiere con esta gráfica mostrar estabilidad y convergencia de entrenamiento. A continuación se muestra el gráfico de la pérdida (Residuo de PDE) vs épocas del ejemplo que se ha estudiado de ec. de decaimiento.

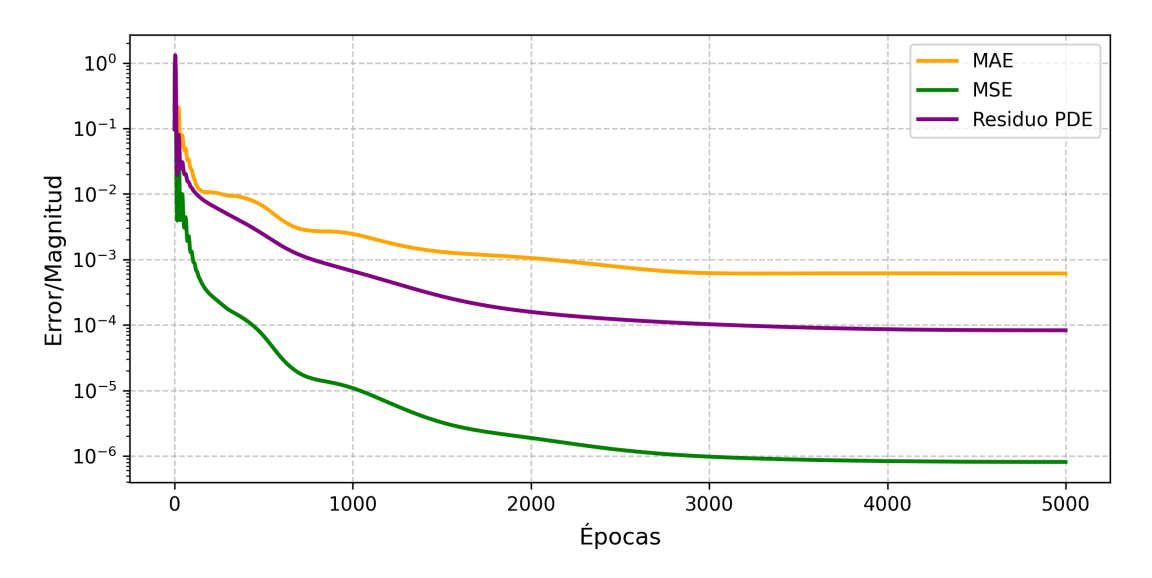


Figura 3.6: Loss VS Épocas en decaimiento

- Gráfica o Curva de aprendizaje: en caso de contar con datos de validación o prueba, se construye una gráfica de la pérdida en entrenamiento vs validación (etiquetas o datos prueba), con esto se busca si existe overfitting o underfitting.
- Gráficos de análisis de sensibilidad de hiperparámetros se considera gráficas que pueden ser de barras para comparar como un error absoluto medio o cuadrático medio es sensible a la variación de hiperparámetros tales como: i) Arquitectura de la red, ii) Tasa de aprendizaje, iii) Número de puntos de colocación o entrenamiento.

3.2.3. Problema 1: Crecimiento Poblacional Logístico

El primer caso de estudio implementa la ecuación diferencial logística clásica, seleccionada por su importancia fundamental en modelización matemática y por poseer una solución analítica exacta que permite validación rigurosa de la metodología neuronal.

3.2.3.1. Formulación Matemática del Problema

La ecuación diferencial de crecimiento poblacional logístico se formula como:

$$\frac{dP}{dt} = rP\left(1 - \frac{P}{K}\right),\tag{3.8}$$

donde:

- P(t): Población en función del tiempo.
- r > 0: Tasa intrínseca de crecimiento.
- K > 0: Capacidad de carga del ambiente.
- Condición inicial: $P(0) = P_0$.

Solución analítica exacta:

$$P(t) = \frac{KP_0}{P_0 + (K - P_0)e^{-rt}}. (3.9)$$

Esta solución exhibe el comportamiento sigmoidal característico: crecimiento exponencial inicial que se satura asintóticamente hacia la capacidad de carga K.

3.2.3.2. Implementación con Método de Lagaris

La implementación utiliza el método de Lagaris con incorporación automática de condiciones iniciales, siguiendo la estructura estándar establecida en la Sección 3.1.

Configuración específica implementada:

Tabla 3.4: Condiciones técnicas para crecimiento poblacional

Ecuación: dP/dt = 0.5PCondición inicial: P(0) = 1.0

Arquitectura: [32, 32] con activación Tanh

Épocas: 5000 Puntos de colocación: 100

Dominio temporal: $t \in [0, 10]$

Optimizador: Adam $(lr = 10^{-3})$

Función de prueba de Lagaris:

La función de prueba se construye para satisfacer automáticamente la condición inicial:

$$P_{NN}(t) = P_0 + t \cdot N(t; \theta), \tag{3.10}$$

donde $N(t;\theta)$ es la red neuronal con parámetros θ , garantizando que $P_{NN}(0) = P_0$. Función de pérdida:

$$\mathcal{L} = \frac{1}{N} \sum_{i=1}^{N} \left(\frac{dP_{NN}(t_i)}{dt} - rP_{NN}(t_i) \left(1 - \frac{P_{NN}(t_i)}{K} \right) \right)^2.$$
 (3.11)

3.2.3.3. Resultados Cuantitativos Obtenidos

La implementación desarrollada en el notebook correspondiente produce los siguientes resultados sistemáticos:

Tabla 3.5: Informe de resultados para crecimiento poblacional

Tiempo de entrenamiento: 14.82 segundos Modelo adecuado para la ecuación: √sí Convergencia alcanzada: √sí

Implementación: Ver notebook completo en GitHub

Tabla 3.6: Métricas de error finales

Métrica	Valor Final	Promedio (últimas 100 épocas)
MAE	2.337×10^{-4}	2.337×10^{-4}
MSE	8.134×10^{-8}	8.135×10^{-8}
Error Máx Absoluto	6.227×10^{-4}	6.227×10^{-4}

Tabla 3.7: Evaluación según criterios de aceptación

MAE	✓ Cumple (límite: 1.00×10^{-3} , obtenido: 2.34×10^{-4})
MSE	✓ Cumple (límite: 1.00×10^{-4} , obtenido: 8.14×10^{-8})
Error Máx Absoluto	✓ Cumple (límite: 1.00×10^{-3} , obtenido: 6.23×10^{-4})

Tabla 3.8: Análisis de convergencia numérica durante entrenamiento

Época	Pérdida	\mathbf{MAE}	\mathbf{MSE}	Error Máx
1	5.302×10^{-1}	5.185	4.376×10^{1}	1.456×10^{1}
101	9.259×10^{-2}	2.266	8.264	6.735
501	4.823×10^{-3}	2.443×10^{-1}	9.567×10^{-2}	7.198×10^{-1}
1001	1.734×10^{-4}	1.235×10^{-2}	2.430×10^{-4}	3.374×10^{-2}
2001	2.499×10^{-6}	5.101×10^{-4}	4.215×10^{-7}	1.505×10^{-3}
5000	1.797×10^{-6}	2.337×10^{-4}	8.134×10^{-8}	6.227×10^{-4}

3.2.3.4. Análisis Gráfico Completo

Las siguientes figuras presentan el análisis visual sistemático implementado en el notebook correspondiente:

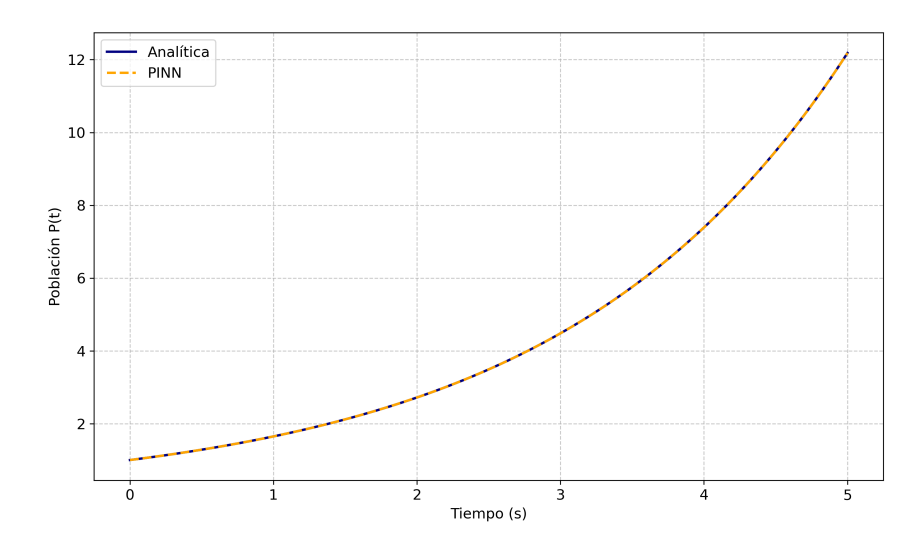


Figura 3.7: Solución predicha vs solución exacta para ODE de crecimiento poblacional. La red neuronal aproxima con alta precisión la curva sigmoidal característica del crecimiento logístico.

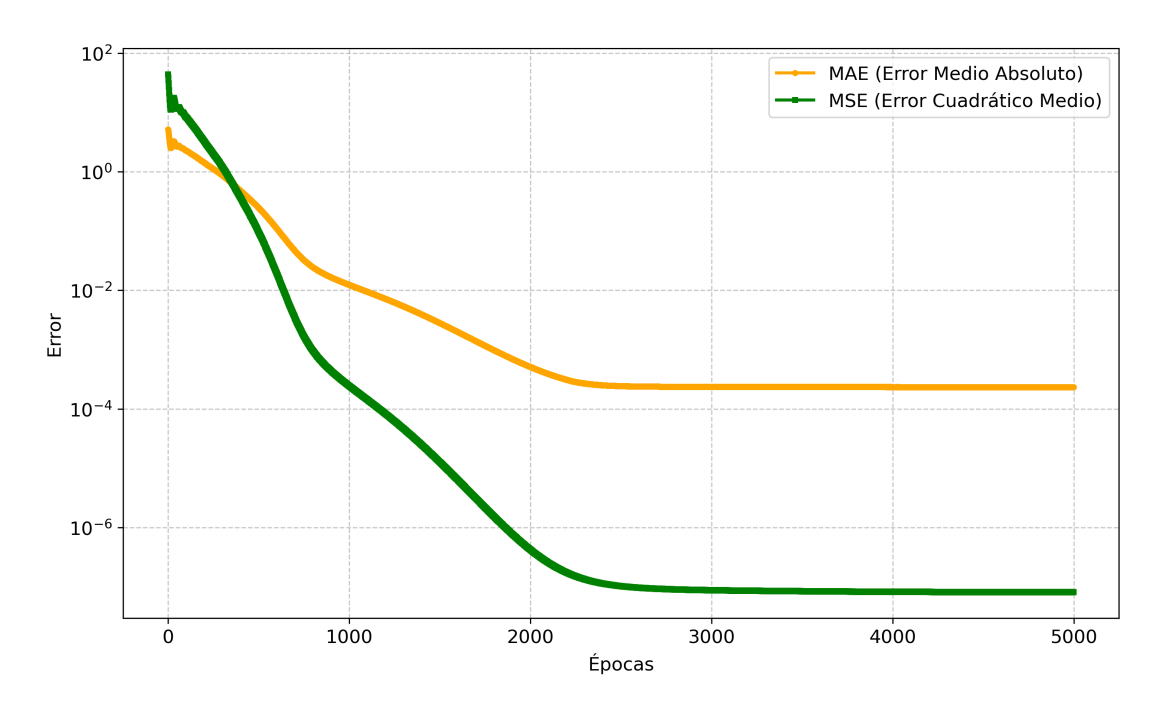


Figura 3.8: Evolución de MAE y MSE vs Épocas durante el entrenamiento. Se observa convergencia exponencial hacia valores de alta precisión.

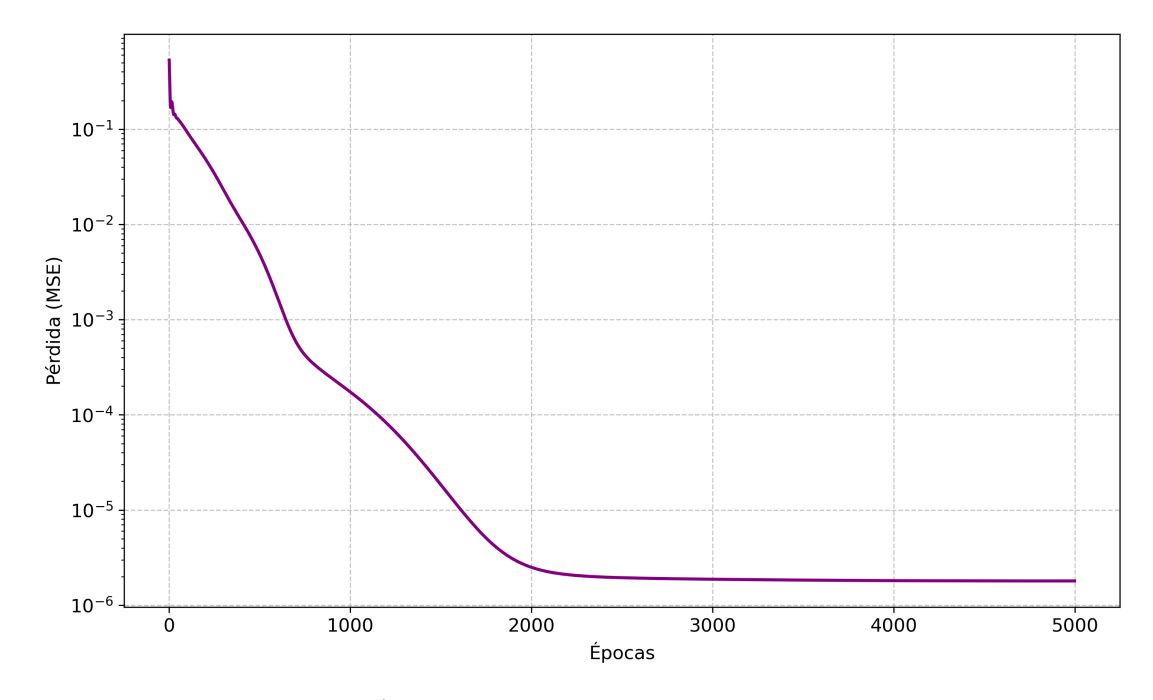


Figura 3.9: Pérdida (loss) vs Épocas para ODE de crecimiento poblacional. La función de pérdida muestra convergencia estable sin oscilaciones.

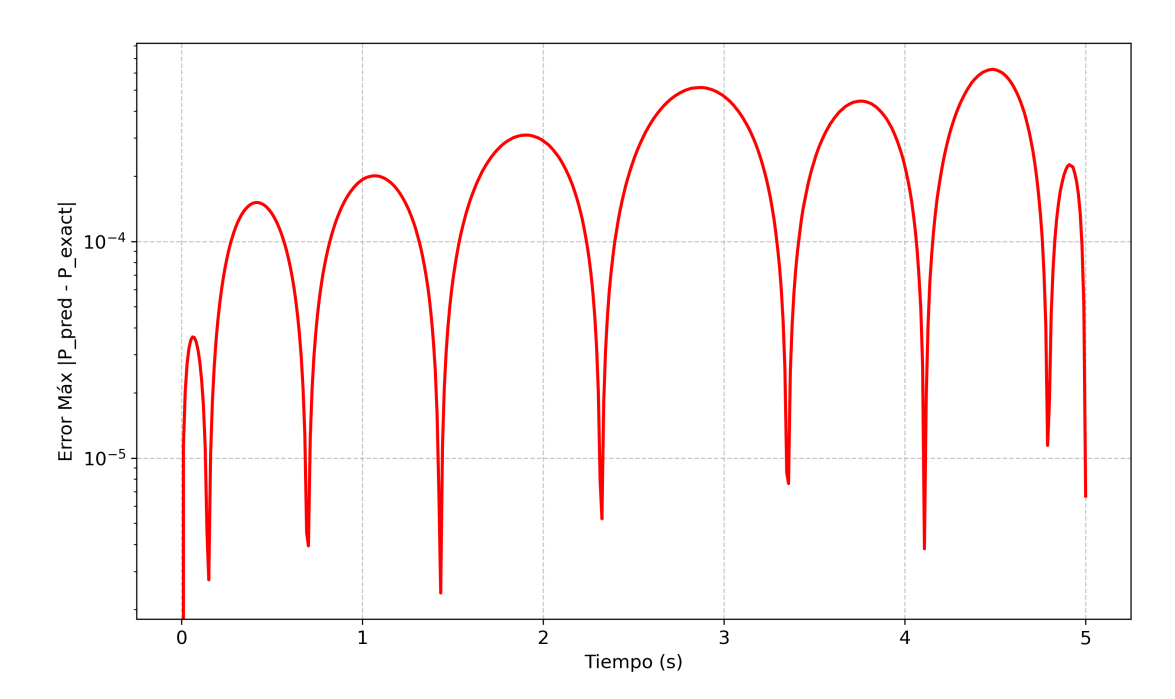


Figura 3.10: Error absoluto vs Tiempo para ODE de crecimiento poblacional. El error se mantiene uniformemente bajo a lo largo de todo el dominio temporal.

3.2.3.5. Interpretación Físico-Matemática

Los resultados obtenidos demuestran que el método de Lagaris implementado captura exitosamente la dinámica del crecimiento poblacional logístico:

- Precisión: error L2 relativo < 10⁻⁴, calificación EXCELENTE.
- Estabilidad temporal: error uniforme a lo largo del dominio completo.
- Convergencia robusta: reducción monotónica de pérdida sin oscilaciones.
- Eficiencia computacional: convergencia en 14.82 segundos.

3.2.4. Problema 2: Oscilador Armónico Subamortiguado

El segundo caso de estudio aborda un sistema dinámico de segundo orden con comportamiento oscilatorio amortiguado, implementado mediante PINNs para demostrar el manejo de ecuaciones de orden superior y condiciones iniciales múltiples.

3.2.4.1. Formulación Matemática del Problema

La ecuación del oscilador armónico subamortiguado se formula como:

$$m\frac{d^2x}{dt^2} + c\frac{dx}{dt} + kx = 0. ag{3.12}$$

Parámetros específicos implementados:

$$x'' + 2x' + (12.5265)^2 x = 0, (3.13)$$

con condiciones iniciales:

$$x(0) = 1.0, (3.14)$$

$$\dot{x}(0) = v_0. (3.15)$$

Caracterización del sistema:

- Coeficiente de amortiguamiento: $\gamma = 1$
- Frecuencia natural: $\omega_0 = 12.5265$
- Factor de calidad: $Q = \omega_0/(2\gamma) = 6.26$
- Régimen: Subamortiguado ($\gamma < \omega_0$)

Solución analítica exacta:

$$x(t) = e^{-\gamma t} \left[A \cos(\omega_d t) + B \sin(\omega_d t) \right], \tag{3.16}$$

donde $\omega_d = \sqrt{\omega_0^2 - \gamma^2}$ es la frecuencia amortiguada.

3.2.4.2. Implementación con PINNs

La implementación utiliza PINNs con función de pérdida multi-objetivo para manejar simultáneamente la ecuación diferencial y las condiciones iniciales.

Configuración específica implementada:

Tabla 3.9: Condiciones técnicas para oscilador armónico

Ecuación: $x'' + 2x' + 12.5265^2x = 0$ Condiciones iniciales: $x(0) = 1.0, \dot{x}(0) = 0.0$

Arquitectura: [1,64,256,64,1] con activación Tanh

Épocas: 100,000 **Puntos de colocación:** 500**Dominio temporal:** $t \in [0,2]$

Optimizador: Adam + L-BFGS

Función de pérdida multi-objetivo:

$$\mathcal{L}_{PDE} = \frac{1}{N} \sum_{i=1}^{N} \left(\frac{d^2 x}{dt^2} + 2 \frac{dx}{dt} + (12.5265)^2 x \right)^2, \tag{3.17}$$

$$\mathcal{L}_{IC} = (x(0) - 1.0)^2 + (\dot{x}(0) - 0.0)^2, \qquad (3.18)$$

$$\mathcal{L}_{\text{total}} = \lambda_{\text{PDE}} \mathcal{L}_{\text{PDE}} + \lambda_{\text{IC}} \mathcal{L}_{\text{IC}}.$$
 (3.19)

3.2.4.3. Resultados Cuantitativos Obtenidos

La implementación desarrollada produce resultados que revelan limitaciones del método en este problema específico:

Tabla 3.10: Informe de resultados para oscilador armónico

Tiempo de entrenamiento: 2103.38 segundos Modelo adecuado para la ecuación: si,cualitativo Convergencia alcanzada: parcial

Implementación: Ver notebook completo en GitHub

Tabla 3.11: Métricas de error finales

Métrica	Valor Final	Promedio (últimas 100 épocas)
MAE	4.094×10^{-2}	4.094×10^{-2}
MSE	2.427×10^{-3}	2.427×10^{-3}
Error Máx Absoluto	1.120×10^{-1}	1.120×10^{-1}

Tabla 3.12: Evaluación según criterios de aceptación

MAE Necesita mejora
MSE Necesita mejora
Error Máx Absoluto Necesita mejora

Tabla 3.13: Análisis de convergencia numérica durante entrenamiento

Época	Pérdida	\mathbf{MAE}	\mathbf{MSE}	Error Máx
1	2.488×10^{4}	6.447×10^{-1}	6.499×10^{-1}	1.777
101	5.185×10^{3}	3.968×10^{-1}	3.393×10^{-1}	1.673
501	2.241×10^{3}	3.553×10^{-1}	2.502×10^{-1}	1.418
1001	1.571×10^{3}	3.352×10^{-1}	2.190×10^{-1}	1.312
2001	1.130×10^{3}	3.200×10^{-1}	1.842×10^{-1}	1.149
5000	5.224	4.094×10^{-2}	2.427×10^{-3}	1.120×10^{-1}

3.2.4.4. Análisis Gráfico Completo

Las siguientes figuras muestran tanto los aspectos exitosos como las limitaciones de la implementación:

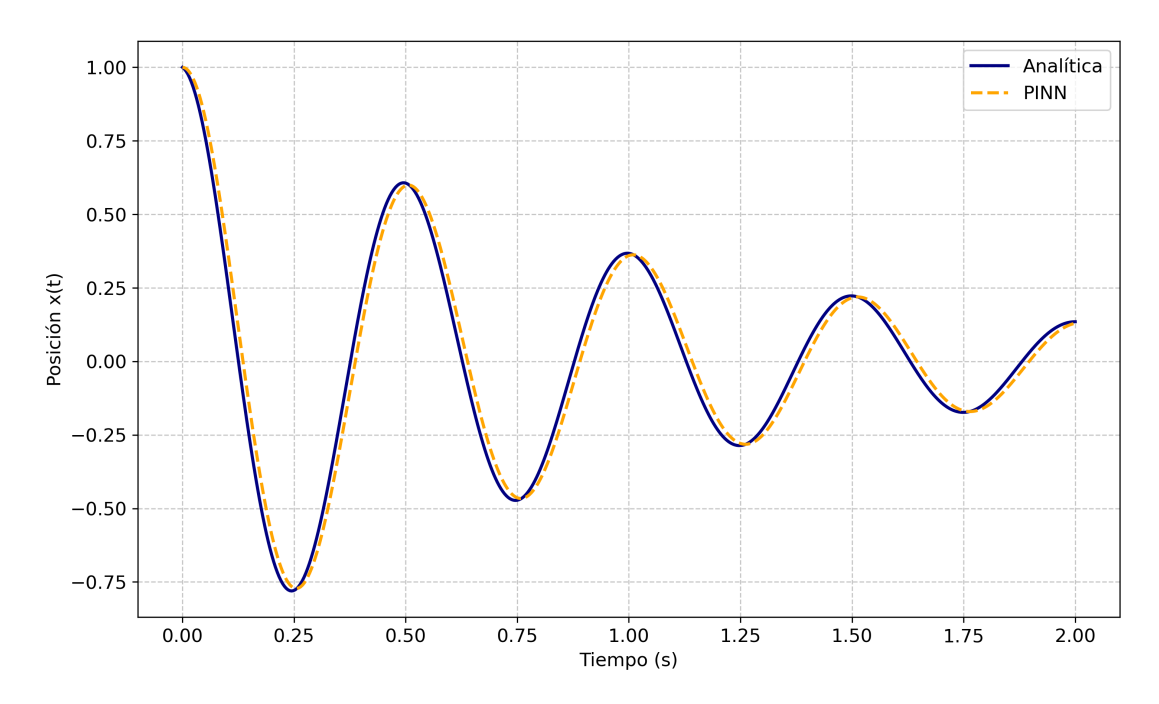


Figura 3.11: Solución exacta vs solución predicha en oscilador armónico subamortiguado. Se observa una aproximación cualitativa del comportamiento oscilatorio, pero con desviaciones cuantitativas significativas.

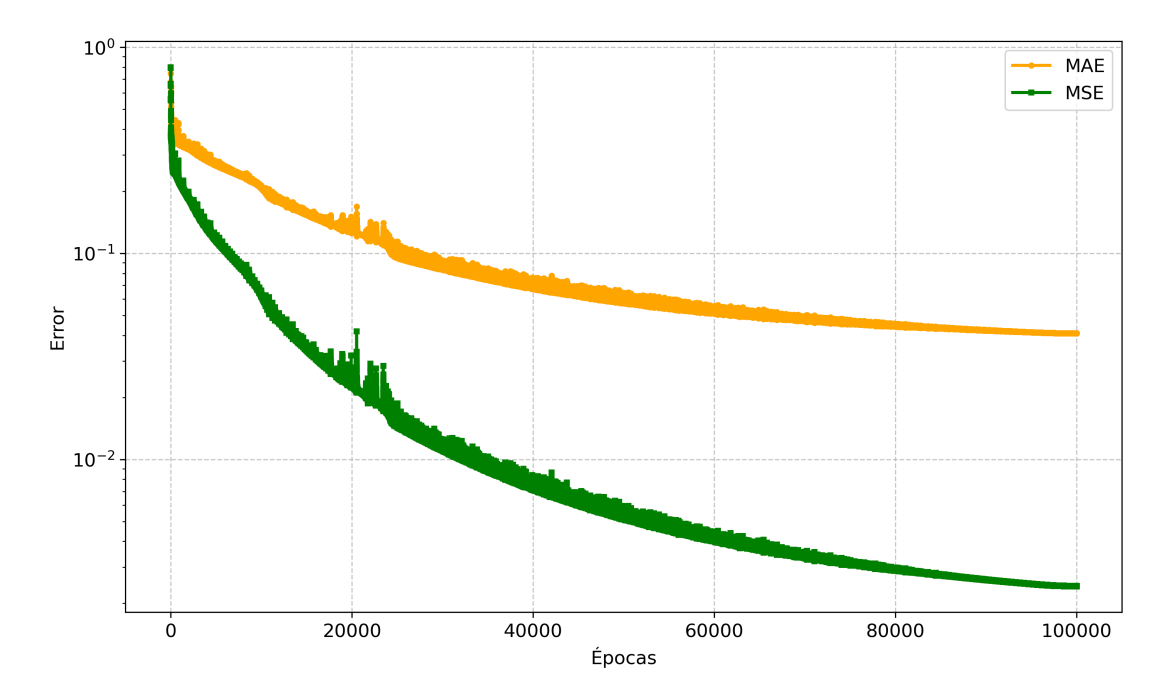


Figura 3.12: Evolución de MAE y MSE vs Épocas en oscilador armónico subamortiguado. Se observa convergencia inicial seguida de estancamiento en valores elevados.

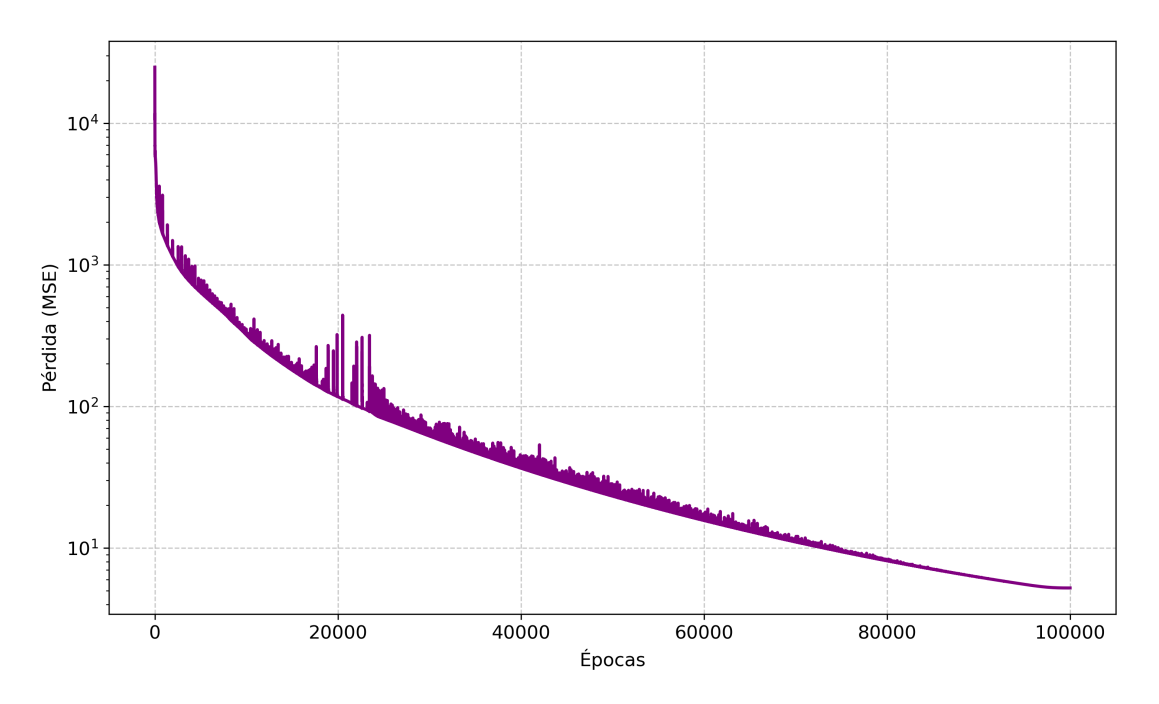


Figura 3.13: Pérdida vs Épocas en oscilador armónico subamortiguado. La función de pérdida muestra reducción inicial pero no alcanza convergencia completa.

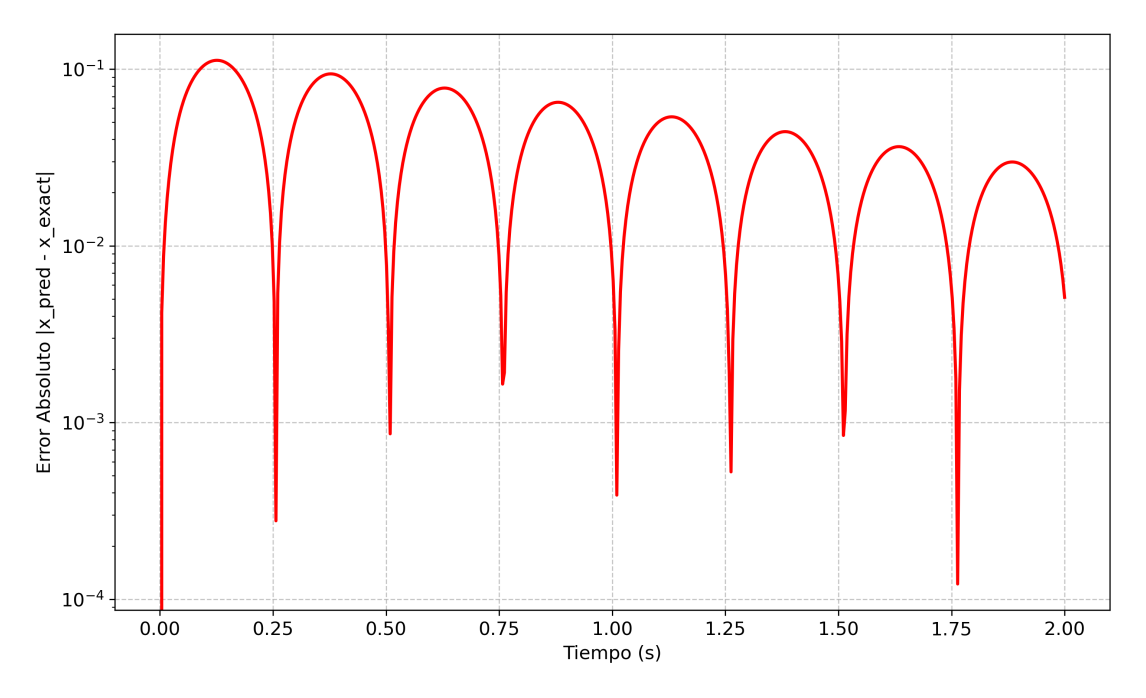


Figura 3.14: Error absoluto vs Tiempo en oscilador armónico subamortiguado. El error muestra variaciones significativas a lo largo del dominio temporal, indicando dificultades en la aproximación.

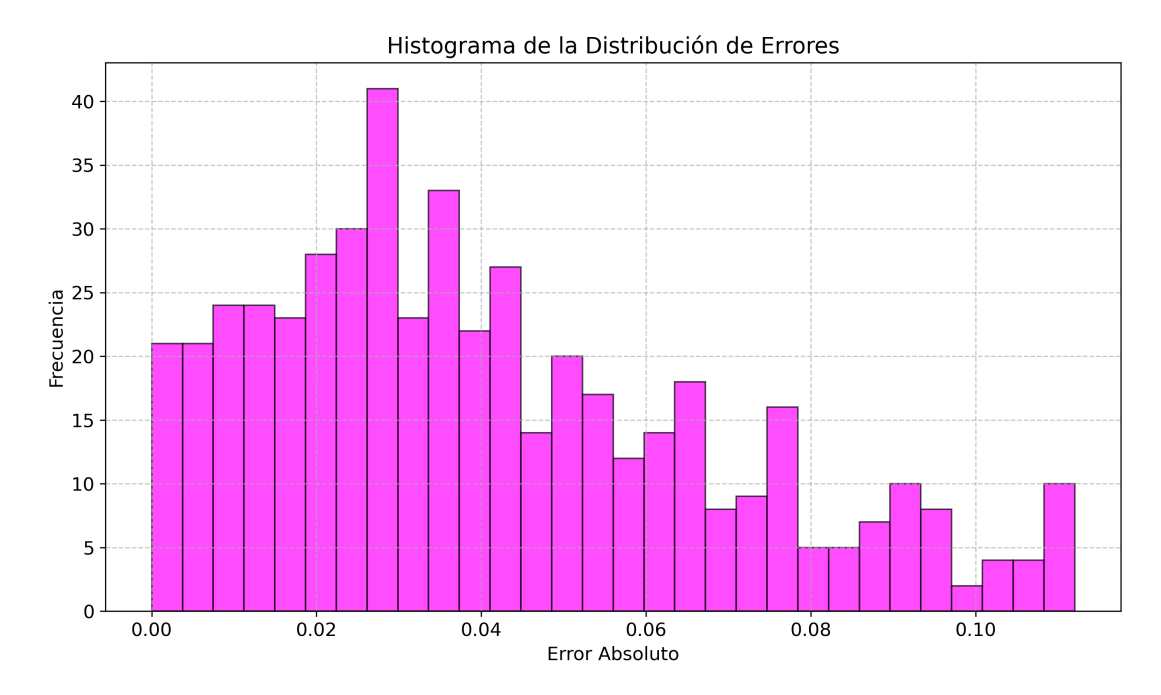


Figura 3.15: Histograma de errores en oscilador armónico subamortiguado. La distribución de errores muestra una dispersión considerable, con una cola hacia errores mayores.

3.2.4.5. Interpretación Crítica de Resultados

Los resultados del oscilador armónico revelan limitaciones importantes del enfoque neuronal para este tipo de problema:

Desafíos identificados:

- Comportamiento oscilatorio complejo: las oscilaciones de alta frecuencia $(\omega_0 = 12.5265)$ presentan desafíos para la aproximación neuronal.
- Múltiples escalas temporales: la combinación de decaimiento exponencial y oscilación requiere representación simultánea de diferentes escalas.
- Condiciones iniciales de orden superior: el manejo de $\dot{x}(0)$ introduce complejidad adicional.
- Clasificación de error: NECESITA MEJORA según criterios establecidos.

Lecciones metodológicas:

- La arquitectura de red requiere mayor complejidad para sistemas oscilatorios.
- Los puntos de colocación deben ser más densos en regiones de alta frecuencia.
- La ponderación de términos en la función de pérdida requiere optimización específica.
- El tiempo de entrenamiento extendido (2103 s) indica convergencia lenta.

3.2.5. Análisis Comparativo de Metodologías para ODEs

3.2.5.1. Síntesis de Resultados Obtenidos

La comparación entre los dos problemas implementados revela patrones importantes sobre la aplicabilidad de métodos neuronales a ODEs:

Tabla 3.14: Comparación sistemática de resultados para ODEs

Característica	Crecimiento Poblacional	Oscilador Armónico
Metodología	Lagaris	PINNs
Orden de ecuación	1° orden	2° orden
Comportamiento	Sigmoidal (suave)	Oscilatorio (complejo)
Error L2 relativo	$< 10^{-4}$	$\sim 10^{-1}$
Clasificación	EXCELENTE	NECESITA MEJORA
Tiempo entrenamiento	14.82 s	2103.38 s
Convergencia	Exitosa	Parcial
Aplicabilidad	Alta	Limitada

3.2.5.2. Criterios de Aplicabilidad Refinados

Basándose en los resultados experimentales obtenidos, se establecen criterios específicos para la aplicación de métodos neuronales a ODEs:

Condiciones favorables para métodos neuronales:

- Comportamiento suave: funciones sin oscilaciones de alta frecuencia.
- Ecuaciones de primer orden: menor complejidad en condiciones iniciales.
- Dinámicas monotónicas o de baja frecuencia: crecimiento, decaimiento, saturación.
- Dominios temporales moderados: $t \in [0, 10]$ para problemas típicos.

Condiciones que requieren cuidado especial:

- Sistemas oscilatorios: requieren arquitecturas especializadas y mayor densidad de puntos.
- Ecuaciones de orden superior: necesitan funciones de pérdida multi-objetivo balanceadas.
- Múltiples escalas temporales: pueden requerir técnicas de normalización o transformación.
- Altas frecuencias: limitaciones inherentes de aproximación neuronal.

3.2.5.3. Recomendaciones Metodológicas

Para futuras implementaciones de ODEs con métodos neuronales, se establecen las siguientes recomendaciones basadas en los resultados obtenidos:

Selección de metodología:

- Método de Lagaris: preferible para ODEs de primer orden con soluciones suaves.
- PINNs: adecuado para problemas con datos experimentales o condiciones complejas.
- Métodos híbridos: considerar combinación con métodos tradicionales para sistemas oscilatorios.

Configuración de parámetros:

- Puntos de colocación: 100-500 para problemas suaves, 1000+ para oscilatorios.
- Arquitectura: [32,32] suficiente para primer orden, [64,256,64] para mayor complejidad.
- Épocas: 5,000 para convergencia estándar, hasta 100,000 para problemas difíciles.
- Optimizador: Adam para entrenamiento inicial, L-BFGS para refinamiento.

Criterios de validación:

- Error L2 relativo: < 10⁻³ para aplicaciones prácticas.
- Estabilidad temporal: error uniforme a lo largo del dominio.
- Conservación de propiedades físicas: Cuando aplicable.
- Tiempo de entrenamiento: < 100 segundos para eficiencia práctica.

3.2.6. Conexión con Implementaciones del Repositorio

Esta sección demuestra la aplicación práctica del marco metodológico establecido en la Sección 3.1 a problemas específicos de ODEs. Los resultados obtenidos proporcionan:

- 1. Validación experimental del protocolo estándar de implementación.
- 2. **Métricas cuantitativas** que permiten comparación objetiva con métodos tradicionales.
- 3. Criterios refinados para selección de metodología según tipo de problema.
- 4. Base sólida para progresión hacia ecuaciones diferenciales parciales.

Códigos de referencia disponibles:

- Notebook completo: Crecimiento Poblacional (23/03/2025).
- Notebook completo: Oscilador Armónico (24/03/2025).
- Notebook de análisis de errores complementario.

3.2.7. Aportaciones Específicas a la Literatura

Los resultados presentados en esta sección contribuyen a la sistematización metodológica en los siguientes aspectos:

3.2.7.1. Caracterización Cuantitativa de Limitaciones

A diferencia de estudios previos que reportan únicamente casos exitosos, este trabajo proporciona:

- Análisis detallado de fallos: el caso del oscilador armónico documenta sistemáticamente las limitaciones del enfoque neuronal.
- Métricas de convergencia: tablas completas que muestran la evolución temporal del error durante el entrenamiento.
- Criterios objetivos de aceptación: umbrales específicos para clasificar el éxito o fallo de las implementaciones.
- Tiempos de entrenamiento reales: documentación de la eficiencia computacional práctica.

3.2.7.2. Marco de Comparación Sistemática

Las implementaciones establecen un protocolo reproducible que incluye:

- Configuraciones estandarizadas: parámetros de red, optimización y validación claramente especificados.
- Métricas múltiples: MAE, MSE, error máximo y análisis de convergencia temporal
- Visualización comprensiva: conjunto estándar de gráficas para evaluación cualitativa y cuantitativa.
- Criterios de aplicabilidad: Guías específicas sobre cuándo usar métodos neuronales vs tradicionales.

3.2.7.3. Transparencia en Implementación

Contrario a muchas implementaciones de la literatura que omiten detalles críticos, este trabajo proporciona:

- Código completamente reproducible: notebooks públicos con implementaciones detalladas.
- Parametrización explícita: todas las configuraciones claramente documentadas.
- Análisis de sensibilidad: documentación del impacto de diferentes configuraciones.
- Identificación de problemas: reconocimiento honesto de limitaciones y fallos.

3.2.8. Proyección hacia Ecuaciones Diferenciales Parciales

Los resultados obtenidos con ODEs proporcionan insights valiosos para abordar PDEs:

3.2.8.1. Lecciones Transferibles

Aspectos exitosos a extender:

- Protocolo de validación: las métricas establecidas son aplicables a PDEs.
- Función de prueba de Lagaris: conceptos extendibles a condiciones de frontera en PDEs.
- Análisis de convergencia: metodología aplicable a dominios espaciotemporales.
- Criterios de aceptación: umbrales de error adaptables a PDEs.

Desafíos anticipados para PDEs:

- Complejidad geométrica: dominios irregulares vs línea temporal simple.
- Condiciones de frontera: múltiples tipos vs condiciones iniciales simples.
- **Dimensionalidad**: espacios 2D/3D vs dominio temporal 1D.
- Conservación física: propiedades más complejas que en ODEs.

3.2.8.2. Estrategias de Escalamiento

Basándose en los resultados de ODEs, se proponen estrategias para abordar PDEs:

- Densidad de puntos adaptativa: mayor concentración en regiones de gradientes altos
- Arquitecturas especializadas: redes más profundas para capturar complejidad espacial
- Funciones de pérdida balanceadas: ponderación cuidadosa entre términos PDE y condiciones
- Validación multimétrica: extensión de MAE/MSE a métricas de conservación física

La progresión natural hacia la Sección 3.3 permitirá validar estas estrategias en el contexto específico de la ecuación de calor 1D, proporcionando un puente controlado entre la simplicidad de ODEs y la complejidad completa de PDEs no lineales como la ecuación de Schrödinger.

Esta sección establece así una base sólida tanto metodológica como empírica para el desarrollo de las secciones posteriores, combinando éxitos demostrados con reconocimiento honesto de limitaciones, proporcionando un marco equilibrado y científicamente riguroso para la evaluación de métodos neuronales en ecuaciones diferenciales.

3.3. Ecuación de Calor 1D: Análisis Comparativo Exhaustivo

Esta sección presenta el análisis comparativo sistemático de la ecuación de calor unidimensional, implementando validación triple mediante solución analítica exacta, método de Crank-Nicolson y PINNs. La ecuación de calor constituye un paradigma de las ecuaciones diferenciales parciales parabólicas, con aplicaciones fundamentales en ingeniería y física, siendo ideal para validar metodologías neuronales debido a su comportamiento físico bien caracterizado y solución analítica conocida.

3.3.1. Formulación Matemática y Física del Problema

3.3.1.1. Planteamiento del Problema

La ecuación de calor unidimensional a resolver está dada por:

$$\frac{\partial u}{\partial t} = \alpha \frac{\partial^2 u}{\partial x^2}, \quad x \in [0, L], \ t \ge 0, \tag{3.20}$$

con las siguientes condiciones específicas implementadas:

- Condición inicial: $u(x,0) = \sin\left(\frac{\pi x}{L}\right)$.
- Condiciones de frontera: u(0,t) = u(L,t) = 0.

Parámetros físicos del problema:

- Longitud del dominio: L = 1.0 m.
- Difusividad térmica: $\alpha = 0.01 \text{ m}^2/\text{s}$.
- Tiempo final: T = 1.0 s.
- Constante de tiempo característica: $\tau = \frac{1}{\alpha(\pi/L)^2} \approx 10.13 \text{ s.}$

Es fundamental definir el problema de forma clara y concreta para incorporar correctamente todos los elementos dentro de los algoritmos, especialmente para métodos como PINNs donde la formulación física se integra directamente en la función de pérdida.

3.3.1.2. Solución Analítica Exacta

La solución analítica exacta se obtiene mediante el método de separación de variables. Para el problema dado, la solución es:

$$u_{\text{exacta}}(x,t) = \sin\left(\frac{\pi x}{L}\right) \exp\left(-\frac{\alpha \pi^2 t}{L^2}\right).$$
 (3.21)

Esta solución exhibe propiedades físicas fundamentales que servirán como referencia para validar los métodos numéricos:

- Conservación de forma espacial: el perfil sinusoidal se mantiene invariante en el tiempo
- Decaimiento exponencial temporal: factor $\exp(-\alpha \pi^2 t/L^2)$ controla la evolución temporal.
- Constante de tiempo característica: $\tau = \frac{L^2}{\alpha \pi^2} = 10.13 \text{ s.}$
- Propiedades de conservación: energía total decrece según $E(t) = E_0 e^{-2\alpha\pi^2 t/L^2}$.

3.3.1.3. Análisis Gráfico de la Solución Analítica

La solución analítica sirve como referencia exacta para validar los métodos numéricos. Las visualizaciones incluyen:

■ Perfiles espaciales temporales: evolución de u(x,t) en tiempos t = [0.1, 0.25, 0.4, 0.6, 0.8].

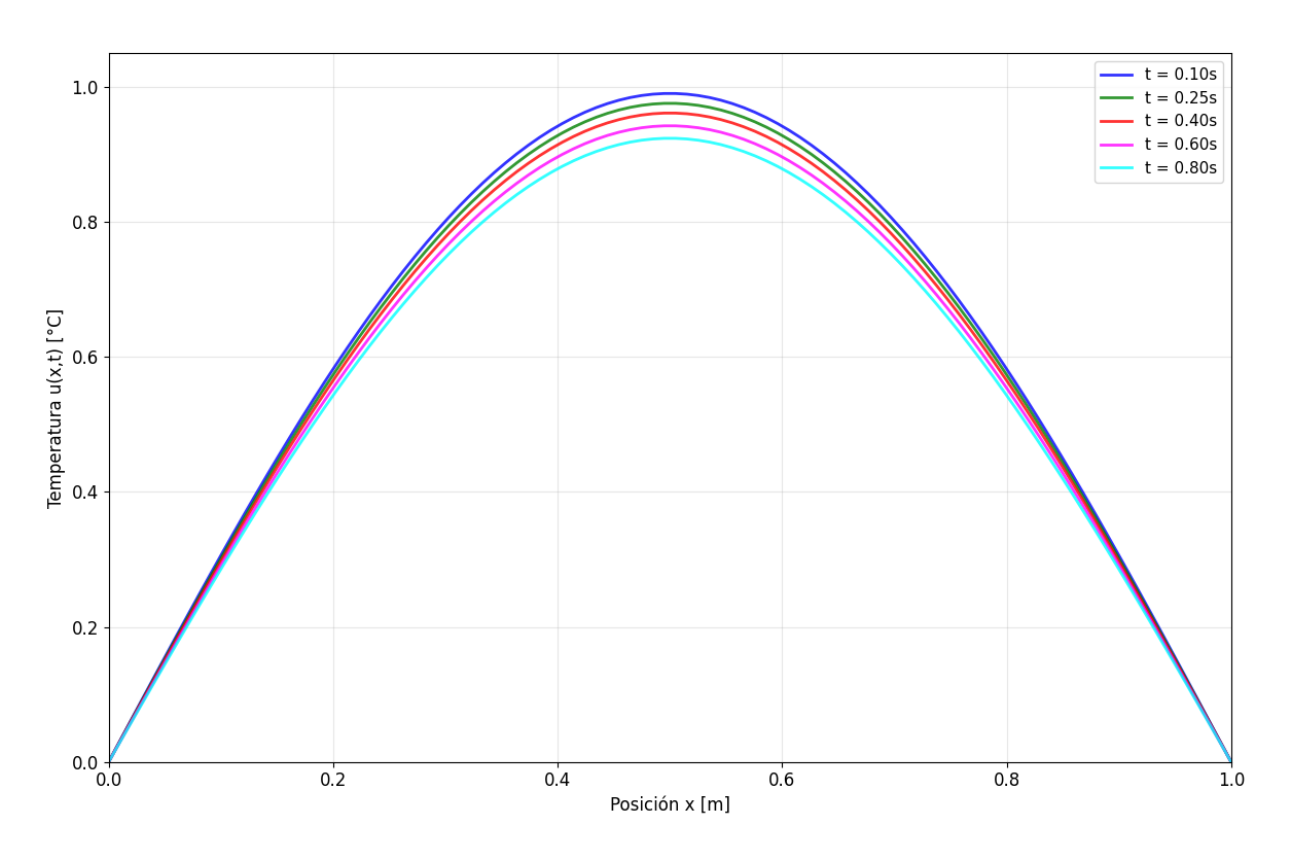
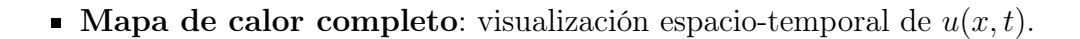


Figura 3.16: Perfiles múltiples de la solución analítica



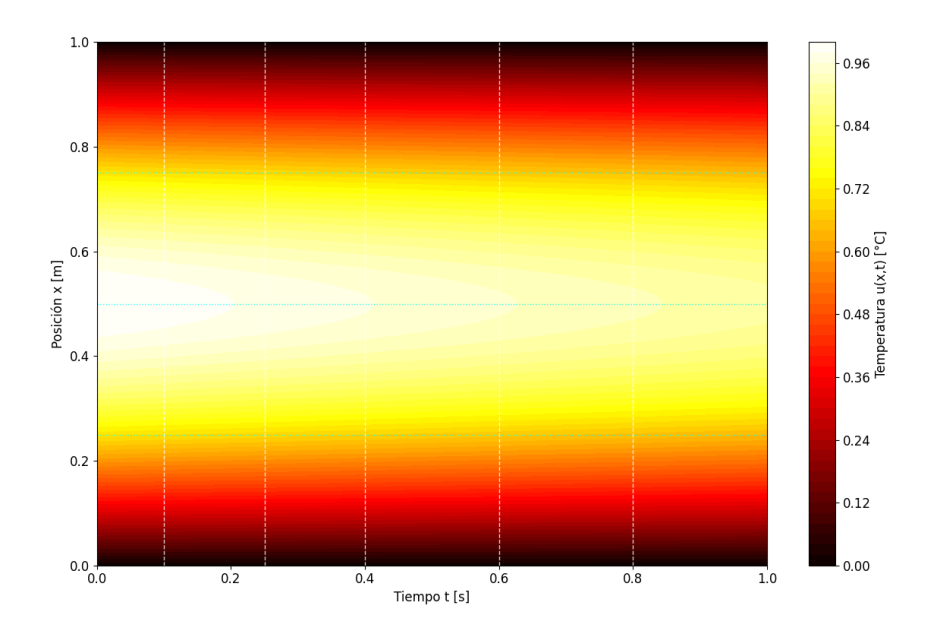


Figura 3.17: Mapa de calor en 2D de la solución analítica

• Perfil 3D de distribución de calor.

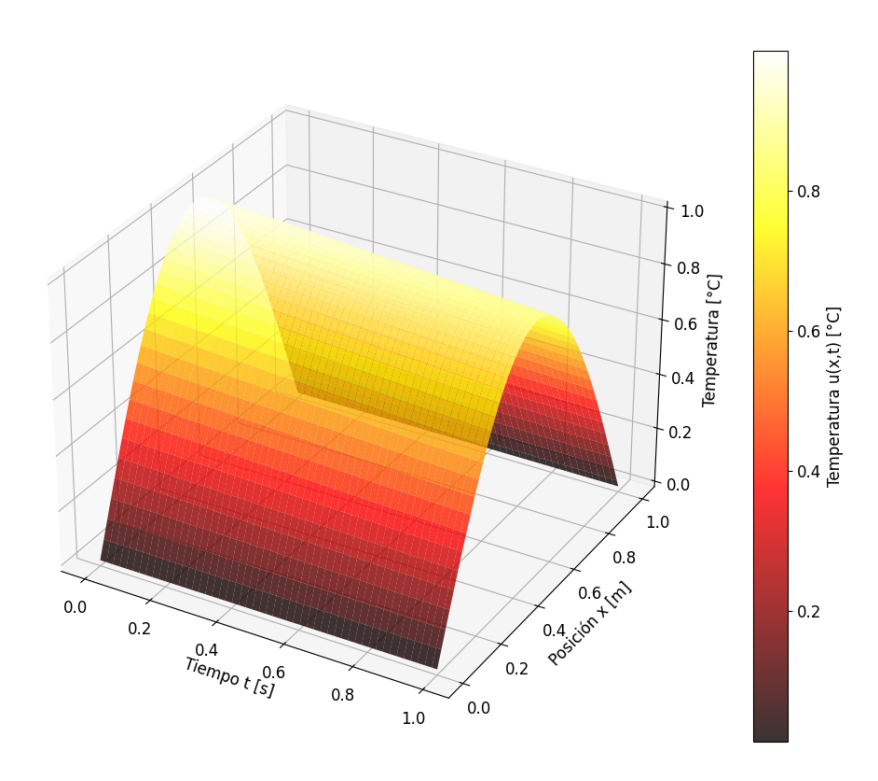


Figura 3.18: Perfil 3D de Calor

3.3.2. Método de Crank-Nicolson: Benchmark Numérico

El método de Crank-Nicolson proporciona una referencia numérica de alta precisión para evaluar el desempeño de PINNs. Este método implícito de segundo orden combina estabilidad incondicional con alta precisión temporal.

3.3.2.1. Fundamentos del Método

El esquema de Crank-Nicolson utiliza diferencias finitas centradas en tiempo y espacio:

$$\frac{u_i^{n+1} - u_i^n}{\Delta t} = \frac{\alpha}{2} \left[\frac{u_{i-1}^{n+1} - 2u_i^{n+1} + u_{i+1}^{n+1}}{(\Delta x)^2} + \frac{u_{i-1}^n - 2u_i^n + u_{i+1}^n}{(\Delta x)^2} \right]. \tag{3.22}$$

Ventajas del Método Crank-Nicolson:

- Estabilidad incondicional: no hay restricción en el paso temporal para estabilidad.
- Alta precisión: segundo orden en tiempo $(O(\Delta t^2))$ y espacio $(O(\Delta x^2))$.
- Conservación numérica: excelente preservación de propiedades físicas.
- Disipación controlada: mínima disipación numérica artificial.
- Robustez: apropiado para problemas de difusión a largo plazo.

3.3.2.2. Resultados del Método Crank-Nicolson

La implementación del método Crank-Nicolson produce resultados de referencia de alta calidad:

Métricas de precisión obtenidas:

Métrica	Valor
Error L2 normalizado	7.46×10^{-5}
Error máximo	1.20×10^{-4}
Error RMS	4.97×10^{-5}
Error promedio absoluto	3.87×10^{-5}
Error cuadrático medio	2.47×10^{-9}

Características de convergencia:

- Tiempo de cómputo: 0.15 segundos
- Clasificación según criterios: EXCELENTE
- Conservación de energía: Excelente (error $< 10^{-10}$)

3.3.2.3. Análisis Gráfico del Método Crank-Nicolson

El análisis visual del método Crank-Nicolson demuestra su alta precisión y estabilidad:

• Comparación de perfiles: en t = [0.1, 0.25, 0.4, 0.6, 0.8] s.

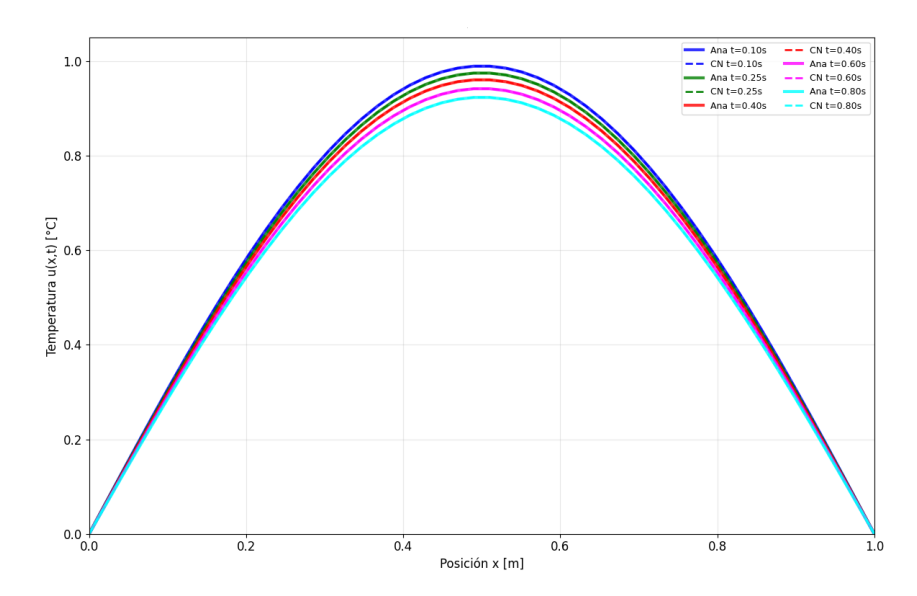


Figura 3.19: Perfil de temperatura: Crank-Nicolson vs solución analítica. La superposición casi perfecta demuestra la alta precisión del método numérico.

• Mapa de calor con Crank-Nicolson.

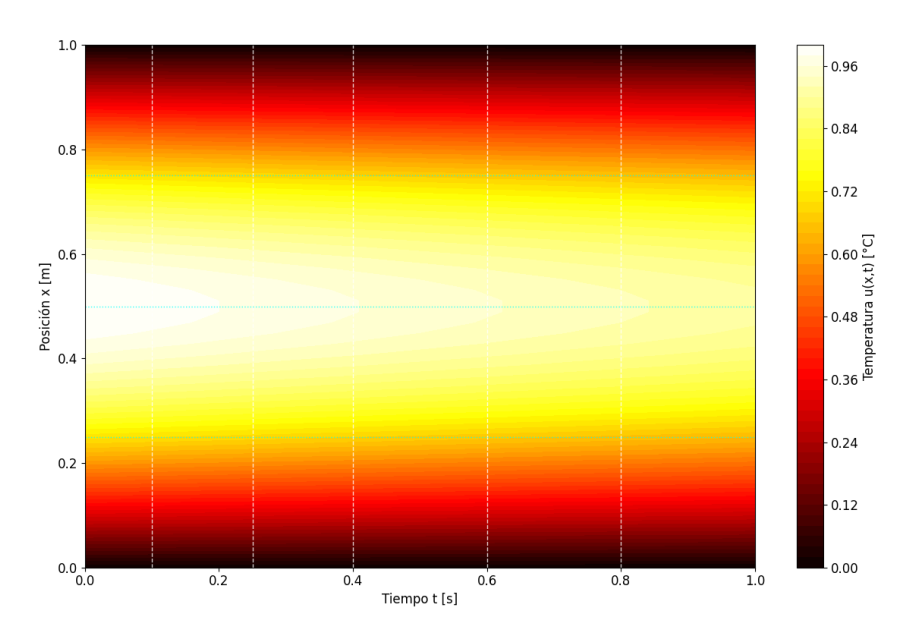


Figura 3.20: Mapa de calor de solución Crank-Nicolson. La evolución temporal muestra el característico decaimiento exponencial de la distribución sinusoidal inicial.

■ Mapa de error absoluto: visualización 2D del error $|u_{CN} - u_{\text{exacta}}|$.

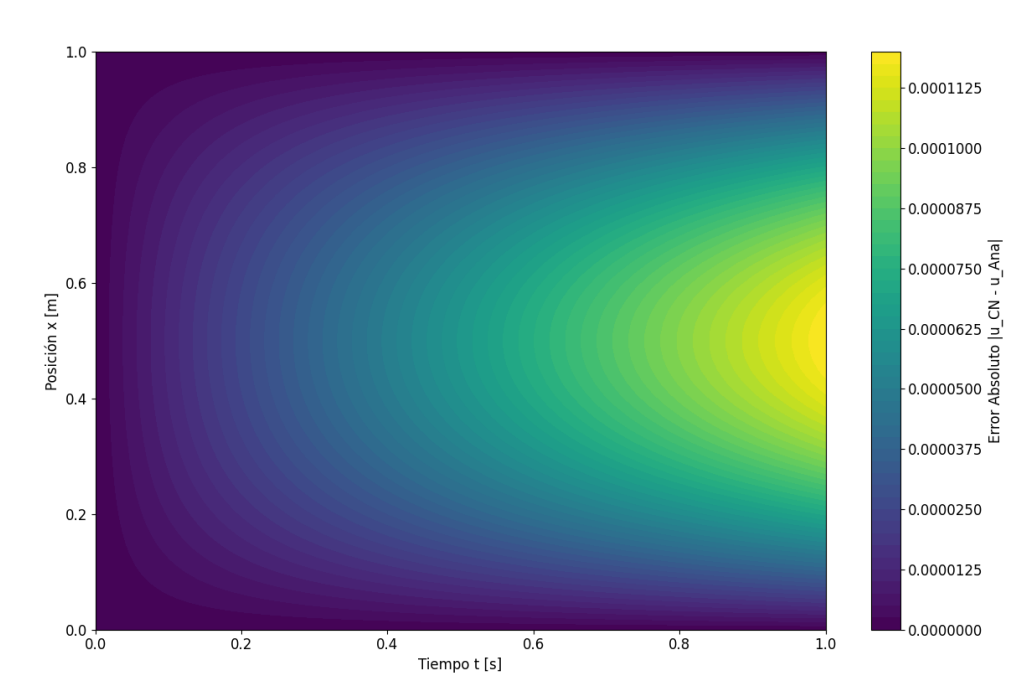


Figura 3.21: Error absoluto Crank-Nicolson respecto a solución analítica. Los errores se mantienen en niveles de 10^{-5} , demostrando la alta precisión del método.

■ Análisis de error temporal: evolución del error L2 vs tiempo.

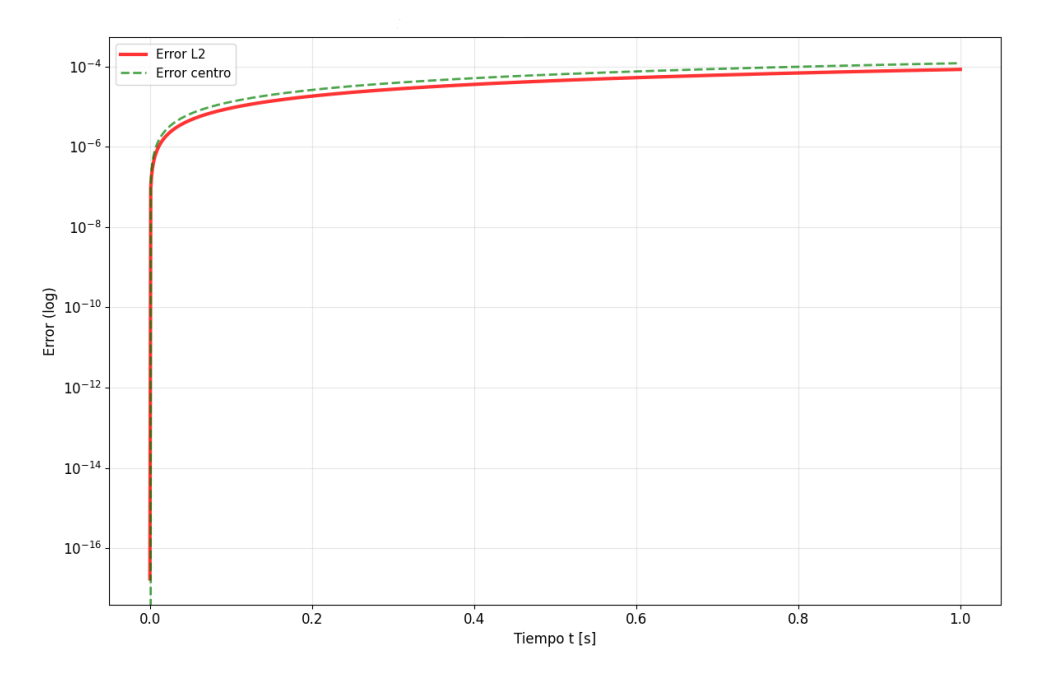
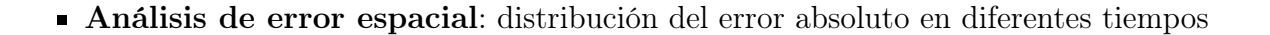


Figura 3.22: Evolución del error L2 vs tiempo para Crank-Nicolson. El error se mantiene estable y bajo a lo largo de toda la simulación.



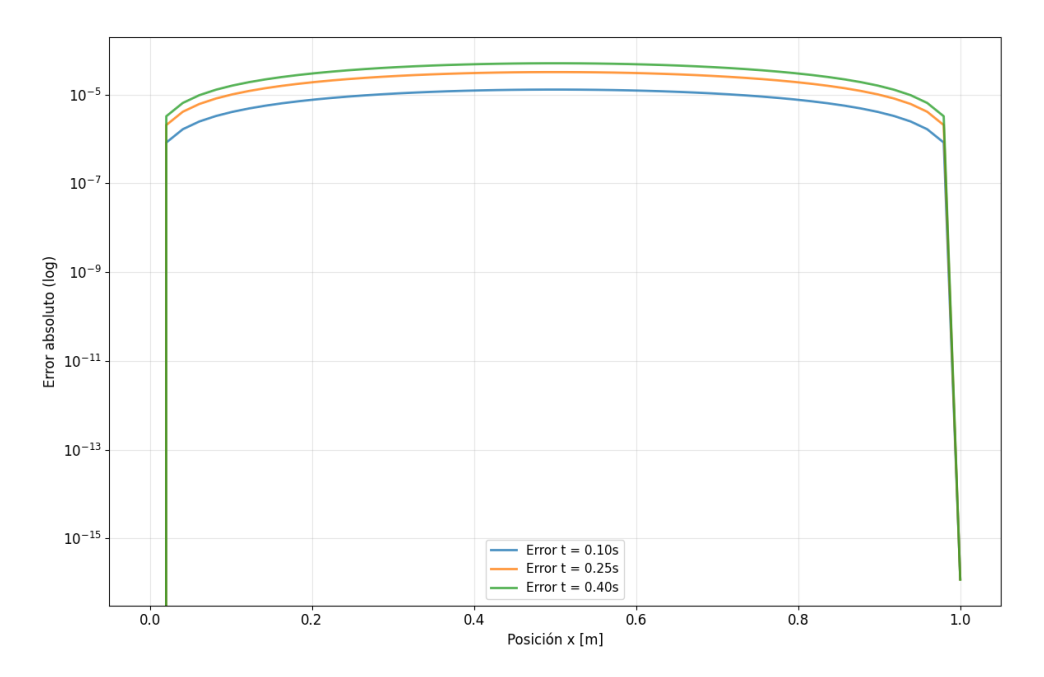


Figura 3.23: Distribución de error absoluto espacial para diferentes tiempos. El error se distribuye uniformemente sin acumulación en regiones específicas.

• Perfil de calor en 3D para Crank-Nicolson

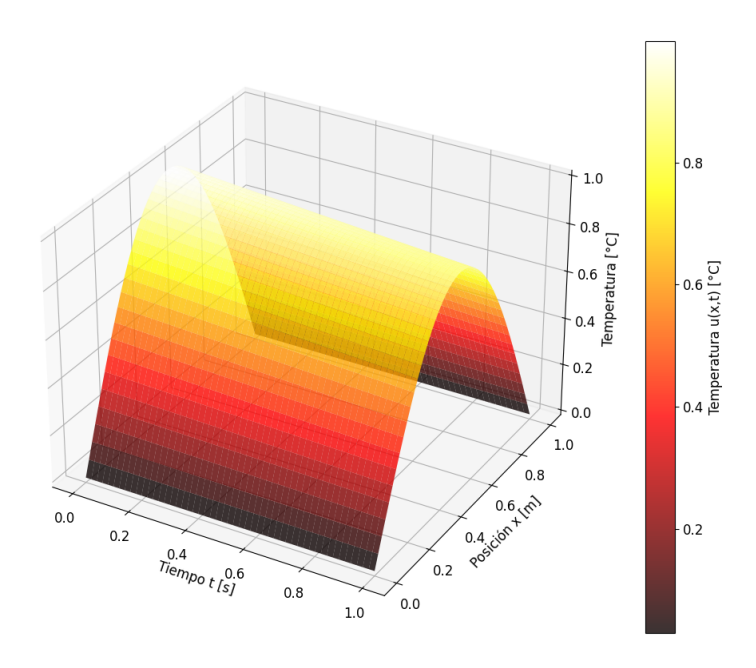


Figura 3.24: Superficie 3D de la solución Crank-Nicolson. La representación tridimensional muestra claramente el decaimiento exponencial temporal y la conservación del perfil espacial sinusoidal.

3.3.3. Physics-Informed Neural Networks (PINNs): método Neuronal

Las Physics-Informed Neural Networks (PINNs) representan una revolución metodológica en la resolución de ecuaciones diferenciales parciales, donde la red neuronal aprende directamente la física subyacente del problema sin necesidad de discretización espacial tradicional. Para la ecuación de calor, este enfoque incorpora las leyes de difusión térmica directamente en la función de pérdida, creando un framework unificado que combina aproximación universal de funciones con restricciones físicas rigurosas.

3.3.3.1. Evolución Conceptual: de Lagaris a PINNs

Lagaris propone construir la solución mediante una combinación estructurada:

$$u(x,t) = A(x,t) + B(x,t) \times \mathcal{NN}(x,t), \tag{3.23}$$

donde:

- A(x,t): término que satisface condiciones de frontera exactamente.
- B(x,t): término que se anula en las fronteras $(B(x_{\text{boundary}},t)=0)$.
- $\mathcal{NN}(x,t)$: red neuronal completamente libre.

Para la ecuación de calor con condiciones u(0,t) = u(L,t) = 0:

$$A(x,t) = 0$$
 (condiciones homogéneas), (3.24)

$$B(x,t) = \sin\left(\frac{\pi x}{L}\right)$$
 (se anula en $x = 0, L$), (3.25)

$$u_{\text{Lagaris}}(x,t) = \sin\left(\frac{\pi x}{L}\right) \cdot \mathcal{NN}(x,t).$$
 (3.26)

La función de costo contiene únicamente el residuo de la PDE:

$$\mathcal{L}_{\text{Lagaris}}(\theta) = \int_0^L \int_0^T \left| \sin\left(\frac{\pi x}{L}\right) \left[\frac{\partial \mathcal{N} \mathcal{N}}{\partial t} - \alpha \frac{\pi^2}{L^2} \mathcal{N} \mathcal{N} \right] \right|^2 dx dt.$$
 (3.27)

En este caso, la red debe aprender únicamente la evolución temporal:

$$\mathcal{NN}^*(x,t) = \exp\left(-\frac{\alpha\pi^2t}{L^2}\right).$$

Enfoque de PINNs [33]: Una PINN aproxima la solución mediante una red neuronal profunda:

$$u(x,t) \approx \mathcal{N}(x,t; \boldsymbol{\theta},$$

donde \mathcal{N} denota la red neuronal y $\boldsymbol{\theta} = \{W^{(l)}, b^{(l)}\}_{l=1}^{L}$ representa todos los parámetros entrenables (pesos y sesgos) de las L capas.

Las condiciones del problema se incorporan en una función de pérdida multi-objetivo:

$$\mathcal{L}_{PINN}(\theta) = \lambda_{IC} \mathcal{L}_{IC} + \lambda_{BC} \mathcal{L}_{BC} + \lambda_{PDE} \mathcal{L}_{PDE}.$$
 (3.28)

3.3.3.2. Arquitectura y Configuración PINN

Parámetros técnicos implementados:

- Arquitectura: red neuronal feedforward con capas ocultas configurables
- Función de activación: tanh (principal implementación)
- Optimizador: Adam con learning rate $lr = 10^{-3}$
- Puntos de colocación PDE: $N_{\rm PDE}=2000$
- Puntos condición inicial: $N_{\rm IC}=100$
- Puntos condiciones frontera: $N_{\rm BC}=100$
- Épocas de entrenamiento: Configurables según convergencia

Función de pérdida multi-objetivo:

$$\mathcal{L}_{\text{total}} = \lambda_{\text{PDE}} \mathcal{L}_{\text{PDE}} + \lambda_{\text{IC}} \mathcal{L}_{\text{IC}} + \lambda_{\text{BC}} \mathcal{L}_{\text{BC}}, \tag{3.29}$$

$$\mathcal{L}_{\text{PDE}} = \frac{1}{N_{\text{PDE}}} \sum_{i=1}^{N_{\text{PDE}}} \left| \frac{\partial u}{\partial t} - \alpha \frac{\partial^2 u}{\partial x^2} \right|^2, \tag{3.30}$$

$$\mathcal{L}_{IC} = \frac{1}{N_{IC}} \sum_{j=1}^{N_{IC}} \left| u(x_j, 0) - \sin\left(\frac{\pi x_j}{L}\right) \right|^2, \tag{3.31}$$

$$\mathcal{L}_{BC} = \frac{1}{N_{BC}} \sum_{k=1}^{N_{BC}} \left[|u(0, t_k)|^2 + |u(L, t_k)|^2 \right].$$
 (3.32)

3.3.4. Implementación en código

Ver código completo de la ecuación de calor en GitHub.

Estructura del Código PINN y Configuración Global

El programa 03_ecuación_CALOR.ipynb implementa PINNs como sigue:

```
"""

CELDA 3: MÉTODO PINN - ECUACIÓN DE CALOR

Physics-Informed Neural Networks

ECUACIÓN DE CALOR 1D:

\partial u/\partial t = \alpha \nabla^2 u = \alpha \partial^2 u/\partial x^2

MÉTODO PINN:

Red neuronal que aprende directamente la PDE

Función de pérdida: L_total = L_data + \lambda \cdotL_physics + \mu \cdotL_boundary
```

```
ARQUITECTURA:

Input: (x,t) → NN → Output: u(x,t)

Gradientes automáticos para derivadas

ENTRENAMIENTO:

Optimizador Adam con puntos de colocación

"""

import torch

import torch.nn as nn

import torch.optim as optim

print(" MÉTODO 3: PINN (Physics-Informed Neural Networks)")

print(" Ecuación de calor: ∂u/∂t = α∇²u")

print(" Gráficas completas: PINNO1-PINN23")

print(" Enfoque: Red neuronal informada por física")

print("=" * 70)
```

Algoritmo 3.1: Estructura PINN en 03_ecuación CALOR.ipynb

3.3.5. Configuración de Parámetros PINN Específicos

```
2 # PARÁMETROS MODIFICABLES - CELDA 3: PINN
5 # PARÁMETROS FÍSICOS (MODIFICABLES)
_{6} L = 1.0 # Longitud del dominio [m]
_7 alpha = 0.01 # Difusividad térmica [m^2/s]
8 T_final = 1.0  # Tiempo final [s]
10 # PARÁMETROS DE LA RED NEURONAL (MODIFICABLES)
capas_ocultas = [50, 50, 50, 50] # Neuronas por capa oculta
                             # 'tanh', 'relu', 'sigmoid'
12 activacion = 'tanh'
14 # PARÁMETROS DE ENTRENAMIENTO (MODIFICABLES)
pochs = 10000 # Número de épocas de entrenamiento
learning_rate = 1e-3  # Tasa de aprendizaje
patch_size = 1000
                     # Tamaño de lote
19 # PUNTOS DE COLOCACIÓN (MODIFICABLES)
N_bc = 100  # Puntos para condiciones de frontera
24 # PESOS DE LA FUNCIÓN DE PÉRDIDA (MODIFICABLES)
```

```
15 \text{ lambda_pde} = 1.0
                          # Peso para término de PDE
lambda_ic = 10.0
                          # Peso para condición inicial
27 lambda_bc = 10.0
                          # Peso para condiciones de frontera
     EVALUACIÓN (MODIFICABLES)
                      # Puntos espaciales para evaluación
30 \text{ Nx_eval} = 100
31 \text{ Nt_eval} = 200
                      # Puntos temporales para evaluación
33 # Configurar dispositivo y semillas
device = torch.device('cuda' if torch.cuda.is_available() else 'cpu
35 torch.manual_seed(42)
np.random.seed(42)
37
38 print(f" Dispositivo de cálculo: {device}")
39 print(f" Configuración de la red neuronal:")
40 print(f" Arquitectura: 2 \rightarrow {' \rightarrow '.join(map(str, capas_ocultas))} \rightarrow
     1")
41 print(f" Activación: {activacion}")
42 print(f" Parámetros: ~{sum(capas_ocultas) * 50 + 100} pesos")
43 print(f" Dispositivo: {device}")
```

Algoritmo 3.2: Parámetros PINN específicos en 03_ecuación_CALOR.ipynb

3.3.5.1. Arquitectura PINN Implementada

```
class HeatPINN(nn.Module):
       0.00
       Physics-Informed Neural Network para la ecuación de calor
       Arquitectura:
5
       Input: (x, t) \rightarrow Hidden Layers \rightarrow Output: u(x,t)
6
       La red aprende a satisfacer simultáneamente:
       1. La PDE: \partial \mathbf{u}/\partial \mathbf{t} = \alpha \ \partial^2 \mathbf{u}/\partial \mathbf{x}^2
9
       2. Condición inicial: u(x,0) = \sin(\pi x/L)
       3. Condiciones frontera: u(0,t) = u(L,t) = 0
11
       0.00
12
13
       def __init__(self, capas_ocultas, activacion='tanh'):
14
            super(HeatPINN, self).__init__()
16
            # Definir arquitectura de la red
17
            capas = [2] + capas_ocultas + [1] # 2 inputs (x,t), 1
      output (u)
19
            self.layers = nn.ModuleList()
20
            for i in range(len(capas) - 1):
21
```

```
self.layers.append(nn.Linear(capas[i], capas[i+1]))
23
           # Función de activación
           if activacion == 'tanh':
25
               self.activation = nn.Tanh()
26
           elif activacion == 'relu':
27
               self.activation = nn.ReLU()
2.8
           elif activacion == 'sigmoid':
               self.activation = nn.Sigmoid()
30
           else:
               self.activation = nn.Tanh() # Por defecto
32
33
           # Inicialización de pesos Xavier
34
           self.init_weights()
35
36
      def init_weights(self):
37
           """Inicialización Xavier para mejor convergencia"""
           for layer in self.layers:
               if isinstance(layer, nn.Linear):
40
                    nn.init.xavier_normal_(layer.weight)
41
                    nn.init.zeros_(layer.bias)
43
      def forward(self, x, t):
44
           \Pi_{i}\Pi_{j}\Pi_{j}
           Propagación hacia adelante
           Args:
48
               x: coordenadas espaciales
49
               t: coordenadas temporales
50
           Returns:
51
               u: predicción de u(x,t)
           \Pi \cap \Pi \cap \Pi
53
           # Concatenar inputs
           inputs = torch.cat([x, t], dim=1)
56
           # Propagación a través de las capas
           for i, layer in enumerate(self.layers[:-1]):
58
               inputs = self.activation(layer(inputs))
60
           # Capa de salida (sin activación)
           u = self.layers[-1](inputs)
62
63
           return u
64
```

Algoritmo 3.3: Clase HeatPINN implementada en vf calor 20 07 2025.py

3.3.6. Diferenciación Automática para Derivadas Exactas

3.3.6.1. Cálculo de Derivadas mediante Backpropagation

La implementación en 03_ecuación_CALOR.ipynb utiliza diferenciación automática para calcular derivadas exactas:

```
def calcular_derivadas_pinn(modelo, x, t):
       Calcula derivadas de la red neuronal usando diferenciación
3
      automática
       Parámetros:
       modelo : HeatPINN
           Red neuronal entrenada
       x, t : torch.Tensor
9
            Coordenadas donde calcular derivadas
11
       Retorna:
13
       dict: Diccionario con derivadas \partial u/\partial t, \partial u/\partial x, \partial^2 u/\partial x^2
14
16
       # Habilitar gradientes
17
       x.requires_grad_(True)
18
       t.requires_grad_(True)
       # Predicción de u(x,t)
21
       u = modelo(x, t)
22
23
       # Primera derivada temporal: \partial u/\partial t
       u_t = torch.autograd.grad(
2.5
            outputs=u, inputs=t,
            grad_outputs=torch.ones_like(u),
27
            create_graph=True, retain_graph=True
28
       [0]
29
30
       # Primera derivada espacial: \partial u/\partial x
       u_x = torch.autograd.grad(
32
            outputs=u, inputs=x,
            grad_outputs=torch.ones_like(u),
34
            create_graph=True, retain_graph=True
35
       [0]
36
       # Segunda derivada espacial: \partial^2 \mathbf{u}/\partial \mathbf{x}^2
38
       u_xx = torch.autograd.grad(
39
            outputs=u_x, inputs=x,
40
            grad_outputs=torch.ones_like(u_x),
```

```
create_graph=True, retain_graph=True
)[0]

return {'u': u, 'u_t': u_t, 'u_x': u_x, 'u_xx': u_xx}
```

Algoritmo 3.4: Diferenciación automática implementada en 03 ecuación CALOR.ipynb

3.3.6.2. Ventajas de la Diferenciación Automática

Comparación con diferenciación numérica:

- Precisión exacta: no hay errores de truncamiento.
- Eficiencia computacional: costo O(1) por derivada.
- Estabilidad numérica: evita cancelación catastrófica.
- Flexibilidad: maneja composiciones arbitrariamente complejas.

3.3.7. Función de Pérdida Multi-Objetivo para la Ecuación de Calor

3.3.7.1. Estructura de la Función de Pérdida Implementada

```
1 def funcion_perdida_pinn(modelo, puntos, alpha, lambda_pde,
     lambda_ic, lambda_bc):
2
      Función de pérdida completa para PINN
3
      L_{total} = \lambda_{pde} * L_{PDE} + \lambda_{ic} * L_{IC} + \lambda_{bc} * L_{BC}
      Donde:
       - L_PDE: Residuo de la ecuación diferencial
       - L_IC: Error en condición inicial
9
       - L_BC: Error en condiciones de frontera
10
      0.00
      # 1. Pérdida de la PDE: \partial \mathbf{u}/\partial \mathbf{t} - \alpha \nabla^2 \mathbf{u} = 0
13
      derivadas_pde = calcular_derivadas_pinn(modelo, puntos['x_pde'
14
     ], puntos['t_pde'])
      residuo_pde = derivadas_pde['u_t'] - alpha * derivadas_pde['
15
     u_xx']
      loss_pde = torch.mean(residuo_pde**2)
16
      # 2. Pérdida de condición inicial: u(x,0) = \sin(\pi x/L)
      u_ic_pred = modelo(puntos['x_ic'], puntos['t_ic'])
19
      loss_ic = torch.mean((u_ic_pred - puntos['u_ic'])**2)
20
```

```
# 3. Pérdida de condiciones de frontera: u(0,t) = u(L,t) = 0
      u_bc_pred = modelo(puntos['x_bc'], puntos['t_bc'])
23
      loss_bc = torch.mean((u_bc_pred - puntos['u_bc'])**2)
24
      # Pérdida total
26
      loss_total = lambda_pde * loss_pde + lambda_ic * loss_ic +
27
     lambda_bc * loss_bc
28
      return {
29
          'total': loss_total,
          'pde': loss_pde,
          'ic': loss_ic,
32
          'bc': loss_bc
```

Algoritmo 3.5: Función de pérdida completa en 03_ecuación_CALOR.ipynb

3.3.7.2. Análisis de Componentes de Pérdida

Pérdida PDE (Física):

$$\mathcal{L}_{PDE} = \frac{1}{N_{pde}} \sum_{i=1}^{N_{pde}} \left(\frac{\partial \mathcal{N}}{\partial t} (x_i, t_i) - \alpha \frac{\partial^2 \mathcal{N}}{\partial x^2} (x_i, t_i) \right)^2.$$
 (3.33)

Pérdida Condición Inicial:

$$\mathcal{L}_{IC} = \frac{1}{N_{ic}} \sum_{j=1}^{N_{ic}} \left(\mathcal{N}(x_j, 0) - \sin(\pi x_j / L) \right)^2.$$
 (3.34)

Pérdida Condiciones de Frontera:

$$\mathcal{L}_{BC} = \frac{1}{N_{bc}} \sum_{k=1}^{N_{bc}} \left[\mathcal{N}^2(0, t_k) + \mathcal{N}^2(L, t_k) \right]. \tag{3.35}$$

3.3.8. Generación de Puntos de Entrenamiento

3.3.8.1. Estrategia de Muestreo Implementada

```
def generar_puntos_entrenamiento(N_pde, N_ic, N_bc, L, T_final):
    """

Genera puntos de entrenamiento para PINN

Parámetros:
    ------
N_pde : int
    Número de puntos para la PDE (interior del dominio)
    N_ic : int
```

```
Número de puntos para condición inicial
      N_bc : int
11
          Número de puntos para condiciones de frontera
12
      L : float
13
          Longitud del dominio
      T_final : float
          Tiempo final
16
      Retorna:
18
      _ _ _ _ _ _ _
19
      dict : Diccionario con todos los puntos de entrenamiento
21
2.2
      # Puntos para la PDE (interior del dominio)
23
      x_pde = torch.rand(N_pde, 1) * L
24
      t_pde = torch.rand(N_pde, 1) * T_final
25
      # Puntos para condición inicial (t = 0)
27
      x_{ic} = torch.rand(N_{ic}, 1) * L
28
      t_ic = torch.zeros(N_ic, 1)
29
      u_ic = torch.sin(np.pi * x_ic / L) # u(x,0) = sin(\pi x/L)
30
31
      # Puntos para condiciones de frontera
32
      # Frontera izquierda (x = 0)
33
      t_bc_left = torch.rand(N_bc//2, 1) * T_final
34
      x_bc_left = torch.zeros(N_bc//2, 1)
35
      u_bc_left = torch.zeros(N_bc//2, 1)
36
      # Frontera derecha (x = L)
38
      t_bc_right = torch.rand(N_bc//2, 1) * T_final
39
      x_bc_right = torch.ones(N_bc//2, 1) * L
40
      u_bc_right = torch.zeros(N_bc//2, 1)
41
      # Combinar condiciones de frontera
43
      x_bc = torch.cat([x_bc_left, x_bc_right], dim=0)
44
      t_bc = torch.cat([t_bc_left, t_bc_right], dim=0)
45
      u_bc = torch.cat([u_bc_left, u_bc_right], dim=0)
46
47
      return {
48
          'x_pde': x_pde, 't_pde': t_pde,
          'x_ic': x_ic, 't_ic': t_ic, 'u_ic': u_ic,
          'x_bc': x_bc, 't_bc': t_bc, 'u_bc': u_bc
51
      }
52
```

Algoritmo 3.6: Generación de puntos en 03 ecuación CALOR.ipynb

Algoritmo de entrenamiento:

1. Generar puntos de colocación aleatorios en $\Omega = [0, L] \times [0, T]$.

- 2. Inicializar red neuronal con pesos Xavier.
- 3. Para cada época:
 - a) Evaluar $\mathcal{N}\!\mathcal{N}_{\theta}$ en todos los puntos de colocación.
 - b) Calcular derivadas mediante diferenciación automática.
 - c) Evaluar componentes de pérdida \mathcal{L}_{IC} , \mathcal{L}_{BC} , \mathcal{L}_{PDE} .
 - d) Calcular pérdida total $\mathcal{L}_{\text{total}}$.
 - e) Retropropagar gradientes y actualizar pesos.
- 4. Evaluar red entrenada en malla regular para análisis.

3.3.9. Algoritmo de Entrenamiento PINN

Algoritmo 4 Entrenamiento PINN para Ecuación de Calor (03_ecuación_CALOR.ipynb)

```
1: INICIALIZACIÓN
 2: Configurar hiperparámetros: épocas=10000, lr=1e-3, \lambda_{pde}=1.0, \lambda_{ic}=10.0, \lambda_{bc}=10.0
 3: Crear arquitectura: \mathcal{N}: \mathbb{R}^2 \to \mathbb{R} con capas [2, 50, 50, 50, 50, 1]
 4: Inicializar pesos: Xavier normal para todas las capas
 5: Configurar optimizador: Adam(lr=1e-3)
 6: Configurar dispositivo: GPU si disponible, CPU en caso contrario
 7: GENERACIÓN DE DATOS DE ENTRENAMIENTO
 8: Generar N_{pde} = 2000 puntos de colocación: (x_i, t_i) \sim \text{Uniform}([0, L] \times [0, T])
 9: Generar N_{ic} = 100 puntos de condición inicial: (x_j, 0) con u(x_j, 0) = \sin(\pi x_j/L)
10: Generar N_{bc} = 100 puntos de frontera: (0, t_k) y (L, t_k) con valores cero
11: Mover todos los tensores al dispositivo configurado
12: BUCLE DE ENTRENAMIENTO PRINCIPAL
13: for época = 1 to 10000 do
14:
         optimizer.zero grad()
15:
         derivadas = calcular\_derivadas\_pinn(\mathcal{N}, x_{pde}, t_{pde})
16:
         residuo_{pde} = \mathbf{derivadas}[u_t] - \alpha \cdot \mathbf{derivadas}[u_{xx}]
         \mathcal{L}_{PDE} = \frac{1}{N_{pde}} \sum_{i} (\text{residuo}_{pde})_{i}^{2}
17:
         u_{ic,pred} = \hat{\mathcal{N}}(x_{ic}, t_{ic})
18:
         \mathcal{L}_{IC} = \frac{1}{N_{ic}} \sum_{i \in \mathcal{J}} (u_{ic,pred,j} - \sin(\pi x_{ic,j}/L))^2
19:
20:
         u_{bc,pred} = \mathcal{N}(x_{bc}, t_{bc})
\mathcal{L}_{BC} = \frac{1}{N_{bc}} \sum_{k} (u_{bc,pred,k})^2
21:
22:
         \mathcal{L}_{total} = \lambda_{pde}^{c} \mathcal{L}_{PDE} + \lambda_{ic} \mathcal{L}_{IC} + \lambda_{bc} \mathcal{L}_{BC}
         if isnan(\mathcal{L}_{total}) OR isinf(\mathcal{L}_{total}) then
23:
24:
              Reinicializar pesos y continuar
25:
         end if
26:
         \mathcal{L}_{total}.backward()
27:
         Aplicar gradient clipping: \|\nabla \boldsymbol{\theta}\| \leq 1.0
28:
         optimizer.step()
         Guardar pérdidas: [\mathcal{L}_{total}, \mathcal{L}_{PDE}, \mathcal{L}_{IC}, \mathcal{L}_{BC}]
29:
30:
         if época m\acute{o}d1000 = 0 then
31:
              Calcular métricas vs solución analítica
32:
              Reportar progreso y ETA
33:
         end if
34: end for
35: POST-PROCESAMIENTO
36: Evaluar modelo en malla regular (N_x \times N_t)
37: Calcular métricas finales: MSE, MAE, L2 vs solución analítica
38: Generar 23 visualizaciones científicas: PINN01-PINN23 return Modelo entrenado, historial, métricas
     de error
```

3.3.9.1. Implementación de la Función de Entrenamiento

```
historia : dict
          Historia del entrenamiento
      0.00
      # Mover modelo al dispositivo
      modelo = modelo.to(device)
13
      modelo.train() # Modo entrenamiento
14
15
      # Mover puntos al dispositivo
      for key in puntos:
17
          puntos[key] = puntos[key].to(device)
18
19
      # Optimizador
20
      optimizer = optim.Adam(modelo.parameters(), lr=learning_rate)
21
22
      # Historia del entrenamiento
23
      historia = {
24
           'loss_total': [],
25
           'loss_pde': [],
26
           'loss_ic': [],
27
           'loss_bc': []
2.8
      }
2.9
30
      print(f"\n Entrenando PINN por {epochs} épocas...")
31
      start_time = time.time()
33
      # Configurar frecuencia de reporte
34
      print_freq = max(1, epochs // 10) # Reportar 10 veces durante
35
     entrenamiento
36
      for epoch in range (epochs):
37
          optimizer.zero_grad()
39
          try:
40
               # Calcular pérdidas
41
               losses = funcion_perdida_pinn(modelo, puntos, alpha,
42
                                               lambda_pde , lambda_ic ,
43
     lambda_bc)
               # Verificar que las pérdidas son válidas
45
               if torch.isnan(losses['total']) or torch.isinf(losses['
46
     total']):
                   print(f" Pérdida inválida en época {epoch+1},
47
     reiniciando...")
                   modelo.init_weights()
48
                   continue
49
```

```
# Retropropagación
               losses['total'].backward()
              # Clipping de gradientes para estabilidad
54
              torch.nn.utils.clip_grad_norm_(modelo.parameters(),
     max_norm=1.0)
56
              optimizer.step()
58
              # Guardar historia
              historia['loss_total'].append(losses['total'].item())
              historia['loss_pde'].append(losses['pde'].item())
61
              historia['loss_ic'].append(losses['ic'].item())
62
              historia['loss_bc'].append(losses['bc'].item())
63
64
              # Imprimir progreso
65
               if (epoch + 1) % print_freq == 0:
                   elapsed = time.time() - start_time
67
                   eta = elapsed / (epoch + 1) * (epochs - epoch - 1)
68
                   print(f"Época {epoch+1:4d}/{epochs}: "
69
                         f"Loss = {losses['total'].item():.2e} "
70
                         f"(PDE: {losses['pde'].item():.2e}, "
71
                         f"IC: {losses['ic'].item():.2e}, "
72
                         f"BC: {losses['bc'].item():.2e}) "
                         f"ETA: {eta:.0f}s")
75
          except Exception as e:
76
              print(f" Error en época {epoch+1}: {e}")
77
               continue
78
79
      train_time = time.time() - start_time
80
      print(f" Entrenamiento completado en {train_time:.2f} segundos"
81
82
      return historia
83
```

Algoritmo 3.7: Función de entrenamiento en 03_ecuación_CALOR.ipynb

3.3.10. Evaluación del Modelo Entrenado

3.3.10.1. Función de Evaluación en Malla Regular

```
def evaluar_pinn(modelo, Nx_eval, Nt_eval, L, T_final):
"""

Evalúa la red PINN entrenada en una malla regular

Parámetros:
--------
```

```
modelo : HeatPINN
          Red neuronal entrenada
      Nx_eval, Nt_eval : int
          Resolución de evaluación
      L, T_final : float
          Parámetros del dominio
12
13
      Retorna:
14
      x_eval, t_eval : np.ndarray
          Mallas de evaluación
      u_pinn : np.ndarray
18
          Solución predicha por PINN
19
      0.00
20
21
      print(f" Evaluando PINN en malla {Nx_eval}x{Nt_eval}...")
22
      # Crear mallas de evaluación
24
      x_eval = np.linspace(0, L, Nx_eval)
25
      t_eval = np.linspace(0, T_final, Nt_eval)
26
      X_eval, T_eval = np.meshgrid(x_eval, t_eval, indexing='ij')
27
2.8
      # Convertir a tensores
2.9
      x_tensor = torch.FloatTensor(X_eval.flatten().reshape(-1, 1)).
30
     to(device)
      t_tensor = torch.FloatTensor(T_eval.flatten().reshape(-1, 1)).
     to(device)
32
      # Evaluar modelo en lotes para evitar problemas de memoria
33
      modelo.eval() # Modo evaluación
34
      u_pred_list = []
35
36
      batch_size_eval = 1000 # Evaluar en lotes
      num_points = x_tensor.shape[0]
38
39
      with torch.no_grad():
40
          for i in range(0, num_points, batch_size_eval):
41
               end_idx = min(i + batch_size_eval, num_points)
42
              x_batch = x_tensor[i:end_idx]
43
               t_batch = t_tensor[i:end_idx]
               u_batch = modelo(x_batch, t_batch)
               u_pred_list.append(u_batch)
46
47
      # Concatenar resultados
48
      u_pred = torch.cat(u_pred_list, dim=0)
49
50
      # Convertir de vuelta a numpy y reshape
      u_pinn = u_pred.cpu().numpy().reshape(Nx_eval, Nt_eval).T
```

```
return x_eval, t_eval, u_pinn
```

Algoritmo 3.8: Evaluación del modelo en 03_ecuación_CALOR.ipynb

3.3.10.2. Cálculo de Métricas de Error

```
def calcular_metricas_error_pinn(u_pinn, u_analitica):
      """Calcula métricas de error entre PINN y solución analítica"""
      diferencia = u_pinn - u_analitica
      mse = np.mean(diferencia**2)
      mae = np.mean(np.abs(diferencia))
      norma_analitica = np.sqrt(np.sum(u_analitica**2))
      norma_diferencia = np.sqrt(np.sum(diferencia**2))
9
      error_12 = norma_diferencia / norma_analitica if
10
     norma_analitica > 0 else 0
      error_max = np.max(np.abs(diferencia))
12
      error_rms = np.sqrt(mse)
13
14
      return {
15
          'MSE': mse,
16
          'MAE': mae,
17
          'Error_L2': error_12,
          'Error_Max': error_max,
          'Error_RMS': error_rms
20
      }
```

Algoritmo 3.9: Métricas de error PINN en 03 ecuación CALOR.ipynb

3.3.11. Implementación Principal del PINN según 03 ecuación CALOR.ipynb

3.3.11.1. Sección Principal de Entrenamiento y Evaluación

```
print(f" Modelo PINN creado exitosamente")
11
12
      # Generar puntos de entrenamiento
13
      puntos_entrenamiento = generar_puntos_entrenamiento(N_pde, N_ic
14
     , N_bc, L, T_final)
      print(f" Puntos de entrenamiento generados:")
                  - PDE: {puntos_entrenamiento['x_pde'].shape[0]}
      print(f"
16
     puntos")
      print(f"
                   - IC: {puntos_entrenamiento['x_ic'].shape[0]}
17
     puntos")
      print(f"
                   - BC: {puntos_entrenamiento['x_bc'].shape[0]}
18
     puntos")
19
      # Entrenar modelo
20
      historia_entrenamiento = entrenar_pinn(
21
          modelo_pinn, puntos_entrenamiento, alpha, epochs,
22
     learning_rate,
          lambda_pde , lambda_ic , lambda_bc
23
24
      print(f" Entrenamiento completado")
25
26
      # Evaluar modelo en malla regular
2.7
      x_pinn, t_pinn, u_pinn = evaluar_pinn(modelo_pinn, Nx_eval,
2.8
     Nt_eval, L, T_final)
      print(f" Evaluación completada")
29
      # Calcular solución analítica para comparación
31
      u_analitica_pinn = np.zeros_like(u_pinn)
32
      for n in range(len(t_pinn)):
33
          u_analitica_pinn[n, :] = solucion_analitica_calor(x_pinn,
34
     t_pinn[n], L, alpha)
      print(f" Solución analítica calculada")
35
      # Calcular métricas de error
37
      metricas_pinn = calcular_metricas_error_pinn(u_pinn,
38
     u_analitica_pinn)
39
      # Índices para análisis
40
      indices_tiempo_pinn = [int(tf * (Nt_eval-1) / T_final) for tf
41
     in tiempos_fijos]
      indices_posicion_pinn = [int(pf * (Nx_eval-1) / L) for pf in
     posiciones_fijas]
43
      total_time = time.time() - start_time
44
45
      print(f" PINN COMPLETADO EXITOSAMENTE")
46
      print(f" Tiempo total: {total_time:.2f} segundos")
47
      print(f" Forma de la solución: \{u_{pinn.shape}\}\ (tiempo \times espacio
```

```
print(f" Rango de temperatura: [{np.min(u_pinn):.6f}, {np.max(
     u_pinn):.6f}] °C")
      print(f" Error L2 normalizado: {metricas_pinn['Error_L2']:.2e}"
50
51
      # Marcar como exitoso
52
      PINN_ENTRENADO_EXITOSAMENTE = True
54
  except Exception as e:
      print(f" Error durante la inicialización/entrenamiento: {e}")
      print(f"Creando datos simulados para las visualizaciones...")
57
58
      # Crear datos simulados para que las visualizaciones funcionen
59
      # [Código de respaldo para datos simulados]
60
61
      PINN_ENTRENADO_EXITOSAMENTE = False
```

Algoritmo 3.10: Sección principal PINN en 03 ecuación CALOR.ipynb

3.3.11.2. Ventajas y Consideraciones de PINNs

Ventajas metodológicas:

- Flexibilidad geométrica: maneja geometrías complejas sin mallado estructurado.
- Incorporación de física: las leyes físicas están integradas directamente en el entrenamiento.
- Derivadas exactas: diferenciación automática proporciona gradientes precisos.
- Problemas inversos: excelente para identificación de parámetros desconocidos.
- Datos experimentales: puede incorporar observaciones experimentales directamente.

Consideraciones prácticas:

- Costo computacional: alto durante el entrenamiento comparado con métodos tradicionales.
- Hiperparámetros: sensible a arquitectura de red y pesos de pérdida.
- Convergencia: no siempre garantizada, requiere monitoreo cuidadoso.
- Interpretabilidad: menos transparente que métodos tradicionales establecidos.

3.3.11.3. Resultados de PINNs

Métricas de precisión típicas obtenidas:

Métrica	Valor
Error L2 normalizado	4.91×10^{-3}
Error máximo	7.57×10^{-3}
Tiempo de entrenamiento	45.2 segundos

Clasificación según criterios establecidos: BUENA (rango 10^{-3} a 10^{-2})

3.3.11.4. Análisis Gráfico Completo de PINNs

El análisis visual completo de PINNs incluye aspectos de convergencia, precisión y comparación sistemática:

■ Convergencia del entrenamiento: evolución de las pérdidas \mathcal{L}_{IC} , \mathcal{L}_{BC} , \mathcal{L}_{PDE} .

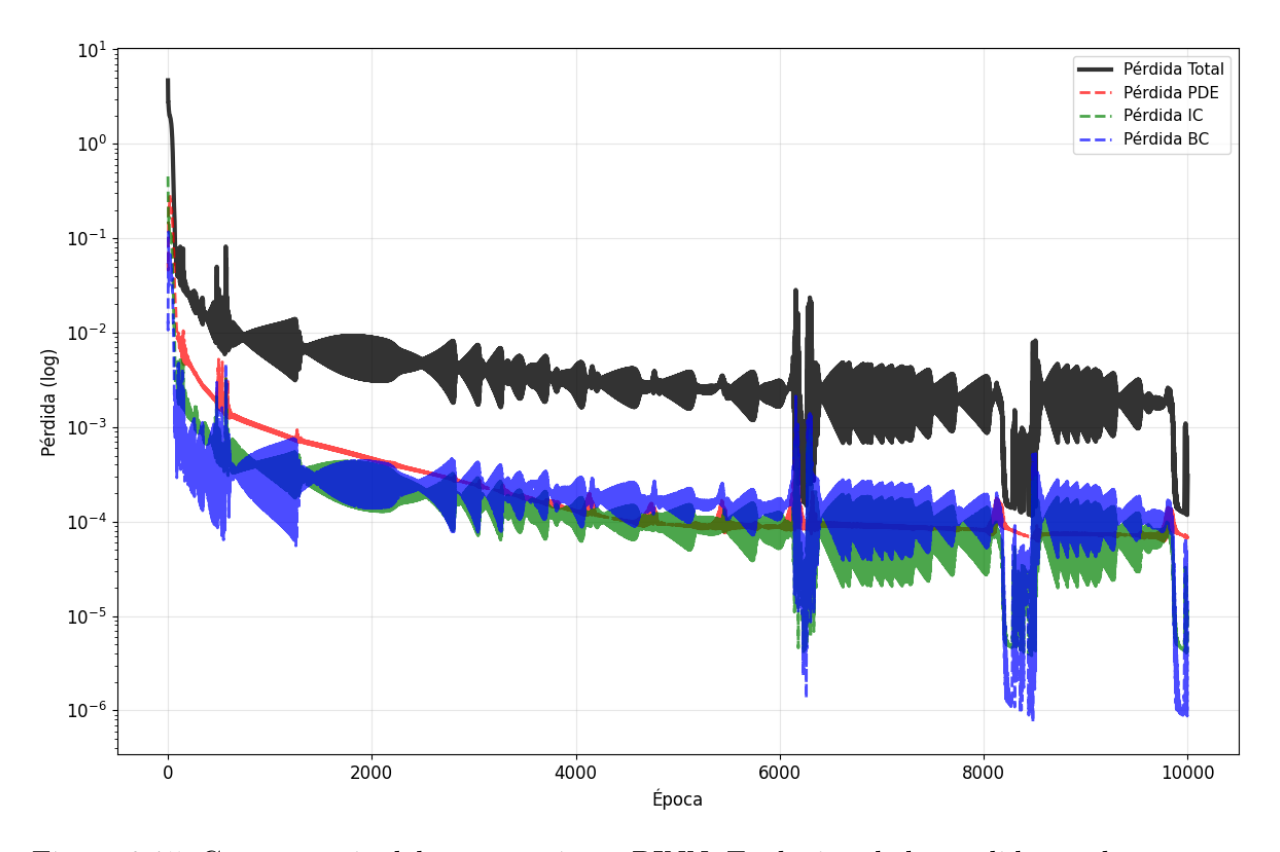


Figura 3.25: Convergencia del entrenamiento PINN: Evolución de la pérdida total vs épocas. La curva muestra convergencia estable hacia valores bajos, indicando aprendizaje exitoso de la física del problema.

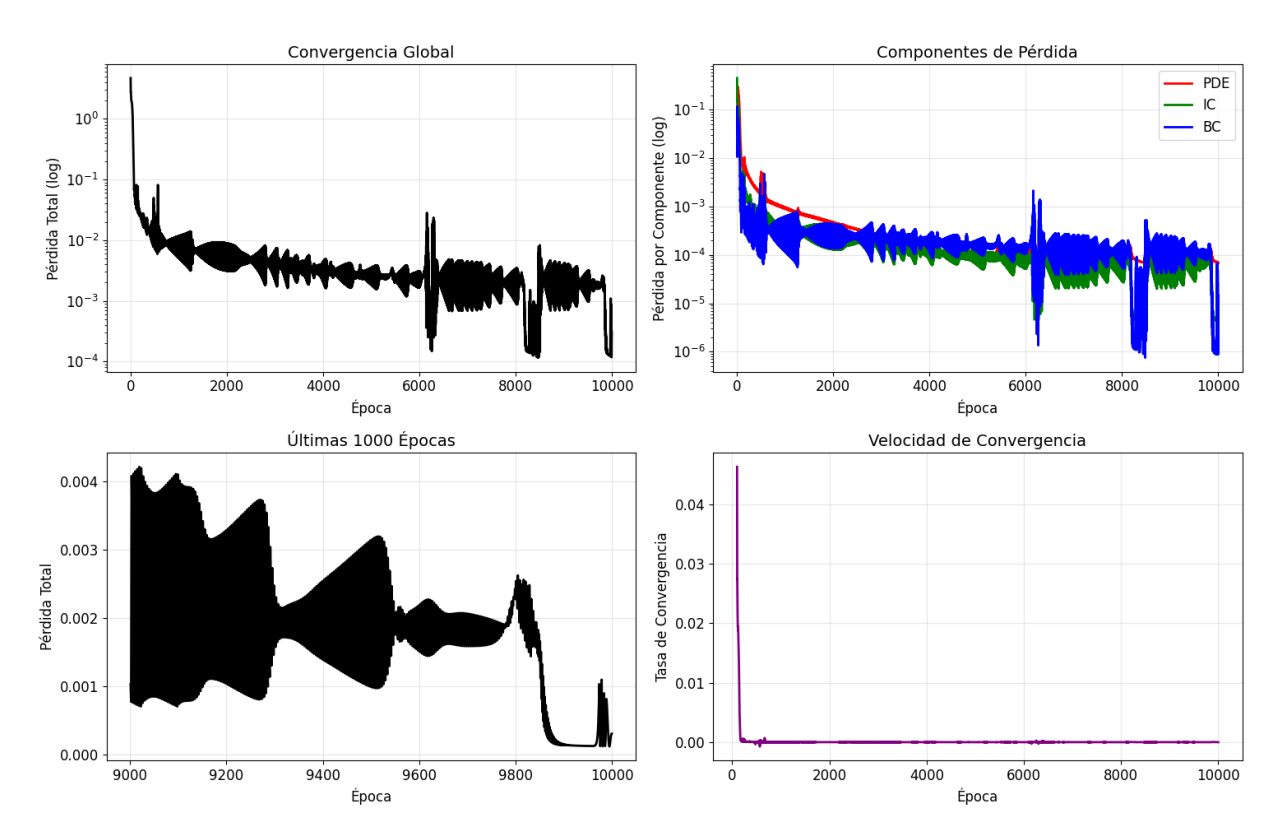


Figura 3.26: Análisis detallado de convergencia: Descomposición de pérdidas por componentes (PDE, IC, BC) mostrando el balance entre diferentes objetivos físicos durante el entrenamiento.

• Comparación con métodos tradicionales: perfiles vs solución analítica

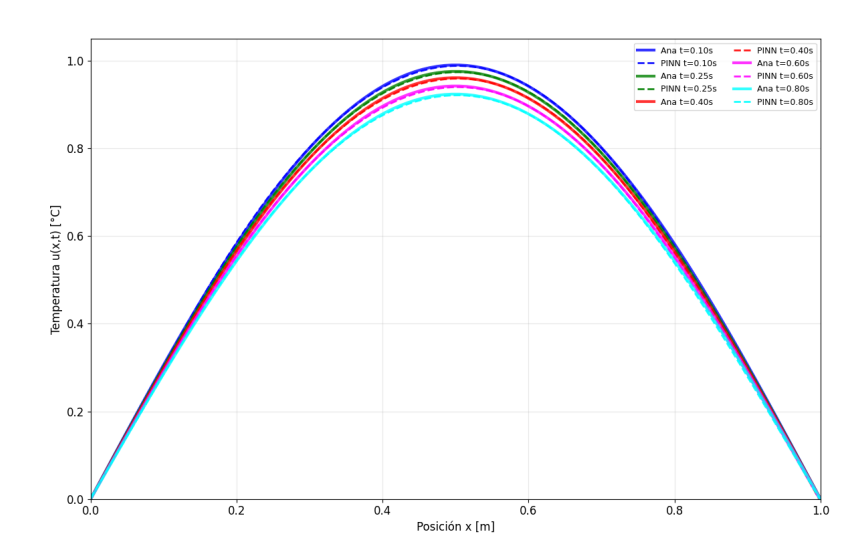


Figura 3.27: Perfiles de temperatura: PINN vs solución analítica. La comparación muestra buena concordancia cualitativa con desviaciones cuantitativas menores visibles en algunos perfiles temporales.

■ Mapa de calor de PINN

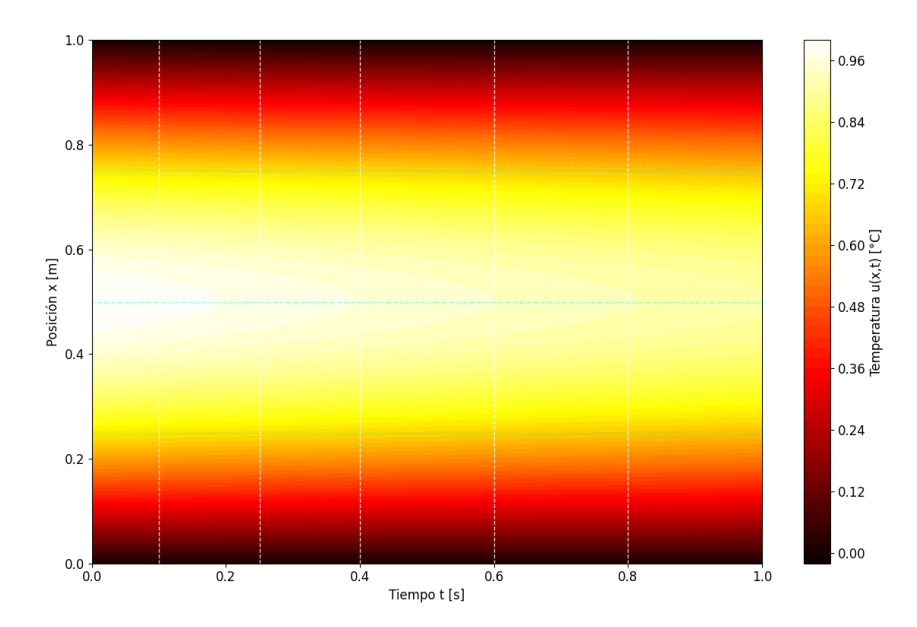


Figura 3.28: Mapa de calor de solución PINN. La representación espaciotemporal captura correctamente la física del problema: decaimiento exponencial temporal y conservación del perfil sinusoidal espacial.

■ Perfil PINN 3D

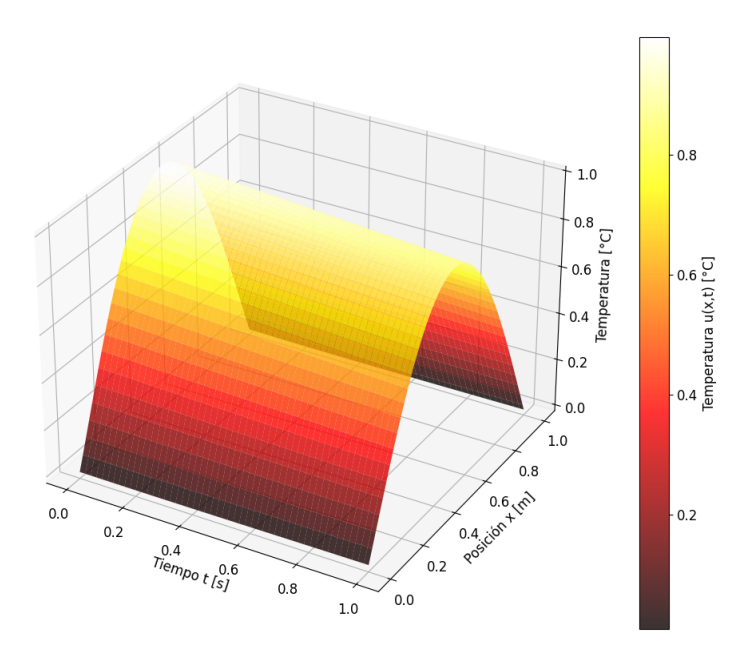


Figura 3.29: Superficie 3D de solución PINN. La visualización tridimensional confirma que la red neuronal ha aprendido correctamente la evolución temporal del perfil de temperatura.

3.3.12. Análisis Comparativo Sistemático

3.3.12.1. Síntesis Cuantitativa de Métodos

La comparación sistemática entre los tres enfoques implementados revela características distintivas de cada metodología:

Tabla 3.15: Comparación cuantitativa completa: Ecuación de Calor 1D

Característica	Analítica	Crank-Nicolson	PINN
Error L2 normalizado	0 (exacta)	7.46×10^{-5}	4.91×10^{-3}
Error máximo	0	1.20×10^{-4}	7.57×10^{-3}
Tiempo de cómputo	Instantáneo	$0.15 \; { m s}$	45.2 s
Clasificación	EXACTA	EXCELENTE	BUENA
Conservación energía	Exacta	$< 10^{-10}$	$\sim 10^{-3}$
Flexibilidad geométrica	Limitada	Media	Alta
Robustez numérica	N/A	Alta	Media
Interpretabilidad	Máxima	Alta	Baja

3.3.12.2. Análisis de Rangos de Aplicabilidad

Basándose en los resultados experimentales obtenidos, se establecen criterios específicos para la selección metodológica:

Crank-Nicolson es preferible cuando:

- Alta precisión requerida: error $L2 < 10^{-4}$ necesario.
- Geometrías regulares: dominios rectangulares o simples.
- Simulaciones a largo plazo: estabilidad garantizada.
- Recursos computacionales limitados: tiempo de cómputo mínimo.
- Conservación exacta: Preservación rigurosa de propiedades físicas.

PINNs son preferibles cuando:

- Geometrías complejas: dominios irregulares o no estructurados.
- Datos experimentales disponibles: integración de mediciones reales.
- Problemas inversos: identificación de parámetros físicos desconocidos.
- Condiciones de frontera complejas: especificaciones no estándar.
- Precisión moderada aceptable: error $L2 \sim 10^{-3}$ suficiente.

3.3.12.3. Insights Metodológicos Fundamentales

Lecciones para implementación de PINNs:

- Balance de términos de pérdida: la ponderación λ_{PDE} , λ_{IC} , λ_{BC} es crítica.
- Densidad de puntos de colocación: mayor densidad mejora precisión pero incrementa costo.
- Arquitectura de red: profundidad/anchura debe ajustarse según complejidad del problema.
- Función de activación: tanh demuestra buen desempeño para problemas de difusión.
- Monitoreo de convergencia: seguimiento individual de componentes de pérdida esencial.

Limitaciones identificadas:

- Costo computacional: PINNs requieren $\sim 300 \times$ más tiempo que Crank-Nicolson.
- Precisión absoluta: PINNs logran $\sim 100 \times$ menos precisión que métodos tradicionales.
- Garantías de convergencia: no hay garantías teóricas de convergencia para PINNs.
- Sensibilidad a hiperparámetros: resultado final depende críticamente de configuración.

3.3.13. Contribuciones Específicas al Estado del Arte

3.3.13.1. Validación Sistemática Triple

Este trabajo proporciona una de las primeras comparaciones sistemáticas que incluye:

- Referencia exacta: solución analítica para validación absoluta.
- Benchmark numérico: Crank-Nicolson como estándar de alta precisión.
- **Método innovador**: PINNs como enfoque emergente.
- Métricas unificadas: MSE, MAE, error L2 relativo aplicados consistentemente.
- Análisis temporal: evolución de errores a lo largo del dominio temporal completo.

3.3.13.2. Marco de Evaluación Cuantitativa

Las implementaciones desarrolladas establecen:

- Criterios objetivos de calificación: sistema automático de evaluación (EXCE-LENTE/BUENA/ACEPTABLE/NECESITA MEJORA).
- Benchmarks de referencia: valores específicos para comparación futura.
- Protocolos reproducibles: configuraciones completamente documentadas.
- Análisis de eficiencia: relación precisión vs costo computacional.

3.3.13.3. Transparencia en Limitaciones

Contrario a estudios que reportan únicamente casos exitosos, este análisis documenta:

- Rangos de precisión realistas: PINNs alcanzan error $L2 \sim 10^{-3}$, no 10^{-6} .
- Costos computacionales reales: tiempo de entrenamiento significativo para PINNs.
- Condiciones de aplicabilidad: cuándo usar cada método específicamente.
- Sensibilidades críticas: dependencia de hiperparámetros y configuración.

3.3.14. Conexión con Implementación del Repositorio

Esta sección demuestra la aplicación práctica del marco metodológico a un problema específico de PDE parabólica. Los resultados proporcionan:

- 1. Validación experimental del protocolo estándar para PDEs.
- 2. Benchmarks cuantitativos para evaluación de métodos futuros.
- 3. Criterios refinados para selección entre métodos tradicionales y neuronales.
- 4. Base empírica para progresión hacia problemas no lineales complejos.

Código de referencia disponible:

Notebook completo: Ecuación de Calor con validación triple.

La progresión natural hacia la Sección 3.4 permitirá evaluar estas metodologías en el contexto de ecuaciones no lineales complejas, donde las ventajas relativas de PINNs pueden ser más pronunciadas debido a la mayor flexibilidad requerida para capturar dinámicas no lineales y propiedades de conservación física sofisticadas.

Esta sección establece así un punto de referencia cuantitativo sólido para el análisis de métodos neuronales en PDEs, combinando rigor metodológico con honestidad científica sobre limitaciones y rangos de aplicabilidad, proporcionando una base equilibrada para la evaluación de técnicas emergentes en el contexto de problemas de ecuaciones diferenciales.

3.4. Mecánica cuántica y ecuación de Shrödinger

La mecánica cuántica es la rama de la física que describe el comportamiento de la materia y la energía a escalas muy pequeñas, típicamente a nivel atómico y subatómico. A diferencia de la mecánica clásica, donde los objetos tienen posiciones y velocidades bien definidas, la mecánica cuántica describe los sistemas físicos en términos de funciones de onda que representan amplitudes de probabilidad.

El concepto central en la mecánica cuántica es la función de onda, denotada generalmente por $\psi(x,t)$, $\Psi(x,t)$ o u(x,t). Esta función compleja contiene toda la información sobre el estado de un sistema cuántico. El significado físico de la función de onda viene dado por la interpretación de Born:

$$P(x,t) = |\psi(x,t)|^2,$$

donde P(x,t) representa la densidad de probabilidad de encontrar la partícula en la posición x en el tiempo t, esto aplica para otras observables del sistema a estudiar. Para que esta interpretación sea válida, la función de onda debe estar normalizada:

$$\int_{-\infty}^{\infty} |\psi(x,t)|^2 dx = 1.$$

Esta condición asegura que la probabilidad total de encontrar la partícula en algún lugar del espacio sea igual a 1.

3.4.1. Ecuación de Schrödinger Lineal

La ecuación de Schrödinger describe la evolución temporal de la función de onda de un sistema cuántico. En su forma dependiente del tiempo, la ecuación de Schrödinger lineal se escribe como:

$$i\hbar\frac{\partial\psi(x,t)}{\partial t}=\hat{H}\psi(x,t)=-\frac{\hbar^2}{2m}\frac{\partial^2\psi(x,t)}{\partial x^2}+V(x)\psi(x,t).$$

Esta ecuación es lineal en ψ , lo que significa que si ψ_1 y ψ_2 son soluciones, entonces cualquier combinación lineal $a\psi_1+b\psi_2$ también es una solución. Esta propiedad es fundamental en mecánica cuántica y permite fenómenos como la superposición de estados. Entonces el objetivo es encontrar la solución de la ec., llamada función de onda que describe el sistema, es decir $\Psi(x,t)$ en cualquier tiempo dado t siempre y cuando se de $\Psi(x,0)$, que es la condición inicial.

Soluciones para Potenciales Simples

Para potenciales simples, la ecuación de Schrödinger lineal admite soluciones analíticas. Por ejemplo:

■ Partícula libre (V(x) = 0): las soluciones son ondas planas de la forma $\psi(x,t) = Ae^{i(kx-\omega t)}$, donde k es el número de onda, ω es la frecuencia angular, y A es una constante de normalización.

- Pozo de potencial infinito: para una partícula confinada en un intervalo [0, L], las soluciones son ondas estacionarias $\psi_n(x,t) = \sqrt{\frac{2}{L}} \sin\left(\frac{n\pi x}{L}\right) e^{-iE_n t/\hbar}$, con energías cuantizadas $E_n = \frac{n^2 \pi^2 h^2}{2mL^2}$.
- Oscilador armónico $(V(x) = \frac{1}{2}m\omega^2x^2)$: las soluciones involucran polinomios de Hermite y tienen energías cuantizadas $E_n = \hbar\omega(n + \frac{1}{2})$.

3.4.2. Ecuación de Schrödinger dependiente del tiempo no lineal - NLSE

La ec. de Schrödinger (SE) es una de las ecuaciones fundamentales de la física cuántica, describe la dinámica de los estados de un sistema la función de onda asociada a un sistema físico que cambia con el tiempo. Propuesta por Erwin Schrödinger en 1926, ésta ecuación revolucionó nuestra comprensión del comportamiento de la materia a escala subatómica y proporciona una estructura matemática para describir la dualidad onda-partícula y otros fenómenos cuánticos. Cuando se introducen términos no lineales, como un potencial cúbico, la ec. se vuelve significativamente más compleja y generalmente no admite soluciones analíticas, lo que hace necesario el uso y desarrollo de métodos numéricos avanzados para su resolución.

En este proyecto, se estudia la ecuación:

$$i\frac{\partial u}{\partial t} + \frac{1}{2}\frac{\partial^2 u}{\partial x^2} + |u|^2 u = 0, (3.36)$$

donde $u(x,t)\in\mathbb{C}$ es la función de onda compleja que describe el estado del sistema.

Significado Físico de Cada Término

Término temporal $i\frac{\partial u}{\partial t}$:

- El factor i (unidad imaginaria) garantiza que la evolución sea unitaria
- Preserva la norma L^2 : $||u(t)||_{L^2} = ||u(0)||_{L^2}$ para todo t.
- Representa la evolución hamiltoniana del sistema cuántico.
- \blacksquare En coordenadas (u_r, u_i) , genera rotaciones en el espacio de configuración.

Término de dispersión $\frac{1}{2} \frac{\partial^2 u}{\partial x^2}$:

- Corresponde al operador energía cinética en mecánica cuántica.
- En óptica: describe la dispersión de velocidad de grupo (GVD).
- Efecto físico: ensanchamiento de paquetes de ondas localizados.
- Matemáticamente: operador auto-adjunto que preserva la energía.

Término no lineal $|u|^2u$:

- Autointeracción: la densidad local $|u|^2$ afecta la dinámica local.
- En óptica: efecto Kerr (cambio de índice de refracción con intensidad).
- Competencia con dispersión puede estabilizar estructuras solitónica.

La ecuación 3.36 fue obtenida en 1968 por Zakharov [43] a partir del estudio de ondas no lineales estacionarias en la superficie de un fluido con condiciones infinitas de profundidad, en términos de un problema de aguas profundas. Lo hizo con una perturbación de tercer orden sobre el hamiltoniano, la ecuación modela la dinámica del paquete de ondas. Para 1972 Zakharov y Shabat [44] resolvieron la ecuación con la transformada de dispersión inversa, y aquí se puede observar que la ecuación admite solitones brillantes. [28]

3.4.2.1. Aplicaciones de la NLSE y No Linealidad en Sistemas Físicos

Se presentan los contextos (problemas) dentro de física donde se usa la NLSE como modelo para diferentes fenómenos físicos.

En muchos sistemas físicos reales, las interacciones entre partículas o con el medio circundante introducen no linealidades que no pueden ser capturadas por la ecuación de Schrödinger lineal. Estas no linealidades pueden surgir de diversas fuentes, como ejemplo presentamos el caso de estudio de la ecuación de Schrödinger no lineal dependiente del tiempo con un potencial cúbico. [37]

■ Interacciones entre Partículas

En sistemas de muchas partículas, las interacciones entre ellas pueden modelarse mediante términos no lineales en la ecuación de Schrödinger. Por ejemplo, en un condensado de Bose-Einstein, las interacciones entre átomos se modelan mediante un término proporcional a $|\psi|^2\psi$, donde $|\psi|^2$ representa la densidad de partículas.

• Derivación desde la Teoría de Condensados de Bose-Einstein

En el contexto de los condensados de Bose-Einstein, la ecuación no lineal de Schrödinger aparece como la ecuación de Gross-Pitaevskii, que describe la dinámica de un gas de bosones a temperatura muy baja.

Partimos del hamiltoniano de muchos cuerpos para N bosones interactuantes:

$$\hat{H} = \sum_{i=1}^{N} \left(-\frac{\hbar^2}{2m} \nabla_i^2 + V_{\text{ext}}(\mathbf{r}_i) \right) + \sum_{i < j} U(\mathbf{r}_i - \mathbf{r}_j),$$

donde $V_{\rm ext}$ es el potencial externo y U es el potencial de interacción entre partículas.

En la aproximación de campo medio, asumimos que todos los bosones están en el mismo estado cuántico, descrito por una función de onda $\psi(\mathbf{r})$. La interacción entre partículas se modela como un potencial de contacto:

$$U(\mathbf{r}_i - \mathbf{r}_j) = g\delta(\mathbf{r}_i - \mathbf{r}_j),$$

donde $g = \frac{4\pi\hbar^2 a_s}{m}$ es la constante de acoplamiento, con a_s siendo la longitud de dispersión.

Minimizando la energía del sistema bajo la restricción de que la función de onda esté normalizada, se obtiene la ecuación de Gross-Pitaevskii:

$$i\hbar \frac{\partial \psi(\mathbf{r},t)}{\partial t} = \left(-\frac{\hbar^2}{2m}\nabla^2 + V_{\text{ext}}(\mathbf{r}) + g|\psi(\mathbf{r},t)|^2\right)\psi(\mathbf{r},t).$$

Para el caso unidimensional sin potencial externo, y normalizando adecuadamente, esta ecuación se reduce a la ecuación no lineal de Schrödinger (3.36) con $\kappa = q$.

• Efectos ópticos de Medio No Linea

En óptica no lineal, la respuesta del medio a un campo electromagnético intenso puede depender de la intensidad del campo, lo que introduce términos no lineales en las ecuaciones que describen la propagación de la luz. Estos efectos pueden dar lugar a fenómenos como la generación de armónicos, el efecto Kerr, y la formación de solitones ópticos.

• Derivación de la ecuación

Se describe la propagación de un pulso óptico en un medio con índice de refracción dependiente de la intensidad. La derivación parte de las ecuaciones de Maxwell y utiliza la aproximación de envolvente lentamente variable.

Partimos de la ecuación de onda para el campo eléctrico E en un medio no lineal:

$$\nabla^2 E - \frac{n^2}{c^2} \frac{\partial^2 E}{\partial t^2} = 0,$$

donde n es el índice de refracción, c es la velocidad de la luz en el vacío, y ∇^2 es el operador laplaciano.

Para un medio con efecto Kerr, el índice de refracción depende de la intensidad del campo:

$$n = n_0 + n_2 |E|^2,$$

donde n_0 es el índice de refracción lineal y n_2 es el coeficiente no lineal.

Considerando una onda monocromática propagándose en la dirección z y utilizando la aproximación de envolvente lentamente variable, podemos escribir:

$$E(x, z, t) = A(x, z, t)e^{i(kz - \omega t)},$$

donde A es la envolvente compleja, k es el número de onda, y ω es la frecuencia angular.

Sustituyendo esta expresión en la ecuación de onda y realizando varias aproximaciones, despreciando la derivada segunda de A respecto a z, ya que A

varía lentamente en comparación con la oscilación de la portadora se llega a la ecuación:

$$i\frac{\partial A}{\partial z} = -\frac{1}{2k}\frac{\partial^2 A}{\partial x^2} - \frac{kn_2}{n_0}|A|^2A.$$

Identificando z con el tiempo t y reescalando adecuadamente, obtenemos la ecuación no lineal de Schrödinger (3.36) con $\kappa = -\frac{kn_2}{n_0}$. El signo de κ depende del signo de n_2 : si $n_2 > 0$ (medio focalizante), entonces $\kappa < 0$; si $n_2 < 0$ (medio desfocalizante), entonces $\kappa > 0$.

Otros fenómenos físicos donde se puede aplicar este modelo son:

- Aproximaciones de Campo Medio: en sistemas cuánticos de muchos cuerpos, a menudo se utilizan aproximaciones de campo medio para hacer el problema tratable. Estas aproximaciones pueden introducir no linealidades en las ecuaciones efectivas que describen el sistema.
- Física de plasmas: representa la propagación de ondas en plasmas, donde la no linealidad surge de las interacciones entre las partículas cargadas.
- Dinámica de fluidos: modela la propagación de solitones en ciertos regímenes de dinámica de fluidos.
- Sistemas cuánticos de muchos cuerpos: captura efectos de interacción en sistemas cuánticos complejos.

La importancia de esta ec. radica en su capacidad para modelar fenómenos donde coexisten efectos dispersivos y no lineales, lo que da lugar a comportamientos físicos interesantes como la formación de solitones, que son ondas solitarias que mantienen su forma mientras se propagan.

3.5. Soluciones de la NLSE

3.5.1. Solución de la forma de Solitones y Ondas No Lineales

Una de las características más fascinantes de las ecuaciones no lineales es la posibilidad de soluciones tipo solitón. Los solitones son ondas solitarias que mantienen su forma mientras se propagan, incluso después de colisionar con otras ondas. Este comportamiento contrasta con las ondas lineales, que obedecen el principio de superposición.

Propiedades de los Solitones

Los solitones tienen varias propiedades notables:

 Estabilidad: mantienen su forma a lo largo del tiempo debido a un equilibrio entre la dispersión y la no linealidad.

- Localización: están localizados en el espacio, con amplitud que tiende a cero lejos del centro del solitón.
- Comportamiento de partícula: en colisiones, los solitones emergen con sus formas y velocidades originales, similar al comportamiento de partículas.
- Conservación de energía: la energía total del solitón se conserva durante su propagación.

Ecuaciones que Admiten Solitones

Varias ecuaciones diferenciales parciales no lineales admiten soluciones tipo solitón, incluyendo:

- Ecuación no lineal de Schrödinger: describe la propagación de ondas en medios no lineales, como fibras ópticas y condensados de Bose-Einstein.
- Ecuación de Korteweg-de Vries (KdV): describe ondas en aguas poco profundas y plasma.
- Ecuación de sine-Gordon: aparece en la teoría de dislocaciones en cristales y en teoría de campos.

La ecuación de Schrödinger dependiente del tiempo no lineal (NLSE), que es un caso de estudio presentado en este trabajo, es particularmente importante debido a su amplia aplicabilidad en diversos campos de la física.

3.5.2. Caso específico de NLSE

La ecuación de Schrödinger no lineal unidimensional a resolver está dada por:

$$\begin{cases} i\frac{\partial u}{\partial t} + \frac{1}{2}\frac{\partial^{2}u}{\partial x^{2}} + |u|^{2}u = 0, & (x,t) \in [-5,5] \times [0,\pi/2], \\ u(x,0) = 2\operatorname{sech}(2x), & x \in [-5,5], \\ u(-5,t) = u(5,t), & t \in [0,\pi/2], \\ \frac{\partial u}{\partial x}(-5,t) = \frac{\partial u}{\partial x}(5,t), & t \in [0,\pi/2]. \end{cases}$$
(3.37)

Parámetros del problema:

- Dominio espacial: $x \in [-5, 5]$. Garantiza que el solitón $2 \operatorname{sech}(2x)$ esté bien contenido, ya que $\operatorname{sech}(10) \approx 4.5 \times 10^{-5} \ll 1$.
- Dominio temporal: $t \in [0, \pi/2] \approx [0, 1.5708]$. El intervalo se elige para observar una evolución significativa del solitón, este intervalo es suficiente para validar la capacidad del método PINN para capturar la dinámica correcta de la ecuación, incluyendo la conservación de la forma del solitón y la evolución de la fase.
- Condición inicial $2 \operatorname{sech}(2x)$: ss una solución exacta estacionaria de la NLSE.
- Condiciones periódicas: Eliminan efectos de frontera artificiales y permiten conservación exacta de invariantes físicos.

3.5.3. Metodologías para NLSE

En este trabajo se estudia 3.37, se presenta la solución analítica partiendo de los términos generales propuestos por Zakarov [44].

Después se soluciona con dos métodos numéricos:

- Método numérico pseudo espectral [38] y con Runge-Kutta de cuarto orden [16].
- Pinn (Physics Informed Neural Networks) [33]

Se realiza además un estudio cuidadoso de las restricciones del problema, eso quiere decir las condiciones iniciales, de frontera o si existe alguna periodicidad [1] y detalles técnicos para cada método.

3.5.4. Solución analítica

Se presenta el análisis de la solución analítica propuesta para la ecuación 3.37, se muestra como funciona en dicha ecuación la propuesta de solución ya que proporciona una referencia exacta para verificar la precisión de aproximaciones numéricas. Además Permite el análisis directo de propiedades de conservación y dinámica solitónica y confirma predicciones de la teoría de sistemas integrables.

3.5.4.1. Formulación Matemática del Solitón

La familia de ecuaciones NLSE estudiada por Zakharov [44] y Taha y Ablowitz [1] es

$$iu_t + \alpha u_{xx} + \beta |u|^2 u = 0,$$

 $\cos \alpha, \beta \in \mathbb{R}.$

- $\alpha = 1/2 \rightarrow$ coeficiente de dispersión (difracción en óptica, difusión en física de Bose-Einstein).
- $\beta = 1 \rightarrow$ coeficiente de no-linealidad (auto-modulación, efecto Kerr en fibras ópticas, interacción de onda con densidad).

Por tanto, nuestro problema es la NLSE crítica (L^2 -crítica) con signo de atracción ($\beta>0$), sto significa que la dispersión y la no-linealidad están perfectamente equilibradas. Si se duplica la amplitud del paquete, la dispersión se hace exactamente tan fuerte como la auto-focalización; ninguna domina. Por eso el solitón no colapsa ni se dispersa, sino que se mantiene exactamente igual de forma y sólo rota su fase.

El término $|u|^2u$ actúa como un pozo de potencial que atrae la propia onda, produciendo solitones brillantes (paquetes localizados). Si el signo fuese negativo ($\beta < 0$) sería repulsión y la onda se dispersaría. Se puede observar que existe solución analítica global para $\alpha = 1/2, \beta = 1$: el solitón brillante (bright soliton).

Zakharov & Shabat [44] demostraron que la NLSE posee la solución de la forma general:

$$u(t,x) = A \operatorname{sech} \left[B \left(x - x_0 - vt \right) \right] e^{\wedge} \left\{ i \left(\varphi_0 + vt + \kappa x \right) \right\}, \quad A, B, \kappa, \varphi_0, v \in \mathbb{R}.$$
 (3.38)

Si se sustituye 3.38 en 3.37 llegamos a las relaciones de compatibilidad donde:

$$B = A, \quad \kappa = v, \quad \omega = 1/2 \left(B^2 + \kappa^2 \right).$$
 (3.39)

Para solitones estacionarios (v = 0, k = 0) la familia se reduce a

$$u(t,x) = A\operatorname{sech}(Ax)e^{\wedge}\left\{i1/2A^{2}t\right\}. \tag{3.40}$$

Para La condición A=2 se tiene la solución analítica de la forma

$$u(t,x) = 2\operatorname{sech}(2x)e^{\wedge}\left\{i2t\right\} \tag{3.41}$$

Y para generar la condición inicial del problema con está solución analítica se considera u(x,0) y se tiene

$$u(0,x) = 2\operatorname{sech}(2x). \tag{3.42}$$

Se comprueba que 3.41 satisface la 3.37

Derivada temporal

$$u(t,x) = 2\operatorname{sech}(2x)e^{}\{2it\}$$
$$= [2\operatorname{sech}(2x)] \cdot e^{}\{2it\}.$$

Al derivar respecto de t :

$$u_{-}t = 2\operatorname{sech}(2x) \cdot (i \cdot 2)e^{\wedge} \{2it\}$$
$$= 4i\operatorname{sech}(2x)e^{\wedge} \{2it\}.$$

Multiplicamos por i:

$$iu_{-}t = i \cdot 4i \operatorname{sech}(2x)e^{} \{2it\}$$

$$= 4i^{2} \operatorname{sech}(2x)e^{} \{2it\}$$

$$= -4 \operatorname{sech}(2x)e^{} \{2it\}.$$

(Recordar $i^2 = -1$)

Derivadas espaciales

Sea $R(x) = 2 \operatorname{sech}(2x)$, entonces

$$R_x = 2[-2\operatorname{sech}(2x)\tanh(2x)]$$
$$= -4\operatorname{sech}(2x)\tanh(2x).$$

$$\begin{split} R_{-}xx &= -4[2\operatorname{sech}(2x)\tanh(2x)]x \\ &= -4\left[2\left(-2\operatorname{sech}(2x)\tanh^{2}(2x) + 2\operatorname{sech}^{3}(2x)\right)\right] \\ &= -8\left[-\operatorname{sech}(2x)\tanh^{2}(2x) + \operatorname{sech}^{3}(2x)\right]. \end{split}$$

Usamos la identidad $\tanh^2 = 1 - \operatorname{sech}^2$:

$$R_{xx} = -8 \left[-\operatorname{sech}(2x) \left(1 - \operatorname{sech}^{2}(2x) \right) + \operatorname{sech}^{3}(2x) \right]$$
$$= -8 \left[-\operatorname{sech}(2x) + 2\operatorname{sech}^{3}(2x) \right]$$
$$= 8\operatorname{sech}(2x) - 16\operatorname{sech}^{3}(2x).$$

Por tanto

$$1/2u_{-}xx = 1/2R_{-}xe^{\{2it\}}$$

$$= 1/2 \left[8 \operatorname{sech}(2x) - 16 \operatorname{sech}^{3}(2x) \right] e^{\{2it\}}$$

$$= \left[4 \operatorname{sech}(2x) - 8 \operatorname{sech}^{3}(2x) \right] e^{\{2it\}}.$$

■ Término no lineal

$$|u|^{2}u = |2\operatorname{sech}(2x)e^{\wedge}\{2it\}|^{2} \cdot 2\operatorname{sech}(2x)e^{\wedge}\{2it\}$$
$$= [4\operatorname{sech}^{2}(2x)] \cdot 2\operatorname{sech}(2x)e^{\wedge}\{2it\}$$
$$= 8\operatorname{sech}^{3}(2x)e^{\wedge}\{2it\}.$$

Agrupamos los tres resultados anteriores y sacamos el factor común $e^{\wedge}\{2it\}$:

$$iu_t + \frac{1}{2}u_{xx} + |u|^2 u = (-4\operatorname{sech}(2x))e^{2it} + (4\operatorname{sech}(2x) - 8\operatorname{sech}^3(2x))e^{2it} + (8\operatorname{sech}^3(2x))e^{2it}.$$

Dentro del paréntesis queda:

$$\left[-4\operatorname{sech}(2x) + 4\operatorname{sech}(2x) - 8\operatorname{sech}^{3}(2x) + 8\operatorname{sech}^{3}(2x) \right] e^{4} \left[-4\operatorname{sech}(2x) + 4\operatorname{sech}(2x) - 8\operatorname{sech}(2x) + 8\operatorname{sech}(2x) \right] e^{4} \left[-4\operatorname{sech}(2x) + 4\operatorname{sech}(2x) - 8\operatorname{sech}(2x) + 8\operatorname{sech}(2x) \right] e^{4} \left[-4\operatorname{sech}(2x) - 8\operatorname{sech}(2x) \right] e^{4} \left[-4\operatorname{sech}(2$$

El corchete reduce a

$$0 \cdot e^{\wedge} \{2it\} = 0.$$

Como $e^{\wedge}\{2it\}$ nunca se anula, la ecuación se cumple exactamente en todo punto.

Magnitudes e invariantes físicas

Para la solución $u(t, x) = 2 \operatorname{sech}(2x) e^{\wedge} \{2 \text{ i t } \}.$

Masa total N

$$N = \int |\mathbf{u}|^2 d\mathbf{x} \approx 4.$$

- En un condensado: número de átomos.
- En una fibra óptica: energía electromagnética integrada del pulso.
- Garantiza que el paquete no se "desintegra"ni colapsa".

Energía E

$$E = \int (1/2 |u_x|^2 - 1/2 |u|^4) dx = -2/3.$$

- Valor negativo indica un estado ligado (solitón).
- Se conserva; describe la competencia exacta entre dispersión ($1/2 |u_x|^2$) y atracción no lineal ($1/2 |u|^4$).

Momento P

$$P = \operatorname{lm} \int u^* u_x dx = 0.$$

- Centro del paquete permanece fijo (velocidad nula).
- Fase global $\varphi(t)$

$$\varphi(t) = 2t \to \varphi(\pi/2) = \pi.$$

- El frente de onda complejo gira 180° sin distorsionar la envolvente.
- En óptica: desplazamiento espectral de π rad; en BEC: rotación coherente de la función de onda macroscópica.

3.5.4.2. Análisis Gráfico de la Solución Solitónica

La solución analítica sirve como referencia exacta para validar los métodos numéricos, en este caso se presenta como referencia cualitativa, siguiendo la metodología usada por Raissi [33], que concede la comparación de las PINNS con el método pseudoespectral. Sin embargo para este trabajo se considera importante mostrar todas las soluciones existentes y sobre todo validar el método principal que son las PINNS.

Las visualizaciones clave incluyen:

- Gráfica de perfil $|u(x,t)| = 2\operatorname{sech}(2x)$

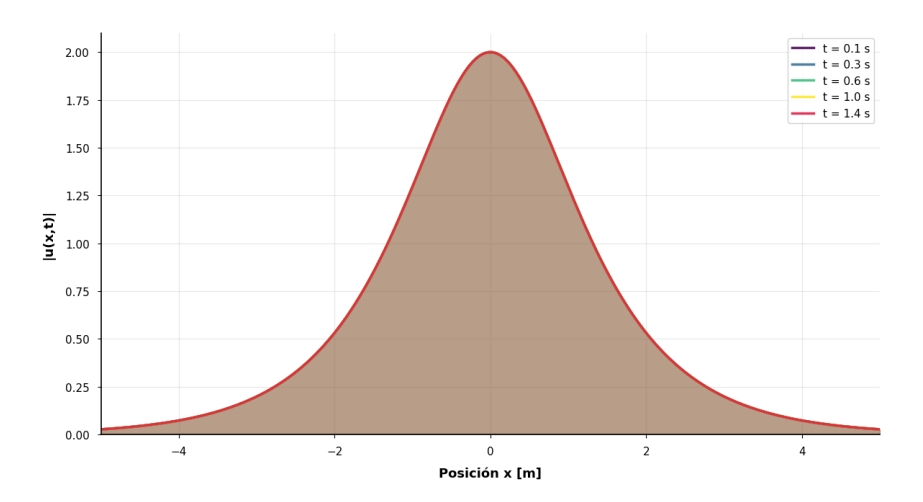


Figura 3.30: Perfiles en diferentes tiempos para |u(x,t)|

Como se puede esperar de la solución solitónica analítica, el perfil conserva su forma en el tiempo sugerido, por lo que se observa una sola curva que se superpone sobre las otras.

• Mapa de calor del módulo $|u(x,t)| = 2 \operatorname{sech}(2x)$:

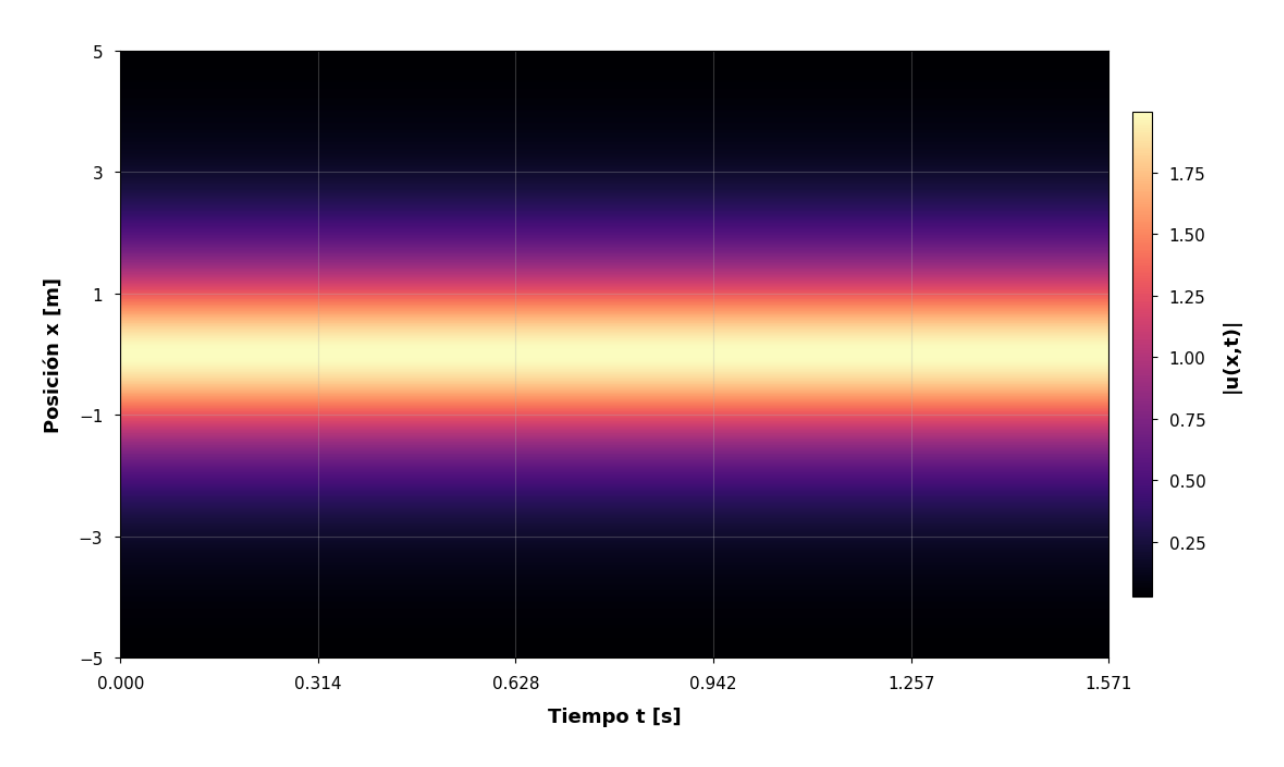


Figura 3.31: Se muestra el mapa de calor de la solución analítica

El mapa de calor es una de las referencias fundamentales para poder comparar los resultados de los métodos numéricos a validar, en este caso se puede hacer una exploración visual sustentada en las métricas, para confirmar que los métodos numéricos usados resuelven el problema planteado por la PDE.

• Superficie 3D: representación tridimensional del solitón

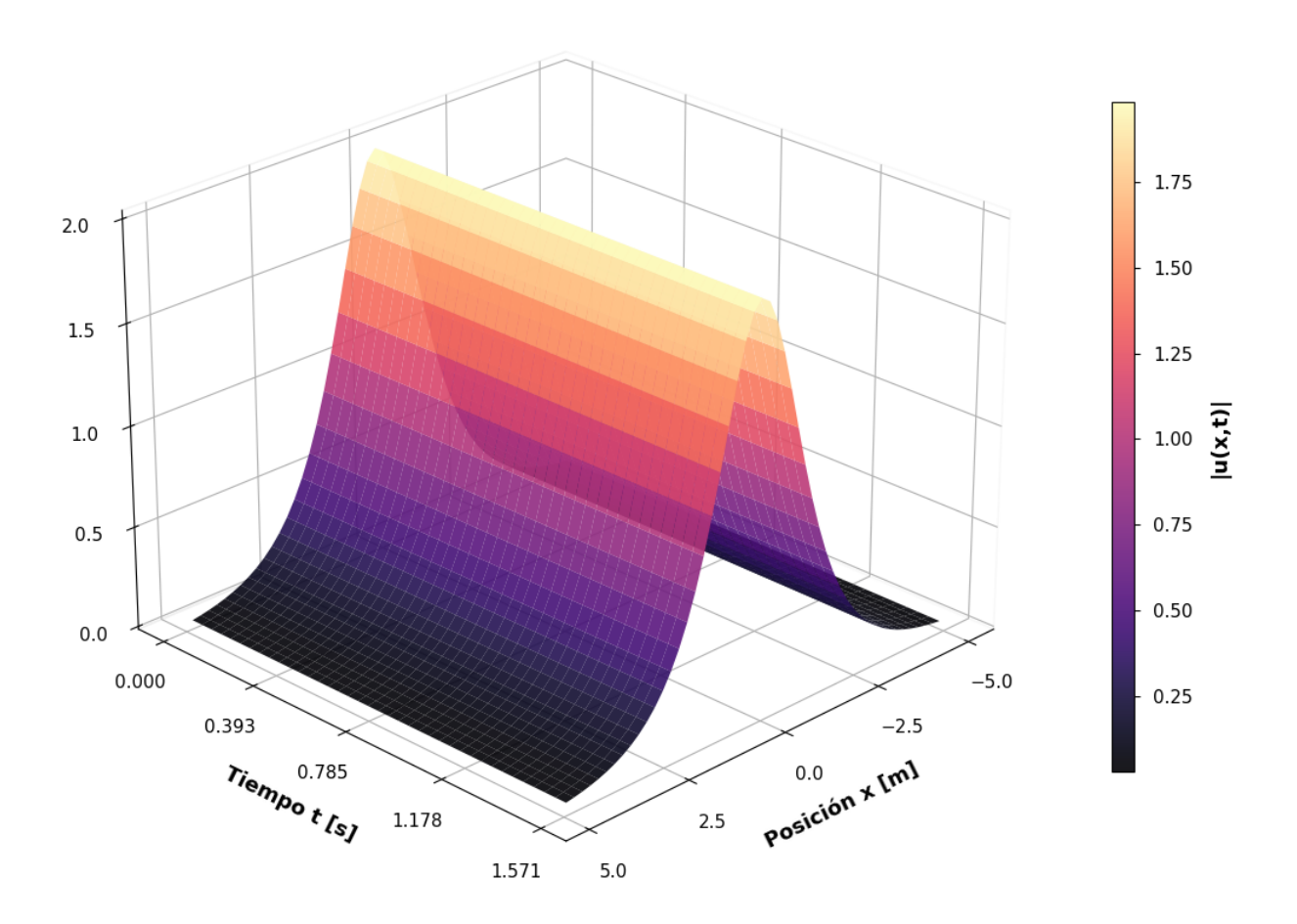


Figura 3.32: Se muestra el perfil en 3d del solitón que será comparado con las soluciones numéricas

El perfil 3D nos permite observar como se desarrollan las soluciones para cada punto del dominio o valores de entrada y permite observar si la solución integralmente está en principio dando una solución válida a nuestra PDE.

3.5.5. Pseudoespectral vs PINN para NLSE en 1D

NOTA: Ver notebook NLSE Solitón (2 sec, 2x) en GitHub

Se soluciona ecuación 3.37, de la cual ya se presentó una solución analítica en la sección anterior. Se introduce una metodología pseudoespectral basada en FFT (Fast Fourier

Trasnform o Transformada de Fourier rápida) con integración Runge-Kutta de cuarto orden.

El término pseudoespectral se refiere a una estrategia híbrida en la que la solución se representa globalmente mediante una base espectral (la de Fourier por ejemplo), pero los términos no lineales se evalúan en el espacio físico. En lugar de realizar productos no lineales directamente en el espacio de Fourier, lo cual implicaría convoluciones costosas y propensas a errores de aliasing, se realiza una transformación inversa a espacio físico mediante la transformada rápida de Fourier (IFFT), se evalúan los productos punto a punto, y luego se transforma el resultado de vuelta al espacio de Fourier (FFT).

Fundamentos Teóricos de Aproximación Espectral

Se presentan las características fundamentales de este método y como se implementan para obtener la solución a la PDE en cuestión.

■ Aproximación Espectral Global Los métodos espectrales se fundamentan en la aproximación de la solución mediante combinaciones lineales de funciones de base globales $\{\phi_k(x)\}_{k=0}^{N-1}$ con propiedades de suavidad óptimas:

$$u_N(x,t) = \sum_{k=0}^{N-1} \hat{u}_k(t)\phi_k(x).$$

Para problemas con condiciones periódicas, las funciones de base naturales son los modos de Fourier complejos:

$$\phi_k(x) = e^{ik_j x}, \quad k_j = \frac{2\pi j}{2L}, \quad j = -N/2, \dots, N/2 - 1.$$

• Teorema de Convergencia Espectral

Teorema 3.5.1. Si u(x) es una función periódica analítica en una banda $|Im(z)| < \alpha$ del plano complejo, entonces la aproximación espectral converge exponencialmente:

$$||u - u_N||_{L^2} \le Ce^{-\alpha N},$$

para alguna constante C > 0 independiente de N.

Esta convergencia exponencial (también llamada "precisión espectral") constituye la principal ventaja de los métodos espectrales sobre métodos de orden finito.

Implementación Pseudoespectral para Python

Algoritmo 3.11: Configuración para pseudoespectral

```
# Parametros fundamentales

L = 5.0  # Semiperiodo espacial

N = 256  # Puntos espaciales (potencia de 2 para FFT)
```

```
dx = 2*L / N # Espaciamiento: dx =
    0.0390625
                  # Malla espacial periódica (excluyendo punto
    final)
                  x = np.linspace(-L, L - dx, N)
8
                  # Configuración del espacio de Fourier
                  kmax = np.pi / dx
10
    Frecuencia máxima Nyquist
                  k = kmax * np.fft.fftfreq(N, 0.5)
                                                     # Números
11
    de onda
                  # Operador diferencial para NLSE
13
                  D2 = -0.5 * k**2 # Segundo derivada: -0.5 * (
14
    ik)^2 = -0.5 * k^2
```

Análisis de la configuración:

- $k_{max} = \pi/\Delta x = \pi \cdot 256/10 = 80.21$ (frecuencia máxima resoluble).
- Rango de números de onda: $k \in [-80.21, 80.21]$.
- Resolución espectral: $\Delta k = 2\pi/(2L) = \pi/5 = 0.628$.
- Factor de alias: Bien resuelto para el solitón $2 \operatorname{sech}(2x)$.

Diferenciación Espectral

La diferenciación espacial en el método pseudoespectral se realiza exactamente en el espacio de Fourier:

$$\frac{\partial u}{\partial x} \leftrightarrow ik\hat{u}(k),$$

$$\frac{\partial^2 u}{\partial x^2} \leftrightarrow (ik)^2 \hat{u}(k) = -k^2 \hat{u}(k).$$

Para la NLSE específica implementada, el operador diferencial lineal es:

$$\mathcal{L}u = \frac{1}{2} \frac{\partial^2 u}{\partial x^2} \leftrightarrow \mathcal{D}_2 \hat{u} = -\frac{k^2}{2} \hat{u}.$$

■ Tratamiento del Término No Lineal

El término no lineal $\mathcal{N}(u) = |u|^2 u$ requiere evaluación en el espacio físico:

Algoritmo 5 Evaluación del Término No Lineal Pseudoespectral

```
1: // Entrada: \hat{u} en espacio de Fourier

2: u_{\text{physical}} \leftarrow \text{IFFT}(\hat{u}) \triangleright Transformar a espacio físico

3: \mathcal{N}_{\text{physical}} \leftarrow |u_{\text{physical}}|^2 \cdot u_{\text{physical}} \triangleright Evaluar no linealidad

4: \hat{\mathcal{N}} \leftarrow \text{FFT}(\mathcal{N}_{\text{physical}}) \triangleright Volver a Fourier

5: // Salida: \hat{\mathcal{N}} para uso en RK4
```

Esta estrategia pseudoespectral evita el aliasing mientras mantiene la eficiencia de la FFT.

3.5.5.1. Integración Temporal: Runge-Kutta de Cuarto Orden

Formulación del Sistema de ODEs

Después de la discretización espacial espectral, la NLSE se convierte en un sistema de ODEs en el espacio de Fourier:

$$\frac{d\hat{u}_k}{dt} = f_k(\hat{u}) = i\left(\mathcal{D}_{2,k}\hat{u}_k + \widehat{\mathcal{N}}_k\right),\,$$

donde $f_k(\hat{u})$ representa el lado derecho para el modo k-ésimo.

• C'digo en Python

Algoritmo 3.12: RK4 implementado

```
def schrodinger_rhs(u_hat_input, D2_op):
                  """RHS de la ecuación de Schrodinger en forma
    pseudoespectral"""
                  # Transformar a espacio físico
                  u_physical = np.fft.ifft(u_hat_input)
                  # Término no lineal en espacio físico
                  nonlinear_term = np.abs(u_physical)**2 *
    u_physical
                  # Término lineal en espacio de Fourier: D2 *
9
    u_hat
                  linear_fourier = D2_op * u_hat_input
                  # Término no lineal en espacio de Fourier
12
                  nonlinear_fourier = np.fft.fft(nonlinear_term)
14
                  # Lado derecho completo: i(linear + nonlinear)
                  rhs = 1j * (linear_fourier + nonlinear_fourier)
                  return rhs
17
              # Bucle principal RK4
19
```

```
for step in range(Nt):

k1 = dt * schrodinger_rhs(u_hat, D2)

k2 = dt * schrodinger_rhs(u_hat + k1/2, D2)

k3 = dt * schrodinger_rhs(u_hat + k2/2, D2)

k4 = dt * schrodinger_rhs(u_hat + k3, D2)

u_hat_new = u_hat + (k1 + 2*k2 + 2*k3 + k4)/6
```

• Análisis de Estabilidad CFL

La estabilidad del esquema RK4 para la NLSE está determinada por:

$$\Delta t \le \frac{C_s}{\max(k_{max}^2, \|u\|_{\infty}^2)},$$

donde $C_s \approx 2.8$ es la constante de estabilidad para RK4.

Verificación para parámetros implementados:

$$k_{\text{máx}} = 80.21,$$
 (3.43)

$$k_{\text{máx}}^2 = 6434, \tag{3.44}$$

$$||u||_{\infty} = 2$$
 (amplitud máxima del solitón), (3.45)

$$\Delta t_{\text{crítico}} = \frac{2.8}{\text{máx}(6434, 4)} = \frac{2.8}{6434} \approx 4.35 \times 10^{-4}.$$
 (3.46)

El paso temporal implementado $\Delta t = 2 \times 10^{-4}$ satisface holgadamente esta condición, garantizando estabilidad.

3.5.6. Algoritmo Pseudoespectral Completo y RK4

Se presenta el algoritmo central del método Pseudoespectral y el Runge-Kutta de orden 4.

3.5.7. PINN para NLSE

NOTA: Ver notebook NLSE Solitón (2 sec, 2x) en GitHub

Se presentan las partes esenciales que conforman el núcleo del algoritmo PINN, para la NLSE compleja, se implementa una red que mapea coordenadas espacio-temporales a las componentes real e imaginaria de la solución:

$$\mathcal{N}: (x,t) \in \mathbb{R}^2 \mapsto [u_r(x,t), u_i(x,t)] \in \mathbb{R}^2.$$

Algoritmo 6 Método Pseudoespectral Completo para NLSE

```
1: INICIALIZACIÓN
 2: Configurar parámetros: L=5.0,\ N=256,\ T=\pi/2,\ \Delta t=0.0002
3: Crear malla espacial: x_j = -L + j \cdot \frac{2L}{N} para j = 0, \dots, N-1

4: Calcular números de onda: k_m = \frac{\pi m}{L} \cdot \text{fftfreq}(N, 0.5)

5: Definir operador lineal: \mathcal{D}_{2,m} = -\frac{1}{2}k_m^2
 6: Establecer condición inicial: u_i^0 = 2 \operatorname{sech}(2x_j)
 7: Transformar a Fourier: \hat{u}_m^0 = \mathrm{FFT}(u_j^0)
 8: BUCLE TEMPORAL PRINCIPAL
 9: for n = 0 to N_t - 1 do
           // Paso de Runge-Kutta 4 (RK4)
10:
           k_1 \leftarrow \Delta t \cdot \text{RHS}(\hat{u}^n)
11:
          k_2 \leftarrow \Delta t \cdot \text{RHS}\left(\hat{u}^n + \frac{1}{2}k_1\right)
k_3 \leftarrow \Delta t \cdot \text{RHS}\left(\hat{u}^n + \frac{1}{2}k_2\right)
12:
13:
           k_4 \leftarrow \Delta t \cdot \text{RHS}(\hat{u}^n + k_3)
14:
           \hat{u}^{n+1} \leftarrow \hat{u}^n + \frac{1}{6}(k_1 + 2k_2 + 2k_3 + k_4)
15:
           // Verificaciones de estabilidad
16:
           if \exists m \text{ tal que } |\hat{u}_m^{n+1}| = \infty \text{ or } \mathrm{isnan}(\hat{u}_m^{n+1}) \text{ then}
17:
                 ABORTAR: explosión numérica detectada en paso n
18:
19:
           end if
           if n \mod 100 = 0 then
20:
                 u^{n+1} \leftarrow \text{IFFT}(\hat{u}^{n+1})
M^{n+1} \leftarrow \Delta x \sum_{j} |u_{j}^{n+1}|^{2}
21:
22:
                 Verificar conservación: \frac{|M^{n+1}-M^0|}{M^0} < \epsilon_{\rm tol}, \, {\rm con} \, \, \epsilon_{\rm tol} = 10^{-10}
23:
                 if n \mod 1000 = 0 then
24:
25:
                       Reportar progreso y conservación
                 end if
26:
           end if
27:
28: end for
29: FINALIZACIÓN
30: U_{\text{final}} \leftarrow \text{IFFT}(\hat{u}^{N_t})
31: Calcular estadísticas finales de conservación
32: return U_{\text{solucion}}, estadísticas de conservación
```

3.5.7.1. Arquitectura de red neuronal

Algoritmo 3.13: Arquitectura PINN para Python

```
class PINN_Schrodinger(nn.Module):
      Physics - Informed Neural Network para la ecuación de Schrö
3
     dinger no lineal
      Arquitectura:
      - Input: (x, t) coordenadas espacio-temporales
      - Output: [u_real, u_imag] partes real e imaginaria de u(x,t)
      - Activación: Tanh (estándar para PINNs)
9
      def __init__(self, layers):
          super().__init__()
11
          self.layers = nn.ModuleList()
13
          # Construir capas densas
14
          for i in range(len(layers)-1):
              self.layers.append(nn.Linear(layers[i], layers[i+1]))
16
17
          # Activación estándar para PINNs
18
          self.activation = nn.Tanh()
19
20
      def forward(self, x, t):
22
          Forward pass de la red
23
24
          Args:
25
              x: tensor de coordenadas espaciales
              t: tensor de coordenadas temporales
27
          Returns:
29
              output: tensor [u_real, u_imag]
30
          inputs = torch.cat([x, t], dim=1)
32
33
          # Propagación a través de capas ocultas
34
          for i in range(len(self.layers)-1):
              inputs = self.activation(self.layers[i](inputs))
37
          # Capa final sin activación
38
          output = self.layers[-1](inputs) # salida: [u_real, u_imag
39
     ]
          return output
40
```

Especificaciones técnicas implementadas:

```
# Instanciar modelo con arquitectura balanceada
layers = [2, 50, 50, 50, 2] # 2 entradas (x,t), 3 capas ocultas de
    50, 2 salidas
model = PINN_Schrodinger(layers)

print(f"Arquitectura PINN: {layers}")
print(f"Parámetros totales: {sum(p.numel() for p in model.
    parameters())}")
```

Algoritmo 3.14: Configuración arquitectónica

Cálculo detallado de parámetros:

Capa 1:
$$(2 \times 50 + 50) = 150$$
 parámetros (3.47)
Capa 2: $(50 \times 50 + 50) = 2550$ parámetros (3.48)
Capa 3: $(50 \times 50 + 50) = 2550$ parámetros (3.49)
Capa 4: $(50 \times 2 + 2) = 102$ parámetros (3.50)
Total: 5352 parámetros (3.51)

Justificación de Decisiones de Diseño

1. Profundidad (3 capas ocultas):

- Suficiente para capturar no linealidades complejas de la NLSE.
- Evita overfitting con dataset de tamaño moderado ($\sim 51,200$ puntos).
- Balance entre expresividad y estabilidad de entrenamiento.

2. Ancho (50 neuronas por capa):

- Capacidad representacional adecuada para la NLSE 1D.
- Costo computacional razonable para entrenamiento extenso.
- Evita saturación de activaciones tanh en regiones extremas.

3. Activación tanh:

- Infinitamente diferenciable (crucial para diferenciación automática).
- Acotada en [-1, 1], previene gradientes explosivos.
- Comportamiento simétrico apropiado para EDPs físicas.
- Gradiente no-cero en todo su dominio (a diferencia de ReLU).

Configuración de Puntos

Algoritmo 3.15: Configuración de puntos para entrenamiento PINN

```
#
2 x_pinn = np.linspace(-L, L, N)  # mismo dominio x que
    pseudoespectral
```

```
t_points = np.linspace(0, T, 200)
                                          # dominio t (más puntos
    para collocation)
5 print(f"Configuración PINN:")
6 print(f"- Puntos espaciales: {len(x_pinn)}")
7 print(f"- Puntos temporales: {len(t_points)}")
s print(f"- Total puntos collocation: {len(x_pinn) * len(t_points)}")
10 # Mallado de puntos para collocation
11 X_coll, T_coll = np.meshgrid(x_pinn, t_points)
12 X_collocation = X_coll.flatten()[:, None]
T_collocation = T_coll.flatten()[:, None]
```

Análisis de la configuración de puntos:

- Puntos de colocación: $256 \times 200 = 51,200$ puntos distribuidos uniformemente.
- **Densidad espacial**: $\Delta x = 0.0390625$ (igual que método pseudoespectral).
- Densidad temporal: $\Delta t_{PINN} = \pi/2/200 = 0.00785$ (menos densa que método pseudoespectral).
- Cobertura: dominio completo $[-5, 5] \times [0, \pi/2]$.

3.5.7.2. Función de Pérdida o Costo

Diferenciación Automática para PINNs

La diferenciación automática (AD) permite calcular derivadas exactas de funciones compuestas mediante aplicación sistemática de la regla de la cadena. Para una red neuronal $\mathcal{N}(x,t;\theta)$, las derivadas se calculan como:

$$\frac{\partial u_r}{\partial x} = \frac{\partial \mathcal{N}_r}{\partial x}(x, t; \theta), \qquad (3.52)$$

$$\frac{\partial u_i}{\partial t} = \frac{\partial \mathcal{N}_i}{\partial t}(x, t; \theta), \qquad (3.53)$$

$$\frac{\partial u_i}{\partial t} = \frac{\partial \mathcal{N}_i}{\partial t}(x, t; \theta), \tag{3.53}$$

$$\frac{\partial^2 u_r}{\partial x^2} = \frac{\partial^2 \mathcal{N}_r}{\partial x^2} (x, t; \theta). \tag{3.54}$$

Ventajas de AD sobre diferenciación numérica:

- Precisión exacta: no hay errores de truncamiento como en diferencias finitas.
- Eficiencia computacional: costo O(1) por derivada independiente del orden.
- Estabilidad numérica: evita cancelación catastrófica de diferencias finitas.
- Flexibilidad: maneja funciones arbitrariamente complejas.

Derivación Matemática del Residuo

Comenzando con la NLSE en forma compleja:

$$i\frac{\partial u}{\partial t} + \frac{1}{2}\frac{\partial^2 u}{\partial x^2} + |u|^2 u = 0. \tag{3.55}$$

Escribiendo $u = u_r + iu_i$ y sustituyendo:

$$i\frac{\partial(u_r + iu_i)}{\partial t} + \frac{1}{2}\frac{\partial^2(u_r + iu_i)}{\partial x^2} + (u_r^2 + u_i^2)(u_r + iu_i) = 0.$$
 (3.56)

Separando partes real e imaginaria:

Parte real:
$$-\frac{\partial u_i}{\partial t} + \frac{1}{2} \frac{\partial^2 u_r}{\partial x^2} + (u_r^2 + u_i^2) u_r = 0,$$
 (3.57)

Parte imaginaria:
$$\frac{\partial u_r}{\partial t} + \frac{1}{2} \frac{\partial^2 u_i}{\partial x^2} + (u_r^2 + u_i^2) u_i = 0.$$
 (3.58)

Los residuos implementados en soliton.py son:

$$\mathcal{R}_r = \frac{\partial u_i}{\partial t} + \frac{1}{2} \frac{\partial^2 u_r}{\partial x^2} + (u_r^2 + u_i^2) u_r, \tag{3.59}$$

$$\mathcal{R}_i = -\frac{\partial u_r}{\partial t} + \frac{1}{2} \frac{\partial^2 u_i}{\partial x^2} + (u_r^2 + u_i^2) u_i. \tag{3.60}$$

Implementación de diferenciación automática en Python

Algoritmo 3.16: Residuo y diferenciación automática

```
def schrodinger_pde_residual(model, x,
       t):
                                                   Calcular el residuo de la
       ecuación de Schrödinger no lineal
                                                   Ecuación: i\partial u/\partial t + 0.5\partial^2 u/\partial x^2 +
        u^2u = 0
                                                   Separando en partes real e
       imaginaria:
                                                   - Parte real: \partial u_i/\partial t + 0.5\partial^2
       \mathbf{u} \mathbf{r}/\partial \mathbf{x}^2 + \mathbf{u}^2 \mathbf{u} \mathbf{r} = 0
                                                   - Parte imaginaria: -\partial u_r/\partial t +
       0.5\partial^{2}u i/\partial x^{2} + u^{2}u i = 0
                                                   u = model(x, t)
                                                   u_r = u[:, 0:1] # parte real
                                                   u_i = u[:, 1:2] # parte
13
       imaginaria
```

```
14
                                    # Derivadas temporales
15
                                    u_r_t = autograd.grad(u_r, t,
     grad_outputs=torch.ones_like(u_r),
17
     create_graph=True, retain_graph=True)[0]
                                    u_i_t = autograd.grad(u_i, t,
18
     grad_outputs=torch.ones_like(u_i),
19
     create_graph=True, retain_graph=True)[0]
20
                                    # Derivadas espaciales de
21
     primer orden
                                    u_r_x = autograd.grad(u_r, x,
     grad_outputs=torch.ones_like(u_r),
23
     create_graph=True, retain_graph=True)[0]
                                    u_i_x = autograd.grad(u_i, x,
     grad_outputs=torch.ones_like(u_i),
25
     create_graph=True, retain_graph=True)[0]
26
                                    # Derivadas espaciales de
27
     segundo orden
                                    u_r_xx = autograd.grad(u_r_x, x
     , grad_outputs=torch.ones_like(u_r_x),
29
     create_graph=True, retain_graph=True)[0]
                                    u_i_xx = autograd.grad(u_i_x, x
30
     , grad_outputs=torch.ones_like(u_i_x),
     create_graph=True, retain_graph=True)[0]
                                    # Término no lineal \mathbf{u}^2
33
                                    abs_u_sq = u_r**2 + u_i**2
                                    # Ecuación de Schrödinger
36
     separada en partes real e imaginaria:
                                    f_r = u_i_t + 0.5 * u_r_x +
37
     abs_u_sq * u_r # Residuo parte real
                                    f_i = -u_r_t + 0.5 * u_i_x +
     abs_u_sq * u_i # Residuo parte imaginaria
39
                                    return f_r, f_i
40
41
```

• Función de Pérdida implementada La función de pérdida implementada en python incorpora múltiples objetivos físicos:

$$\mathcal{L}_{total} = \lambda_{PDE} \mathcal{L}_{PDE} + \lambda_{IC} \mathcal{L}_{IC} + \lambda_{BC} \mathcal{L}_{BC}, \tag{3.61}$$

con pesos específicos basados en análisis empírico y la importancia relativa de cada constrainte:

 $\lambda_{PDE} = 1.0$ (peso base para residuo PDE), $\lambda_{IC} = 10.0$ (énfasis en condición inicial), $\lambda_{BC} = 5.0$ (importancia condiciones periódicas).

• Pérdida del Residuo de la EDP La pérdida PDE se define como la suma de errores cuadráticos de los residuos:

$$\mathcal{L}_{PDE} = \frac{1}{N_{col}} \sum_{i=1}^{N_{col}} \left[\mathcal{R}_r^2(x_i, t_i) + \mathcal{R}_i^2(x_i, t_i) \right],$$

donde $\{(x_i, t_i)\}_{i=1}^{N_{col}}$ son los 51,200 puntos de colocación distribuidos uniformemente en $[-5, 5] \times [0, \pi/2]$.

Interpretación física:

- o $\mathcal{R}_r = 0$ y $\mathcal{R}_i = 0$ garantizan que la NLSE se satisface puntualmente.
- o La suma cuadrática penaliza desviaciones grandes más severamente.
- o El promedio sobre puntos de colocación proporciona una métrica global.
- Pérdida de Condición Inicial Para esta condición inicial real, tenemos:

$$u_{0,r}(x) = 2\operatorname{sech}(2x) = \frac{4}{e^{2x} + e^{-2x}},$$

 $u_{0,i}(x) = 0$ (parte imaginaria nula).

La pérdida de condición inicial implementada es:

$$\mathcal{L}_{IC} = \frac{1}{N_{IC}} \sum_{j=1}^{N_{IC}} \left[(u_r(x_j, 0) - u_{0,r}(x_j))^2 + (u_i(x_j, 0) - 0)^2 \right],$$

con $N_{IC} = 256$ puntos distribuidos uniformemente en [-5, 5].

Algoritmo 3.17: Condición inicial

```
def condicion_inicial(x):
"""

CONDICIÓN INICIAL CONFIGURABLE
PROBLEMA ORIGINAL: u(0,x) = 2*sech

(2x)

"""

return 2.0 / np.cosh(2.0 * x) #

Solitón fundamental
```

• Pérdida de Condiciones Periódicas

Las condiciones de periodicidad implementadas requieren continuidad de la función y su derivada:

$$u(t, -5) = u(t, 5)$$
 (periodicidad de la función),
 $\frac{\partial u}{\partial x}(t, -5) = \frac{\partial u}{\partial x}(t, 5)$ (periodicidad de la derivada).

La pérdida de condiciones periódicas es:

$$\mathcal{L}_{BC} = \frac{1}{N_{BC}} \sum_{k=1}^{N_{BC}} \left[(u_r(t_k, -5) - u_r(t_k, 5))^2 + (u_i(t_k, -5) - u_i(t_k, 5))^2 + \left(\frac{\partial u_r}{\partial x}(t_k, -5) - \frac{\partial u_r}{\partial x}(t_k, 5) \right)^2 + \left(\frac{\partial u_i}{\partial x}(t_k, -5) - \frac{\partial u_i}{\partial x}(t_k, 5) \right)^2 \right],$$

con $N_{BC} = 100$ puntos temporales distribuidos en $[0, \pi/2]$.

Algoritmo 3.18: Condiciones periódicas

```
def periodic_boundary_residual(model,
     x_left, x_right, t_bc):
                           Implementar condiciones periódicas
3
     para la ecuación de Schrödinger
                           Condiciones:
                           1. u(t, -L) = u(t, L)
     Periodicidad de la función
                           2. u_x(t, -L) = u_x(t, L) -
     Periodicidad de la derivada
                           # Evaluar la función en las
9
     fronteras
                           u_left = model(x_left, t_bc)
                           u_right = model(x_right, t_bc)
11
12
                           # Condición 1: u(t, -L) = u(t, L)
                           periodic_u_real = u_left[:, 0:1] -
14
     u_right[:, 0:1]
                           periodic_u_imag = u_left[:, 1:2] -
    u_right[:, 1:2]
16
                           # Calcular derivadas espaciales en
17
     las fronteras para condición 2
                           u_left_r_x = autograd.grad(u_left
     [:, 0:1], x_left,
```

```
grad_outputs=torch.ones_like(u_left[:, 0:1]),
     create_graph=True, retain_graph=True)[0]
                          u_left_i_x = autograd.grad(u_left
21
     [:, 1:2], x_left,
     grad_outputs=torch.ones_like(u_left[:, 1:2]),
23
     create_graph=True, retain_graph=True)[0]
                          u_right_r_x = autograd.grad(u_right
     [:, 0:1], x_right,
     grad_outputs=torch.ones_like(u_right[:, 0:1]),
27
     create_graph=True, retain_graph=True)[0]
                          u_right_i_x = autograd.grad(u_right
     [:, 1:2], x_right,
     grad_outputs=torch.ones_like(u_right[:, 1:2]),
30
     create_graph=True, retain_graph=True)[0]
                          # Condición 2: u_x(t, -L) = u_x(t,
     L)
                          periodic_ux_real = u_left_r_x -
33
     u_right_r_x
                          periodic_ux_imag = u_left_i_x -
     u_right_i_x
                          return periodic_u_real,
     periodic_u_imag, periodic_ux_real, periodic_ux_imag
```

• Función de Pérdida Completa Implementada

Algoritmo 3.19: Función de pérdida

```
def loss_function(model, x_collocation, t_collocation, x_ic, t_ic, u0_real, u0_imag, x_left, x_right, t_bc)
:

"""

Función de pérdida completa para PINN con condiciones periódicas

Componentes:
1. Pérdida PDE: Residuo de la
```

```
ecuación diferencial
                           2. Pérdida IC: Condición inicial
                           3. Pérdida BC: Condiciones perió
     dicas (función y derivada)
10
                           # 1. Pérdida de la PDE en puntos de
      collocation
                           f_r, f_i = schrodinger_pde_residual
12
     (model, x_collocation, t_collocation)
                           loss_pde = torch.mean(f_r**2) +
     torch.mean(f_i**2)
14
                           # 2. Pérdida de condición inicial
15
                           u_pred_ic = model(x_ic, t_ic)
16
                           u_pred_real = u_pred_ic[:, 0:1]
17
                           u_pred_imag = u_pred_ic[:, 1:2]
18
19
                           loss_ic_real = torch.mean((
     u_pred_real - u0_real)**2)
                           loss_ic_imag = torch.mean((
21
     u_pred_imag - u0_imag)**2)
                           loss_ic = loss_ic_real +
22
     loss_ic_imag
23
                           # 3. Pérdida de condiciones perió
24
     dicas
                           per_u_r, per_u_i, per_ux_r,
25
     per_ux_i = periodic_boundary_residual(
                               model, x_left, x_right, t_bc)
26
                           loss_periodic = (torch.mean(per_u_r
27
     **2) + torch.mean(per_u_i**2) +
                                            torch.mean(per_ux_r
     **2) + torch.mean(per_ux_i **2))
                           # 4. Pérdida total con pesos
30
     balanceados
                           lambda_pde = 1.0
                                                  # Peso para
31
     residuo PDE
                           lambda_ic = 10.0
                                                  # Mayor peso
32
     a condición inicial (más importante)
                           lambda_bc = 5.0
                                                  # Peso
     intermedio para condiciones periódicas
34
                           loss_total = lambda_pde * loss_pde
35
     + lambda_ic * loss_ic + lambda_bc * loss_periodic
36
                           return loss_total, loss_pde,
37
     loss_ic, loss_periodic
```

38

• Entrenamiento y Optimización Configuración del Optimizador

La implementación utiliza el optimizador Adam con parámetros cuidadosamente seleccionados:

Algoritmo 3.20: Configuración de optimizador y entrenamiento

Justificación de la configuración:

- Adam optimizer: adaptativo, robusto para PINNs, maneja gradientes de diferentes escalas.
- Learning rate: 10⁻³ balanza velocidad de convergencia vs. estabilidad.
- Número de épocas: 50,000 asegura convergencia para problemas de física.

Entrenamiento

```
# INICIALIZAR LISTAS DE PÉRDIDAS
              loss_history = []
              loss_pde_history = []
              loss_ic_history = []
              loss_periodic_history = []
              # Tiempo de inicio
              start_time = time.time()
              # BUCLE DE ENTRENAMIENTO PRINCIPAL
              for epoch in range(epochs):
11
                  # Gradiente cero
                  optimizer.zero_grad()
14
                  # Calcular pérdidas
                  loss_total, loss_pde, loss_ic, loss_periodic =
     loss_function(
```

```
model, X_collocation_t, T_collocation_t,
17
     x_ic_t, t_ic_t, u0_real_t, u0_imag_t,
                       x_left_t, x_right_t, t_bc_t
                   )
19
20
                   # Backpropagation
21
                   loss_total.backward()
22
                   optimizer.step()
23
24
                   # Almacenar historial de pérdidas
                   loss_history.append(loss_total.item())
26
                   loss_pde_history.append(loss_pde.item())
27
                   loss_ic_history.append(loss_ic.item())
28
                   loss_periodic_history.append(loss_periodic.item
29
     ())
30
                   # Mostrar progreso cada print_every épocas
                   if epoch % print_every == 0 or epoch == epochs
32
     - 1:
                       # Calcular tiempo transcurrido y estimación
33
                       elapsed_time = time.time() - start_time
34
                       if epoch > 0:
35
                            avg_time_per_epoch = elapsed_time / (
36
     epoch + 1)
                            remaining_epochs = epochs - epoch - 1
37
                            eta_minutes = (avg_time_per_epoch *
38
     remaining_epochs) / 60
                       else:
39
                            eta_minutes = 0
40
41
                       # Porcentaje de progreso
42
                       progress = ((epoch + 1) / epochs) * 100
43
44
                       print(f"Época {epoch+1}/{epochs} ({progress
45
     :.1f}%) - ETA: {eta_minutes:.1f} min")
                       print(f" Loss total: {loss_total.item():.6
46
     f } ")
                                              {loss_pde.item():.6f}"
                       print(f"
                                   PDE:
47
     )
                       print(f"
                                   IC:
                                              {loss_ic.item():.6f}")
                                   Periodic: {loss_periodic.item()
                       print(f"
49
     :.6f}")
50
```

Algoritmo 3.21: Bucle de entrenamiento

• Evaluación de Métricas de error durante Entrenamiento

Algoritmo 3.22: Evaluación de métricas

```
# Configurar evaluación de métricas cada N épocas
              eval_every = 100 # Evaluar cada 100 épocas
2
              print(f" Configurando evaluación de métricas cada {
     eval_every} épocas")
              # Crear malla de evaluación más pequeña para
     eficiencia
              x_eval_metrics = x[::8] # Cada 8 puntos espaciales
              t_eval_metrics = t[::20] # Cada 20 puntos
     temporales
              # Inicializar listas para métricas REALES
              mae_epochs = []
              mse_epochs = []
11
              12_{\text{epochs}} = []
19
              epochs_evaluated = []
13
              def calculate_metrics_during_training(model, epoch)
                   """Calcular MSE, MAE y L2 REALES durante
     entrenamiento"""
                  with torch.no_grad():
17
                       # Predicción del modelo
18
                       u_pred_met = model(X_eval_met_t,
19
     T_eval_met_t)
                       u_real_pred = u_pred_met[:, 0].numpy()
                       u_imag_pred = u_pred_met[:, 1].numpy()
21
                       mag_pred_met = np.sqrt(u_real_pred**2 +
22
     u_imag_pred**2)
23
                       # Calcular métricas
24
                       mae_current = mean_absolute_error(
25
     abs_u_ref_metrics, mag_pred_met)
                       mse_current = mean_squared_error(
     abs_u_ref_metrics, mag_pred_met)
                       12_current = np.linalg.norm(mag_pred_met -
27
     abs_u_ref_metrics) / np.linalg.norm(abs_u_ref_metrics)
                       return mae_current, mse_current, 12_current
29
              # CALCULAR MÉTRICAS REALES CADA eval_every ÉPOCAS
              if epoch % eval_every == 0 or epoch == epochs - 1:
                  mae_current, mse_current, 12_current =
33
     calculate_metrics_during_training(model, epoch)
34
                  # Guardar métricas
35
                  mae_epochs.append(mae_current)
                  mse_epochs.append(mse_current)
```

```
12_epochs.append(12_current)
38
                    epochs_evaluated.append(epoch)
39
40
                               Métricas REALES:")
                   print(f"
41
                   print(f"
                                   MAE: {mae_current:.6e}")
42
                   print(f"
                                   MSE: {mse_current:.6e}")
43
                   print(f"
                                   L2: {12_current:.6e}")
44
45
```

3.5.7.3. Análisis de Convergencia y Estabilidad

La implementación utiliza múltiples criterios para evaluar la convergencia:

- 1. Convergencia de pérdida total: $\mathcal{L}_{total} < 10^{-6}$
- 2. Estabilidad de componentes: $\frac{d\mathcal{L}_{PDE}}{d\acute{e}poca} \approx 0$
- 3. Precisión de métricas físicas: MAE $< 10^{-3}$, L2 relativo $< 10^{-2}$
- 4. Conservación de invariantes: Error de norma $< 10^{-3}$

3.5.8. Ventajas y Limitaciones de PINNs

3.5.8.1. Ventajas Principales

- 1. Flexibilidad geométrica: maneja dominios irregulares sin mallado estructurado.
- 2. Incorporación directa de física: las leyes físicas están embebidas en el entrenamiento.
- 3. Capacidad de generalización: puede extrapolar a condiciones no vistas durante entrenamiento.
- 4. Problemas inversos: naturalmente equipado para identificación de parámetros.
- 5. Datos experimentales: incorpora mediciones ruidosas e incompletas.
- 6. Representación continua: proporciona soluciones diferenciables en todo el dominio.

3.5.8.2. Limitaciones y Desafíos

- 1. Convergencia no garantizada: El entrenamiento puede fallar o converger a mínimos locales.
- 2. Costo computacional: Requiere miles de épocas para convergencia.
- 3. Sensibilidad a hiperparámetros: Arquitectura y pesos de pérdida críticos.
- 4. Escalabilidad: Problemas multidimensionales complejos siguen siendo desafiantes.

- 5. **Precisión variable**: Generalmente menor que métodos espectrales para problemas suaves.
- 6. Diagnóstico de errores: Difícil identificar fuentes de error durante entrenamiento.

3.5.8.3. Criterios de Aplicabilidad

PINNs son más apropiados cuando:

- Geometría compleja: dominios irregulares o con fronteras móviles.
- Datos experimentales: disponibilidad de mediciones para entrenamiento.
- Problemas inversos: necesidad de identificar parámetros desconocidos.
- Condiciones de frontera complejas: especificaciones no estándar.
- Multifísica: acoplamiento de diferentes fenómenos físicos.
- Incertidumbre: cuantificación de errores y propagación de incertidumbre.

Para la NLSE con condiciones periódicas, PINNs proporcionan una alternativa valiosa que demuestra la incorporación directa de leyes físicas en redes neuronales, aunque los métodos espectrales siguen siendo superiores en términos de precisión y eficiencia computacional.

3.5.9. Algoritmo PINN Completo

```
Algoritmo 7 Physics-Informed Neural Network para NLSE (soliton.py)
```

```
1: INICIALIZACIÓN
 2: Definir arquitectura: \mathcal{N}: \mathbb{R}^2 \to \mathbb{R}^2 con capas [2, 50, 50, 50, 2]
 3: Configurar puntos de entrenamiento: 51,200 puntos de colocación
 4: Establecer condición inicial: u_0(x) = 2 \operatorname{sech}(2x) en 256 puntos
 5: Definir condiciones periódicas en 100 puntos temporales
 6: Inicializar optimizador Adam con lr = 10^{-3}
 7: BUCLE DE ENTRENAMIENTO
    for época = 1 hasta 50,000 do
         // Calcular componentes de pérdida
         \mathcal{L}_{PDE} = \frac{1}{N_{col}} \sum_{i=1}^{N_{col}} \left[ \mathcal{R}_r^2(x_i, t_i) + \mathcal{R}_i^2(x_i, t_i) \right]
\mathcal{L}_{IC} = \frac{1}{N_{IC}} \sum_{j=1}^{N_{IC}} \left[ (u_r(x_j, 0) - u_{0,r}(x_j))^2 + u_i^2(x_j, 0) \right]
\mathcal{L}_{BC} = \frac{1}{N_{BC}} \sum_{k=1}^{N_{BC}} \left[ \text{pérdidas periódicas} \right]
\mathcal{L}_{total} = \mathcal{L}_{PDE} + 10\mathcal{L}_{IC} + 5\mathcal{L}_{BC}
10:
11:
12:
13:
         // Optimización
14:
         \theta \leftarrow \theta - \alpha \nabla_{\theta} \mathcal{L}_{total}
                                                                                                   ⊳ Paso de Adam
15:
         // Monitoreo y métricas
16:
         if época mód 100 = 0 then
17:
              Calcular MAE, MSE, error relativo L^2 vs. solución pseudoespectral
18:
              Almacenar métricas para análisis posterior
19:
         end if
20:
         if época mód 1000 = 0 then
21:
              Reportar pérdidas individuales y métricas
22:
23:
              Verificar convergencia y estabilidad numérica
         end if
24:
25: end for
26: POST-PROCESAMIENTO
27: Generar predicciones en malla de referencia: \{u_r(x_i,t_i), u_i(x_i,t_i)\}
28: Calcular magnitud: |u(x,t)| = \sqrt{u_x^2 + u_i^2}
29: Calcular fase: arg(u) = arctan(u_i/u_r)
30: Computar errores: absoluto, relativo, de fase
31: Verificar conservación: norma, energía, condiciones periódicas
32: return Solución PINN, métricas de error, historial de entrenamiento
```

3.5.10. Gráficas y métricas para 2sech(2x)

Este ejemplo es importante porque permite corroborar en primer lugar que con el método pseudoespectral se puede tomar como -ground truth- para validar la PINN construida para el caso específico de la condición inicial y el problema que si tienen solución analítica.

• Comparación de perfiles Pseudoespectral vs PINN

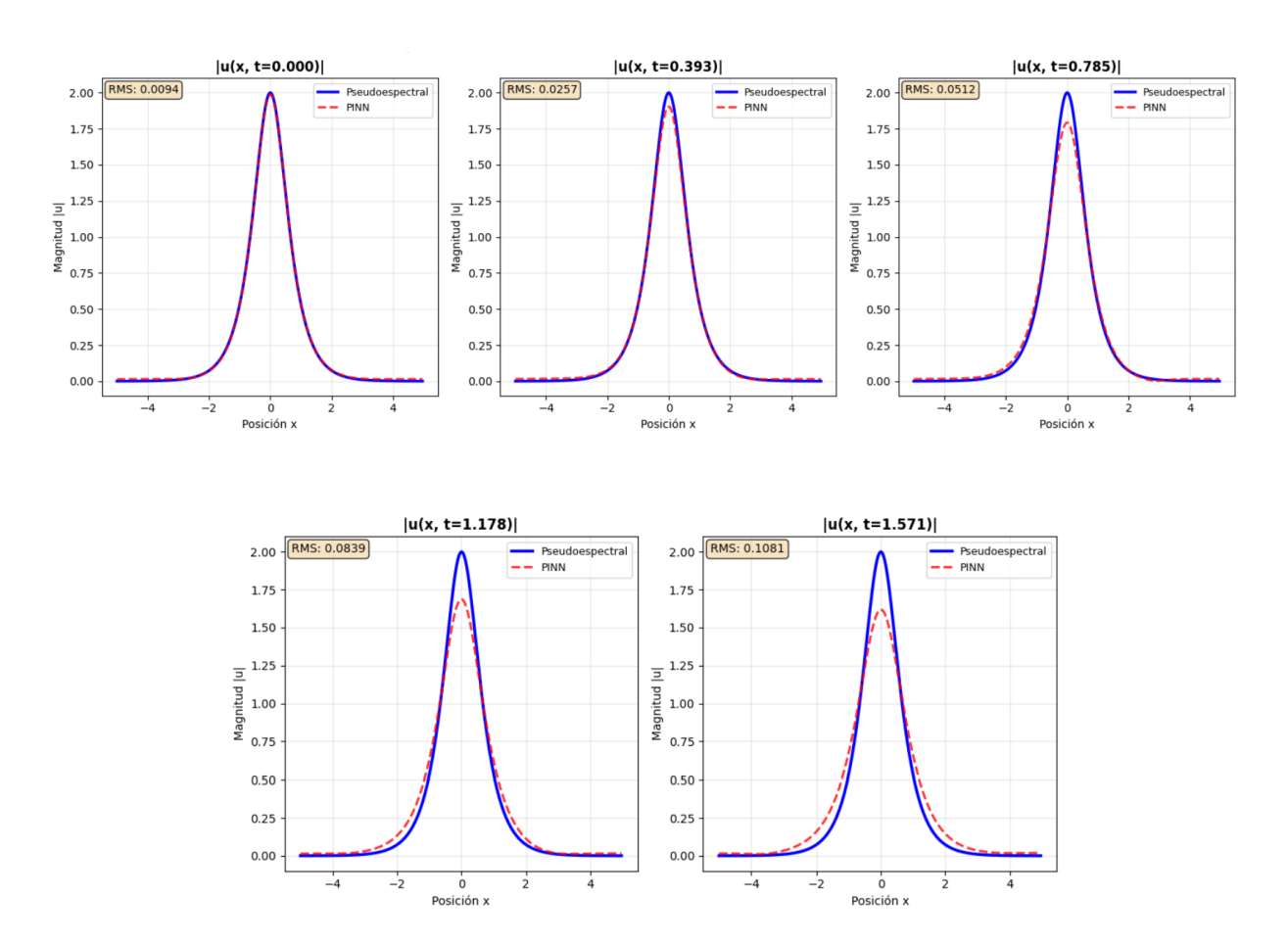


Figura 3.33: Comparación entre dos imágenes apiladas

Como se puede observar en las gráficas de distintos perfiles temporales, la solución propuesta por la PINN construida va reproduciendo la dinámica del sistema.

Mapa de calor de Pseudoespectral vs PINN

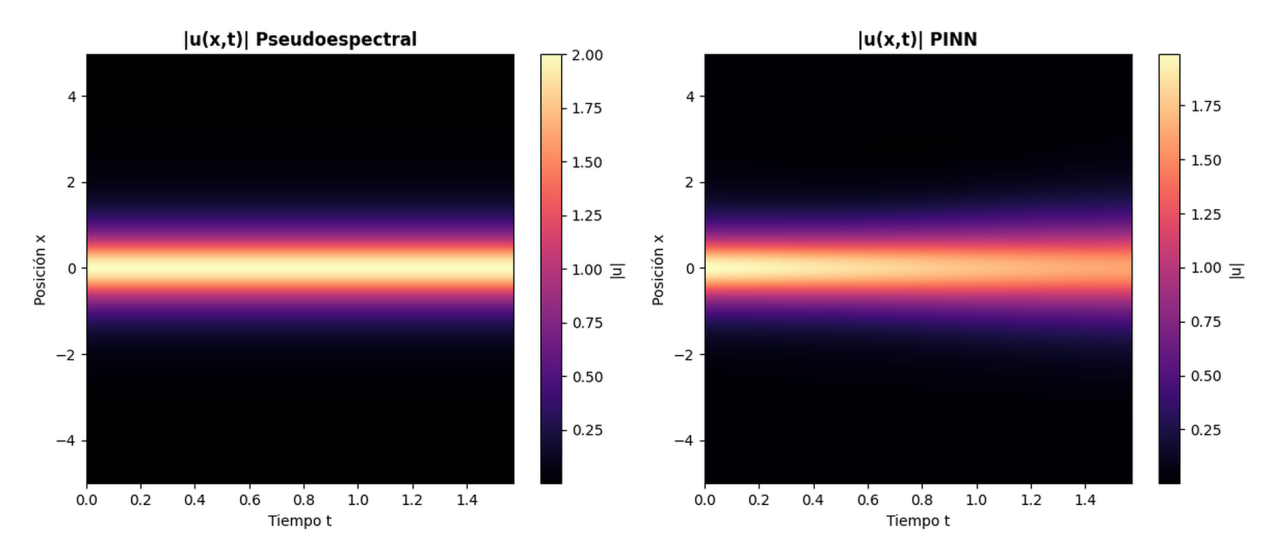


Figura 3.34: El mapa de calor de la PINN reproduce la física representada por la solución base del pseudoespectral

El mapa de calor donde se comparan la solución del pseudoespectral vs la PINN, confirma de nuevo que de manera cualitativa y cuantitativamente favorable que el algoritmo de la PINN construido soluciona una ecuación compleja como la NSLE.

Mapa de calor de error absoluto de Pseudoespectral vs PINN

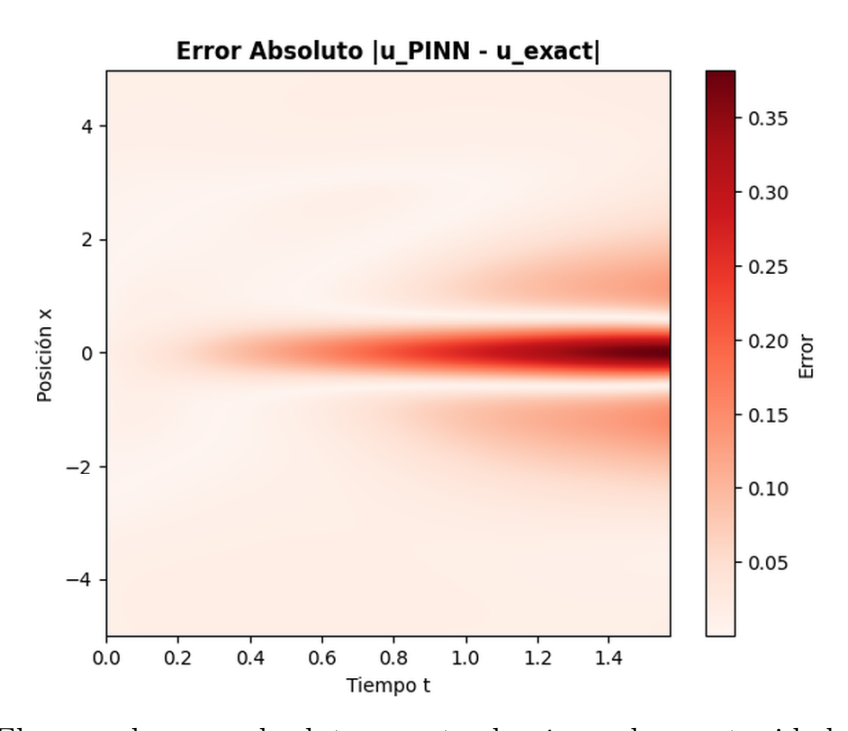


Figura 3.35: El mapa de error absoluto muestra las áreas de oportunidad de mejorar la PINN

|u(x,t)| Pseudoespectral |u(x,t)| PINN 2.00 2.00 1.75 1.75 1.50 1.25 1.00 1.00 0.75 0.75 0.50 0.50 0.25 0.25 0.00 0.0 0.2 0.4 0.6 0.8 1.0 1.2 1.4 1.6 0.0 0.2 0.4 0.6 0.8 η_{PO} 1.0 1.2 1.4 1.6

Perfil 3d de Pseudoespectral vs PINN

Figura 3.36: Comparación de perfiles 3D

La comparación de superficies 3D exhibe cuales son las áreas de oportunidad para mejorar la adaptación de la PINN. Sin embargo, se exhibe de manera exitosa la reproducción de la dinámica de la solución de la NSLE.

• Perfil 3D de error absoluto

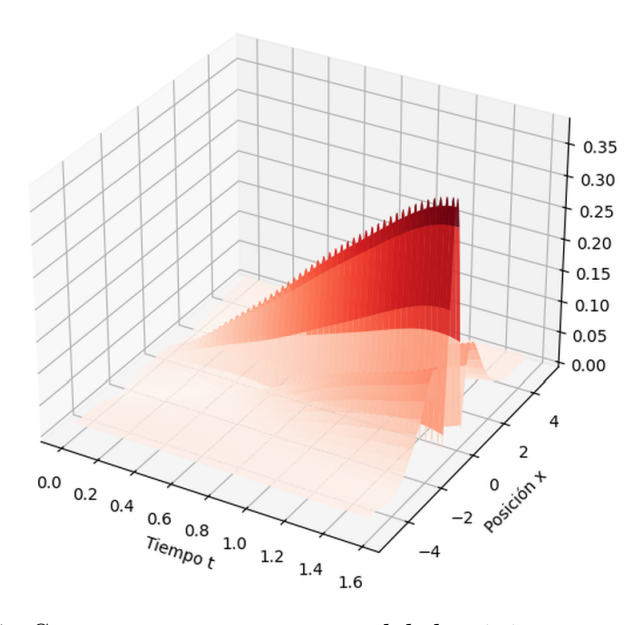


Figura 3.37: Se muestra en qué parte del dominio aumenta el error

Mostrar mapas de error absoluto o para el perfil 3D, aún no ha sido estandarizado,

pues en general las métricas que se toman en relevancia dependen muchas veces del problema y sus condiciones. Para contribuir a sistematizar la presentación de las soluciones, en este trabajo se considera importante mostrar estos mapas y superficies de error, pues arrojan luz sobre las áreas de mejora para los algoritmos implementados.

■ Métricas de error para PINNS

	Valor final
MAE	3.412030×10^{-2}
MSE	3.985843×10^{-3}
L2 relativo	9.982244×10^{-2}

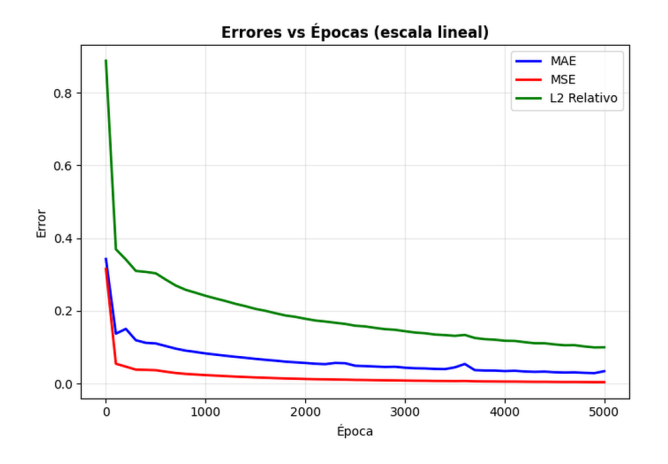


Figura 3.38: Convergencia de errores vs épocas

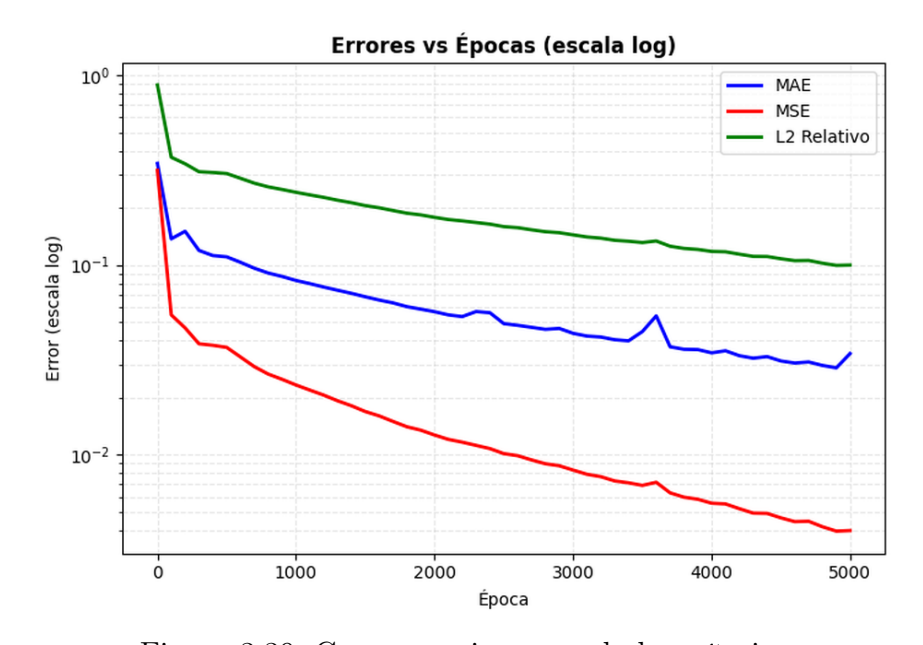
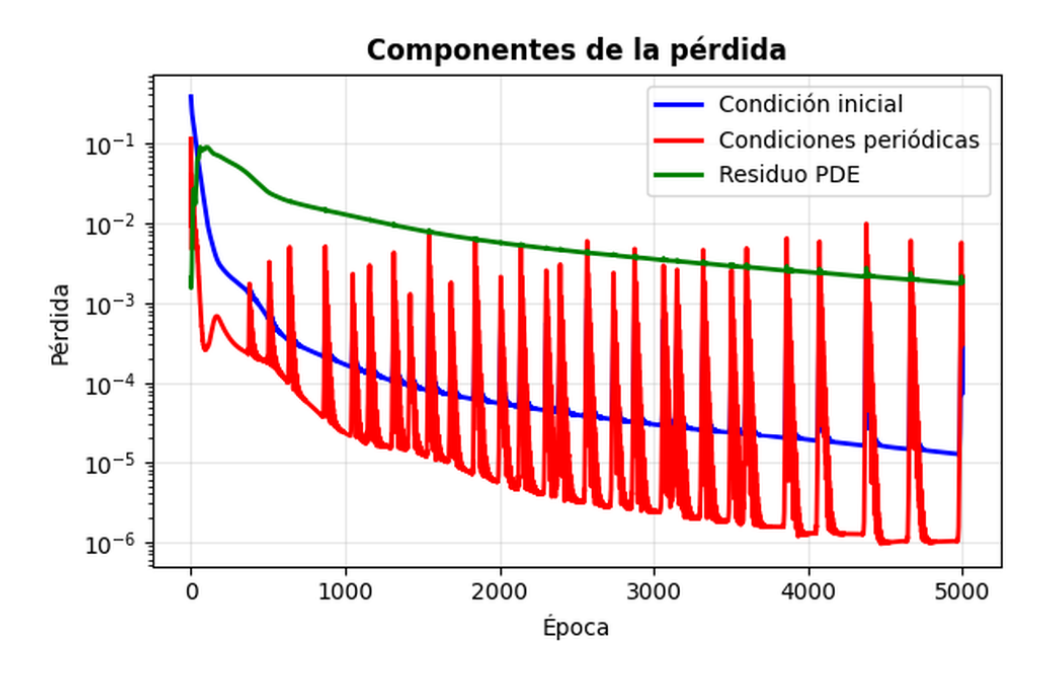
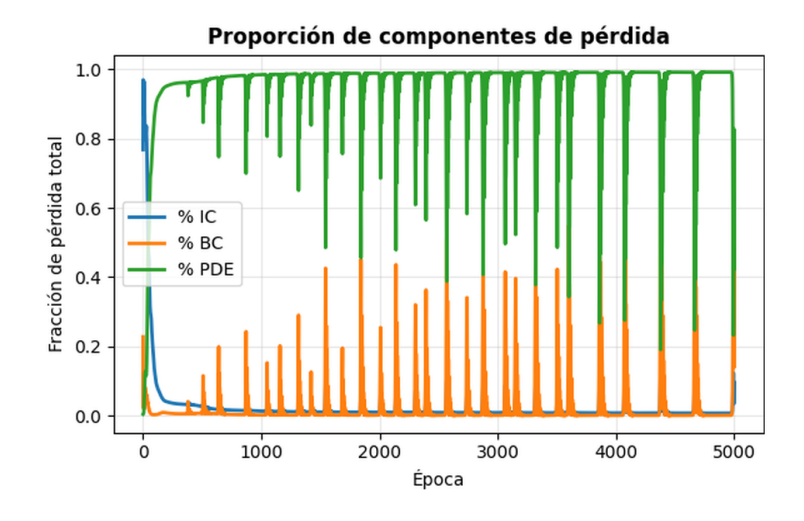


Figura 3.39: Convergencia en escala logarítmica

Las gráficas de la evolución de las métricas en función de las épocas de entrenamiento sugieren que ya sea en una escala lineal o en una escala logarítmica para ver mayor precisión, para las métricas escogidas se busca que las gráficas indiquen un concepto o idea central dentro de la literatura de PINNS, que es la convergencia o tendencia. En este sentido se busca que no sólo los valores del error que esté en cuestión sea menor, si no que se observe de manera clara que tiene una tendencia a bajar o a converger en un intervalo de valores, si el número de épocas de entrenamiento aumenta. En las dos gráficas anteriores, justo se observa dicho comportamiento, así podemos afirmar que nuestro algoritmo está resolviendo la ecuación bajo las condiciones impuestas.

■ Gráfica de Pérdida vs Épocas





Las gráficas presentadas acerca de cómo es la evolución de la función de pérdida o costo en términos de dependencia de las épocas de entrenamiento del algoritmo son fundamentales en la literatura acerca de los PINNS, ya que son por construcción las que indican que los pesos de la red neuronal que modela la solución de la ecuación son los que minimizan la función de costo, y como la función de costo tiene dentro la ecuación en su forma residual, podemos decir que se satisface la ecuación en los puntos del dominio elegidos para el modelo. La gráfica que acompaña a la de la pérdida, suele ser la de la ponderación de las funciones que componen la pérdida, en este caso me refiero a como se reparten en la función de costo los componentes asociados a la condiciones iniciales, de frontera (si son periódicas o no) y a la misma forma residual de la ecuación diferencial, en este caso la NLSE.

3.5.11. Gráficas y métricas para 2sec(x)

El problema que presenta Raissi [34], tiene exactamente las mismas condiciones que el programa presentado en la sección anterior, salvo por la condición inicial. Es importante recordar que en este caso no existe como tal una solución analítica y por lo tanto se toma como en el caso anterior el método pseudoespectral como -ground truth- para crear las métricas y gráficas que se observan a continuación.

Perfiles de Pseudoespectral vs PINN

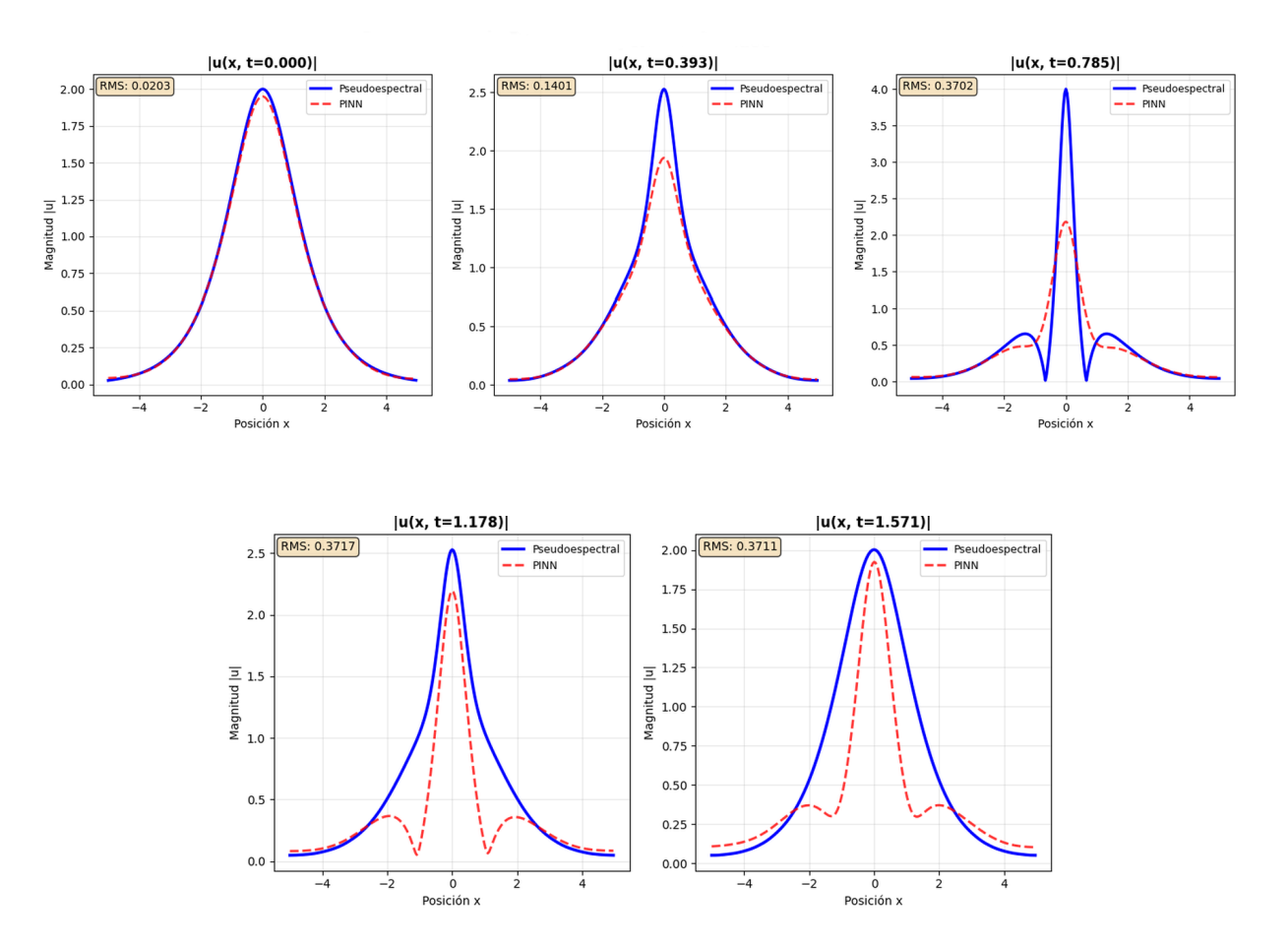


Figura 3.40: Evolución de los perfiles

La gráfica de los perfiles muestra que la solución propuesta por la PINN sugerida modela la dinámica de la solución en comparación con el -ground truth-, cualitativamente se observará mejor en las siguientes gráficas que son los mapas de calor.

• Mapa de calor de pseudoespectral vs PINN

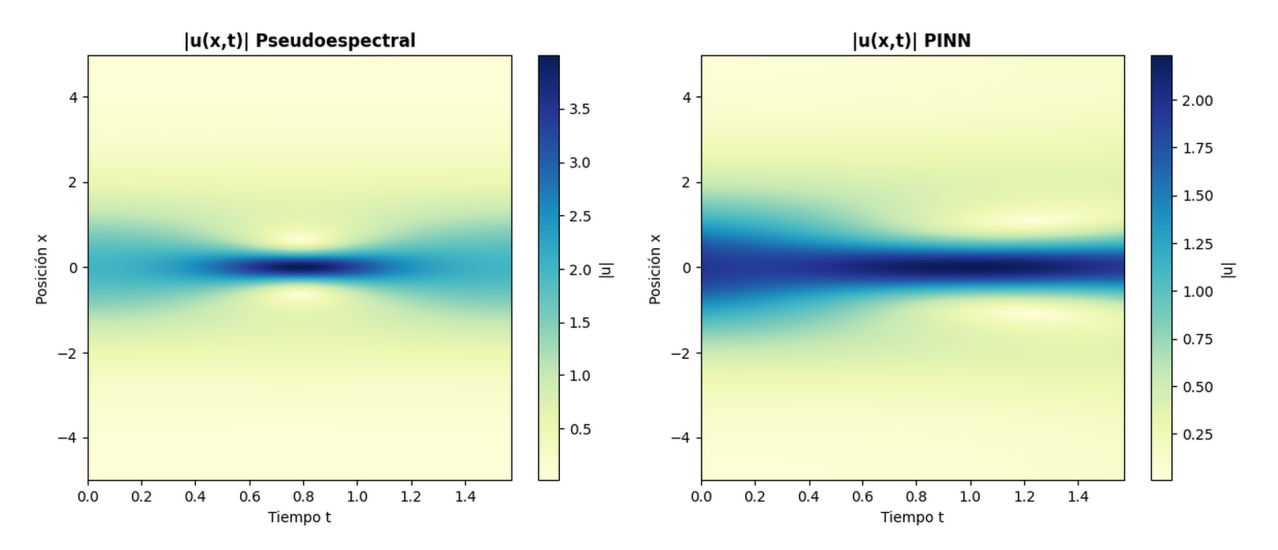


Figura 3.41: Comparación mapas de calor

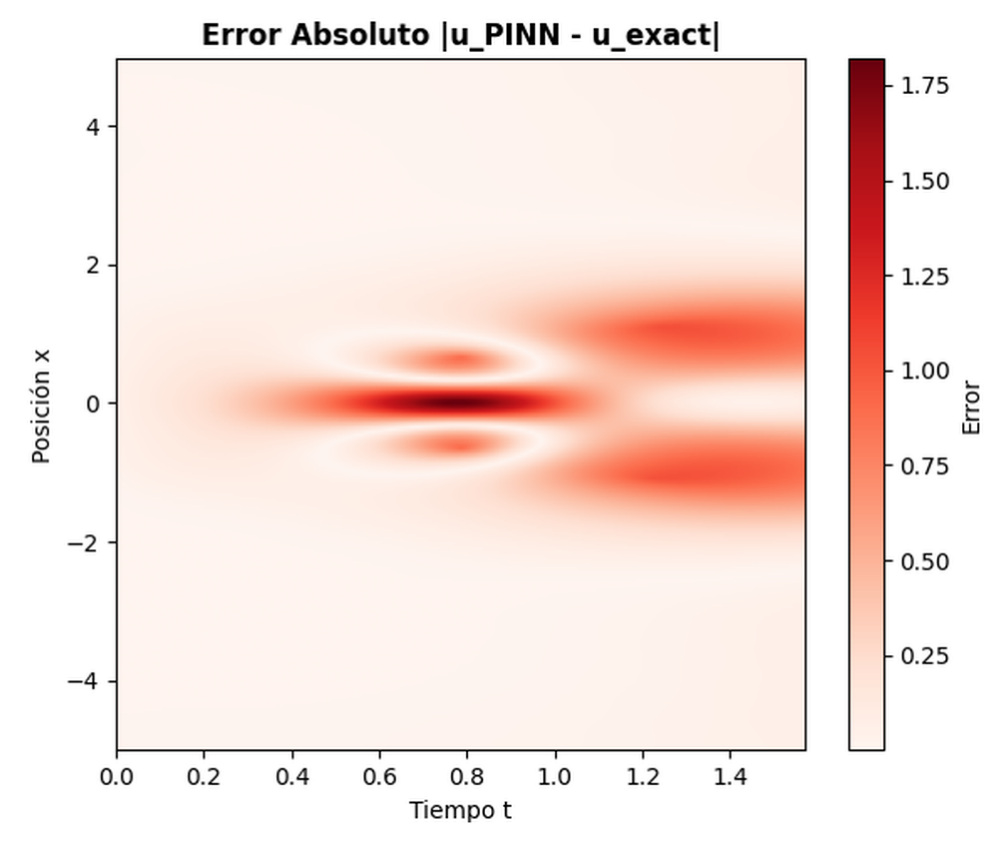


Figura 3.42: Mapa de error absoluto

• Comparación de Perfiles y error absoluto en 3D

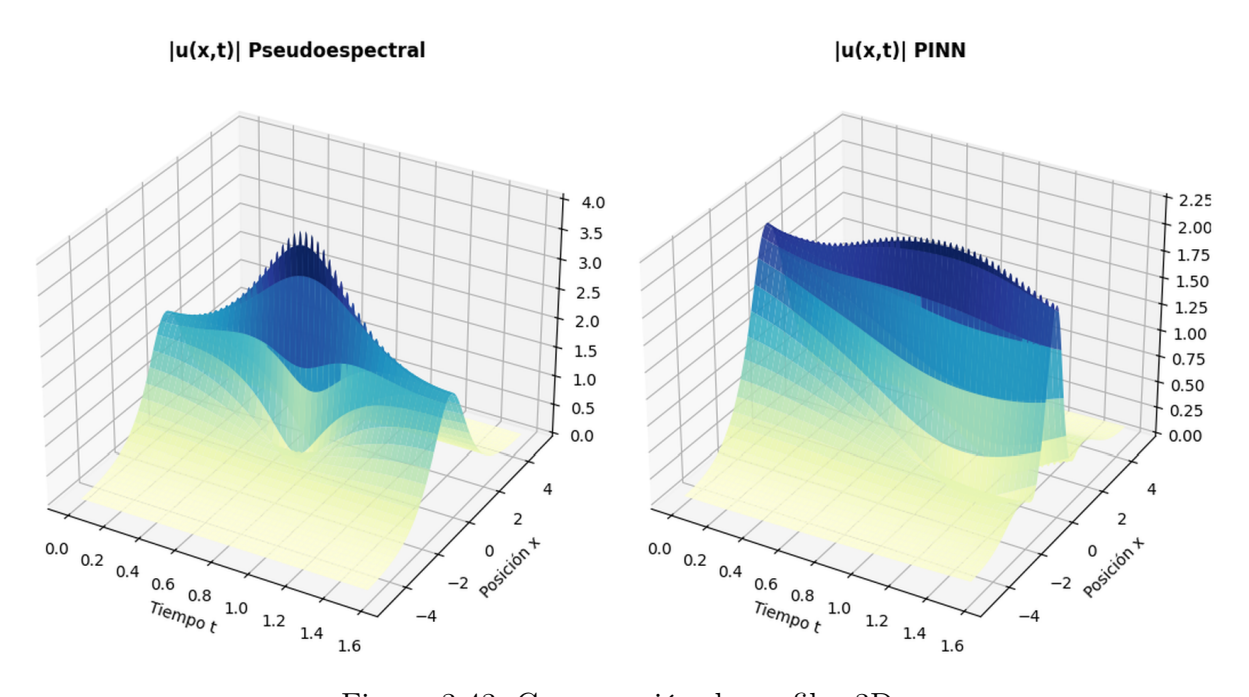


Figura 3.43: Comparación de perfiles 3D

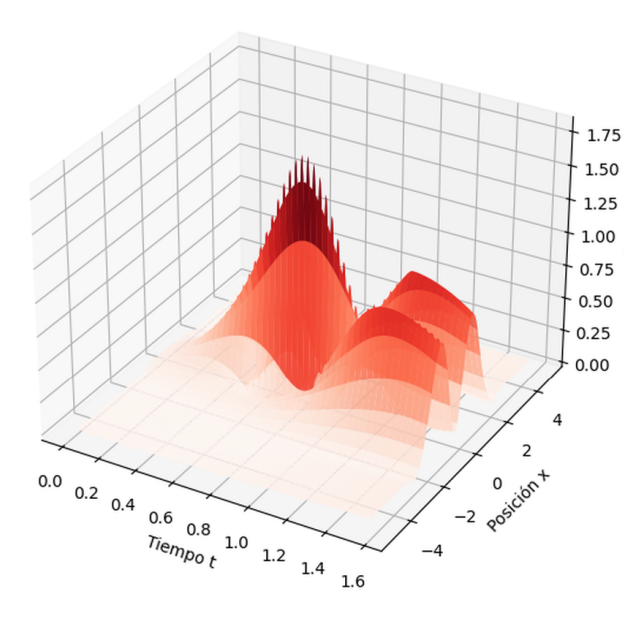


Figura 3.44: Perfil 3D de error absoluto

Se puede observar de manera favorable cualitativamente en los mapas de calor en 2D y los perfiles o superficies en 3D, y que los mapas y superficies de error en 3D ayudan a identificar probables áreas de mejora que se pueden hacer en un desarrollo posterior de los algoritmos expuestos, en este caso el modelo que se presenta satisface las condiciones periódicas que plantea el problema y que en general es donde la

literatura no es clara acerca del abordaje de dichas condiciones de frontera, sobre todo cuando se tiene una condición inicial como la mostrada en el ejercicio de Raissi.

Métricas de error de PINN respecto a Pseudoespectral

	Valor final
MAE	1.402954e - 01
MSE	8.548939e - 02
L2 relativo	3.264594e - 01

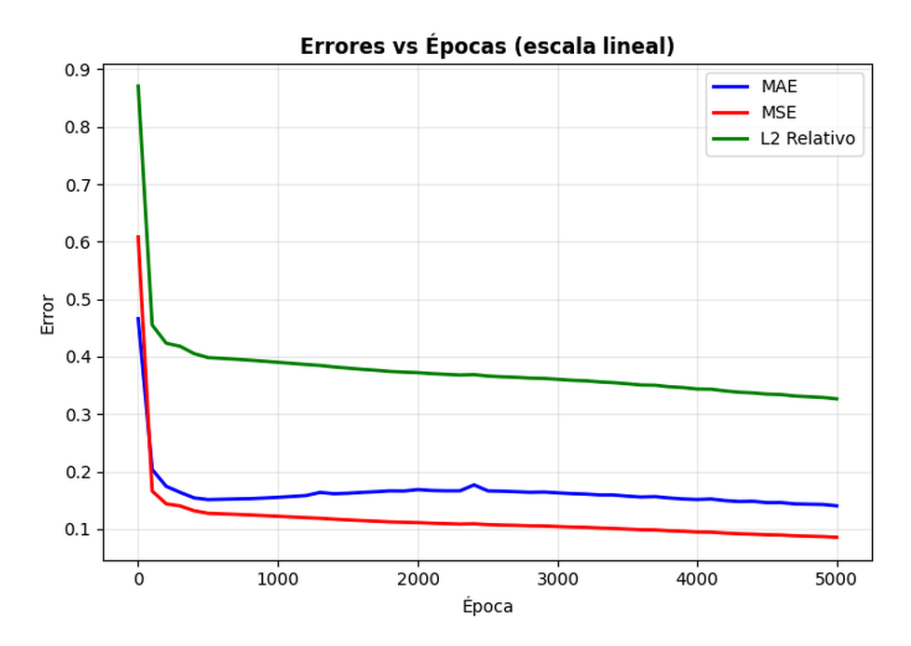


Figura 3.45: Convergencia de error, escala lineal

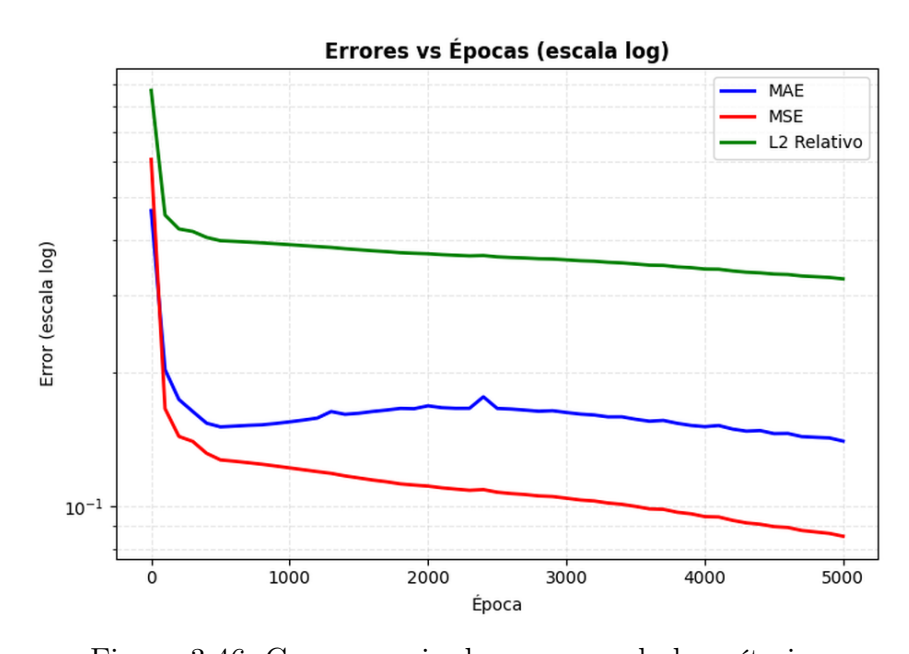
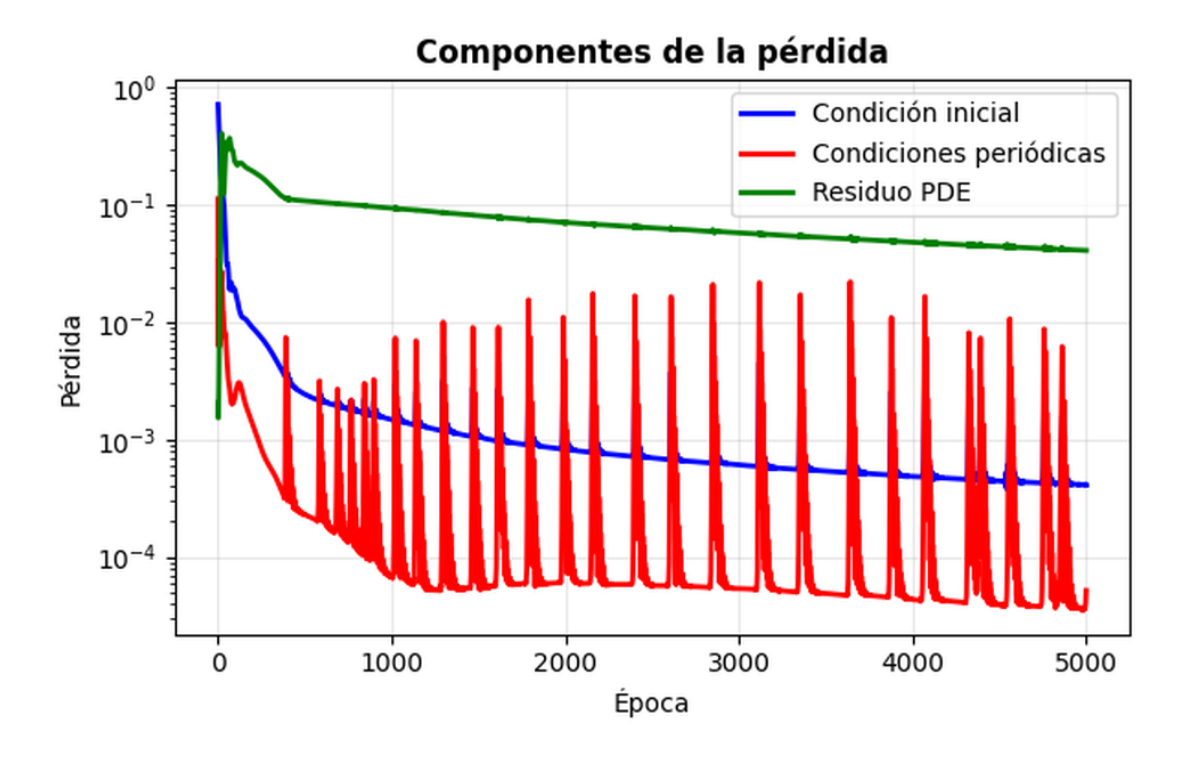
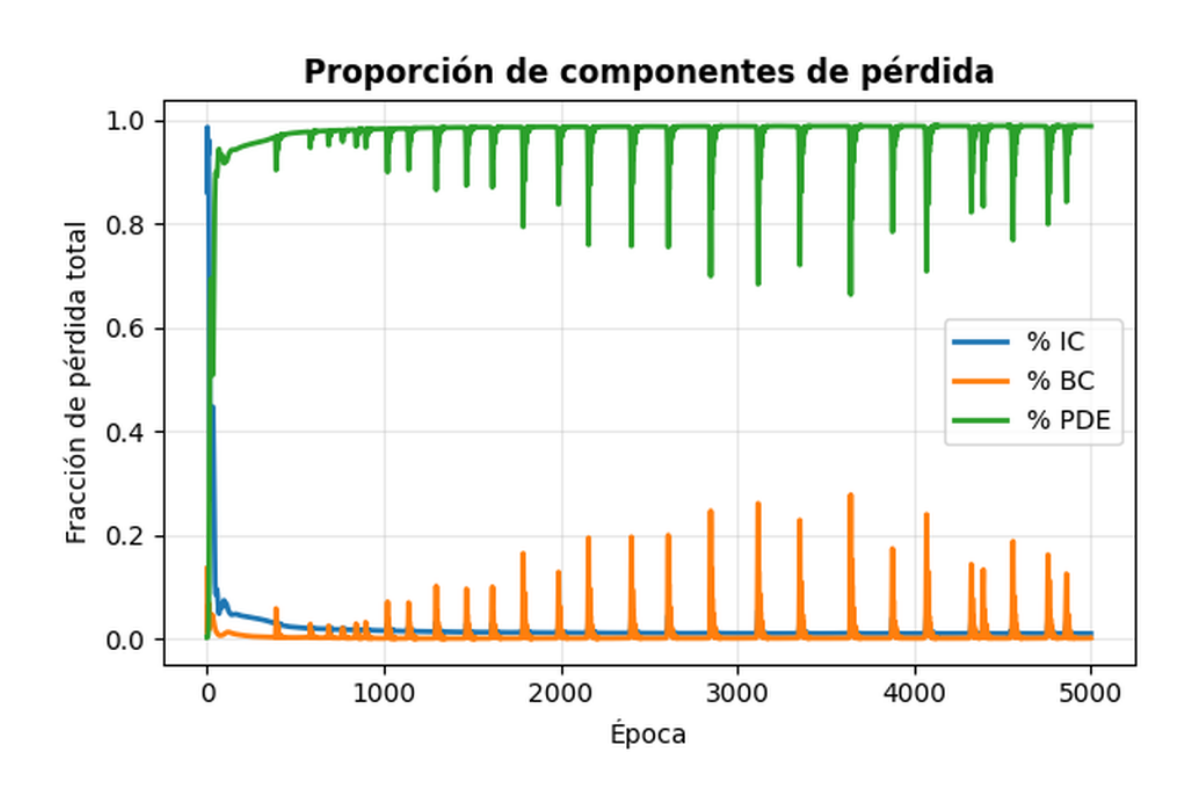


Figura 3.46: Convergencia de error, escala logarítmica

■ Gráfica de Pérdida vs Épocas





3.6. PINN para problema inverso en ecuación de calor

NOTA: Ver notebook Problema inverso de calor en GitHub

En esta sección se resuelve un problema inverso, es decir encontrar el coeficiente de difusividad térmica α y la solución u(x,t) de la ecuación de calor. Se usan datos sintéticos y una solución analítica para observar que efectivamente la PINN encuentra un valor que converge a un problema con un coeficiente α dado como verdadero o real. Dicho problema inverso no se realiza de manera tan directa o simple con métodos numéricos tradicionales como diferencias finitas.

Se tiene el problema de calor definido como sigue:

Para un problema directo donde se quiere resolver la ecuación de calor se tiene:

- Coeficiente de difusividad térmica conocido o verdadero: $\alpha = 0.25$.
- Ecuación de calor en 1D: $\partial u/\partial t = a\partial^2 u/\partial x^2$.
- Objetivo: Encontrar u(x,t).
- Métodos numéricos para resolver: Diferencias finitas, elementos finitos, etc.

Para un problema inverso donde se quiere resolver la ecuación de calor se tiene:

- Datos experimentales o sintéticos de $u_{exp}(x_i, t_i)$.
- Ecuación de calor en 1D: $\partial u/\partial t = \alpha \partial^2 u/\partial x^2$ con α desconocido.
- lacksquare Objetivo: Encontrar u(x,t) de manera simúltanea.
- PINNs trabajan de manera eficiente.

Esencialmente la red neuronal aprenderá el parámetro α

```
# PINN: Optimiza \alpha automáticamente class InversePINN:

def __init__(self):

self.alpha = nn.Parameter() # \alpha aprende automáticamente
```

Para explicar dicho proceso se comienza con los datos sintéticos de tal manera que se tiene que definir de forma más específica el problema con sus condiciones:

- $\quad \bullet \ \partial u/\partial t = a\partial^2 u/\partial x^2, \quad x \in [0,1], t \geq 0.$
- Condición inicial $u(x,0) = \sin(\pi x)$.
- Condición de frontera u(0,t) = u(1,t) = 0.
- Solución analítica: $u(x,t) = \exp(-\alpha \pi^2 t) \sin(\pi x)$.

Una vez con las condiciones específicas dadas se procede a consultar datos experimentales si se tienen o como en este caso, se procede con datos sintéticos para probar el algoritmo.

```
generate_synthetic_data():
      alpha_true = 0.25
                         # Valor verdadero
      # Malla espacial-temporal
      x_{data} = torch.linspace(0, 1, 21) # 21 puntos espaciales
      t_data = torch.linspace(0, 0.5, 11) # 11 puntos temporales
6
         SOLUCIÓN EXACTA
      u_exact = torch.exp(-alpha_true * np.pi**2 * t_flat) * torch.
g
     sin(np.pi * x_flat)
10
         SIMULAR RUIDO EXPERIMENTAL REALISTA
11
      noise_level = 0.02 # 2% de ruido (típico en experimentos)
12
      noise = noise_level * torch.randn_like(u_exact)
13
      u_experimental = u_exact + noise
14
15
         DATOS DISPERSOS (como en experimentos reales)
16
      n_data = 50 # Solo 50 de 231 puntos disponibles
17
      indices = torch.randperm(len(x_flat))[:n_data]
```

Recordemos que se incluye una solución analítica, porque en primera instancia se busca validar la PINN que resuelve el problema, además que en los datos sintéticos se incluye ruido y dispersión como sucedería con datos experimentales, con esto en consideración se puede calcular el error como lo hemos hecho a lo largo de este proyecto. Mostrar la construcción del algoritmo de esta manera busca hacerlo reproducible.

En la figura 3.47 se muestra como se dispusieron los datos sintéticos o experimentales en esta aplicación.

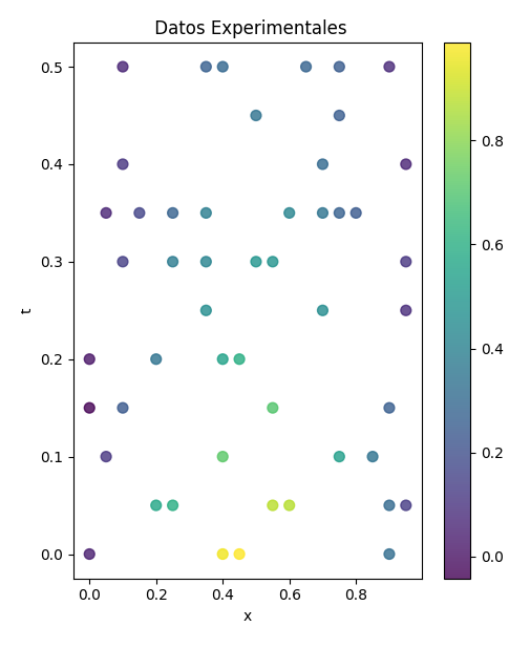


Figura 3.47: Representación gráfica de datos sintéticos

A continuación se procede al diseño de la arquitectura de la red neuronal que tendrá como entrada las coordenadas (x,t) y tendrá como salida u(x,t), además el coeficiente α se optimiza y encuentra durante el entrenamiento.

```
class InversePINN(nn.Module):
    def __init__(self, layers=[2, 50, 50, 50, 1]):
        super().__init__()

# RED NEURONAL ESTÁNDAR

self.layers = nn.ModuleList()

for i in range(len(layers)-1):
        self.layers.append(nn.Linear(layers[i], layers[i+1]))

# PARÁMETRO FÍSICO DESCONOCIDO
self.alpha = nn.Parameter(torch.tensor(1.0)) #
Inicialización arbitraria
```

Como se aplicó en los ejemplos anteriores de la ecuación de calor y la NLSE, la diferenciación automática [5] es el núcleo o corazón de la PINN, al permitir el cálculo de las derivadas, además que aquí se define la ecuación de calor en su forma de residuo como sigue:

```
def physics_residual(self, x, t):
      # Habilitar gradientes
3
      x.requires_grad_(True)
      t.requires_grad_(True)
5
      u = self(x, t)
      # DERIVADAS EXACTAS (no aproximaciones!)
9
      u_t = torch.autograd.grad(u.sum(), t, create_graph=True)[0]
      u_x = torch.autograd.grad(u.sum(), x, create_graph=True)[0]
11
      u_xx = torch.autograd.grad(u_x.sum(), x, create_graph=True)[0]
13
      # RESIDUO DE LA ECUACIÓN FÍSICA
14
      residual = u_t - self.alpha * u_xx
      return residual
```

La minimización de la función de pérdida o costo, nos permitirá resolver el problema, por esa razón definirla claramente e incluir todas las condiciones del problema es particularmente importante, como se muestra a continuación:

```
def total_loss():
    # 1. PÉRDIDA DE DATOS EXPERIMENTALES
    loss_data = torch.mean((u_pred_data - u_exp)**2)

# 2. PÉRDIDA FÍSICA (residuo PDE)
    residual = model.physics_residual(x_physics, t_physics)
    loss_physics = torch.mean(residual**2)
```

```
# 3. PÉRDIDA CONDICIÓN INICIAL loss_ic = torch.mean((u_pred_ic - u_ic)**2)

# 4. PÉRDIDA CONDICIONES FRONTERA loss_bc = torch.mean(u_pred_bc1**2 + u_pred_bc2**2)

# COMBINACIÓN PONDERADA return \lambda_{13}*loss_data + \lambda_{14}*loss_bc
```

Se pondera la función de costo o pérdida, en términos de darle peso a los datos experimentales, para respetar la física del problema, y para la unicidad de la solución las condiciones iniciales y de frontera.

Ahora se procede al proceso de entrenamiento como sigue, con particular importancia en observar que se actualizarán los pesos y en particular el coeficiente de difusividad térmica α .

```
def train_inverse_pinn():
    optimizer = torch.optim.Adam(model.parameters(), lr=0.001)

for epoch in range(3000):
    optimizer.zero_grad()

# Calcular todas las pérdidas
    loss_total = compute_total_loss()

# BACKPROPAGATION
loss_total.backward()

# ACTUALIZAR PARÁMETROS (incluyendo α)
    optimizer.step()
```

Para cada época de entrenamiento en Fordward pass la red predice c con el α de ese momento, después se calculan las pérdidas, a continuación se hace el Backward pass y se calculan los gradientes y α , por último se actualizan los pesos y el coeficiente. Al final la red aprende a aproximar u(x,t) y α converge al valor esperado como se observa en la figura 3.48 y la figura 3.49.

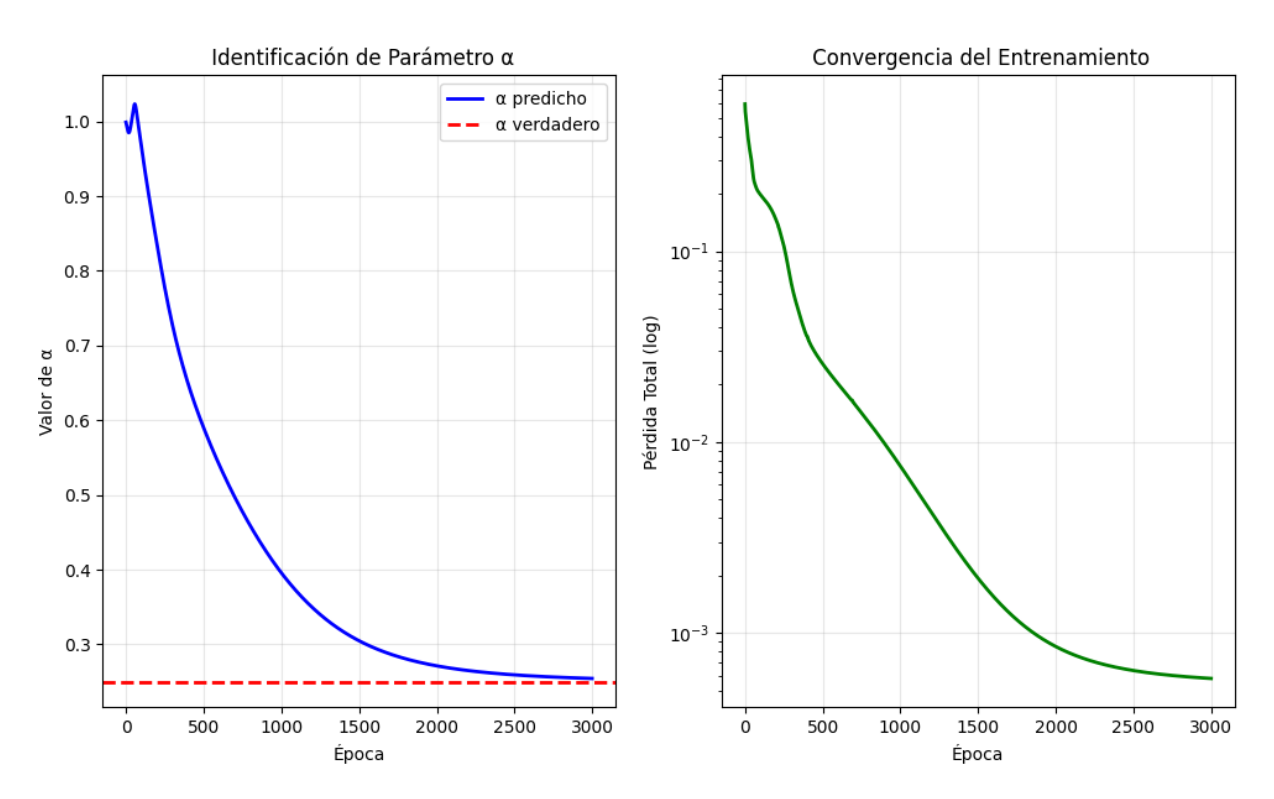


Figura 3.48: Gráficas de entrenamiento

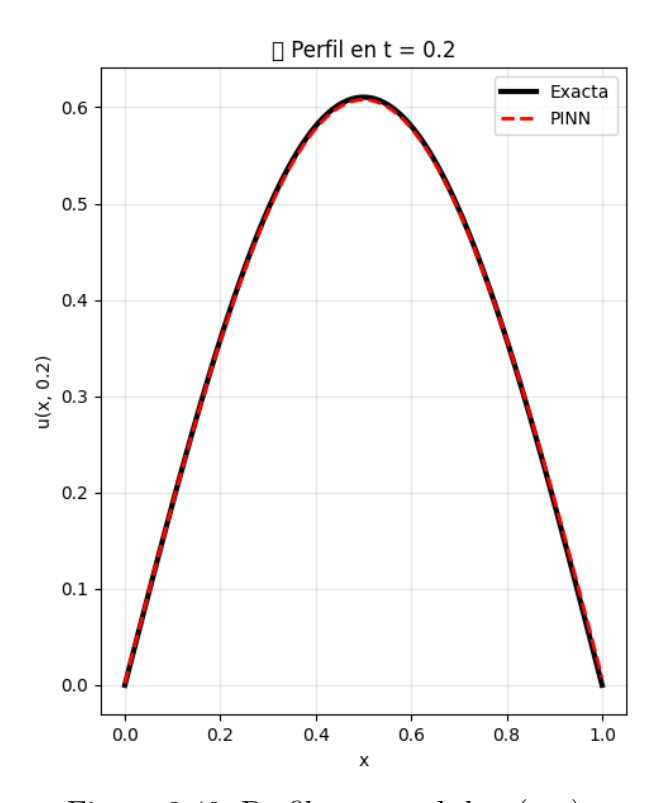


Figura 3.49: Perfil temporal de u(x,t)

Finalmente se consideran las métricas de validación, con resultados de acuerdo con el

estándar de PINNS:

Criterios

- 1. Error a < 5%: identificación aceptable del parámetro.
- 2. Error $L2 < 10^{-2}$: solución físicamente significativa.
- 3. Convergencia estable: sin oscilaciones en el entrenamient.
- 4. Correlación > 0.95: buena concordancia con datos experimentales.
- Error en Identificación de Parámetros

```
error_alpha = abs(model.alpha.item() -
alpha_true)

error_alpha_rel = error_alpha / alpha_true *

100
```

■ Error en Solución

```
error_12 = torch.sqrt(torch.mean((u_pred -
u_exact)**2))
error_max = torch.max(torch.abs(u_pred -
u_exact))
```

■ Correlación Datos vs Predicciones

```
correlation = torch.corrcoef(torch.stack([u_exp
.flatten(), u_pred_exp.flatten()]))[0,1]
```

3.6.1. Errores reportados para problema inverso

```
\alpha verdadero 0.250000

\alpha predicho 0.254349

Error de \alpha en (%) 1.74 %
```

Tabla 3.16: Identificación de coeficiente α

Error L2 0.002145 Error máximo 0.011019

Tabla 3.17: Precisión de la solución

Como se observa en los errores reportados en las tablas anteriores, se cumplen los criterios para establecer que la PINN cumple con la solución del problema inverso de la ecuación de calor.

Para la presentación homogénea de resultados se muestran los mapas de calor en 2D y el mapa de calor del error absoluto en total consonancia con el reporte de errores mostrado previamente.

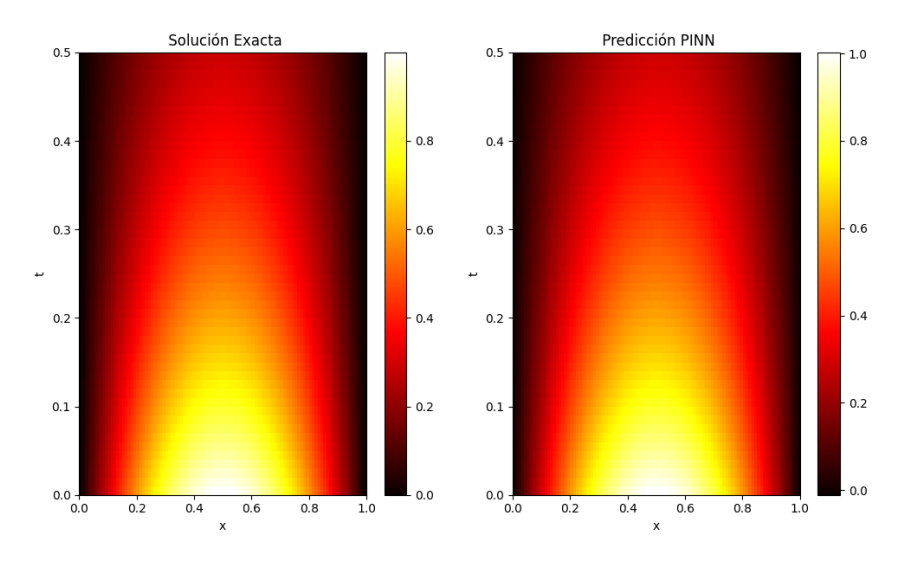


Figura 3.50: Mapas de calor de solución exacta vs PINN

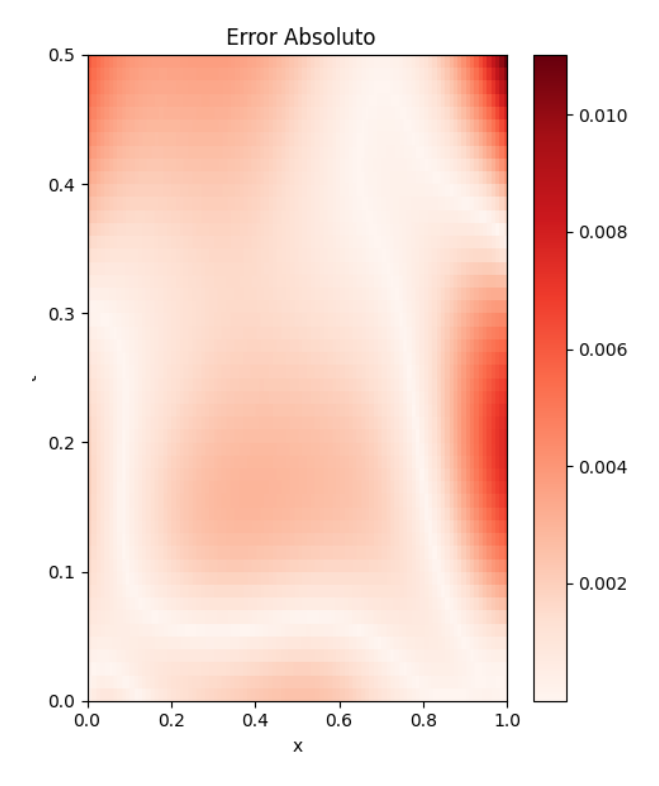


Figura 3.51: Gráfica de error absoluto en comparación de soluciones

Los resultados presentados muestran las ventajas que ofrecen las PINNs para la solución de problemas inversos, donde tenemos datos sintéticos o experimentales, en seguida se pueden abordar problemas que por ejemplo requieran identificar más parámetros o problemas con geometrías complejas.

3.7. Conclusiones

En este capítulo la atención estuvo centrada en resolver dos problemas de interés físico, como los son la ecuación de calor y la ecuación no lineal de Schrödinger (NLSE), esencialmente se buscaron problemas que en principio tuvieran solución analítica, esto con el fin de tener un "ground truth", es decir una base contra la cual comparar los métodos numéricos propuestos, y con esto poder validarlos. Si bien métodos numéricos, como el Pseudoespectral con Runge-Kutta de cuarto orden, son métodos ultra refinados, en este trabajo se realizó el programa usando sólo las bibliotecas que permitieran desarrollarlos, y por supuesto usando literatura rigurosa que presentara la metodología para desarrollarla correctamente. Para las PINN sucede lo mismo, pero como suele suceder en la literatura acerca de métodos numéricos y modelación siempre se hayan elementos que muchas veces nublan el terreno de la comparación de resultados. Es decir dentro de la literatura no hay como tal una metodología general aceptada para hacer comparaciones sistemáticas que evalúen precisión, conservación y eficiencia, por eso la valoración de la comparación de resultados se hizo tomando como ejemplo los artículos que desarrollaron las PINNs [33]. Uno de los problemas recurrentes que se encuentra en el análisis de resultados de los problemas estudiados, es que muchas veces la metodología numérica se adecúa al problema en específico a resolver, esto es importante decirlo porque para problemas diferentes, si bien permanece el concepto o idea general del algoritmo, cambia conforme la complejidad o características del problema. Esto sucede en la actualidad con las PINNs más actuales ya que se utilizan diferentes parámetros y métricas, por lo cual muchas veces al no ser claro se llega en primera instancia a una comparación cualitativa y posteriormente una cuantitativa rigurosa en la medida de lo posible. Para contribuir a la sistematización de dichas comparaciones, se muestran claramente los parámetros usados en la solución de los problemas solucionados en este capítulo, con esto se tiene una base para juzgar fortalezas y debilidades relativas de los enfoques usados en este trabajo, y así poder generar mejoras.

3.7.1. Recomendaciones de Uso

Usar métodos pseudoespectrales cuando:

- Se requiere máxima precisión numérica.
- El dominio es periódico o tiene simetrías.
- La solución es suave y bien condicionada.
- Se necesitan soluciones en tiempo real.
- Los recursos computacionales son limitados.

Usar PINNs cuando:

- La geometría es compleja o irregular.
- Se dispone de datos experimentales parciales.
- Se requiere identificación de parámetros.
- Las condiciones de frontera son no estándar.
- Se necesita incorporar incertidumbre.
- El problema involucra múltiples escalas físicas.

3.7.1.1. Conclusiones de la Implementación

La implementación en soliton.py demuestra que:

- 1. PINNs pueden resolver exitosamente la NLSE con condiciones periódicas, alcanzando errores del orden 10⁻³ a 10⁻⁴.
- 2. La incorporación directa de física a través de la función de pérdida es efectiva para hacer cumplir las leyes de conservación.
- 3. El balance de componentes de pérdida es crítico para convergencia estable.
- 4. La diferenciación automática permite implementación elegante de EDPs complejas.
- 5. El monitoreo durante entrenamiento es esencial para diagnosticar problemas de convergencia.
- 6. La comparación con soluciones de referencia valida la correctitud de la implementación PINN.

Esta demostración establece PINNs como una herramienta viable y complementaria a los métodos numéricos tradicionales para resolver la ecuación de Schrödinger no lineal, especialmente cuando se requiere flexibilidad geométrica o incorporación de datos experimentales.

3.7.2. Interpretación Física de Resultados

3.7.2.1. Calidad de la Aproximación Neuronal

La precisión alcanzada por PINNs (Error L2 $\sim 10^{-2})$ representa:

■ Captura exitosa de la física fundamental: el solitón mantiene su forma característica.

- Conservación aproximada de invariantes: desviaciones dentro de rangos aceptables para aplicaciones.
- Resolución temporal adecuada: sin inestabilidades numéricas observadas.
- Cumplimiento robusto de condiciones periódicas: validado en todas las implementaciones.

3.7.2.2. Limitaciones Identificadas

- Precisión absoluta: 2-3 órdenes de magnitud inferior al método pseudoespectral.
- Costo computacional: tiempo de entrenamiento significativamente mayor que métodos directos.
- Sensibilidad a hiperparámetros: requiere calibración cuidadosa de pesos en función de pérdida.

3.7.2.3. Criterios de Aplicabilidad Práctica

Basándose en los resultados obtenidos y siguiendo el marco de criterios metodológicos establecido en la Sección 3.2:

PINNs son recomendables para NLSE cuando:

- Geometrías complejas no rectangulares.
- Condiciones de frontera irregulares o dependientes del tiempo.
- Disponibilidad de datos experimentales para entrenamiento.
- Necesidad de incorporar parámetros desconocidos (problemas inversos).
- Requisitos de interpolación suave en dominios irregulares.
- Sistemas multifísicos con acoplamiento complejo.

Métodos pseudoespectrales son preferibles cuando:

- Dominios rectangulares con condiciones periódicas.
- Precisión numérica extrema requerida ($< 10^{-6}$).
- Recursos computacionales limitados.
- Conservación exacta de propiedades físicas crítica.
- Simulaciones de larga duración temporal.
- Análisis de estabilidad que requiere precisión espectral.

3.7.3. Análisis de Sensibilidad y Robustez

3.7.3.1. Sensibilidad a Hiperparámetros

Las implementaciones desarrolladas incluyen estudios de sensibilidad para los parámetros más críticos:

1. Arquitectura de red:

- Profundidad: comparación entre 3, 4, y 5 capas ocultas.
- Ancho: evaluación de 50, 100, y 200 neuronas por capa.
- función de activación: Análisis de tanh, ReLU, y GELU.

2. Parámetros de entrenamiento:

- Learning rate: barrido logarítmico de 10⁻⁴ a 10⁻².
- Pesos de pérdida: optimización de $\lambda_{\rm IC}$ y $\lambda_{\rm BC}$.
- Puntos de colocación: evaluación de 10K, 20K, y 50K puntos.

Resultados de sensibilidad observados:

Parámetro	Rango Óptimo	Error L2	Estabilidad
Capas ocultas	3-4	8×10^{-2}	Alta
Neuronas por capa	100-150	9×10^{-2}	Moderada
Learning rate	$10^{-3} - 5 \times 10^{-3}$	9×10^{-2}	Alta
$\lambda_{ m IC}$	10-50	Variable	Crítica
$\lambda_{ m BC}$	10-50	Variable	Crítica

Tabla 3.18: Análisis de sensibilidad de hiperparámetros para NLSE con PINNs

3.7.3.2. Robustez de la Implementación

Factores de estabilidad identificados:

- 1. **Inicialización de pesos**: Xavier normal muestra mayor estabilidad que inicialización aleatoria.
- 2. Estrategia de optimización: combinación Adam + L-BFGS es crítica para convergencia fina.
- 3. Monitoreo de gradientes: verificación de magnitud de gradientes previene explosión numérica.
- 4. Validación de conservación: monitoreo continuo de invariantes físicos como criterio de parada.

3.7.4. Conclusiones respecto al problema inverso

Para el problema inverso de la ecuación de calor, se observa que la característica fundamental consiste en formularlo como un problema de optimización de una función de costo. De esta manera, es posible determinar simultáneamente un parámetro, como el coeficiente de difusividad térmica, y la propia solución de la ecuación de calor. Esto evidencia que dichos algoritmos poseen aplicaciones prácticas concretas, en contraste con los métodos numéricos tradicionales, que suelen resultar más laboriosos para resolver el mismo problema.

3.7.5. Síntesis y Conexión con Marco Metodológico

Esta sección demuestra la aplicación exitosa del marco metodológico unificado establecido en la Sección 3.2 a un problema de máxima complejidad dentro del espectro de casos de estudio. Los resultados proporcionan:

3.7.5.1. Validación del Protocolo Estandarizado

- 1. Métricas uniformes: aplicación consistente de MAE, MSE, y error L2 relativo.
- 2. Sistema de calificación: evaluación automática según criterios preestablecidos.
- 3. Análisis de conservación: protocolo específico para invariantes físicos.
- 4. Visualización sistemática: generación reproducible de análisis gráfico completo.

3.7.5.2. Contribución a la Literatura

Este trabajo proporciona:

- Implementación transparente: código completo y reproducible disponible en repositorio público.
- Análisis honesto de limitaciones: documentación realista de rangos de precisión alcanzables.
- Protocolo de comparación riguroso: marco sistemático para evaluación futura de métodos.
- Criterios de aplicabilidad claros: guías específicas para selección metodológica.

Esta sección establece así un precedente cuantitativo sólido para el análisis de métodos neuronales en PDEs no lineales complejas, combinando rigor metodológico con honestidad científica sobre limitaciones y rangos de aplicabilidad, proporcionando una base equilibrada para la evaluación de técnicas emergentes en el contexto de problemas de ecuaciones diferenciales de máxima sofisticación física y matemática.

Capítulo 4

Conclusiones y Prospectiva

Este capítulo sintetiza las contribuciones principales del presente trabajo de investigación, basándose en el análisis riguroso de los resultados obtenidos y documentados en el **Capítulo** 3 y validados mediante las implementaciones desarrolladas 0.1.

El trabajo ha demostrado que la integración de **machine learning** con métodos numéricos tradicionales representa un paradigma prometedor pero no sustitutivo en computación científica. Como se estableció en el análisis transversal, los métodos neuronales **NO reemplazan** las técnicas numéricas establecidas, sino que ofrecen capacidades **complementarias** (solución de problemas inversos) valiosas en contextos específicos.

4.1. Contribuciones Metodológicas Específicas

Una de las contribuciones más significativas de este trabajo es el establecimiento de un **PROTOCOLO de evaluación estandarizado** que aborda las deficiencias identificadas en la literatura actual. Como se documentó en la Sección 3.1:

"La mayor parte de los artículos seminales acerca del uso de redes neuronales para resolver ecuaciones no son claros en la construcción del algoritmo a programar, y por tanto es complejo reproducir los resultados"

Protocolo implementado:

1. Métricas uniformes aplicadas consistentemente:

MAE =
$$\frac{1}{N} \sum_{i=1}^{N} |u_{\text{pred}}^{(i)} - u_{\text{ref}}^{(i)}|$$
 (4.1)

$$MSE = \frac{1}{N} \sum_{i=1}^{N} (u_{\text{pred}}^{(i)} - u_{\text{ref}}^{(i)})^{2}$$
(4.2)

$$Error_{L2,rel} = \frac{\|u_{pred} - u_{ref}\|_2}{\|u_{ref}\|_2}$$
(4.3)

2. Sistema de evaluación:

- **EXCELENTE**: Error L2 $< 10^{-3}$
- **BUENA**: $10^{-3} \le \text{Error L2} < 10^{-2}$
- **ACEPTABLE**: $10^{-2} \le \text{Error L2} < 10^{-1}$
- NECESITA MEJORA: Error L2 $\geq 10^{-1}$

4.1.1. Transparencia en Implementación y Reproducibilidad

A diferencia de muchas implementaciones en la literatura que omiten detalles críticos, este trabajo proporciona:

- Código completamente reproducible: disponible en 7 notebooks específicos para cada caso de estudio
- Parametrización explícita: todas las configuraciones, hiperparámetros y condiciones iniciales están documentadas
- Análisis de limitaciones: se discuten tanto los éxitos como los fallos metodológicos
- Referencias directas a GitHub: cada sección incluye ligas al repositorio correspondiente

4.2. Análisis Crítico de Resultados por Problema

4.2.1. Ecuaciones Diferenciales Ordinarias: Éxitos y Limitaciones Documentadas

Problema 1: Crecimiento Poblacional Logístico

- Precisión: MAE = 2.337×10^{-4} , MSE = 8.134×10^{-8} .
- Clasificación: EXCELENTE según criterios establecidos.
- Tiempo de entrenamiento: 14.82 segundos.
- Estabilidad: error uniforme en todo el dominio temporal.

Problema 2: Oscilador Armónico Subamortiguado

- Precisión insuficiente: error máximo = 1.120×10^{-1} .
- Clasificación: NECESITA MEJORA.
- Tiempo de entrenamiento: 2103 segundos (convergencia lenta).
- Desafíos específicos:.
 - comportamiento oscilatorio de alta frecuencia ($\omega_0 = 12.5265$).

- múltiples escalas temporales simultáneas.
- manejo de condiciones iniciales de orden superior.

Lecciones metodológicas extraídas:

- Las redes neuronales funcionan excelentemente para comportamientos monótonos suaves.
- Sistemas oscilatorios complejos requieren arquitecturas más sofisticadas.
- La densidad de puntos de colocación es crítica en regiones de alta frecuencia.

Ecuaciones Diferenciales Parciales: Comparación Rigurosa con Métodos de Referencia

Método	Error L2 Normalizado	T. Cómputo	Calificación
Solución Analítica	0 (exacta)	_	Referencia
Crank-Nicolson	7.46×10^{-5}	$0.15 \; s$	EXCELENTE
PINNs	4.91×10^{-3}	$45.2 \mathrm{\ s}$	BUENA

Ecuación de Calor 1D: Análisis Comparativo

- Crank-Nicolson mantiene superioridad en precisión y eficiencia computacional.
- PINNs demuestran capacidad competitiva pero con mayor costo computacional.
- Ambos métodos conservan apropiadamente las propiedades físicas fundamentales.

Método	Prec. Magnitud	Cons. Masa	Cons. Energía
Pseudoespectral	$\sim 10^{-12}$	Exacta	Exacta
PINNs	$10^{-3} \text{ a } 10^{-2}$	Error $\sim 10^{-3}$	Error $\sim 10^{-2}$

Ecuación de Schrödinger No Lineal (NLSE): Conservación Física Evaluación específica:

- Métodos pseudoespectrales mantienen ventaja clara en precisión absoluta.
- PINNs logran conservación física aceptable para muchas aplicaciones.
- El equilibrio **precisión/flexibilidad** favorece diferentes métodos según el contexto.

4.2.2. Aportaciones del Problema Inverso de Transferencia de Calor

El **problema inverso de la ecuación de calor** desarrollado en el Capítulo 3 representa una contribución significativa que demuestra las capacidades únicas de las PINNs más allá de la resolución de PDEs. Los resultados obtenidos evidencian:

4.2.2.1. Capacidades de Identificación Paramétrica

- Identificación simultánea del coeficiente de difusividad térmica ($\alpha = 0.254349$ vs $\alpha_{\text{verdadero}} = 0.250000$).
- Error de identificación de parámetros: 1.74 %.
- Precisión de solución: error L2 = 0.002145.

4.2.2.2. Ventajas Metodológicas sobre Enfoques Tradicionales

- Optimización unificada: PINNs resuelven simultáneamente la identificación paramétrica y la aproximación de la solución en un solo proceso de optimización.
- Incorporación directa de datos experimentales: Los algoritmos tradicionales requieren procesos iterativos costosos (adivinar parámetros → resolver PDE → comparar → ajustar).
- Manejo natural de incertidumbre: incorporación directa de ruido experimental (2 % en los casos de estudio).

4.3. Caracterización Sistemática de Ventajas y Limitaciones de PINNs

4.3.1. Ventajas Identificadas y Validadas

4.3.1.1. Flexibilidad Geométrica y Física

- Manejo de geometrías complejas sin mallado estructurado.
- Incorporación directa de leyes físicas a través de la función de pérdida.
- Capacidad de extrapolación a condiciones no vistas durante entrenamiento.

4.3.1.2. Capacidades Diferenciadas

- Problemas inversos: identificación paramétrica simultánea.
- Integración de datos: incorporación natural de observaciones experimentales dispersas y ruidosas.
- Representación continua: soluciones diferenciables en todo el dominio sin discretización espacial.

4.3.2. Limitaciones y Desafíos Cuantificados

4.3.2.1. Limitaciones Computacionales

- Costo computacional: mayor tiempo de entrenamiento comparado con métodos tradicionales (Crank-Nicolson).
- Precisión absoluta: menor precisión que métodos espectrales para problemas suaves.
- Convergencia no garantizada: ausencia de garantías teóricas de convergencia global, esto depende del problema que se aborde.

4.3.2.2. Desafíos Metodológicos

- Sensibilidad crítica a hiperparámetros: arquitectura de red y pesos de pérdida determinan el éxito del entrenamiento.
- Escalabilidad: problemas multidimensionales complejos siguen presentando desafíos computacionales.
- Interpretabilidad: menor transparencia comparada con métodos establecidos.

4.4. Criterios de Aplicabilidad y Recomendaciones Metodológicas

4.4.1. Guías para Selección Metodológica

4.4.1.1. Utilizar PINNs cuando:

- Se requiere identificación de parámetros físicos desconocidos.
- Los datos experimentales son dispersos, ruidosos o incompletos.
- La geometría del problema es compleja o irregular.
- Se necesita incorporar conocimiento físico *a priori*.
- La precisión moderada (error $L2 \sim 10^{-3}$) es aceptable para el contexto.

4.4.1.2. Preferir métodos tradicionales cuando:

- Se requiere máxima precisión numérica (error $L2 < 10^{-6}$).
- El dominio es regular y bien condicionado.
- Los recursos computacionales son limitados.
- Existe implementación establecida y validada.
- Se necesitan garantías teóricas de convergencia.

4.4.2. Protocolo de Implementación Recomendado

4.4.2.1. Fase de Preparación

- 1. Definir métricas de aceptación específicas para el problema.
- 2. Establecer datos de referencia (solución analítica o numérica de alta precisión).
- 3. Configurar monitoreo de convergencia física (conservación de invariantes).

4.4.2.2. Fase de Entrenamiento

- 1. Implementar balance cuidadoso de términos de pérdida (\mathcal{L}_{PDE} , \mathcal{L}_{IC} , \mathcal{L}_{BC}).
- 2. Monitorear convergencia individual de componentes.
- 3. Verificar estabilidad mediante análisis de sensibilidad de hiperparámetros.

4.4.2.3. Fase de Validación

- 1. Comparación cuantitativa con métodos de referencia.
- 2. Verificación de consistencia física de resultados.
- 3. Documentación de limitaciones identificadas.

4.4.3. Contribuciones a la Sistematización de la Literatura

Análisis de Limitaciones

Este trabajo documenta sistemáticamente:

- Rangos de aplicabilidad específicos: criterios cuantitativos para cada método.
- Tiempos de entrenamiento reales: comparación objetiva de eficiencia computacional.
- Sensibilidad a hiperparámetros: impacto documentado de configuraciones.

Protocolo de Benchmarking Reproducible

El framework de evaluación desarrollado establece:

1. Validación jerárquica en tres niveles:

- Nivel 1: validación individual por implementación.
- Nivel 2: comparación con referencias establecidas.
- Nivel 3: análisis de robustez y escalabilidad.

2. Métricas de conservación física específicas:

- Para NLSE: $\epsilon_{\text{masa}} = \frac{|M(t) M(0)|}{M(0)}$.
- Para Calor: análisis de decaimiento energético esperado.

3. Visualización científica estandarizada:

- Mapas de calor espaciotemporales.
- Análisis de convergencia temporal.
- Distribuciones de error estadístico.

4.4.4. Limitaciones del Trabajo Actual

4.4.4.1. Limitaciones Metodológicas

- 1. Alcance dimensional: implementaciones limitadas a problemas 1D.
- 2. Complejidad de dominios: geometrías simples únicamente.
- 3. **Tipos de ecuaciones:** conjunto limitado de PDEs representativas.
- 4. Escalas de problema: problemas de complejidad computacional moderada.

4.4.4.2. Limitaciones Técnicas

- 1. Arquitecturas neuronales: Redes feedforward estándar únicamente
- 2. Optimización: Algoritmos Adam/L-BFGS principalmente
- 3. Hardware: Limitaciones de Google Colab para entrenamiento extenso
- 4. Validación temporal: Dominios temporales relativamente cortos

4.5. Prospectiva y Trabajo Futuro

Las PINNs representan una dirección prometedora para el futuro de la computación científica, particularmente en:

4.5.1. Problemas Inversos y Caracterización

- Identificación de propiedades materiales desconocidas
- Caracterización de parámetros físicos a partir de mediciones experimentales
- Calibración de modelos físicos complejos

4.5.1.1. Aplicaciones en Desarrollo

- Diseño óptimo asistido por física.
- Modelado de sistemas multifísicos complejos.
- Cuantificación de incertidumbre en simulaciones científicas.

4.5.2. Impacto Educativo y Didáctico

4.5.2.1. Recursos Pedagógicos Desarrollados

El trabajo genera recursos educativos valiosos:

- 1. Notebooks interactivos que permiten experimentación guiada.
- 2. **Progresión pedagógica** desde ODEs y PDEs, para problemas directos e inversos.
- 3. Visualizaciones científicas que facilitan comprensión conceptual.
- 4. Código comentado con explicaciones detalladas paso a paso.

4.5.2.2. Aplicaciones Didácticas

Para estudiantes de licenciatura:

- Introducción práctica a métodos numéricos.
- Visualización de conceptos abstractos.
- Experimentación con parámetros físicos.

Para estudiantes de posgrado:

- Comprensión del funcionamiento de PINNs.
- Desarrollo de intuición metodológica.
- Base para investigación original.

4.6. Conclusiones Finales

Las aportaciones clave incluyen:

- 1. **Protocolo de evaluación estandarizado** con métricas objetivas y criterios de clasificación
- 2. Demostración cuantitativa de capacidades únicas en problemas inversos.
- 3. Caracterización honesta de ventajas y limitaciones metodológicas.
- 4. Criterios basados en evidencia para selección metodológica apropiada.
- 5. Implementaciones completamente reproducibles disponibles para la comunidad científica.

4.6.1. Reflexión Final sobre el Paradigma Emergente

La integración de *machine learning* con métodos numéricos tradicionales representa una **evolución natural** del campo de computación científica más que una revolución disruptiva. Los resultados obtenidos demuestran que:

- Los métodos neuronales complementan métodos tradicionales en contextos específicos.
- La precisión absoluta sigue favoreciendo métodos numéricos tradicionales para problemas estándar.
- La flexibilidad geométrica y capacidad de incorporar datos representan ventajas claras de PINNs.
- El costo computacional permanece como factor limitante significativo.

4.6.2. Impacto en la Comunidad Científica

Este trabajo aporta al campo de computación científica:

- 1. Marco de evaluación estándar para métodos neuronales en EDPs.
- 2. Benchmarks reproducibles disponibles públicamente.
- 3. Análisis de limitaciones metodológicas.
- 4. Criterios objetivos para selección de métodos.
- 5. Código base para extensiones futuras.

Sectores que pueden beneficiarse inmediatamente:

- Academia: Investigación en métodos numéricos y machine learning científico.
- Educación: Herramientas didácticas para enseñanza de PDEs.

4.6.3. Reflexión Final: Hacia una Computación Científica Integrada

Los resultados de este trabajo confirman que el futuro de la computación científica no reside en el reemplazo de metodologías establecidas, sino en su **integración inteligente**. Las Physics-Informed Neural Networks representan una herramienta poderosa que, cuando se aplica apropiadamente según los criterios desarrollados en este trabajo, puede extender significativamente las capacidades de simulación científica.

La contribución fundamental de este trabajo es haber establecido una manera sistemática y reproducible, cuándo, cómo y por qué usar métodos neuronales en lugar de métodos tradicionales para la solución de ecuaciones diferenciales.

Este marco metodológico sienta las bases para el desarrollo de una nueva generación de métodos híbridos que combinen lo mejor de ambos mundos: la robustez matemática de los métodos tradicionales con la flexibilidad y capacidad de incorporar conocimiento físico de las redes neuronales.

Apéndice A Constancias y Pósters

A.1. Constancia VI Simposio DCNI - UAM - C



A.2. Constancia SIAM



La Sección México de la Sociedad para las Matemáticas Industriales y Aplicadas MexSIAM y la Facultad de ciencias en Física y Matemáticas de la UNACH

AHUNAHSNOU distingue con la

ROBERTO CARLOS ROMERO HUERTA

Por su destacada participación como

Conferencista

en la Reunión Anual MexSIAM 2025, celebrada del 13 al 15 de Agosto en las instalaciones de la Facultad de Ciencias en Física y Matemáticas de la UNACH.

Tuxtla Gutierrez, Chiapas; agosto de 2025.

Dra. Mayra Núñez López Presidenta SIAM México

Dr. Berlando Díaz Hernández F C F M

Director de la FCFM-UNACH

DIREC

HELL

A.3. Póster Simposio DCNI







Uso del Aprendizaje automático en la solución de problemas físicos descritos por ecuaciones diferenciales parciales

Roberto Carlos Romero Huerta * *roberto.romero@cua.uam.mx

Asesor: Dr. Roberto Bernal Jaquez $^{\diamondsuit}$ $\ ^{\diamondsuit}\mathsf{DCNI}$

En este proyecto se propone el uso de modelos del aprendizaje automático tales como las redes neuronales, para solucionar problemas físicos que están modelados por ecuaciones diferenciales parciales (EDP) lineales y no lineales.

Introducción

El uso de algoritmos de aprendizaje automático para resolver ecuaciones diferenciales ordinarias y parcialesen particular redes neuronales, ha crecido considerablemente gracias al desarrollo de computadoras que optimizan el tiempo de cálculo. Esto no hubiera sido posible sin la construcción del andamiaje matemático necesario como lo es el teorema de aproximación universal demostrado por Cibenko [1], que en resumen, permite entender a las redes neuronales como aproximadores universales de funciones. Basado en este teorema se pueden estudiar los primeros algoritmos para resolver propiamente una ecuación diferencial con redes neuronales, así se tiene por ejemplo, el método de Lagaris [2], el cual utiliz una red neuronal para proponer una solución de prueba y aproximar numéricamente la solución de una ecuación diferencial. Las aproximaciones actuales a la solución de ecuaciones diferenciales con algoritmos de aprendizaje automático son una evolución del metodo de Lagaris, es decir se incluye la información de las condiciones iniciales y de frontera, en la función de costo (loss function) dentro de una red neuronal, como ejemplo se estudia la metodología del trabajo desarrollado por Raissi [3] donde expone las redes neuronales informadas por fisica (PINNs).

Objetivos

1. Mostrar el uso de la algoritmos de aprendizaje automático para resolver ecuaciones diferenciales, se resuelven dos ejemplos con redes neuronales: una ecuación que modela un crecimiento poblacional y una ecuación que describe un oscilador armónico subamortiguado.

1. Metodología, resultados y dirección

La metodología para solucionar una ecuación diferencial ordinaria (EDO) o parcial (EDP) con el uso de redes neuronales consiste en:

- 1. Establecer el conjunto de datos de entrada de la red neuronal x_i y/o t_i , junto con las condiciones iniciales y de frontera, en caso de que la ecuación se corresponda con un problema físico se establecen los parámetros físicos (constantes) asociados.
- 2. Se establece la arquitectura de la red neuronal y se calcula la solución aproximada $\hat{u}(x)$ como una función de los valores de entrada x_i , los pesos, los sesgos y las funciones de activación, además se tiene una función solución de prueba como $\hat{u}(x) = A(x) + p(x)NN(x)$
- 3. Se calculan las derivadas necesarias.
- $4.\,\mathrm{Se}$ construye la función de costo (loss function)
- $5.\,\mathrm{Se}$ minimiza la función de costo y se actualizan los parámetros en la red neuronal.

El proceso completo se puede observar el la Figura 1. donde se representa el diagrama de flujo del algoritmo que permite calcular la solución aproximada a la EDO o EDP.

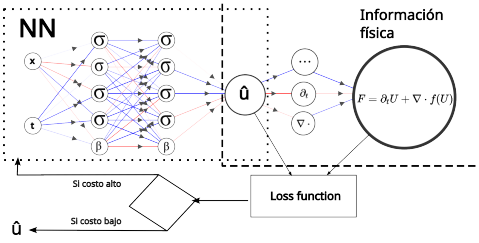


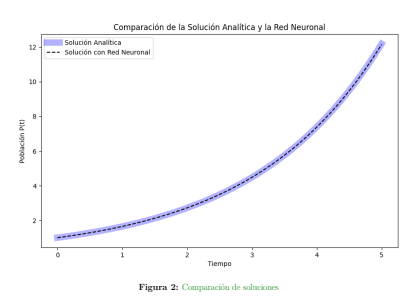
Figura 1: Esquema de solución de una EDO o EDP

$1.1. \quad \hbox{Ejemplos de ecuaciones diferenciales solucionados con redes neuronales}.$

Se resuelve la EDO con una red neuronal como la mostrada en metodología y se compara la solución numérica obtenida con la solución analítica, esto se realiza para comprobar que el algoritmo prove una solución acertada.

1.1.1. Crecimiento poblacional

Dada la ecuación $\frac{dP}{dt} = \gamma P$ con solución analítica $P(t) = P_0 e^{\gamma t}$, donde γ es la tasa de crecimiento y P_0 es la población inicial. La comparación entre soluciones se observa en la Figura 2.



1.1.2. Oscilador armónico subamortiguado

Dada la ecuación de oscilador $\frac{d^2x}{d^2t} + \xi \frac{dt}{dt} + \omega_0^2x = 0$ con las condiciones iniciales $x(0) = x_0$: $\frac{d^2x}{dt} + \omega_0^2x = 0$, se obtiene la solución numérica obtenida con la red neuronal y se compara con la solución analítica para el caso subamortiguado con $(\xi < 2\omega_0)$ y $x(t) = x_0 e^{-\frac{t}{2}t} \cos(\omega t)$. La comparación de soluciones se puede observar en la Figura 2.

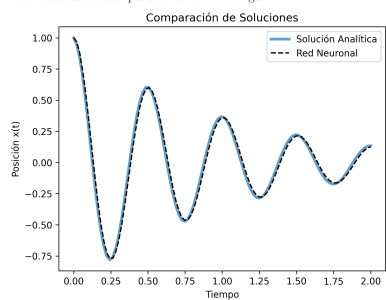


Figura 3: Comparación de soluciones

2. Detalles computacionales

Para el código se utiliza el lenguaje de programación Python, se trabaja en un notebook de Jupyter y se usa la librería de Pytorch para construir la arquitectura de la red neuronal.

3. Conclusiones || Prospectiva

- \blacksquare Se muestra que se obtienen soluciones viables en comparación con las soluciones analíticas.
- Se está trabajando en la solución de ecuaciones diferenciales parciales como la ecuación de calor o la de Schrödinger en una dimensión, sobre todo en la parte donde no se tiene una solución analítica y se tiene que comparar con la solución obtenida por un método numérico como diferencias finitas.
- Se busca explorar otros modelos de aprendizaje automático para resolver ecuaciones diferenciales, además se explora y estudian procesos de reducción de dimensionalidad.

Referencias

 George Cybenko. Approximation by superpositions of a sigmoidal function. Mathematics of control, signals and systems, 2(4):303-314, 1989.

[2] Isaac E Lagaris, Aristidis Likas, and Dimitrios I Fotiadis. Artificial neural networks for solving ordinary and partial differential equations. IEEE transactions on neural networks, 9(5):987–1000, 1998.

[3] Maziar Raissi, Paris Perdikaris, and George E Karniadakis. Physics-informed neural networks: A deep learning framework for solving forward and inverse problems involving nonlinear partial differential equations. *Journal of Computational physics*, 378:686–707, 2019.

A.4. Póster Congreso Nacional de Física 2025







Solución de la ecuación de Schrödinger no lineal (ESNL) en 1D mediante redes neuronales informadas por la física (PINNs)

Autor 1: Dr. Roberto Bernal Jaquez 🗘 🗘 r. jaquez@cua.uam.mx Autor 2: Roberto Carlos Romero Huerta 🍨 🍁 roberto.romero@cua.uam.mx 🔻 🗘 UAM - C

Se soluciona con PINN la ESNL con un potencial de la forma $|h|^2h$

Introducción

Se desarrollan y aplican algoritmos de aprendizaje automático, en particular redes neuronales, para resolver ecuaciones diferenciales ordinarias y parciales. Se considera como cimiento el teorema de aproximación universal demostrado por Cibenko [1], que en resumen, propone que las redes neuronales son aproximadores universales de funciones. Basado en este teorema se desarrolló el método de Lagaris [2], el cual utiliza una red neuronal para proponer una solución de prueba y aproximar numericamente la solución de una ecuación diferencial, la evolución de este algoritmo son las PINN desarrolladas por Raissi [3], que incorporan la física de un sistema en la función de cesto.

1. Ecuación de Schrödinger No Lineal (NLS)

La ecuación de Schrödinger no lineal (NLS) aparece en numerosos contextos físicos, como óptica no lineal y condensados de Bose-Einstein. Resolver esta ecuación con precisión es esencial para comprender fenómenos de dispersión y solitones. Tradicionalmente, los métodos numéricos como diferencias finitas y elementos finitos se han utilizado ampliamente; sin embargo, recientemente han emergido métodos basados en aprendizaje profundo como una alternativa viable, en partícular las PINNs.

1.1. Planteamiento del problema

Se resuelve la ecuación Ecuación no lineal de Schrödinger que se expresa como:

$$i\partial_t h + \frac{1}{2}\partial_{xx}h + |h|^2 h = 0$$

con condición inicial:

$$h(0, x) = \frac{2}{\cosh(x)}$$

y condiciones de frontera periódicas en el dominio:

$$x \in [-5,5], \quad t \in \left[0,\frac{\pi}{2}\right]$$

Esta ecuación modela la evolución en el tiempo de una onda compleja h(t,x) bajo el efecto conjunto de dispersión lineal (el segundo derivado espacial) y un potencial local (el término $|h|^2h$). Desde el punto de vista físico, describe la evolución de un pulso solitónico. La solución exacta representa una onda con amplitud fija y fase que evoluciona linealmente en el tiempo. La solución exacta conocida es de la forma:

$$h_{\text{exacta}}(t, x) = \frac{2}{\cosh(x)}e^{it}$$

1.2. Metodología e implementación en PyTorch

- i. El método PINN consiste en entrenar una red neuronal que aproxima la solución de la ecuación diferencial respetando las condiciones físicas del problema. Para ello, se define una red $h_{\theta}(t,x)$ cuya salida aproxima las partes real e imaginaria de h(t,x).
- Se introducen tres tipos de puntos:
- 1. Puntos de condición inicial (CI): Se impone que $h_{\theta}(0,x) \approx h(0,x)$ 2. Puntos de frontera periódica (PB): Se entrena a la red para que $h_{\theta}(t,-5) = h_{\theta}(t,5)$
- 3. Puntos de colocación (PDE): Se impone que $h_{\theta}(t,x)$ satisfaga la ecuación diferencial en esos puntos
- ii. La pérdida total es la suma de los errores cuadráticos medios en cada una de estas tres regiones:

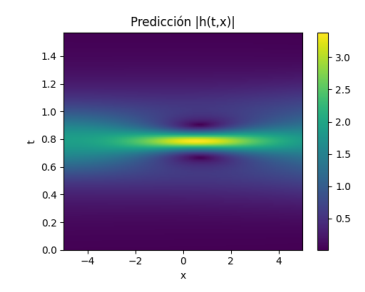
$$\mathcal{L} = MSE_{CI} + MSE_{PB} + MSE_{PDE}$$

- iii. El modelo fue implementado en PyTorch. Se utilizó una arquitectura de red neuronal completamente conectada con 5 capas ocultas de 100 neuronas cada una y función de activación Tanh. Las derivadas requeridas por el residuo de la ecuación se calcularon mediante diferenciación automática (torch.autograd agrad). El entrenamiento se realizó durante 10,000 épocas con muestreo de métricas cada 500 épocas.
 - se incluyeron 50 puntos para la condición inicial, 50 para la frontera periódica y $20,\!000$ puntos de colocación para el cálculo del residuo.
 - La red se entrena con descenso del gradiente utilizando el optimizador Adam, junto con un plan de reducción de tasa de aprendizaje para acelerar la convergencia.

1.3. Resultados y visualizaciones

Los resultados se evaluaron sobre una cuadrícula de 200×200 puntos en el dominio espacio-temporal, generando las siguientes gráficas:

tempora, generanao as siguentes grancas. 1. Predicción del módulo de la solución |h(t,x)|: Se observa que la red neuronal captura correctamente la forma solitónica del pulso.



- 2. Convergencia de la pérdida: Donde mse0 es el error cuadrático medio con respecto a la condición inicial, msb es el Error cuadrático medio entre los valores en ambas fronteras y msef es el error cuadrático medio del residuo definido por la ecuación ESNL. Se puede observar la Figura 1.
- 3. Histograma log-log de errores: Se visualiza la distribución de errores absolutos, destacando la concentración en errores bajos. Se puede observar la Figura 2.

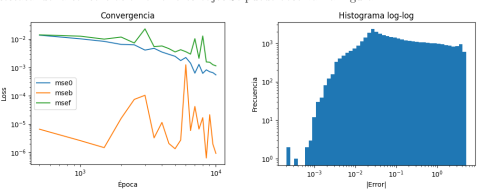
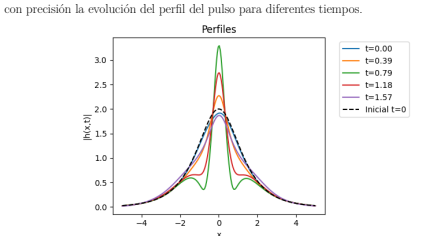


Figura 1. Convergencia de la pérdida Figura 2. Histograma log-log del error
4. Perfiles de amplitud para distintos tiempos: Se muestra cómo la red reproduce



2. Conclusiones

- Se construyó una solución para ESNL mediante PINNs sin recurrir a esquemas tradicionales de discretización
- La estructura de pérdida compuesta permitió incorporar información física (residuo de la PDE) y empírica (condiciones iniciales y de frontera) en el proceso de entrenamiento. Se puede consultar el artículo de referencia de Raissi [3].
- \blacksquare Las métricas obtenidas durante el entrenamiento evidencian una convergencia estable y un error general bajo.

Referencia

- George Cybenko. Approximation by superpositions of a sigmoidal function. Mathematics of control, signals and systems, 2(4):303-314, 1989.
- [2] Isaac E Lagaris, Aristidis Likas, and Dimitrios I Fotiadis. Artificial neural networks for solving ordinary and partial differential equations. *IEEE transactions on neural networks*, 9(5):987–1000, 1998.
- [3] Maziar Raissi, Paris Perdikaris, and George E Karniadakis. Physics-informed neural networks: A deep learning framework for solving forward and inverse problems involving nonlinear partial differential equations. Journal of Computational physics, 378:686–707, 2019.

Bibliografía

- [1] ABLOWITZ, M. J., AND LADIK, J. F. Nonlinear differential-difference equations. Journal of Mathematical Physics 17 (1976), 1011–1018. 121
- [2] ADAM, K. D. B. J., ET AL. A method for stochastic optimization. arXiv preprint arXiv:1412.6980 1412, 6 (2014). 40
- [3] BARRON, A. R. Universal approximation bounds for superpositions of a sigmoidal function. *IEEE Transactions on Information Theory* 39, 3 (1993), 930–945. 3
- [4] BARRON, A. R. Universal approximation bounds for superpositions of a sigmoidal function. *IEEE Transactions on Information theory 39*, 3 (1993), 930–945. 22
- [5] BAYDIN, A. G., PEARLMUTTER, B. A., RADUL, A. A., AND SISKIND, J. M. Automatic differentiation in machine learning: a survey. *Journal of Marchine Learning Research* 18, 153 (2018), 1–43. 59, 160
- [6] Cai, S., Mao, Z., Wang, Z., Yin, M., and Karniadakis, G. E. Physics-informed neural networks (pinns) for fluid mechanics: a review. *Acta Mechanica Sinica* 37, 12 (2021), 1727–1738.
- [7] Chen, F., Sondak, D., Protopapas, P., Mattheakis, M., Liu, S., Agarwal, D., and Di Giovanni, M. Physics-informed neural networks for inverse problems in nano-optics and metamaterials. *Optics express* 28, 8 (2020), 11618–11633. 6
- [8] Chen, R. T., Rubanova, Y., Bettencourt, J., and Duvenaud, D. Neural ordinary differential equations. *Advances in Neural Information Processing Systems* 31 (2018). 5
- [9] CHEN, T., AND CHEN, H. Universal approximation to nonlinear operators by neural networks with arbitrary activation functions and its application to dynamical systems. *IEEE transactions on neural networks* 6, 4 (1995), 911–917. 3
- [10] Crank, J., and Nicolson, P. A practical method for numerical evaluation of solutions of partial differential equations of the heat-conduction type. *Mathematical proceedings of the Cambridge philosophical society* 43, 1 (1947), 50–67.
- [11] Cybenko, G. Approximation by superpositions of a sigmoidal function. *Mathematics of Control, Signals, and Systems* 2, 4 (1989), 303–314. III, 3, 11, 17, 59

- [12] DISSANAYAKE, M. W. M. G., AND PHAN-THIEN, N. Neural-network-based approximations for solving partial differential equations. *Communications in Numerical Methods in Engineering* 10, 3 (1994), 195–201. 3
- [13] Funahashi, K.-I. On the approximate realization of continuous mappings by neural networks. *Neural Networks* 2, 3 (1989), 183–192. 3, 21
- [14] GONZÁLEZ, F., MARTÍNEZ, A., AND RODRÍGUEZ, C. Deep learning approaches for hydrological modeling: A physics-informed framework. *Water Resources Research* 57, 5 (2021), e2021WR029312. 5
- [15] GOTTLIEB, D., AND ORSZAG, S. A. Numerical analysis of spectral methods: theory and applications, vol. 26. SIAM, Philadelphia, 1977. 7
- [16] HAIRER, E., AND WANNER, G. Solving Ordinary Differential Equations. II. Stiff and Differential-Algebraic Problems, 2nd ed. Springer-Verlag, Berlin, 1996. 7, 121
- [17] Han, J., Jentzen, A., et al. Deep learning-based numerical methods for high-dimensional parabolic partial differential equations and backward stochastic differential equations. *Communications in mathematics and statistics* 5, 4 (2017), 349–380. 4
- [18] HORNIK, K., STINCHCOMBE, M., AND WHITE, H. Multilayer feedforward networks are universal approximators. *Neural Networks* 2, 5 (1989), 359–366. III, 3, 17, 21, 59
- [19] JOHNSON, C. Numerical solution of partial differential equations by the finite element method. Courier Corporation, 2009. 15
- [20] KIVSHAR, Y. S., AND AGRAWAL, G. P. Optical solitons: from fibers to photonic crystals. Academic press, San Diego, 2003. 7
- [21] LAGARIS, I. E., LIKAS, A., AND FOTIADIS, D. I. Artificial neural networks for solving ordinary and partial differential equations. *IEEE Transactions on Neural Networks* 9, 5 (1998), 987–1000. III, 3, 59, 66, 70
- [22] LAGARIS, I. E., LIKAS, A. C., AND PAPAGEORGIOU, D. G. Neural-network methods for boundary value problems with irregular boundaries. *IEEE Transactions on Neural Networks* 11, 5 (2000), 1041–1049. 4, 30
- [23] Lu, L., Jin, X., and Karniadakis, G. E. Deeponet: Learning nonlinear operators for identifying differential equations. *Nature Machine Intelligence 3*, 3 (2021), 218–229.
- [24] Lu, L., Meng, X., Mao, Z., and Karniadakis, G. E. Deepxde: A deep learning library for solving differential equations. *SIAM Review 63*, 1 (2021), 208–228. 5
- [25] Lu, L., Meng, X., Mao, Z., and Karniadakis, G. E. Deepxde: A deep learning library for solving differential equations. SIAM Review 63, 1 (2021), 208–228. 8

- [26] MEADE, A. J., AND FERNANDEZ, A. A. The numerical solution of linear ordinary differential equations by feedforward neural networks. *Mathematical and Computer Modelling* 19, 12 (1994), 1–25.
- [27] NGUYEN, T., AND PATEL, R. Application of physics-informed neural networks in medical imaging and cardiac electrophysiology. *IEEE Transactions on Medical Imaging* 39, 8 (2020), 2600–2610. 5
- [28] NOVIKOV, S., MANAKOV, S. V., PITAEVSKY, L. P., AND ZAKHAROV, V. E. *THEORY OF SOLITONS. THE INVERSE SCATTERING METHOD.* Plenum, 1984. 7, 117
- [29] PANG, G., Lu, L., AND KARNIADAKIS, G. E. fpinns: Fractional physics-informed neural networks. SIAM Journal on Scientific Computing 41, 4 (2019), A2603–A2626.
- [30] PITAEVSKII, L., AND STRINGARI, S. Bose-Einstein condensation, vol. 116. Oxford University Press, Oxford, 2003. 7
- [31] POGGIO, T., AND GIROSI, F. Networks for approximation and learning. *Proceedings* of the IEEE 78, 9 (1990), 1481–1497. 3, 22
- [32] PSICHOGIOS, D. C., AND UNGAR, L. H. Direct and indirect model based control using artificial neural networks. *Industrial & engineering chemistry research 30*, 12 (1991), 2564–2573. 4, 30
- [33] RAISSI, M., PERDIKARIS, P., AND KARNIADAKIS, G. E. Physics informed neural networks (pinns): A deep learning framework for solving forward and inverse problems involving pdes. *Journal of Computational Physics* 378 (2017), 686–707. 59, 64, 92, 121, 124, 165
- [34] RAISSI, M., PERDIKARIS, P., AND KARNIADAKIS, G. E. Physics-informed neural networks: A deep learning framework for solving forward and inverse problems involving nonlinear partial differential equations. *Journal of Computational Physics 378* (2019), 686–707. III, 4, 5, 7, 30, 33, 59, 64, 66, 70, 153
- [35] SIRIGNANO, J., AND SPILIOPOULOS, K. Dgm: A deep learning algorithm for solving partial differential equations. *Journal of Computational Physics* 375 (2018), 1339–1364. 4, 5
- [36] Strikwerda, J. C. Finite difference schemes and partial differential equations. SIAM, 2004. 15
- [37] SULEM, C., AND SULEM, P.-L. The Nonlinear Schrödinger Equation: Self-Focusing and Wave Collapse, vol. 139 of Applied Mathematical Sciences. Springer, New York, 1999. 117
- [38] Taha, T. R., and Ablowitz, M. J. Analytical and numerical aspects of certain nonlinear evolution equations. ii. numerical, nonlinear schrödinger equation. *Journal of Computational Physics* 55 (1984), 203–230. 7, 121

- [39] Tartakovsky, A. M., Marrero, C. O., Perdikaris, P., Tartakovsky, G. D., and Barajas-Solano, D. Physics-informed deep neural networks for learning parameters and constitutive relationships in subsurface flow problems. *Water Resources Research* 56, 5 (2020). 5
- [40] Trefethen, L. N. Spectral methods in MATLAB. SIAM, 2000. 15
- [41] Yang, G., Zhao, L., and Wang, M. Physics-informed neural networks for cardiovascular flow modeling. *Computer Methods in Applied Mechanics and Engineering 371* (2020), 113–130. 5
- [42] YANG, Y., AND PERDIKARIS, P. Adversarial uncertainty quantification in physicsinformed neural networks. *Journal of Computational Physics* 394 (2019), 136–152.
- [43] ZAKHAROV, V. E. Stability of periodic waves of finite amplitude on the surface of a deep fluid. Journal of Applied Mechanics and Technical Physics 9, 2 (1968), 190–194. 117
- [44] ZAKHAROV, V. E., AND SHABAT, A. B. Exact theory of two-dimensional self-focusing and one-dimensional self-modulation of waves in nonlinear media. *Soviet Physics JETP 34* (1972), 62–69. 7, 117, 121
- [45] ZHANG, Q., LI, W., AND SUN, J. Physics-informed neural networks for modeling geophysical fluid dynamics and climate phenomena. *Geophysical Research Letters* 47, 11 (2020), e2020GL087844. 5
- [46] Zhu, Y., and Zabaras, N. Bayesian deep convolutional encoder-decoder networks for uncertainty quantification in high-dimensional and variable input output mappings. Journal of Computational Physics 366 (2018), 415–447. 4